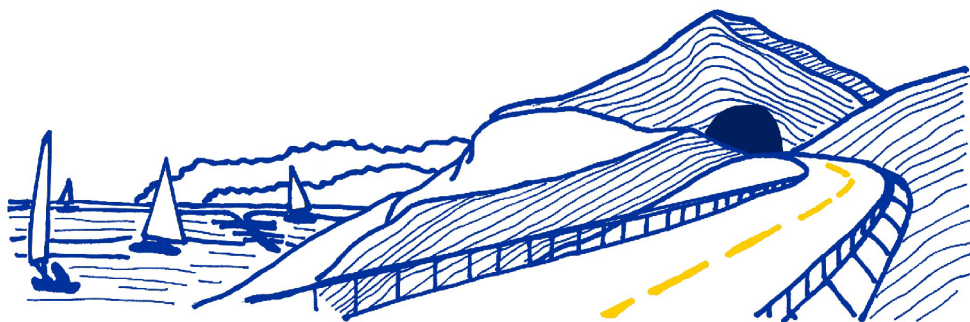


VARIANTE ALLA S.S.1 AURELIA (AURELIA BIS)
 VIABILITA' DI ACCESSO ALL' HUB PORTUALE DI LA SPEZIA
 INTERCONNESSIONE TRA I CASELLI DELLA A-12 E IL PORTO DI LA SPEZIA
 3° LOTTO TRA FELETTINO E IL RACCORDO AUTOSTRADALE

PROGETTO ESECUTIVO DI STRALCIO E COMPLETAMENTO C - 3° TRATTO

PROGETTO ESECUTIVO

GE265



VISTO: IL RESPONSABILE
DEL PROCEDIMENTO

RESPONSABILE
DELL'INTEGRAZIONE DELLE
PRESTAZIONI SPECIALISTICHE

PROGETTISTA SPECIALISTA

IL COORDINATORE DELLA
SICUREZZA IN FASE DI
PROGETTAZIONE

Ing. Fabrizio CARDONE

Ing. Alessandro RODINO

Ing. Alessandro RODINO

Dott. Domenico TRIMBOLI

OPERE MAGGIORI

SVINCOLO MELARA

PARTE GENERALE

IMPALCATO RAMPA "S"

RELAZIONE TECNICA E DI CALCOLO

CODICE PROGETTO

PROGETTO LIV. PROG. N. PROG.

DPGE0265 E 20

NOME FILE

0000_V04VI12STRRE03_A

CODICE ELAB. V04VI12STRRE03

REVISIONE

A

SCALA:

-

A	EMISSIONE A SEGUITO ISTRUTTORIA ANAS	Dicembre 2021	M. Barale	E. Giraudò	A. Rodino
REV.	DESCRIZIONE	DATA	REDATTO	VERIFICATO	APPROVATO

INDICE	Pag.
1. PREMESSA	1
2. PRECEDENTI LIVELLI DI PROGETTAZIONE E ANDAMENTO DELL'APPALTO	2
3. SVOLGIMENTO DEL PROGETTO STRUTTURALE	3
4. STATO DI FATTO	5

Allegato 1

Progetto Esecutivo originario (Lotti & Associati 2011)

1. Premessa

La presente Relazione viene redatta nell'ambito del Contratto applicativo per la Progettazione Esecutiva dell'intervento S.S. 1 "Lavori di costruzione della variante alla S.S. 1 Aurelia (Aurelia bis), viabilità di accesso all'HUB portuale di La Spezia, interconnessione tra i caselli della A 12 e il porto di La Spezia – 3° Lotto tra Felettino ed il raccordo autostradale - Progetto Esecutivo di Stralcio e completamento C – 3° tratto".

Il progetto in argomento riguarda un'infrastruttura che ha subito nel corso della sua esecuzione la rescissione contrattuale con l'impresa appaltatrice dei lavori. L'opera, nel suo complesso, si trova in una avanzata fase realizzativa e, per il suo completamento è stato deciso da ANAS S.p.A. di suddividerla in tre progetti di completamento definiti Stralci funzionali A, B e C..

La presente relazione si riferisce ai Viadotti delle rampe dello svincolo Melara che connette la Variante stradale al Raccordo autostradale (A15).

Nella progettazione delle opere e parti d'opera da realizzare, trattandosi di progetto di completamento, non è stato possibile e neanche necessario, apportare modifiche di rilievo alle opere così come precedentemente progettate ed autorizzate, sia in sede della Progettazione Definitiva e sia nella successiva sede della Progettazione Esecutiva e Costruttiva.

Relativamente ai Viadotti di cui trattasi, le parti d'opera realizzate sono sostanzialmente sono le sottostrutture (Pile e Spalle) che sono quasi interamente realizzate, come sarà dettagliato nel seguito.

Le strutture realizzate, come risulta dagli elaborati di As-Built e dai Certificati di Idoneità Statica, sono state eseguite in piena conformità al Progetto Esecutivo originario. Come altresì è stato rilevato e nel corso dei numerosi sopralluoghi effettuali, le parti d'opera realizzate appaiono in ottimo stato conservativo e, come da confronti avuti con la Direzione Lavori, durante la loro costruzione non si sono verificate criticità al riguardo della qualità e accettabilità dei materiali.

Con riferimento al quadro normativo di riferimento progettuale per le strutture, si evidenzia che, per le opere progettate secondo le norme tecniche di cui al Decreto Ministeriale 14 gennaio 2008, il D.M. 17/01/2018 "Aggiornamento delle «Norme tecniche per le costruzioni»", prevede, all'Art. 2 "Ambito di applicazione e disposizioni transitorie", che "per le opere pubbliche o di pubblica utilità in corso di esecuzione, per i contratti pubblici di lavori già affidati, nonché per i progetti definitivi o esecutivi già affidati prima della data di entrata in vigore delle norme tecniche per le costruzioni, si possono continuare ad applicare le previgenti norme tecniche per le costruzioni fino all'ultimazione dei lavori ed al collaudo statico degli stessi".

Pertanto, essendo l'attività da svolgere relativa alla progettazione del completamento di opere già parzialmente realizzate ed essendo rimaste in corso di esecuzione le attività di Direzione Lavori, con sorveglianza e manutenzione delle aree di cantiere, nonché la gestione delle stesse aree, il riferimento normativo di riferimento rimangono le "Norme tecniche per le costruzioni" di cui al Decreto Ministeriale 14 gennaio 2008.

Nell'attuale Progetto di Completamento sono stati riportati, al fine di garantire la completezza e migliorare la comprensione del progetto, stralci degli elaborati relativi alle parti d'opera realizzate desunti da quelli di As-Built trasmessi dalla Stazione appaltante.

2. Precedenti livelli di progettazione e andamento dell'appalto

Nella Relazione generale (Rif. T00EG00GENRE01) sono riportati nel dettaglio l'iter progettuale precedente e la descrizione dell'andamento dell'appalto.

Per quanto riguarda l'andamento dei lavori, si evidenzia solamente che la procedura di risoluzione contrattuale dei lavori, si è conclusa in data 06/08/2018 (Dispositivo CDG-423135-I).

Come già anticipato, per il completamento dell'infrastruttura, ANAS ha deciso di riaffidare i lavori mediante distinti appalti di completamento e stralcio, suddividendo il Lotto in 3 "Stralci" e lo stralcio oggetto del presente Progetto è lo Stralcio C.

Per quanto concerne, infine, l'attestazione di rispondenza del Progetto Esecutivo al Progetto Definitivo e alle prescrizioni dettate in sede di approvazione dello stesso, trattandosi di progetto di completamento, si rimanda alla Relazione di ottemperanza, redatta in sede di redazione del Progetto Esecutivo originario, che è stata riportata in allegato della Relazione generale (Rif. T00EG00GENRE01).

I Progetti Esecutivi sulla base dei quali sono state realizzate le parti d'opera sono stati a suo tempo validati ed approvati nelle opportune sedi.

3. Svolgimento del progetto strutturale

Le strutture già realizzate, relative alla Rampa in oggetto, sono state eseguite sulla base del Progetto Esecutivo originario (Lotti & Associati 2011), che a suo tempo era stato osservato, validato e approvato.

Essendo le strutture realizzate già oggetto di emissione di Collaudo di Idoneità statica, in qualità di progettisti delle parti d'opera necessarie al completamento (alcune elevazioni e gli impalcati), si ritiene che l'attuale progetto strutturale delle parti di completamento, non possa che innanzitutto far riferimento al Progetto Esecutivo originario, che per le parti oggetto della presente relazione riportato in Allegato 1. Tale Progetto Esecutivo è stato attentamente analizzato e viene condiviso nella presente sede progettuale.

Si ritiene anche questo essenziale al fine della successiva fase di collaudo delle opere completate, che potrà inoltre far riferimento allo stesso quadro normativo di per l'opera nel suo complesso.

Per quanto riguarda le caratteristiche degli appoggi, dei giunti trasversali tra una campata e la successiva e dei giunti longitudinali tra il viadotto esistente e le nuove rampe, si rimanda a quanto sviluppato all'interno del Progetto Esecutivo.

Le informazioni necessarie sono riportate, per il Viadotto in oggetto, nell'elaborato "Appoggi e dispositivi di protezione sismica" (Rif.:Rampa P: V04VI14STRDC06).

Per le rampe di svincolo N, P, S del Viadotto Melara è previsto l'impiego di nodi longitudinali di continuità in corrispondenza dei tratti a 3 travi affiancate, con adozione di isolatori sismici.

I nodi di continuità presenti tra una campata e l'altra devono resistere alle sollecitazioni indotte dalle rotazioni dell'impalcato e pertanto sono verificati a partire dai risultati ottenuti dai modelli di calcolo globale degli impalcati.

Nella presente sede progettuale sono state approfondite le tematiche relative alle verifiche strutturali al fine di tenere conto della possibile variazione di rigidità nel tempo degli isolatori sismici, che possono subire modifiche dovute all'invecchiamento, alla temperatura e alla storia di carico. Tenendo conto delle predette variazioni delle caratteristiche degli isolatori, le sollecitazioni derivanti dalle analisi di calcolo sono state opportunamente variate.

Di questa variabilità della rigidità si è tenuto in conto, in particolare, come richiesto per le costruzioni in classe d'uso III e IV al paragrafo 7.10.5.1 del D.M. 14.01.2008, in accordo alla Norma EN1998-2 [punto 7.5.2.4 (2)P], considerando i *limiti superiori* [*Upper Bound Design Properties* (UBDP)] e quelli inferiori [*Lower Bound Design Properties* (LBDP)].

Sono state effettuate due distinte verifiche, una usando l'UBDP, ed un'altra usando il LBDP. I valori di progetto UBDP e LBDP, per la rigidità K, sono stati calcolati in

accordo alle EN1998-2 (Appendici J e JJ).

L'analisi con UBDP conduce in genere alle azioni massime su sottostrutture ed impalcato, mentre quella con LBDP porta ai massimi spostamenti dei dispositivi di isolamento.

Le anzidette verifiche sono riportate nella “*Relazione di Calcolo – Soletta e trasversi*” (Rif.: V04VI12STRRE11).

Viene inoltre dichiarato che tutte le azioni che saranno trasmesse dalle opere di completamento non genereranno sulle parti d'opera già eseguite e collaudate, stati di sollecitazione maggiori di quelli per le quali le stesse sono state dimensionate in origine.

Questo in particolare per quanto riguarda alle sottostrutture, ossia Spalle e Pile e i loro elementi costituenti.

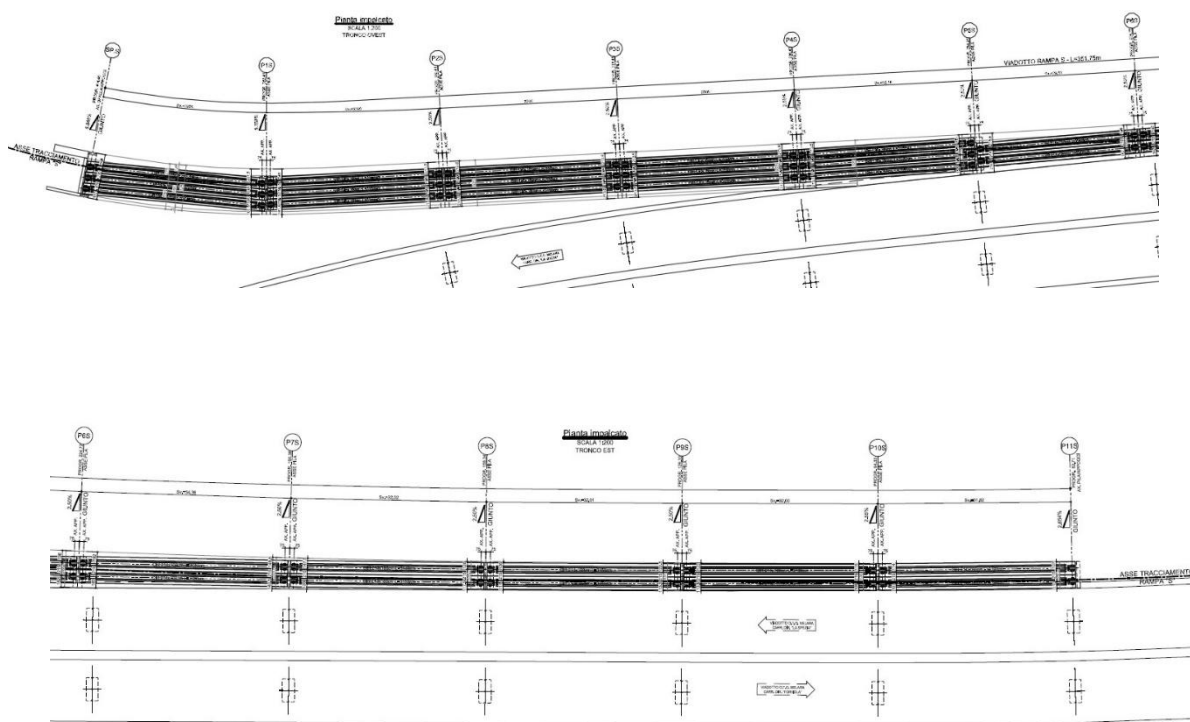
4. Stato di fatto

La presente Relazione viene redatta nell'ambito della redazione del Progetto Esecutivo di Completamento dello "Stralcio C" dei "Lavori di costruzione della variante alla S.S. 1 Aurelia (Aurelia bis), viabilità di accesso all'HUB portuale di La Spezia, interconnessione tra i caselli della A 12 e il porto di La Spezia – 3° Lotto tra Felettino ed il raccordo autostradale".

La presente relazione di calcolo ha per oggetto il viadotto Rampa "S" previsto nell'ambito svincolo "Melara".

La Rampa S si sviluppa tra le progressive +62.71 m e la progressiva +414.46 m per uno sviluppo in linea d'asse pari a 351.75 m. Lungo l'asse del tracciato, gli impalccati sono sostenuti da n. 1 spalla di testa e da n. 11 pile.

Si riporta nella seguente figura una vista planimetrica della Rampa S a livello dell'impalcato.



Lo stato di avanzamento dei lavori risulta il seguente:

- Spalla SP.S, eseguito: sottofondazione, fondazione, posati parte dei ferri di armatura dell'elevazione attualmente immersi in acqua per allagamento dello scavo;
- Pila 01, eseguito: sottofondazione, fondazione, elevazione;
- Pila 02, eseguito: sottofondazione, fondazione, elevazione;
- Pila 03, eseguito: sottofondazione, fondazione, elevazione;
- Pila 04, eseguito: paratia provvisoria, sottofondazione, fondazione, elevazione;
- Pila 05, eseguito: sottofondazione, fondazione, elevazione;
- Pila 06, eseguito: paratia provvisoria, sottofondazione, fondazione, elevazione;
- Pila 07, eseguito: sottofondazione, fondazione, elevazione;
- Pila 08, eseguito: sottofondazione, fondazione, elevazione;
- Pila 09, eseguito: sottofondazione, fondazione, elevazione;
- Pila 10, eseguito: paratia provvisoria, sottofondazione, fondazione, elevazione;
- Pila 11, eseguito: paratia provvisoria, sottofondazione, fondazione, elevazione.

Sono completate pertanto le sottostrutture tranne elevazione della spalla A ed è da realizzare completamente l'impalcato.

Allegato 1
Progetto Esecutivo originario (Lotti & Associati 2011)

**COMUNE DI LA SPEZIA
ANAS S.P.A.**

**LAVORI DI COSTRUZIONE DELLA VARIANTE ALLA S.S.1 AURELIA - 3° LOTTO TRA
FELETTINO ED IL RACCORDO AUTOSTRADALE**

**PROGETTO ESECUTIVO
OPERE D'ARTE MAGGIORI – SVINCOLO DI MELARA
VIADOTTO RAMPA S**

RELAZIONE TECNICA E DI CALCOLO

N° PROGETTO: C287.A			ELABORATO: V04VI14STRRE01_B		
<i>revisione</i>	<i>data</i>	<i>descrizione</i>	<i>redatto</i>	<i>controllato</i>	<i>approvato</i>
A	MARZO 2011	EMISSIONE PER CONSEGNA	D.SGRO'	R.POSTORINO	V.FIMIANI
B	GIUGNO 2011	EMISSIONE A SEGUITO ISTRUTTORIA ANAS	D.SGRO'	R.POSTORINO	V.FIMIANI
C					
D					
E					

SOMMARIO

1. PREMESSA	1
1.1. MELARA ASSE S.....	1
1.1.1. Impalcato	3
1.1.2. Spalla A	5
1.1.3. Pile.....	7
2. NORMATIVE DI RIFERIMENTO	10
3. CARATTERISTICHE DEI CALCESTRUZZI AI FINI DELLA DURABILITÀ.....	11
3.1. FONDAZIONI: PILE, SPALLE E PALI DI FONDAZIONE	11
3.2. SOTTOSTRUTTURE IN ELEVAZIONE: PILE E SPALLE.....	11
3.3. IMPALCATO: SOLETTA	12
3.4. IMPALCATO: TRAVERSI E TRAVI IN C.A.P.	12
4. CARATTERISTICHE DEI MATERIALI E METODI DI CALCOLO	13
4.1. VERIFICHE ALLO SLU	15
4.2. VERIFICHE ALLO SLE (FESSURAZIONE) CON COMBINAZIONI QP-FR	16
4.3. VERIFICHE ALLO SLE	18
5. ANALISI DEI CARICHI.....	19
5.1. PESO PROPRIO IMPALCATO.....	19
5.2. PESO PROPRIO SOTTOSTRUTTURE	20
5.3. CARICHI PERMANENTI PORTATI	21
5.4. CARICHI MOBILI.....	21
5.5. VARIAZIONE TERMICA	24
5.6. AZIONE DEL VENTO	24
5.7. AZIONE LONGITUDINALE DI FRENAMENTO.....	25
5.8. AZIONE TRASVERSALE CENTRIFUGA	25
5.9. ATTRITO DEI VINCOLI	25
5.10. AZIONE SISMICA.....	26
6. COMBINAZIONI DI CARICO	28
7. MODELLO NUMERICO.....	34
7.1. DESCRIZIONE.....	34
7.2. RISULTATI ANALISI MODALE	40

8.	ANALISI ELASTICA (VERIFICA A DEFORMAZIONE)	45
9.	AZIONI SUGLI APPOGGI	46
9.1.	TRATTO IN AFFIANCAMENTO	46
9.2.	TRATTO CONTINUO CON ISOLATORI.....	58
10.	SPOSTAMENTI MASSIMI	67
10.1.	SPOSTAMENTI MASSIMI – TRATTO IN AFFIANCAMENTO.....	68
10.2.	SPOSTAMENTI MASSIMI – TRATTO CONTINUO CON ISOLATORI	114
10.3.	RIEPILOGO SPOSTAMENTI MASSIMI	140
10.4.	SPOSTAMENTI MASSIMI VIADOTTO ESISTENTE	142

1. PREMESSA

Nell'ambito del progetto relativo alle strutture dei viadotti previsti nel progetto definitivo della Variante alla S.S. 1 Aurelia all'abitato del Comune di La Spezia (Lotto 3 – da Felettino al raccordo con la viabilità autostradale), nella presente si espongono le analisi del comportamento statico delle strutture del Viadotto dello Svincolo Melara, Asse S.

1.1. MELARA ASSE S

Il viadotto presenta l'impalcato a struttura mista con travi in cemento armato precompresso prefabbricate e una soletta in calcestruzzo collaborante, sottostrutture in cemento armato gettato in opera.

Si estende lungo l'asse di tracciamento S dalla progressiva 0+062.71 alla progressiva 0+414.49, con uno sviluppo quindi di 350m circa. L'impalcato è diviso in 11 campate con alle estremità una spalla fissa denominata "Spalla A" al km 0.41449 ed al km 0.06271 una pila denominata "P11S".

Sono poi disposte dieci pile di altezze differenti alle progressive: 0+382.43; 0+350.41; 0+318.41; 0+286.41; 0+254.25; 0+222.22; 0+190.36; 0+158.34; 0+126.33; 0+094.34.

Lo schema di vincolo è differente per i tratti in avvicinamento e per quelli in affiancamento; il primo caso prevede l'utilizzo su tutte le sottostrutture di isolatori elastomerici in gomma armata, mentre nel secondo appoggi in acciaio e PTFE.

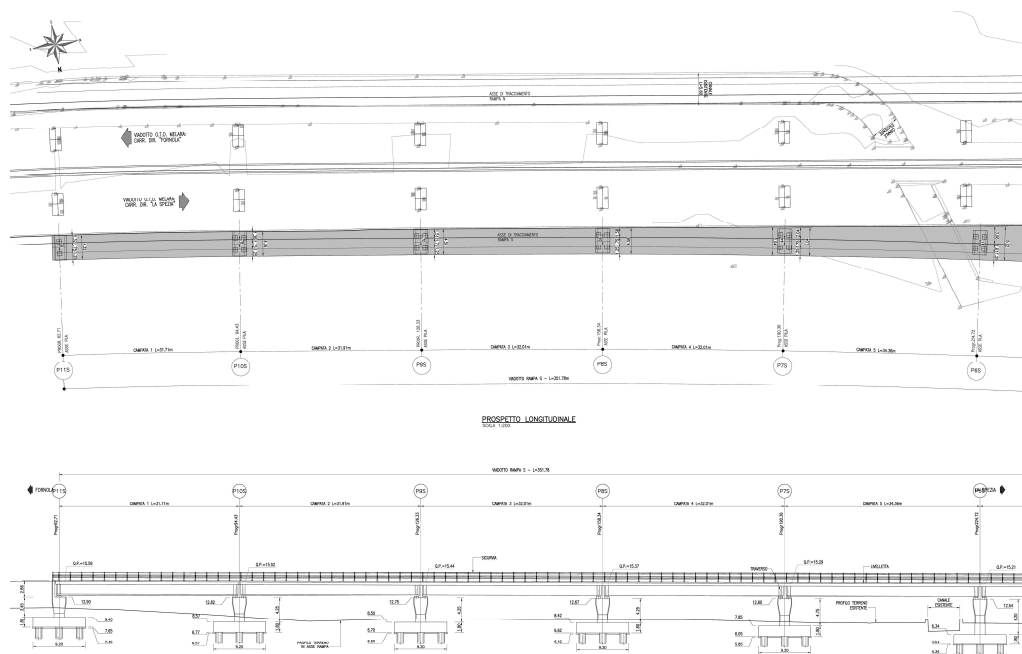
Gli appoggi in adiacenza al viadotto esistente sono di tipo fisso trasversalmente (un appoggio fisso ed uno unidirezionale longitudinale) e non consentono i movimenti trasversali in maniera da limitare gli spostamenti in corrispondenza del giunto longitudinale continuo.

La trave esterna è invece vincolata con un appoggio unidirezionale trasversale e un apparecchio multidirezionale per consentire i movimenti verso l'esterno e, per il solo lato vincolato all'apparecchio multidirezionale, anche i movimenti in tutte le direzioni. Le singole campate sono collegate da giunti sottopavimentazione, al pari di quelli già esistenti sui viadotti attualmente in esercizio,

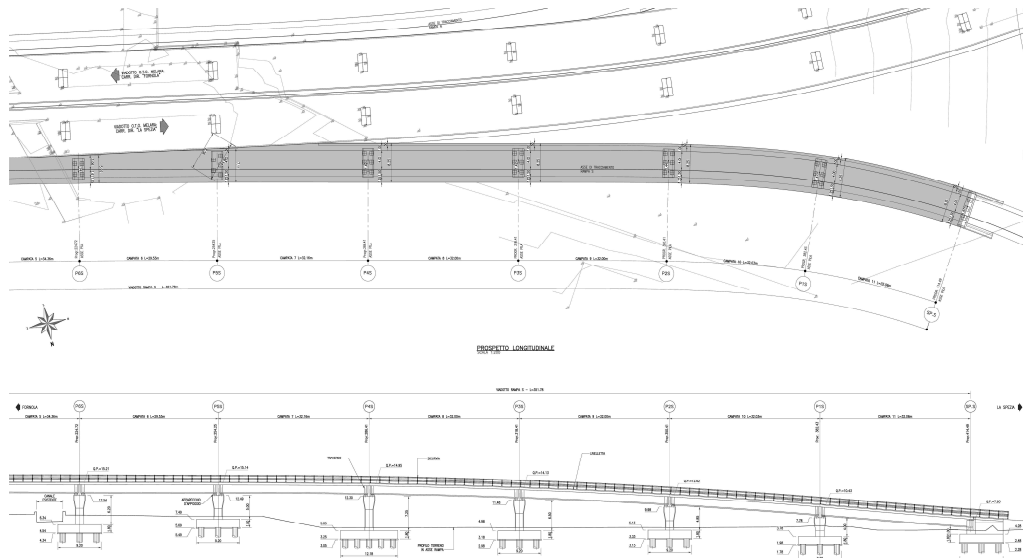
Le diverse situazioni geometriche e statiche lungo il tracciato presentano,

- tratti non in affiancamento con larghezze di impalcato di 8.25 metri (6.50 di piattaforma , cordolo in sinistra da m.0.50 e marciapiede in destra da m. 1.25)
- un tratto in affiancamento con larghezze di impalcato di 4.30 metri (4.05 di piattaforma e marciapiede in destra da m. 1.25)
- un tratto di transizione, con larghezze di piattaforma variabili da 6.50 a 4.05 metri, con cordolo in sinistra, fino alla sezione nella quale inizia il tratto in affiancamento, e marciapiede in destra da 1.25m.

ferme restando le lunghezze delle campate, mediamente da 32 metri circa, la cui lunghezza reale e' determinata dalla necessità di allineare le nuove pile a quelle dei viadotti esistenti.



Planimetria generale e vista longitudinale parte 1

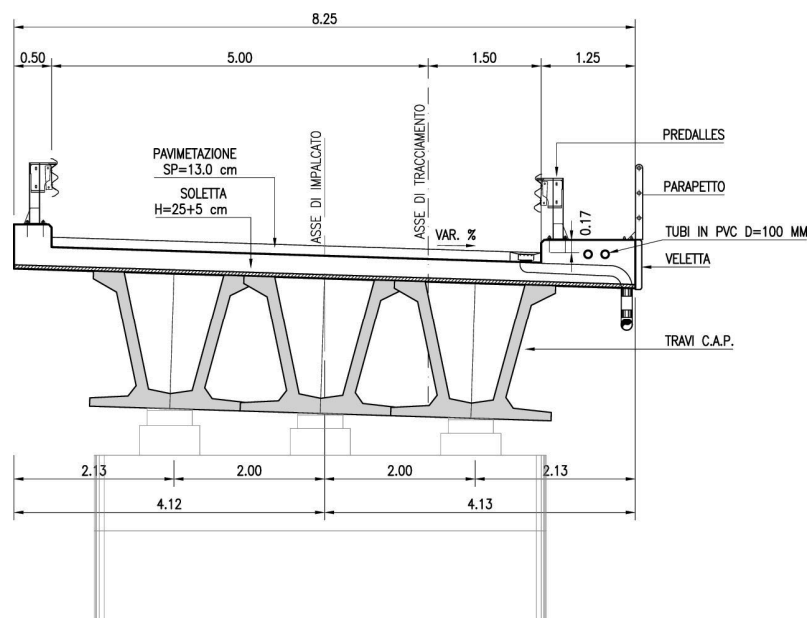
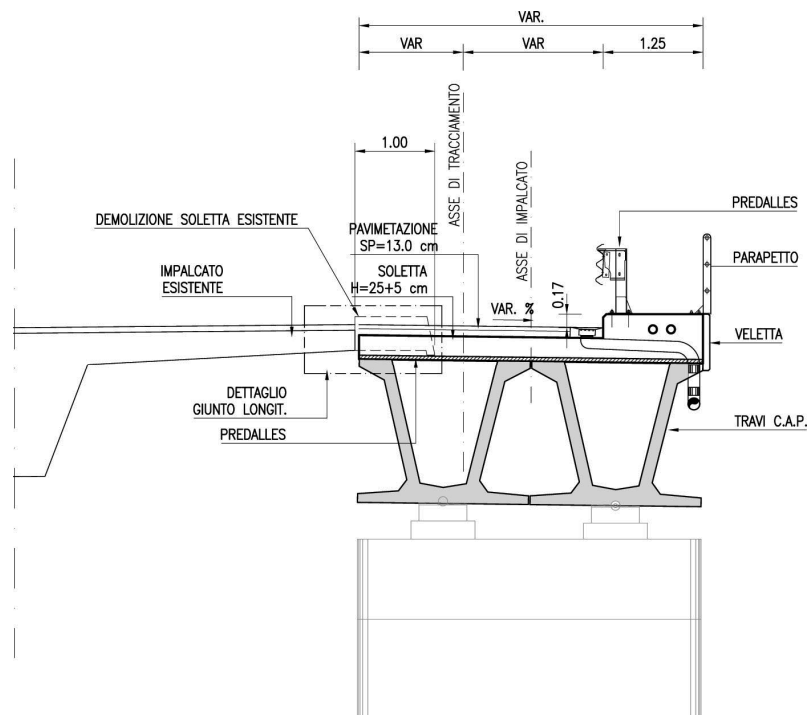


Planimetria generale e vista longitudinale parte 2

1.1.1. Impalcato

La larghezza dell'impalcato, tra la spalla B e la pila 5, è pari a m 8.25, dei quali m 6.50 per la carreggiata stradale e m 1.25 e m 0.50 rispettivamente per il marciapiede in destra e per il cordolo in sinistra. La parte di viadotto dalla pila 3 fino alla Pila 11 invece, essendo un tratto in affiancamento al tracciato già esistente, al quale viene connesso con un giunto sottopavimentazione, perde il cordolo in sinistra, e la sede stradale si restringe da 4.42m della pila 3 a 3.05 della Pila 11.

La struttura dell'impalcato è di tipo misto precompresso prefabbricato con soletta in opera; nella fattispecie è composto di due travi prefabbricate in c.a.p. di altezza 1.8m per il tratto in affiancamento e da tre per il tratto in avvicinamento e dalla soletta che ha uno spessore complessivo di 30 cm ed è gettata in opera mediante l'utilizzo di predalles tralicciate autoportanti di 5cm di spessore.

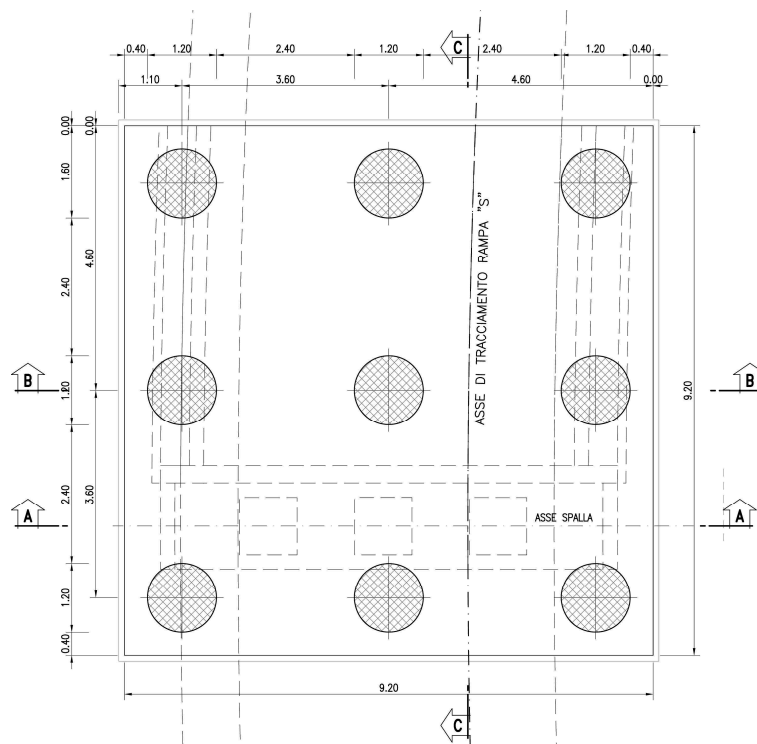


Sezione tipo impalcato a due travi e tre travi

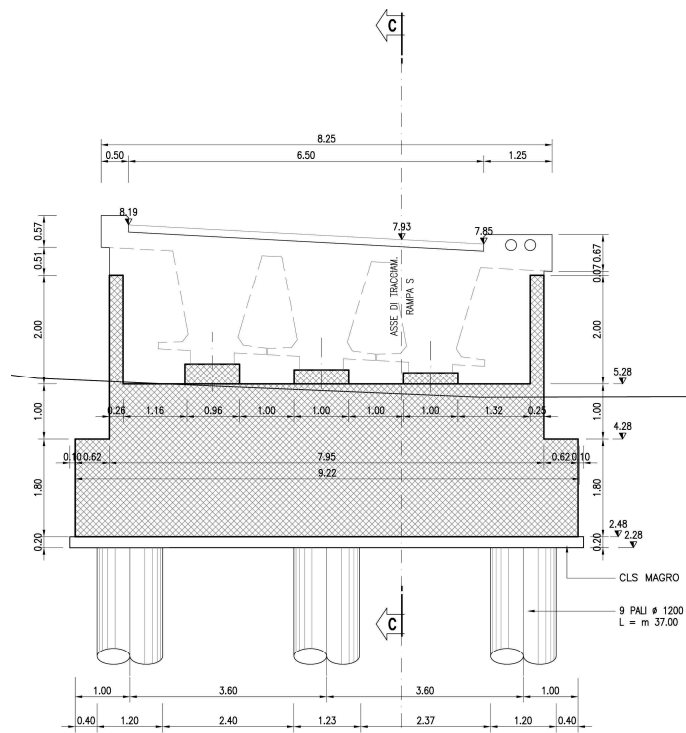
1.1.2. Spalla A

La spalla fissa presenta una configurazione a paramento e muri di risvolto per il contenimento del rilevato retrostante.

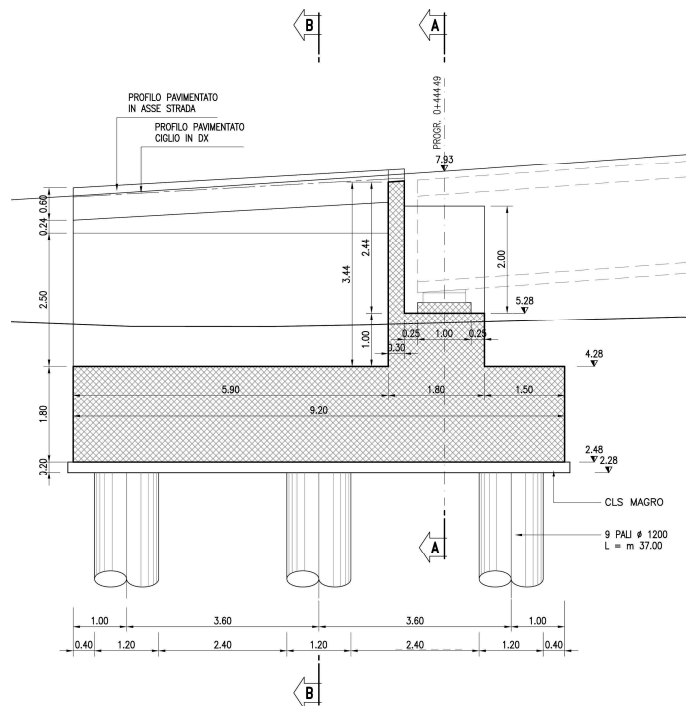
Le spalla è fondata su 9 pali \varnothing 1200 mm lunghi 35m; il plinto di fondazione ha uno sviluppo quadrato di lato 9.20m ed è alto 1.80m; il paramento è alto 1.00m ed è largo 1.80m; i risvolti hanno invece una lunghezza di 5.90m.



F27 – Pianta fondazione Spalla A



F28 – Prospetto Spalla A



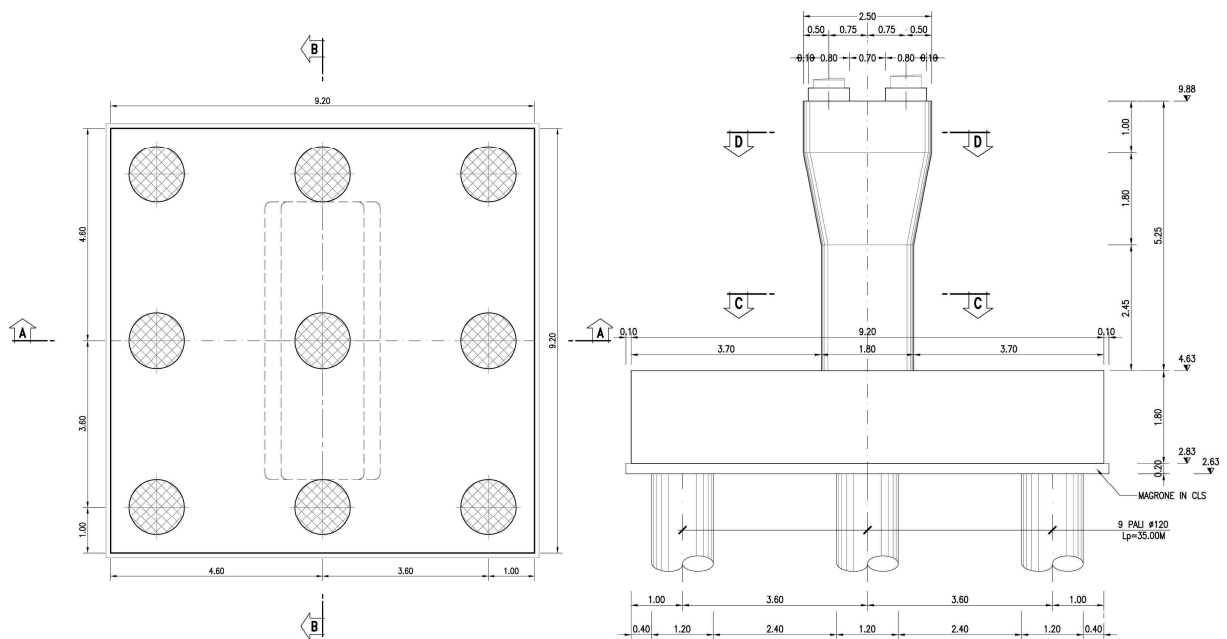
F29 – Sezione trasversale Spalla A

1.1.3. Pile

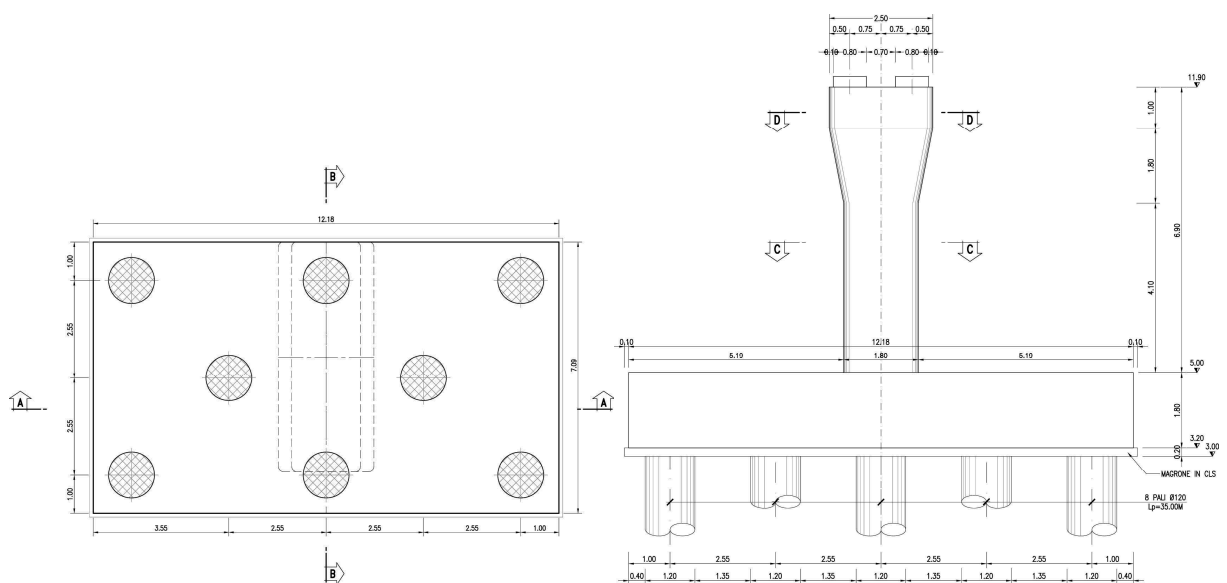
Per le pile sono state utilizzate sezioni con una geometria regolare, a sezione rettangolare e larghezza di 4.30 metri per il tratto in affiancamento e di 6.00 metri per i restanti tratti. I pulvini disposti in testa alle pile saranno tutti uguali tra di loro, avranno infatti una prima sezione a larghezza variabile alta 1.8m e quindi una parte a sezione costante di 100 centimetri. Le pile del tratto in affiancamento sono ubicate in allineamento al viadotto esistente.

In tabella si riassumono i dati principali relativi ad ogni pila:

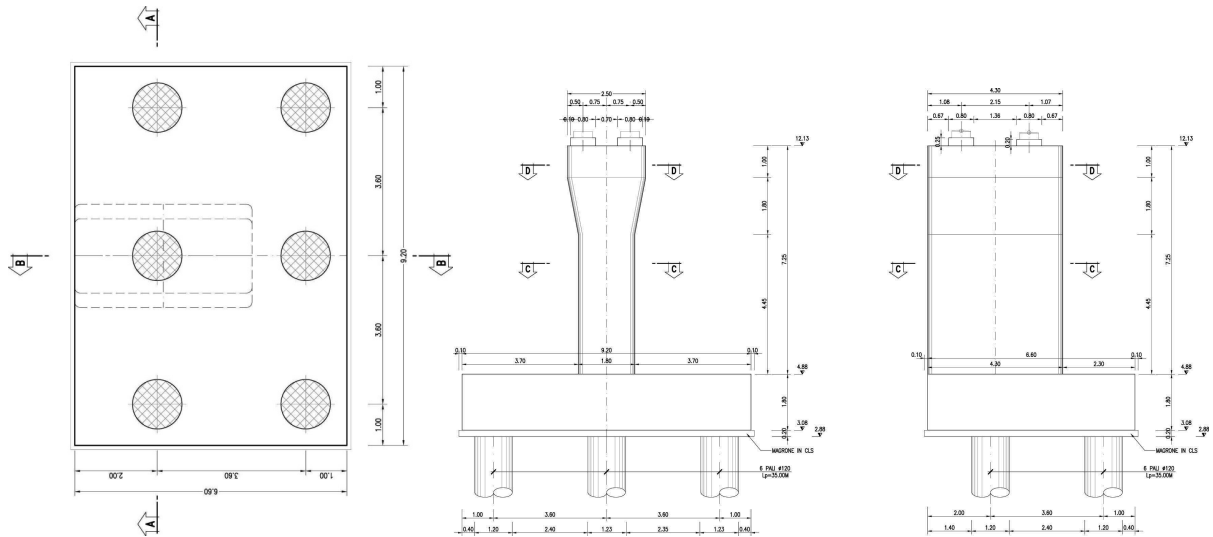
Pila n°	Progressiva	Larghezza plinto	Lunghezza plinto	Altezza plinto	N° pali	Lunghezza pali	Elevazione fusto
1	0.38243	9.2	9.2	1.8	9	35	1.2
2	0.35041	9.2	9.2	1.8	9	35	2.05
3	0.31841	9.2	9.2	1.8	9	35	3.7
4	0.28641	13.38	8.29	1.8	8	35	4.45
5	0.25425	9.2	6.6	1.8	6	35	2.2
6	0.22222	9.2	6.6	1.8	6	35	3.4
7	0.19036	9.2	6.6	1.8	6	35	1.95
8	0.15834	9.2	6.6	1.8	6	35	1.45
9	0.12633	9.2	6.6	1.8	6	35	1.45
10	0.09434	9.2	6.6	1.8	6	35	1.45
11	0.06271	9.2	6.6	1.8	6	35	0.65



Pila tipo 1



Pila tipo 2



Pila tipo 3

2. NORMATIVE DI RIFERIMENTO

Nella progettazione sono state prese in considerazione le normative di seguito indicate:

- Legge 5 novembre 1971, n. 1086 - Norme per la disciplina delle opere in conglomerato cementizio armato normale e precompresso ed a struttura metallica.
- Circolare Ministero dei Lavori pubblici 14 febbraio 1974, n.11951 – Applicazione delle norme sul cemento armato.
- Legge 5 febbraio 1974, n. 64 - Provvedimenti per le costruzioni con particolari prescrizioni per le zone sismiche.
- Decreto Ministero Infrastrutture 14 gennaio 2008 – Norme tecniche per le costruzioni
- Circolare Ministero Infrastrutture 02 febbraio.2009 n.617 - Istruzioni per l'applicazione delle Nuove Norme tecniche per le costruzioni di cui al D.M. 14 gennaio 2008
- Eurocodici UNI EN 1990:2006; UNI EN 1991; UNI EN 1992; UNI EN 1993; UNI EN 1994; UNI EN 1997; UNI EN 1998
- Calcestruzzo - specificazione, prestazione, produzione e conformità (UNI EN 206-1:2006)
- UNI EN 1992-1-1:2005 - EC 2: PROGETTAZIONE DELLE STRUTTURE DI CALCESTRUZZO;
- UNI EN 1992-1-2:2006 - EC 2 parte 2: CONCRETE BRIDGES (per quanto applicabile);
- UNI EN 13369:2004: REGOLE COMUNI PER PRODOTTI PREFABBRICATI DI CALCESTRUZZO;
- UNI EN 15050:2007: PRODOTTI PREFABBRICATI DI CALCESTRUZZO - ELEMENTI DA PONTE.
- MODEL CODE 90 CEB/FIP

3. CARATTERISTICHE DEI CALCESTRUZZI AI FINI DELLA DURABILITÀ

Al fine di valutare le caratteristiche vincolanti delle miscele di calcestruzzo nei confronti della durabilità viene fatto riferimento alla normativa UNI-EN 206 -1: 2006.

Vengono individuate tre possibili cause di degrado, la prima associata alla corrosione dell'armatura causata dalla carbonatazione del calcestruzzo, la seconda associata ai cicli gelo/disgelo ed all'esposizione a sali antigelo e la terza associata alla corrosione indotta da cloruri presenti nell'acqua di mare.

Alle tre cause corrispondono rispettivamente le classi di esposizione XC, XF e XS. Nell'ambito di ciascuna classe dovranno essere definite le sottoclassi specifiche per ciascun elemento strutturale.

3.1. FONDAZIONI: PILE, SPALLE E PALI DI FONDAZIONE

Nei confronti della corrosione causata dalla carbonatazione la sottoclasse di esposizione da considerare è la XC2: calcestruzzo bagnato e raramente asciutto; le prescrizioni minime da considerare per la miscela sono le seguenti:

Rapporto acqua/cemento	a/c	≤	0.60
Classe del calcestruzzo	R _{ck}	≥	C25/30
Dosaggio minimo in cemento			280 kg/mc

3.2. SOTTOSTRUTTURE IN ELEVAZIONE: PILE E SPALLE

Nei confronti della corrosione indotta da cloruri presenti nell'acqua di mare la sottoclasse di esposizione da considerare è la XS1: calcestruzzo esposto a nebbia salina ma non a contatto diretto con acqua di mare; le prescrizioni minime da considerare per la miscela sono le seguenti:

Rapporto acqua/cemento	a/c	≤	0.50
Classe del calcestruzzo	R _{ck}	≥	C30/37
Dosaggio minimo in cemento			300 kg/mc

3.3. IMPALCATO: SOLETTA

Nei confronti del degrado per cicli gelo disgelo viene considerata la sottoclasse XF3: elevata saturazione di acqua in assenza di sali disgelanti. A questa corrispondono le seguenti prescrizioni minime:

Rapporto acqua/cemento	a/c	≤	0.50
Classe del calcestruzzo	R _{ck}	≥	C30/37
Dosaggio minimo in cemento			320 kg/mc
Volume di aria nel getto			4%

Aggregati con sufficiente resistenza al gelo/disgelo in accordo alla EN 12620.

Alla miscela saranno aggiunti additivi antiritiro.

3.4. IMPALCATO: TRAVERSI E TRAVI IN C.A.P.

Nei confronti della corrosione indotta da cloruri presenti nell'acqua di mare la sottoclasse di esposizione da considerare è la XS1: calcestruzzo esposto a nebbia salina ma non a contatto diretto con acqua di mare; le prescrizioni minime da considerare per la miscela sono le seguenti:

Rapporto acqua/cemento	a/c	≤	0.50
Classe del calcestruzzo	R _{ck}	≥	C30/37
Dosaggio minimo in cemento			300 kg/mc

4. CARATTERISTICHE DEI MATERIALI E METODI DI CALCOLO

Fondazioni ed elevazioni pile e spalle

Calcestruzzo:

CLS per magrone e spianamenti	$R_{ck} \geq 15$ Mpa	(C12/15)
CLS per fondazioni e pali	$R_{ck} \geq 30$ Mpa	(C25/30)
CLS per elevazione pile ed elevazione spalle	$R_{ck} \geq 37$ MPa	(C30/37)
CLS per traversi	$R_{ck} \geq 40$ MPa	(C32/40)

Acciaio:

Acciaio per armatura ordinaria

B450C (ex Fe B44k)

Calcestruzzo Travi

Valori di riferimento a 28 giorni

- Resistenza caratteristica cilindrica a compressione:	$f_{ck} = 45.00$ N/mm ²
- Resistenza caratteristica cubica a compressione:	$R_{ck} = 55.00$ N/mm ²
- Resistenza media cilindrica a compressione:	$f_{cm} = 53.00$ N/mm ²
- Resistenza caratteristica a trazione assiale:	$f_{ctk} = -2.66$ N/mm ²
- Resistenza media a trazione assiale:	$f_{ctm} = -3.80$ N/mm ²
- Modulo di elasticità secante:	$E_{cm} = 36283$ N/mm ²
- Deformazione ultima di contrazione:	$\epsilon_{cu} = 0.350$ %

Tensioni limite di compressione in esercizio

- combinazione rara ($0.6 \cdot f_{ck}$):	$= 27.00$ N/mm ²
- combinazione quasi permanente ($0.45 \cdot f_{ck}$):	$= 20.25$ N/mm ²

Valori di riferimento all'atto della precompressione

- Resistenza caratteristica cilindrica a compressione:	$f_{ckj} = 32.00$ N/mm ²
- Resistenza caratteristica cubica a compressione:	$R_{ckj} = 40.00$ N/mm ²
- Tensione limite di compressione ($0.70 \cdot f_{ckj}$):	$= 22.40$ N/mm ²

Calcestruzzo Soletta

A.N.A.S. S.p.A.

Variante alla SS n. 1 Aurelia (Aurelia bis)

Viabilità di accesso all'hub portuale di La Spezia

Interconnessione tra i caselli della A-12 ed il Porto di La Spezia

Progetto esecutivo

Giugno 2011

Rev. B

V04VI14STRRE01_B

c.a.: C287.A

Valori di riferimento a 28 giorni

- Resistenza caratteristica cilindrica a compressione:	f_{ck}	=	35.00	N/mm ²
- Resistenza caratteristica cubica a compressione:	R_{ck}	=	45.00	N/mm ²
- Resistenza media cilindrica a compressione:	f_{cm}	=	43.00	N/mm ²
- Resistenza caratteristica a trazione assiale:	f_{ctk}	=	-2.25	N/mm ²
- Resistenza media a trazione assiale:	f_{ctm}	=	-3.21	N/mm ²
- Modulo di elasticità secante:	E_{cm}	=	34077	N/mm ²
- Deformazione ultima di contrazione:	ϵ_{cu}	=	0.350	%

Tensioni limite di compressione in esercizio

- combinazione rara ($0.6 \cdot f_{ck}$):	=	21.00	N/mm ²
- combinazione quasi permanente ($0.45 \cdot f_{ck}$):	=	15.75	N/mm ²

Acciaio di precompressione

- Tipo di acciaio impiegato: Classe 2 - Trefoli a basso rilassamento

Valori di riferimento

- Resistenza caratteristica:	f_{ptk}	=	1860.00	N/mm ²
- Tensione caratteristica all'1 % di deformazione totale:	$f_{p(1)k}$	=	1670.00	N/mm ²
- Modulo di elasticità:	E_p	=	195000	N/mm ²
- Deformazione ultima:	ϵ_{uk}	=	3.500	%
- Rilassamento a 1000 ore:	ρ_{1000}	=	2.50	%

Tensioni limite

- Tensione iniziale alla tesatura ($0.9 \cdot f_{p(1)k}$ o $0.8 \cdot f_{ptk}$):	σ_{pi}	=	1503.00	N/mm ²
- Tensione massima in esercizio ($0.8 \cdot f_{p(1)k}$):	σ_p	=	1336.00	N/mm ²

Acciaio ordinario

- Tipo di acciaio impiegato: B450C

Valori di riferimento

- Resistenza caratteristica a trazione:	f_{tk}	=	540.00	N/mm ²
- Tensione caratteristica di snervamento:	f_{yk}	=	450.00	N/mm ²
- Modulo di elasticità:	E_s	=	200000	N/mm ²
- Deformazione ultima:	ϵ_{uk}	=	7.500	%

Tensioni limite

A.N.A.S. S.p.A.

Variante alla SS n. 1 Aurelia (Aurelia bis)
 Viabilità di accesso all'hub portuale di La Spezia
 Interconnessione tra i caselli della A-12 ed il Porto di La Spezia
 Progetto esecutivo

Giugno 2011

Rev. B
 V04VI14STRRE01_B
 c.a.: C287.A

- Tensione massima in esercizio ($0.8 \cdot f_{yk}$): $\sigma_s = 360.00 \text{ N/mm}^2$

Le verifiche sono state eseguite adottando come metodo di calcolo quello semiprobabilistico agli Stati Limite, adottando come normativa di riferimento il testo unico sulle norme tecniche per le costruzioni (D.M.14.1.2008).

Le caratteristiche di resistenza dei materiali suddetti espresse in Mpa e utilizzate nelle verifiche sono riportate nelle pagine seguenti.

4.1. VERIFICHE ALLO SLU

Calcestruzzi

R_{ck} = Resistenza caratteristica cubica

f_{ck} = Resistenza caratteristica cilindrica = $R_{ck} \times 0.83$

f_{cd} = Resistenza di calcolo cilindrica = $\alpha_{cc} f_{ck} / \gamma_c$

γ_c = coefficiente di sicurezza = 1.5

TIPO CLS	R_{ck} (Mpa)	f_{ck} (Mpa)	f_{cd} (Mpa)
Calcestruzzo R_{ck} 30 MPa	30.0	24.90	14.11
Calcestruzzo R_{ck} 37 MPa	37.0	30.71	17.40
Calcestruzzo R_{ck} 40 MPa	40.0	33.20	18.81
Calcestruzzo R_{ck} 55 MPa	55.0	45.65	25.87

Acciaio in barre

f_{yk} = Tensione caratteristica di snervamento = 450 Mpa

f_{yd} = Resistenza di calcolo = $f_{yk} / \gamma_s = 391.0 \text{ Mpa}$

γ_s = coefficiente di sicurezza = 1.15

Acciaio di carpenteria

f_{yk} = Tensione caratteristica di snervamento = 355 Mpa

f_{yd} = Resistenza di calcolo = $f_{yk} / \gamma_s = 338.1 \text{ Mpa}$

γ_s = coefficiente di sicurezza = 1.05

4.2. VERIFICHE ALLO SLE (FESSURAZIONE) CON COMBINAZIONI QP-FR

In ordine di severità crescente si distinguono i seguenti stati limite:

- a) stato limite di decompressione nel quale, per la combinazione di azioni prescelta, la tensione normale è ovunque di compressione ed al più uguale a 0 ;
- b) stato limite di formazione delle fessure, nel quale, per la combinazione di azioni prescelta, la tensione normale di trazione nella fibra più sollecitata è:

$$\sigma_t = \frac{f_{ctm}}{1,2}$$

c) stato limite di apertura delle fessure nel quale, per la combinazione di azioni prescelta, il valore limite di apertura della fessura calcolato al livello considerato è pari ad uno dei seguenti valori nominali:

$$w_1 = 0,2 \text{ mm}$$

$$w_2 = 0,3 \text{ mm}$$

$$w_3 = 0,4 \text{ mm}$$

Lo stato limite di fessurazione deve essere fissato in funzione delle condizioni ambientali e della sensibilità delle armature alla corrosione.

Le condizioni ambientali, ai fini della protezione contro la corrosione delle armature metalliche, possono essere suddivise in ordinarie, aggressive e molto aggressive in relazione a quanto indicato nella tabella seguente:

Condizioni ambientali	Classe di esposizione
<i>Ordinarie</i>	X0, XC1, XC2, XC3, XF1
<i>Aggressive</i>	XC4, XD1, XS1, XA1, XA2, XF2, XF3
<i>Molto aggressive</i>	XD2, XD3, XS2, XS3, XA3, XF4

Le armature si distinguono in due gruppi:

- armature sensibili;
- armature poco sensibili.

Appartengono al primo gruppo gli acciai da precompresso. Appartengono al secondo gruppo gli acciai ordinari. Per gli acciai zincati e per quelli inossidabili si può tener conto della loro minor sensibilità alla corrosione.

Nella tabella seguente si riportano per completezza anche i limiti di apertura delle fessure in funzione delle condizioni ambientali e della sensibilità delle armature:

Gruppi di esigenze	Condizioni ambientali	Combinazione di azioni	Armatura			
			Sensibile		Poco sensibile	
			Stato limite	w_d	Stato limite	w_d
a	<i>Ordinarie</i>	frequente	ap. fessure	$\leq w_2$	ap. fessure	$\leq w_3$
		quasi permanente	ap. fessure	$\leq w_1$	ap. fessure	$\leq w_2$
b	<i>Aggressive</i>	frequente	ap. fessure	$\leq w_1$	ap. fessure	$\leq w_2$
		quasi permanente	decompressione	-	ap. fessure	$\leq w_1$
c	<i>Molto aggressive</i>	frequente	formazione fessure	-	ap. fessure	$\leq w_1$
		quasi permanente	decompressione	-	ap. fessure	$\leq w_1$

4.3. VERIFICHE ALLO SLE

Detta f_{ckj} la resistenza caratteristica cilindrica a compressione del calcestruzzo a j giorni di stagionatura all'atto della precompressione, le tensioni di compressione e di trazione nel calcestruzzo nella condizione di carico 'a vuoto' devono soddisfare la limitazione (in fase di costruzione il calcestruzzo delle travi in c.a.p. viene precompresso non prima che sia stata raggiunta una resistenza $R_{ckj} = 40.0 \text{ Mpa} \rightarrow f_{ckj} = 32.0 \text{ Mpa}$):

$$\sigma_{cj} \leq 0.70 f_{ckj} = 22.40 \text{ Mpa} \quad \text{compressione ammissibile}$$

$$\sigma_{tj} \leq f_{ctmj} = 0.3 (f_{ckj})^{2/3} = 3.02 \text{ Mpa} \quad \text{trazione ammissibile}$$

Per le zone di ancoraggio sono tollerate tensioni di compressione pari a $\sigma_c \leq 0.9 f_{ckj}$

Detta f_{ck} la resistenza caratteristica cilindrica a compressione del calcestruzzo, le tensioni di compressione e di trazione nel calcestruzzo nelle condizioni di esercizio devono soddisfare la limitazione ($R_{ck} = 55.0 \text{ Mpa} \rightarrow f_{ck} = 45.65 \text{ Mpa}$):

Travi prefabbricate

$$\sigma_c \leq 0.60 f_{ck} = 27.39 \text{ Mpa} \quad \text{compressione limite (combinazione rara)}$$

$$\sigma_c \leq 0.45 f_{ck} = 20.54 \text{ Mpa} \quad \text{compressione limite (comb. quasi permanente)}$$

$$\sigma_t \leq f_{ctm} = 0.3 (f_{ck})^{2/3} = 4.33 \text{ Mpa} \quad \text{trazione limite (combinazione rara)}$$

Armatura ordinaria

$$\sigma_a \leq 0.70 f_{yk} = 315.0 \text{ Mpa} \quad \text{(combinazione rara)}$$

Armatura di precompressione pre-tesa (travi in c.a.p.)

$$\sigma_{spi} \leq 0.90 f_{p(0,1)k} = 1530 \text{ Mpa} \quad \sigma_{spi} \leq 0.80 f_{ptk} = 1520 \text{ Mpa}$$

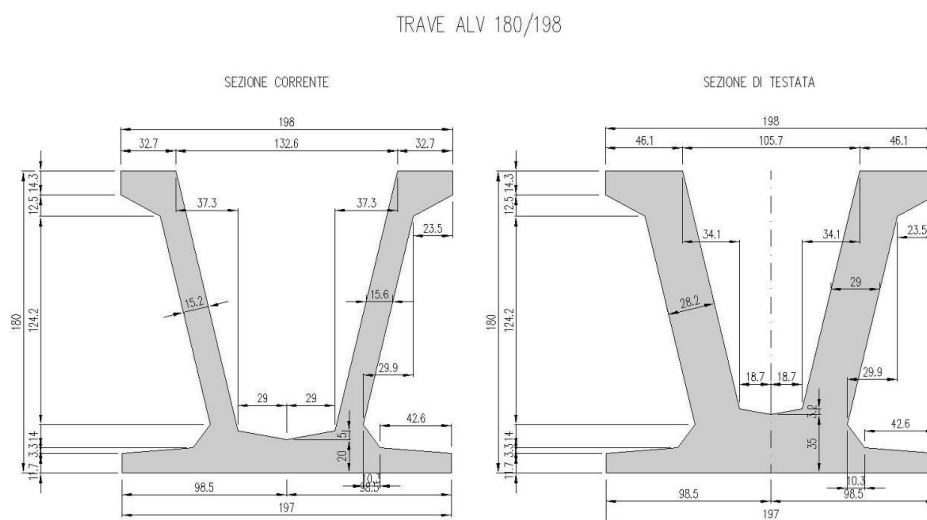
5. ANALISI DEI CARICHI

Di seguito si riporta l'analisi delle singole condizioni di carico considerate per il dimensionamento delle strutture.

5.1. PESO PROPRIO IMPALCATO

Trave in c.a.p

Si riportano di seguito le caratteristiche geometriche della trave in c.a.p.



Peso unitario sezione corrente:	g_{tr}	=	23.34	kN/m
Peso unitario sezione di testata:	g_{tr0}	=	34.73	kN/m
Peso totale della trave:	G_0	=	774.63	kN

Soletta in c.a.

Di spessore complessivo 0.30 m (0.25m+0.05m), larghezza variabile da 4.30 m a 8.25 m.

Peso unitario: $25.00 \times 0.30 = 7.50$ kN/mq

Peso unitario impalcato da 4.30 m = 32.25 kN/m

Peso unitario impalcato da 8.25 m = 61.87 kN/m

Trasversi in c.a.

Di spessore pari a 0.50 m e altezza 1.80 m.

Peso unitario: $25.00 \times 0.50 \times 1.80 = 22.50$ kN/m

5.2. PESO PROPRIO SOTTOSTRUTTURE

Si riportano di seguito le caratteristiche delle sottostrutture e i pesi unitari considerati in progetto.

			Sezione (cmq)	Peso unitario (kN)
Pile 1	Pulvino	H = 1.00 m	600 x 250	375,00
	Pulvino	H = 1.80 m	var 600x250÷600x180	322,50
	Fusto	H = 1.20 m	600x180	270,00
	Plinto	H = 1.80 m	920x920	2116,00
Pile 2	Pulvino	H = 1.00 m	600 x 250	375,00
	Pulvino	H = 1.80 m	var 600x250÷600x180	322,50
	Fusto	H = 2.05 m	600x180	270,00
	Plinto	H = 1.80 m	920x920	2116,00
Pile 3	Pulvino	H = 1.00 m	600 x 250	375,00
	Pulvino	H = 1.80 m	var 600x250÷600x180	322,50
	Fusto	H = 3.70 m	600x180	270,00
	Plinto	H = 1.80 m	920x920	2116,00
Pile 4	Pulvino	H = 1.00 m	600 x 250	375,00
	Pulvino	H = 1.80 m	var 600x250÷600x180	322,50
	Fusto	H = 4.45 m	600x180	270,00
	Plinto	H = 1.80 m	829x1338	2773,00
Pile 5	Pulvino	H = 1.00 m	600 x 250	268,75
	Pulvino	H = 1.80 m	var 600x250÷600x180	231,13
	Fusto	H = 2.20 m	600x180	193,50
	Plinto	H = 1.80 m	829x1338	2773,00
Pile 6	Pulvino	H = 1.00 m	430 x 250	268,75
	Pulvino	H = 1.80 m	var 430x250÷430x180	231,13
	Fusto	H = 3.40 m	430x180	193,50
	Plinto	H = 1.80 m	920x660	1518,00
Pile 7	Pulvino	H = 1.00 m	430 x 250	268,75
	Pulvino	H = 1.80 m	var 430x250÷430x180	231,13
	Fusto	H = 1.95 m	430x180	193,50
	Plinto	H = 1.80 m	920x660	1518,00
Pile 8	Pulvino	H = 1.00 m	430 x 250	268,75
	Pulvino	H = 1.80 m	var 430x250÷430x180	231,13
	Fusto	H = 1.45 m	430x180	193,50
	Plinto	H = 1.80 m	920x660	1518,00
Pile 9	Pulvino	H = 1.00 m	430 x 250	268,75
	Pulvino	H = 1.80 m	var 430x250÷430x180	231,13
	Fusto	H = 1.45 m	430x180	193,50
	Plinto	H = 1.80 m	920x660	1518,00
Pile 10	Pulvino	H = 1.00 m	430 x 250	268,75
	Pulvino	H = 1.80 m	var 430x250÷430x180	231,13
	Fusto	H = 1.45 m	430x180	193,50
	Plinto	H = 1.80 m	920x660	1518,00
Pile 11	Pulvino	H = 1.00 m	430 x 250	268,75
	Pulvino	H = 1.80 m	var 430x250÷430x180	231,13
	Fusto	H = 0.05 m	430x180	193,50
	Plinto	H = 1.80 m	920x660	1518,00

5.3. CARICHI PERMANENTI PORTATI

Cordoli

Sono in cls gettato in opera di larghezza pari a 1.25 m e 0.50 m , spessore medio pari a circa 0.30 m.

Peso unitario cordolo 1.25 m = 25.00 x 0.30 x 1.25 = 9.375 kN/m

Peso unitario cordolo 0.50 m = 25.00 x 0.30 x 0.50 = 3.75 kN/m

Pavimentazione

Si considera un carico unitario pari a 3.00 kN/mq.

Peso unitario pavimentazione da 3.05 m (impalcato da 4.30 m) = 9.15 kN/m

Peso unitario pavimentazione da 6.50 m (impalcato da 8.25 m) = 19.5 kN/m

Sicurvia

Si considera un peso unitario pari a 1.50 kN/m.

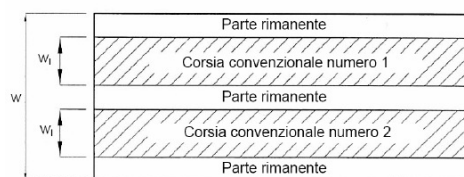
Rete e parapetto

Si prevedono di peso proprio pari a 1.50 kN/m.

5.4. CARICHI MOBILI

I carichi mobili da considerare sono quelli del traffico previsti dalle NTC 2008.

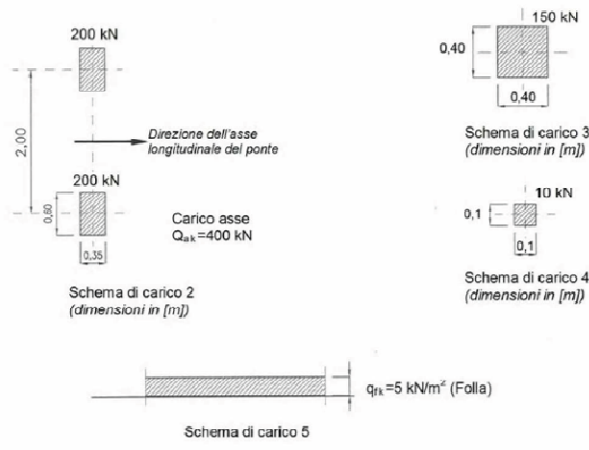
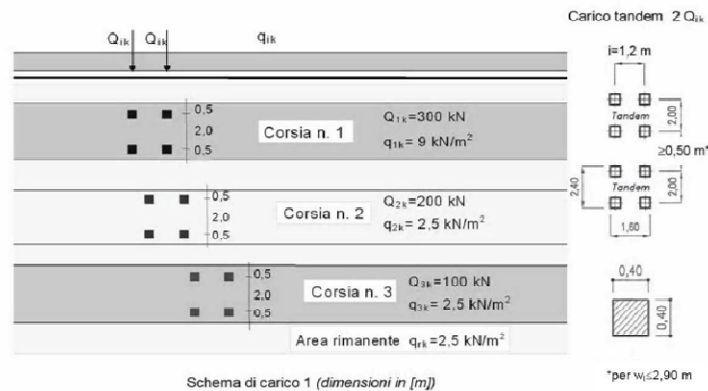
Preliminarmente sono definite le corsie ideali in cui può suddividersi l'impalcato. La Normativa prevede che "le larghezze w_i delle corsie convenzionali su una carreggiata ed il massimo numero (intero) possibile di tali corsie su di essa sono indicati nel prospetto seguente (D.M. 14-01-2008)."



Larghezza di carreggiata "w"	Numero di corsie convenzionali	Larghezza di una corsia convenzionale [m]	Larghezza della zona rimanente [m]
$w < 5,40$ m	$n_i = 1$	3,00	$(w-3,00)$
$5,4 \leq w < 6,0$ m	$n_i = 2$	$w/2$	0
$6,0 \text{ m} \leq w$	$n_i = \text{Int}(w/3)$	3,00	$w - (3,00 \times n_i)$

Intensità dei carichi Q_{ik} e q_{ik} per le diverse corsie

Posizione	Carico asse Q_{ik} [kN]	q_{ik} [kN/m ²]
Corsia Numero 1	300	9,00
Corsia Numero 2	200	2,50
Corsia Numero 3	100	2,50
Altre corsie	0,00	2,50



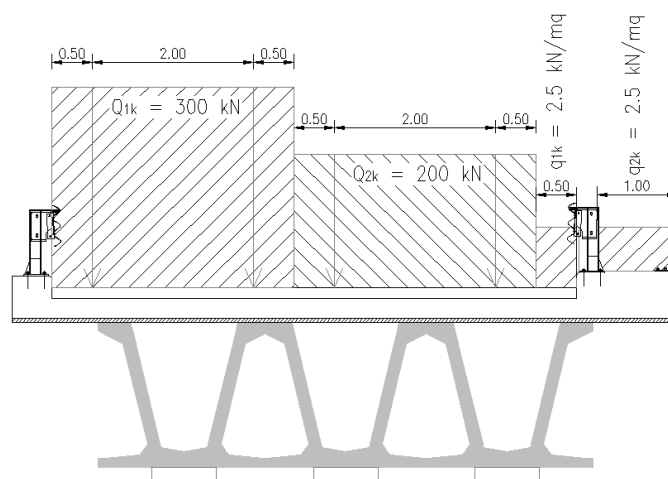
- una prima stesa 1 di carichi costituita da un automezzo aderente al cordolo Q_{1k} di 600 kN dotato di 2 assi di 2 ruote ciascuno, distanziati di 1.20 m in senso longitudinale e con interasse ruote in senso trasversale di 2.00 m, più carichi q_{1k} di 9 kN/mq distribuiti linearmente in asse al convoglio oltre l'ingombro di Q_{1k} ;
- una seconda stesa 2 di carichi costituita da un automezzo adiacente stesa 1 Q_{2k} di 400 kN dotato di 2 assi di 2 ruote ciascuno, distanziati di 1.20 m in senso longitudinale e con interasse ruote in senso trasversale di 2.00 m, più carichi q_{2k} di 2.5 kN/mq distribuiti

linearmente in asse al convoglio oltre l'ingombro di Q_{2k} , posta ad interasse dalla precedente di 3.00 m.

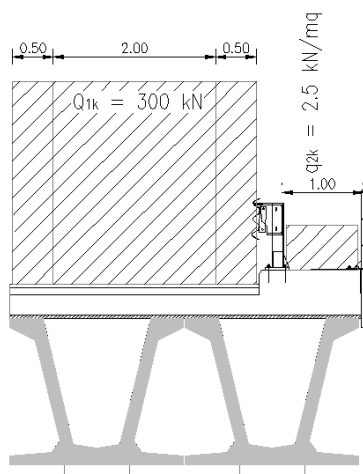
- una terza stesa 3 di carichi costituita da un automezzo adiacente stesa 2 Q_{3k} di 200 kN dotato di 2 assi di 2 ruote ciascuno, distanziati di 1.20 m in senso longitudinale e con interasse ruote in senso trasversale di 2.00 m, più carichi q_{3k} di 2.5 kN/mq distribuiti linearmente in asse al convoglio oltre l'ingombro di Q_{3k} , posta ad interasse dalla precedente di 3.00 m.
- una quarta stesa 4 di carichi costituita da carichi q_{4k} di 2.5 kN/mq distribuiti linearmente in asse alla area rimanente di carreggiata.
- Carico da folla di $q_{fk} = 2.5$ KN/mq agente sui cordoli pedonali per una larghezza di 1.0m.

I carichi suddetti, pertanto, sono considerati tutti o in parte in funzione della larghezza della carreggiata ed ai fini del calcolo sono disposti in senso trasversale e longitudinale in maniera da massimizzare il valore della sollecitazione d'interesse.

Di seguito è riportata la diposizione delle colonne di carico sugli impalcati di larghezza 8.25m e 4.30m in condizione di pieno carico.



F 1. Shema dei carichi mobili su impalcato da 8.25 m



F 2. Shema dei carichi mobili su impalcato da 4.30 m

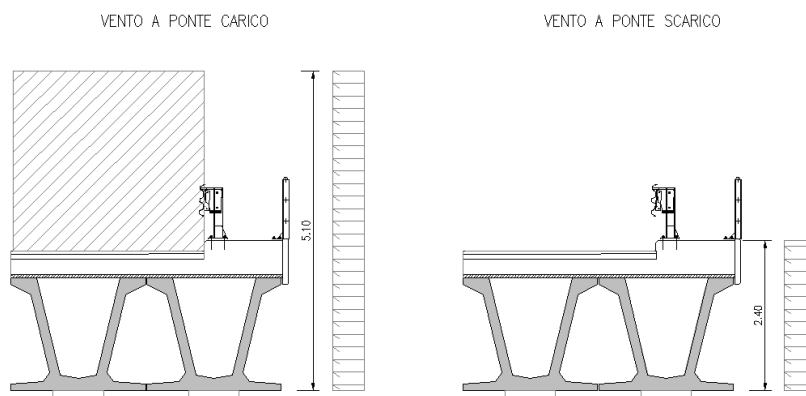
5.5. VARIAZIONE TERMICA

Per quanto riguarda gli effetti della temperatura sulla struttura è stata considerata una variazione termica uniforme sull'altezza della trave di 10°C.

5.6. AZIONE DEL VENTO

L'azione del vento sull'impalcato è determinata a partire da un carico orizzontale statico, diretto, nella condizione più sfavorevole, ortogonalmente all'asse del ponte, agente sulla proiezione, nel piano verticale, delle superfici direttamente investite dal vento.

Per tale carico si assume cautelativamente un valore unitario pari a 2.50 kN/mq. La superficie dei carichi transitanti sul ponte si assimila ad una parete rettangolare continua dell'altezza di 3.00m a partire dal piano stradale.



F 3. Superficie investita dal vento in condizione di ponte carico e scarico

- Azione normale e torcente da vento trasversale su impronta fissa (ponte scarico):

Sul fronte laterale impalcato, di altezza assunta pari a 2.40 m, risulta:

$$q_{5 F imp} = 2.50 \times 2.40 = 6.00 \text{ kN/m}$$

Alla quota baricentrica di impalcato, l'azione torcente risulta pari a:

$$q_{5 Mt imp} \sim 0 \text{ kNm/m}$$

- Azione normale e torcente da vento trasversale su impronta fissa (ponte carico):

Sul fronte laterale impalcato, di altezza assunta pari a 5.10 m, risulta:

$$q_{5 F imp} = 2.50 \times 5.10 = 12.75 \text{ kN/m}$$

Alla quota baricentrica di impalcato, l'azione torcente risulta pari a:

$$q_{5 Mt imp} = 17.47 \text{ kNm/m}$$

5.7. AZIONE LONGITUDINALE DI FRENAMENTO

La forza di frenamento si assume agente in direzione longitudinale a livello della pavimentazione stradale lungo l'asse della corsia. La forza q_3 viene espressa in funzione del carico verticale totale agente sulla corsia convenzionale 1, ed è uguale a:

$$180 \text{ kN} \leq q_3 = 0.6 (2Q_{1k}) + 0.10 q_{1k} w_1 L \leq 900 \text{ kN}$$

Dove w_1 è la larghezza della carreggiata ed L è la lunghezza della zona caricata.

Si è considerato:

Tratto con campate continue $L = 128 \text{ m}$ $q_3 = 705.60 \text{ kN}$

Tratto con campate in semplice appoggio $L = 32.00 \text{ m}$ $q_3 = 446.40 \text{ kN}$

5.8. AZIONE TRASVERSALE CENTRIFUGA

L'azione trasversale centrifuga q_4 viene assunta come previsto dal regolamento soltanto nei tratti in curva del ponte e vale:

$$q = 0.2 Q_v \quad \text{per } R < 200.0 \text{ m}$$

$$q = 40 Q_v / R \quad \text{per } 200.0 \text{ m} \leq R \leq 1500.0 \text{ m}$$

$$q = 0 \quad \text{per } R \geq 1500.0 \text{ m}$$

$$\text{dove } Q_v = \sum_i 2 Q_{ik} = 1000 \text{ KN}$$

Essendo il raggio di curvatura considerato pari a $R = 400 \text{ m}$, il valore della forza è pari a 100 KN , distribuito sulle ultime 4 campate.

5.9. ATTRITO DEI VINCOLI

A.N.A.S. S.p.A.

Variante alla SS n. 1 Aurelia (Aurelia bis)

Viabilità di accesso all'hub portuale di La Spezia

Interconnessione tra i caselli della A-12 ed il Porto di La Spezia

Progetto esecutivo

Giugno 2011

Rev. B

V04VI14STRRE01_B

c.a.: C287.A

Sulla parte di viadotto con campate strutturalmente indipendenti, si assume agente in testa pila un'azione longitudinale di attrito dei vincoli pari al 3% dei carichi permanenti di impalcato.

5.10. AZIONE SISMICA

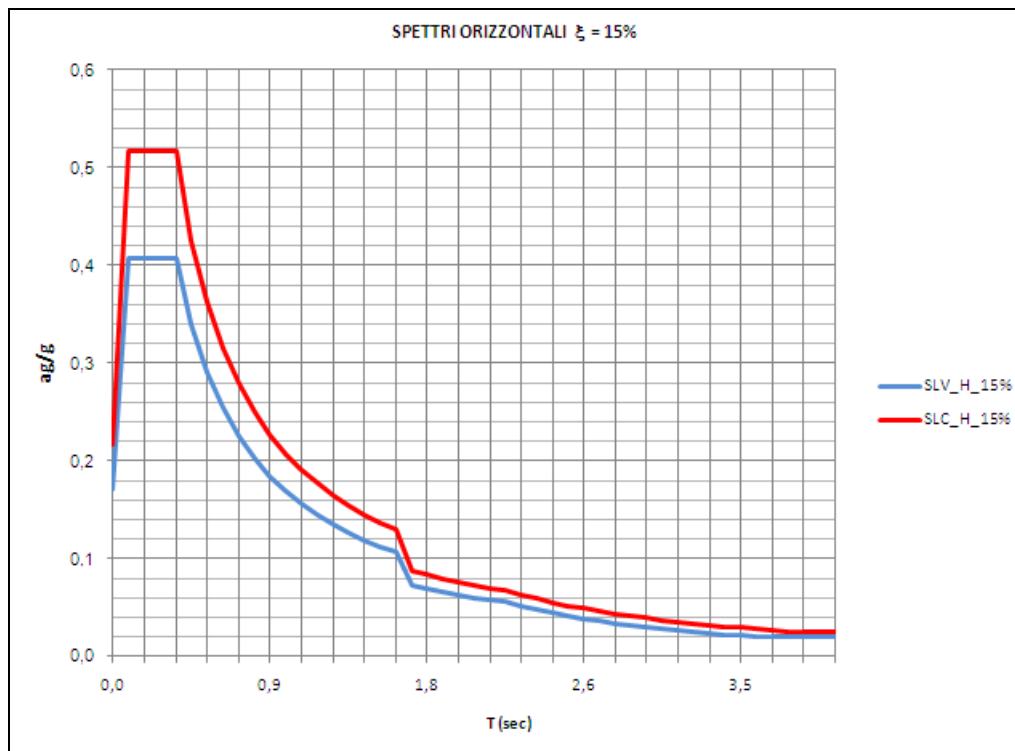
Per la zona in cui ricade l'opera in esame (coordinate long.9.8444 – lat.44.1115), è definita un'accelerazione al suolo $a_g/g = 0.142$ (Nuove norme tecniche per le costruzioni 14-01-08). Per valutare le azioni sismiche è stata effettuata un'analisi modale con spettro di risposta elastico definito in funzione di:

- Classe d'uso III ($C_u=1.5$)
- Categoria di suolo B
- Categoria Topografica T1
- Fattore di struttura $q = 1$ (spettro elastico)

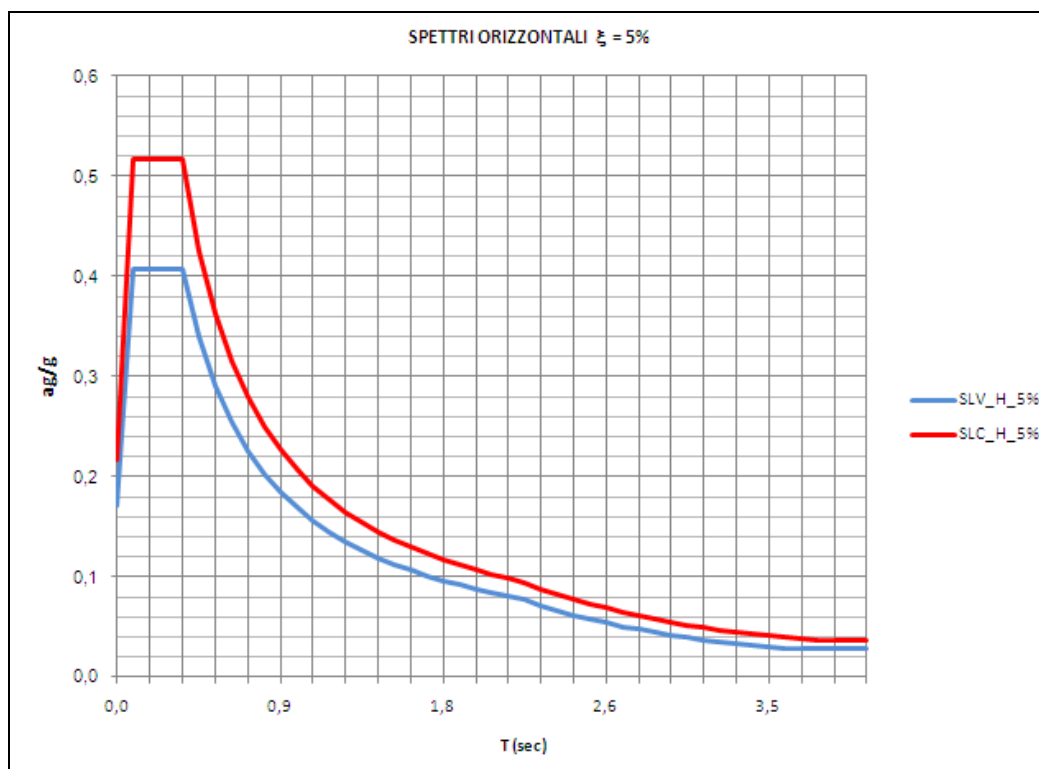
Le azioni sismiche di progetto sono separatamente definite con riferimento alla porzione di viadotto ad impalcato continuo e con riferimento alla porzione di viadotto a campate strutturalmente indipendenti. In particolare:

- per la porzione a campate indipendenti (7 campate) le azioni sismiche sono determinate con ricorso allo spettro elastico smorzato di $\xi=5\%$;
- per la porzione a campate continue (4 campate) le azioni sismiche sono determinate con ricorso allo spettro elastico smorzato di $\xi=15\%$ per il campo di periodi $T > 0.8T_{is}$, con $T_{is}=1.95\text{sec}$. Per il dimensionamento degli isolatori è stato inoltre imputato lo spettro allo stato limite di collasso (SLC).

Per quanto riguarda la modellazione dell'azione sismica, nel modello di calcolo si è considerato un numero di modi tale da eccitare almeno il 85% delle masse come previsto dalla normativa.



F 4. Spettro di progetto per struttura isolata



F 5. Spettro di progetto per struttura non isolata

6. COMBINAZIONI DI CARICO

Si riportano di seguito le combinazioni delle azioni elementari come prescritte nelle Norme Tecniche vigenti.

- Combinazione fondamentale, generalmente impiegata per gli stati limite ultimi (SLU):

$$\gamma_{G1} \cdot G_1 + \gamma_{G2} \cdot G_2 + \gamma_P \cdot P + \gamma_{Q1} \cdot Q_{k1} + \gamma_{Q2} \cdot \psi_{02} \cdot Q_{k2} + \gamma_{Q3} \cdot \psi_{03} \cdot Q_{k3} + \dots \quad (2.5.1)$$

- Combinazione caratteristica (rara), generalmente impiegata per gli stati limite di esercizio (SLE) irreversibili, da utilizzarsi nelle verifiche alle tensioni ammissibili di cui al § 2.7:

$$G_1 + G_2 + P + Q_{k1} + \psi_{02} \cdot Q_{k2} + \psi_{03} \cdot Q_{k3} + \dots \quad (2.5.2)$$

- Combinazione frequente, generalmente impiegata per gli stati limite di esercizio (SLE) reversibili:

$$G_1 + G_2 + P + \psi_{11} \cdot Q_{k1} + \psi_{22} \cdot Q_{k2} + \psi_{23} \cdot Q_{k3} + \dots \quad (2.5.3)$$

- Combinazione quasi permanente (SLE), generalmente impiegata per gli effetti a lungo termine:

$$G_1 + G_2 + P + \psi_{21} \cdot Q_{k1} + \psi_{22} \cdot Q_{k2} + \psi_{23} \cdot Q_{k3} + \dots \quad (2.5.4)$$

In presenza di azioni sismiche:

$$E + G_1 + G_2 + P + \psi_{21} \cdot Q_{k1} + \psi_{22} \cdot Q_{k2} + \dots$$

Ai fini della determinazione dei valori caratteristici delle azioni dovute al traffico, si dovranno considerare, generalmente, le combinazioni riportate in Tab. 5.1.IV. A causa della natura dell'opera, i gruppi di azioni da prendere in esame risultano esclusivamente i gruppi 1, 2a e 2b.

Tabella 5.1.IV – Valori caratteristici delle azioni dovute al traffico

Carichi sulla carreggiata						Carichi su marciapiedi e piste ciclabili
Carichi verticali			Carichi orizzontali		Carichi verticali	
Gruppo di azioni	Modello principale (Schemi di carico 1, 2, 3, 4, 6)	Veicoli speciali	Folla (Schema di carico 5)	Frenatura q_3	Forza centrifuga q_4	Carico uniformemente distribuito
1	Valore caratteristico					Schema di carico 5 con valore di combinazione $2,5 \text{ kN/m}^2$
2 a	Valore frequente			Valore caratteristico		
2 b	Valore frequente				Valore caratteristico	
3 (*)						Schema di carico 5 con valore caratteristico $5,0 \text{ kN/m}^2$
4 (**)			Schema di carico 5 con valore caratteristico $5,0 \text{ kN/m}^2$			Schema di carico 5 con valore caratteristico $5,0 \text{ kN/m}^2$
5 (***)	Da definirsi per il singolo progetto	Valore caratteristico o nominale				
(*) Ponti di 3ª categoria (**) Da considerare solo se richiesto dal particolare progetto (ad es. ponti in zona urbana) (***) Da considerare solo se si considerano veicoli speciali						

La Tab. 5.1.V fornisce i valori dei coefficienti parziali delle azioni da assumere nell'analisi per la determinazione degli effetti delle azioni nelle verifiche agli stati limite ultimi, il significato dei simboli è il seguente:

γ_{G1} coefficiente parziale del peso proprio della struttura, del terreno e dell'acqua, quando pertinente;

γ_{G2} coefficiente parziale dei pesi propri degli elementi non strutturali;

γ_Q coefficiente parziale delle azioni variabili da traffico;

γ_{Qi} coefficiente parziale delle azioni variabili.

Il coefficiente parziale della precompressione si assume pari a $\gamma_P=1$.

I valori dei coefficienti ψ_{0j} , ψ_{1j} e ψ_{2j} per le diverse categorie di azioni sono riportati nella Tab. 5.1.VI.

Tabella 5.1.V – Coefficienti parziali di sicurezza per le combinazioni di carico agli SLU

		Coefficiente	EQU ⁽¹⁾	A1 STR	A2 GEO
Carichi permanenti	favorevoli	γ_{G1}	0,90	1,00	1,00
	sfavorevoli		1,10	1,35	1,00
Carichi permanenti non strutturali ⁽²⁾	favorevoli	γ_{G2}	0,00	0,00	0,00
	sfavorevoli		1,50	1,50	1,30
Carichi variabili da traffico	favorevoli	γ_Q	0,00	0,00	0,00
	sfavorevoli		1,35	1,35	1,15
Carichi variabili	favorevoli	γ_{Qi}	0,00	0,00	0,00
	sfavorevoli		1,50	1,50	1,30
Distorsioni e presollecitazioni di progetto	favorevoli	$\gamma_{\epsilon 1}$	0,90	1,00	1,00
	sfavorevoli		1,00 ⁽³⁾	1,00 ⁽⁴⁾	1,00
Ritiro e viscosità, Variazioni termiche, Cedimenti vincolari	favorevoli	$\gamma_{\epsilon 2}, \gamma_{\epsilon 3}, \gamma_{\epsilon 4}$	0,00	0,00	0,00
	sfavorevoli		1,20	1,20	1,00

⁽¹⁾ Equilibrio che non coinvolga i parametri di deformabilità e resistenza del terreno; altrimenti si applicano i valori di GEO.
⁽²⁾ Nel caso in cui i carichi permanenti non strutturali (ad es. carichi permanenti portati) siano compiutamente definiti si potranno adottare gli stessi coefficienti validi per le azioni permanenti.
⁽³⁾ 1,30 per instabilità in strutture con precompressione esterna
⁽⁴⁾ 1,20 per effetti locali

Tabella 5.1.VI - Coefficienti ψ per le azioni variabili per ponti stradali e pedonali

Azioni	Gruppo di azioni (Tabella 5.1.IV)	Coefficiente ψ_0 di combinazione	Coefficiente ψ_1 (valori frequenti)	Coefficiente ψ_2 (valori quasi permanenti)
Azioni da traffico (Tabella 5.1.IV)	Schema 1 (Carichi tandem)	0,75	0,75	0,0
	Schemi 1, 5 e 6 (Carichi distribuiti)	0,40	0,40	0,0
	Schemi 3 e 4 (carichi concentrati)	0,40	0,40	0,0
	Schema 2	0,0	0,75	0,0
	2	0,0	0,0	0,0
	3	0,0	0,0	0,0
	4 (folla)	----	0,75	0,0
Vento q_s	Vento a ponte scarico	0,6	0,2	0,0
	SLU e SLE			
	Esecuzione	0,8	----	0,0
	Vento a ponte carico	0,6		
Neve q_s	SLU e SLE	0,0	0,0	0,0
	esecuzione	0,8	0,6	0,5
Temperatura	T_k	0,6	0,6	0,5

Sono state analizzate le combinazioni di carico agli stati limite ultimi distinguendo lo stato limite di resistenza della struttura (STR), facente riferimento ai coefficienti parziali A1 e lo stato limite di resistenza del terreno (GEO), facente riferimento ai coefficienti parziali A2.

Con riferimento ai gruppi di azioni 1 - 2a - 2b suggeriti dalla Norma, sono state considerate le combinazioni dei carichi elementari riportate di seguito.

CARICHI ELEMENTARI AGENTI SULL'IMPALCATO				SLU_STR (A1)							
PRG	TIPO	SIGLA SAP	DESCRIZIONE CARICHI	SLU_STR_P	SLU_STR_VS	SLU_STR_VC	SLU_STR_1.1	SLU_STR_1.2	SLU_STR_2a	SLU_STR_2b	
1	G1	PESO CAP	Peso proprio impalcato metallico	1,35	1,35	1,35	1,35	1,35	1,35	1,35	
2	G1	PESO TRASV	Peso proprio trasversi	1,35	1,35	1,35	1,35	1,35	1,35	1,35	
3	G1	PESO PILA	Peso proprio pila	1,35	1,35	1,35	1,35	1,35	1,35	1,35	
4	G1	PESO PLINTO	Peso proprio plinto	1,35	1,35	1,35	1,35	1,35	1,35	1,35	
5	G2	SOLETTA	Peso proprio soletta	1,35	1,35	1,35	1,35	1,35	1,35	1,35	
6	G2	PERM	Peso proprio permanenti	1,35	1,35	1,35	1,35	1,35	1,35	1,35	
7	E2	RITIRO	Ritiro	1,20	1,20	1,20	1,20	1,20	1,20	1,20	
8	E3	TERMICA	Variazione termica	0	0,72	0,72	0,72	0,72	0,72	0,72	
9	Q7	ATTRITO_P	Attrito	1,50	1,50	1,50	1,50	1,50	1,50	1,50	
10	Q1	MOBILI-C	Carichi mobili_valore caratteristico	0	0	0	1,35	0	0	0	
11	Q1	MOBILI-F	Carichi mobili_valore frequente (Ψ_1)	0	0	1,35	0	0	1,35	1,35	
12	Q3	FRENO	Frenatura	0	0	0	0	0	1,35	0	
13	Q4	CENTRI	Centrifuga	0	0	0	0	0	0	1,35	
14	Q5	VENTOS	Vento a ponte scarico	0	1,50	0	0	0,90	0	0	
15	Q5	VENTOC	Vento a ponte carico	0	0	1,50	0,90	0	0,90	0,90	
16	Q6	SISMA_L	Sisma longitudinale	0	0	0	0	0	0	0	
17	Q6	SISMA_T	Sisma trasversale	0	0	0	0	0	0	0	
18	Q6	SISMA_V	Sisma verticale	0	0	0	0	0	0	0	

CARICHI ELEMENTARI AGENTI SULL'IMPALCATO				SLU_GEO (A2)							
PRG	TIPO	SIGLA SAP	DESCRIZIONE CARICHI	SLU_GEO_P	SLU_GEO_VS	SLU_GEO_VC	SLU_GEO_1.1	SLU_GEO_1.2	SLU_GEO_2a	SLU_GEO_2b	
1	G1	PESO CAP	Peso proprio impalcato metallico	1,00	1,00	1,00	1,00	1,00	1,00	1,00	
2	G1	PESO TRASV	Peso proprio trasversi	1,00	1,00	1,00	1,00	1,00	1,00	1,00	
3	G1	PESO PILA	Peso proprio pila	1,00	1,00	1,00	1,00	1,00	1,00	1,00	
4	G1	PESO PLINTO	Peso proprio plinto	1,00	1,00	1,00	1,00	1,00	1,00	1,00	
5	G2	SOLETTA	Peso proprio soletta	1,00	1,00	1,00	1,00	1,00	1,00	1,00	
6	G2	PERM	Peso proprio permanenti	1,00	1,00	1,00	1,00	1,00	1,00	1,00	
7	E2	RITIRO	Ritiro	1,00	1,00	1,00	1,00	1,00	1,00	1,00	
8	E3	TERMICA	Variazione termica	0	0,60	0,60	0,60	0,60	0,60	0,60	
9	Q7	ATTRITO_P	Attrito	1,30	1,30	1,30	1,30	1,30	1,30	1,30	
10	Q1	MOBILI-C	Carichi mobili_valore caratteristico	0	0	0	1,15	0	0	0	
11	Q1	MOBILI-F	Carichi mobili_valore frequente (Ψ_1)	0	0	1,15	0	0	1,15	1,15	

12	Q3	FRENO	Frenatura	0	0	0	0	0	1,15	0
13	Q4	CENTRI	Centrifuga	0	0	0	0	0	0	1,15
14	Q5	VENTOS	Vento a ponte scarico	0	1,30	0	0	0,78	0	0
15	Q5	VENTOC	Vento a ponte carico	0	0	1,30	0,78	0	0,78	0,78
16	Q6	SISMA_L	Sisma longitudinale	0	0	0	0	0	0	0
17	Q6	SISMA_T	Sisma trasversale	0	0	0	0	0	0	0
18	Q6	SISMA_V	Sisma verticale	0	0	0	0	0	0	0

CARICHI ELEMENTARI AGENTI SULL'IMPALCATO				SISMICA					
PRG	TIPO	SIGLA SAP	DESCRIZIONE CARICHI	SISMA_L1	SISMA_L2	SISMA_T1	SISMA_T2	SISMA_V1	SISMA_V2
1	G1	PESO CAP	Peso proprio impalcato metallico	1,00	1,00	1,00	1,00	1,00	1,00
2	G1	PESO TRASV	Peso proprio trasversi	1,00	1,00	1,00	1,00	1,00	1,00
3	G1	PESO PILA	Peso proprio pila	1,00	1,00	1,00	1,00	1,00	1,00
4	G1	PESO PLINTO	Peso proprio plinto	1,00	1,00	1,00	1,00	1,00	1,00
5	G2	SOLETTA	Peso proprio soletta	1,00	1,00	1,00	1,00	1,00	1,00
6	G2	PERM	Peso proprio permanenti	1,00	1,00	1,00	1,00	1,00	1,00
7	E2	RITIRO	Ritiro	1,00	1,00	1,00	1,00	1,00	1,00
8	E3	TERMICA	Variazione termica	0,50	0,50	0,50	0,50	0,50	0,50
9	Q7	ATTRITO_P	Attrito	0	0	0	0	0	0
10	Q1	MOBILI-C	Carichi mobili_valore caratteristico	0	0	0	0	0	0
11	Q1	MOBILI-F	Carichi mobili_valore frequente (Ψ 1)	0	0	0	0	0	0
12	Q3	FRENO	Frenatura	0	0	0	0	0	0
13	Q4	CENTRI	Centrifuga	0	0	0	0	0	0
14	Q5	VENTOS	Vento a ponte scarico	0	0	0	0	0	0
15	Q5	VENTOC	Vento a ponte carico	0	0	0	0	0	0
16	Q6	SISMA_L	Sisma longitudinale	1,00	-1,00	0,30	-0,30	0,30	-0,30
17	Q6	SISMA_T	Sisma trasversale	0,30	-0,30	1,00	-1,00	0,30	-0,30
18	Q6	SISMA_V	Sisma verticale	0,30	-0,30	0,30	-0,30	1,00	-1,00

CARICHI ELEMENTARI AGENTI SULL'IMPALCATO				SLE RARA						
PRG	TIPO	SIGLA SAP	DESCRIZIONE CARICHI	SLE_R_P	SLE_R_VS	SLE_R_VC	SLE_R_1.1	SLE_R_1.2	SLE_R_2a.1	SLE_R_2b
1	G1	PESO CAP	Peso proprio impalcato metallico	1,00	1,00	1,00	1,00	1,00	1,00	1,00
2	G1	PESO TRASV	Peso proprio trasversi	1,00	1,00	1,00	1,00	1,00	1,00	1,00
3	G1	PESO PILA	Peso proprio pila	1,00	1,00	1,00	1,00	1,00	1,00	1,00
4	G1	PESO PLINTO	Peso proprio plinto	1,00	1,00	1,00	1,00	1,00	1,00	1,00
5	G2	SOLETTA	Peso proprio soletta	1,00	1,00	1,00	1,00	1,00	1,00	1,00
6	G2	PERM	Peso proprio permanenti	1,00	1,00	1,00	1,00	1,00	1,00	1,00
7	E2	RITIRO	Ritiro	1,00	1,00	1,00	1,00	1,00	1,00	1,00
8	E3	TERMICA	Variazione termica	0	0,60	0,60	0,60	0,60	0,60	0,60
9	Q7	ATTRITO_P	Attrito	1,00	1,00	1,00	1,00	1,00	1,00	1,00
10	Q1	MOBILI-C	Carichi mobili_valore caratteristico	0	0	0	1,00	0	0	0
11	Q1	MOBILI-F	Carichi mobili_valore frequente (Ψ 1)	0	0	1,00	0	0	1,00	1,00

12	Q3	FRENO	Frenatura	0	0	0	0	0	1,00	0
13	Q4	CENTRI	Centrifuga	0	0	0	0	0	0	1,00
14	Q5	VENTOS	Vento a ponte scarico	0	1,00	0	0	0	0	0
15	Q5	VENTOC	Vento a ponte carico	0	0	1,00	0,60	0,60	0,60	0,60
16	Q6	SISMA_L	Sisma longitudinale	0	0	0	0	0	0	0
17	Q6	SISMA_T	Sisma trasversale	0	0	0	0	0	0	0
18	Q6	SISMA_V	Sisma verticale	0	0	0	0	0	0	0

CARICHI ELEMENTARI AGENTI SULL'IMPALCATO				SLE_RARA		
PRG	TIPO	SIGLA SAP	DESCRIZIONE CARICHI	SLE_F_VS	SLE_F_VC	SLE_F_1:1
1	G1	PESO CAP	Peso proprio impalcato metallico	1,00	1,00	1,00
2	G1	PESO TRASV	Peso proprio trasversi	1,00	1,00	1,00
3	G1	PESO PILA	Peso proprio pila	1,00	1,00	1,00
4	G1	PESO PLINTO	Peso proprio plinto	1,00	1,00	1,00
5	G2	SOLETTA	Peso proprio soletta	1,00	1,00	1,00
6	G2	PERM	Peso proprio permanenti	1,00	1,00	1,00
7	E2	RITIRO	Ritiro	1,00	1,00	1,00
8	E3	TERMICA	Variazione termica	0,50	0,50	0,50
9	Q7	ATTRITO_P	Attrito	1,00	1,00	1,00
10	Q1	MOBILI-C	Carichi mobili_valore caratteristico	0	0	0
11	Q1	MOBILI-F	Carichi mobili_valore frequente (Ψ_1)	0	0	1,00
12	Q3	FRENO	Frenatura	0	0	0
13	Q4	CENTRI	Centrifuga	0	0	0
14	Q5	VENTOS	Vento a ponte scarico	0,20	0	0
15	Q5	VENTOC	Vento a ponte carico	0	0,20	0
16	Q6	SISMA_L	Sisma longitudinale	0	0	0
17	Q6	SISMA_T	Sisma trasversale	0	0	0
18	Q6	SISMA_V	Sisma verticale	0	0	0

7. MODELLO NUMERICO

7.1. DESCRIZIONE

Le analisi sono svolte con metodo F.E.M. con ausilio del programma di calcolo “Sap2000” della Computer and Structures Inc.

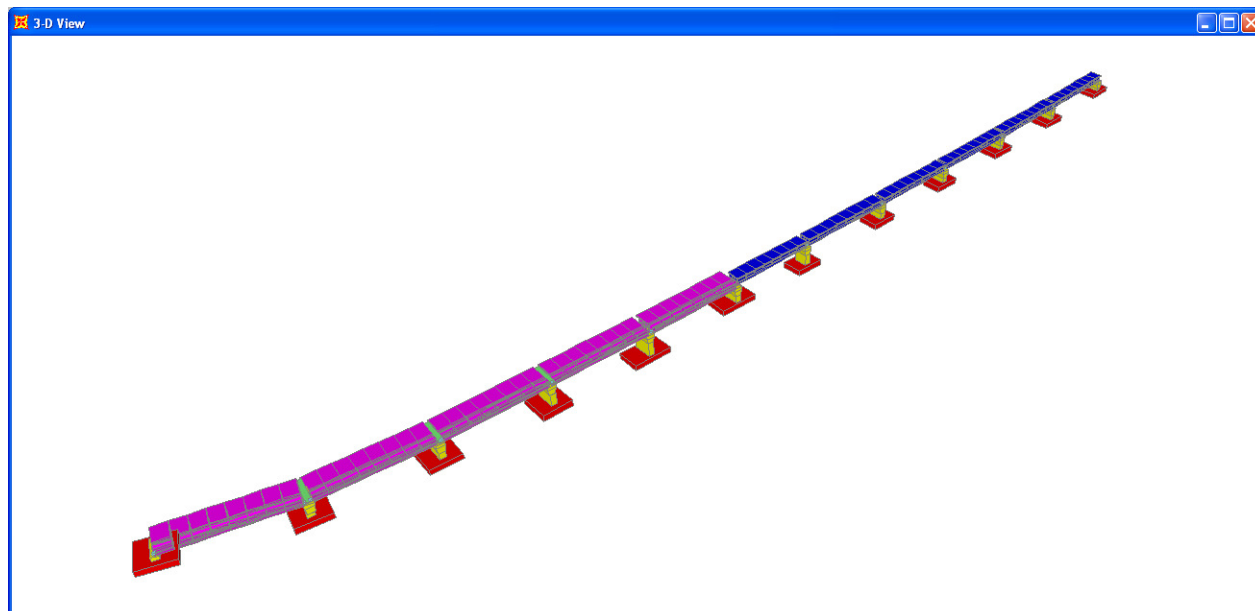
L’impalcato è modellato con ricorso ad uno schema unifilare di elementi *frame* di sezione trasversale pari a quella dell’impalcato. Le sottostrutture (pile e plinti di fondazione) sono modellate anch’esse con elementi *frame*.

Per le campate con travi in semplice appoggiati dispositivi di vincolo sono schematizzati attraverso elementi *link linear*. Sulla parte continua gli isolatori sono modellati con elementi *link rubber isolator* di rigidezza $k=1000$ KN/m.

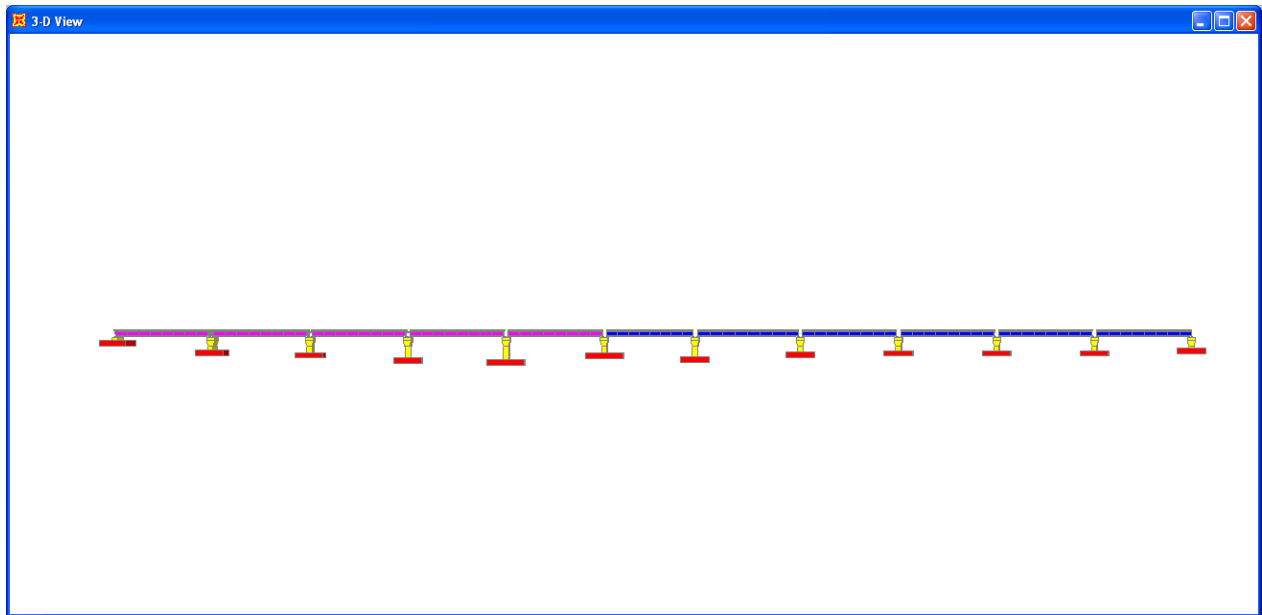
Gli appoggi sono connessi superiormente all’impalcato e inferiormente alle pile con ricorso a *Constrain Body*.

Il sistema è sottoposto ad analisi lineare dinamica. La sovrapposizione delle componenti relativa a ciascuno dei modi considerati nelle analisi è stata eseguita con la regola CQC.

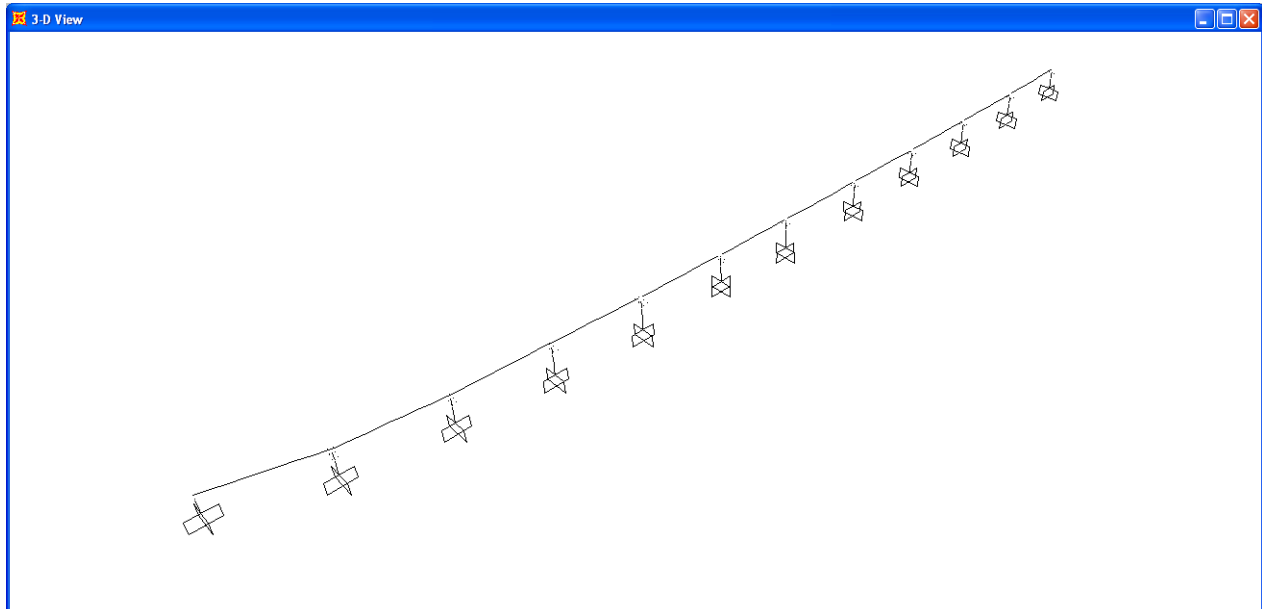
Nelle figure seguenti sono illustrate le immagini del modello numerico.



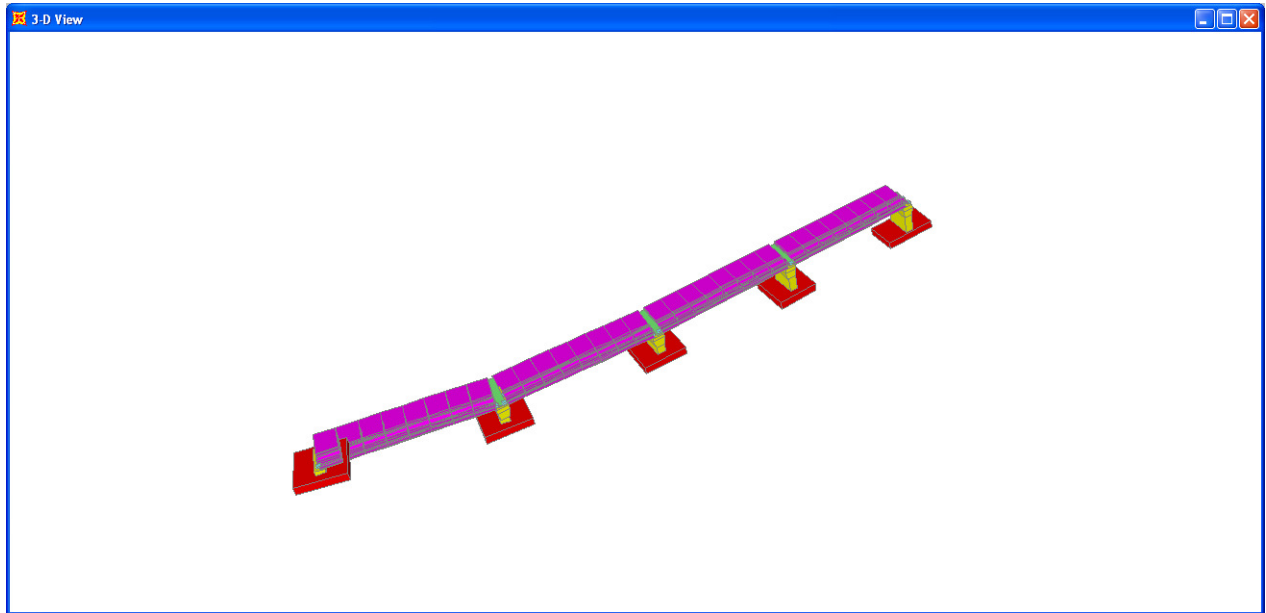
F 6. Modello numerico (configurazione indeformata vista 3D)



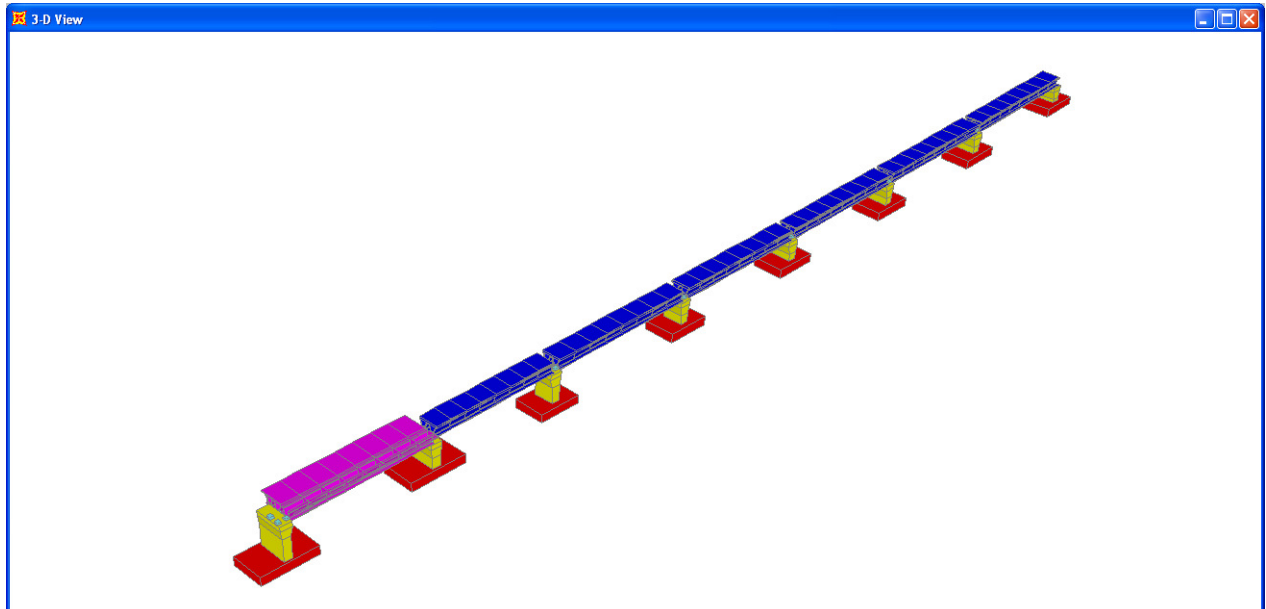
F 7. *Modello numerico (configurazione indeformata – profilo longitudinale)*



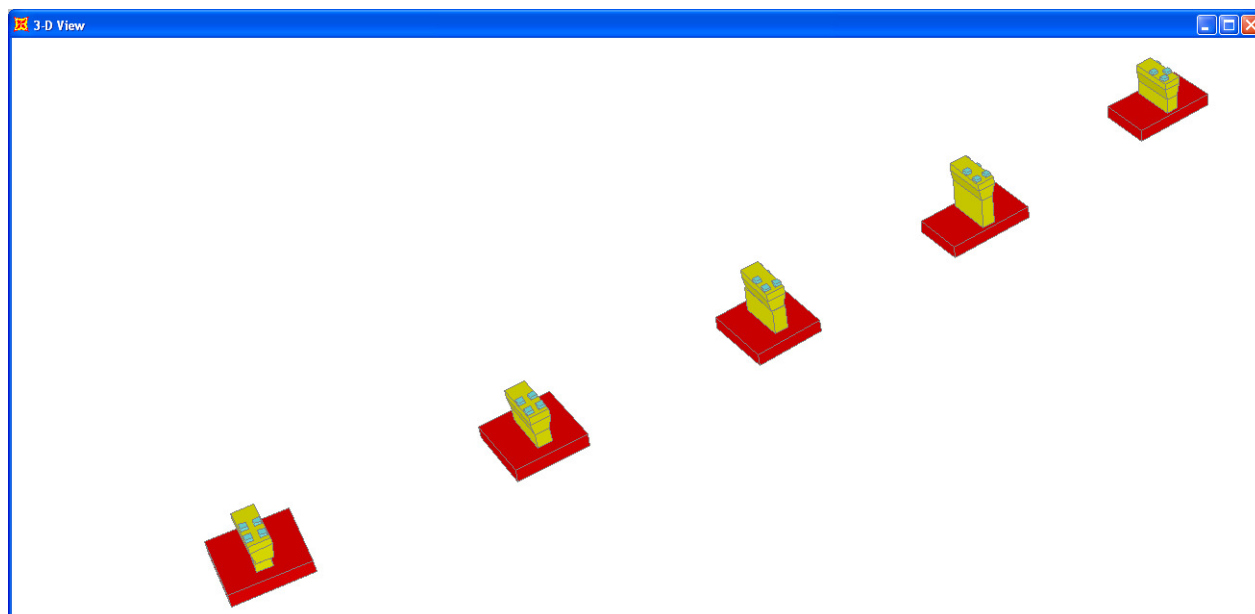
F 8. *Modello numerico (Schema unifilare)*



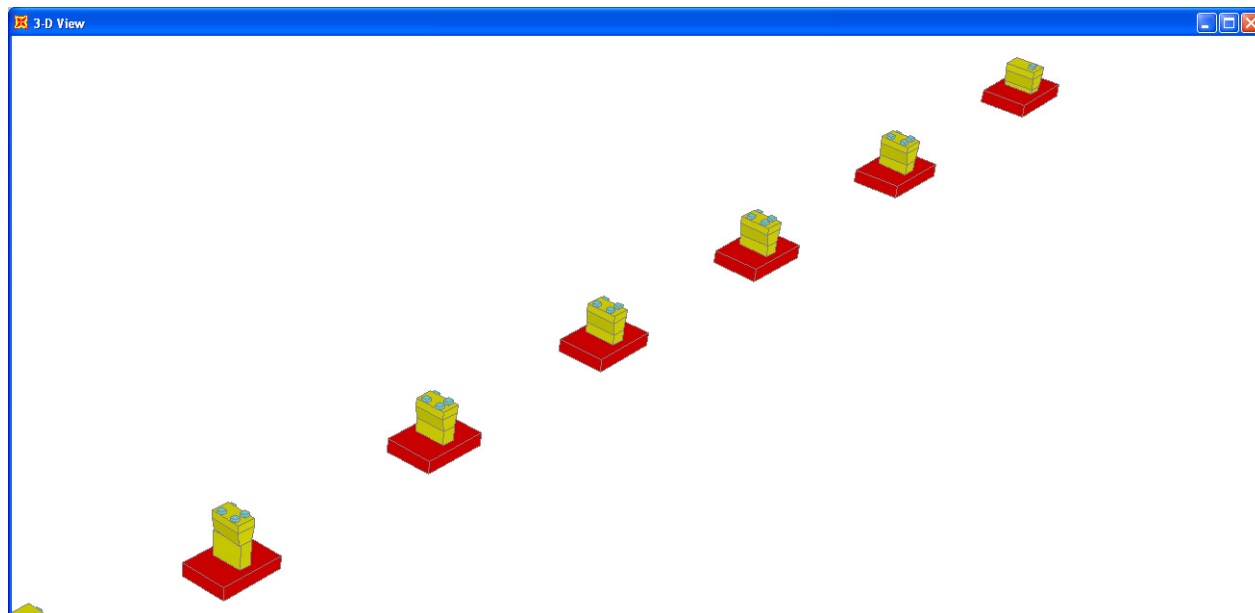
F 9. Modello numerico (configurazione indeformata – parte con schema statico continuo)



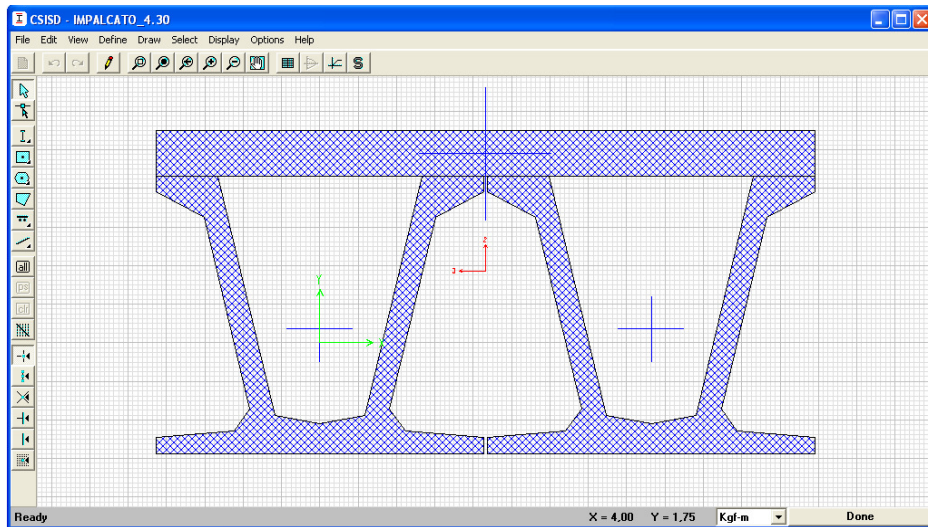
F 10. Modello numerico (configurazione indeformata – parte con schema statico in semplice appoggio)



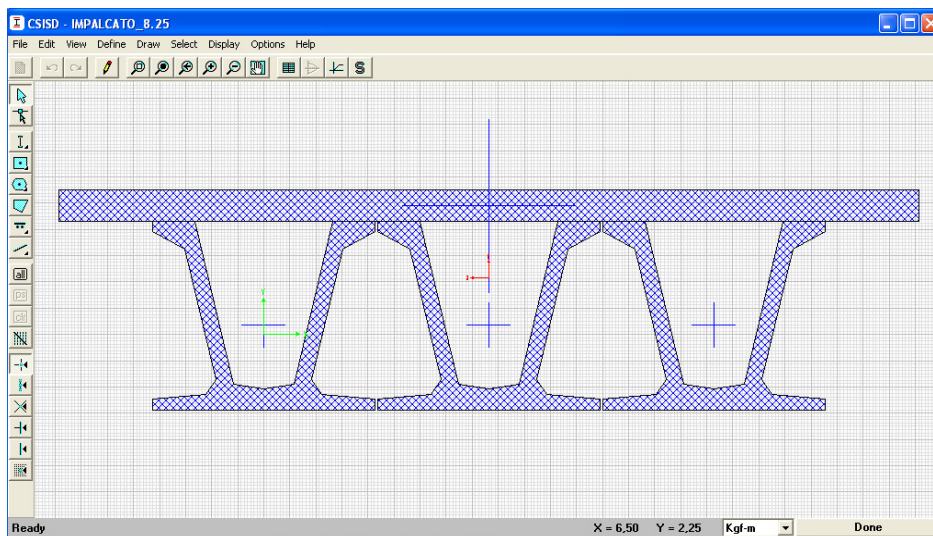
F 11. Modello numerico (configurazione indeformata – sottostrutture P1-P5)



F 12. Modello numerico (configurazione indeformata – sottostrutture P6-P11)



F 13. Modello numerico (Sezione trasversale impalcato 4.30 m)



F 14. Modello numerico (Sezione trasversale impalcato 8.25 m)

Nelle tabelle seguenti saranno esposte le caratteristiche in termini di condizioni e combinazioni di carico adottate nelle analisi.

Condizioni di carico elementari

TABLE: Case - Static 1 - Load Assignments			
Case	LoadType	LoadName	LoadSF
Text	Text	Text	Unitless
PESO CAP	Load pattern	PESO CAP	1
PESO TRASV	Load pattern	PESO TRASV	1
PESO PILA	Load pattern	PESO PILA	1
PESO PLINTO	Load pattern	PESO PLINTO	1
PESO SOLETTA	Load pattern	PESO SOLETTA	1
PESO PERM	Load pattern	PESO PERM	1
TERMICA	Load pattern	TERMICA	1
ATTRITO P	Load pattern	ATTRITO P	1
FRENO	Load pattern	FRENO	1
CENTRI	Load pattern	CENTRI	1
VENTO S	Load pattern	VENTO S	1
VENTO C	Load pattern	VENTO C	1
RITIRO	Load pattern	RITIRO	1

Casi di analisi

TABLE: Load Case Definitions					
Case	Type	InitialCond	ModalCase	DesTypeOpt	DesignType
Text	Text	Text	Text	Text	Text
MODALE	LinModal	Zero		Prog Det	OTHER
SISMA_L	LinRespSpec		MODALE	Prog Det	QUAKE
SISMA_T	LinRespSpec		MODALE	Prog Det	QUAKE
SISMA_V	LinRespSpec		MODALE	Prog Det	QUAKE
SISMA_L_SLD	LinRespSpec		MODALE	Prog Det	QUAKE
MOBILI_C	LinMoving	Zero		Prog Det	BRIDGE LIVE
MOBILI_F	LinMoving	Zero		Prog Det	BRIDGE LIVE
PESO CAP	LinStatic	Zero		Prog Det	DEAD
PESO TRASV	LinStatic	Zero		Prog Det	DEAD
PESO PILA	LinStatic	Zero		Prog Det	DEAD
PESO PLINTO	LinStatic	Zero		Prog Det	DEAD
PESO SOLETTA	LinStatic	Zero		Prog Det	DEAD
PESO PERM	LinStatic	Zero		Prog Det	DEAD
TERMICA	LinStatic	Zero		Prog Det	DEAD
ATTRITO P	LinStatic	Zero		Prog Det	DEAD
FRENO	LinStatic	Zero		Prog Det	DEAD
CENTRI	LinStatic	Zero		Prog Det	DEAD
VENTO S	LinStatic	Zero		Prog Det	DEAD
VENTO C	LinStatic	Zero		Prog Det	DEAD
RITIRO	LinStatic	Zero		Prog Det	DEAD

7.2. RISULTATI ANALISI MODALE

In questo paragrafo si propongono i risultati derivanti dall'analisi modale del modello numerico ed in particolare sono esposti i primi 100 periodi dell'opera e le deformate modali ritenute più significative.

Nel modello di calcolo si è considerato un numero di modi tale da eccitare almeno il 85% delle masse come previsto dalla normativa.

TABLE: Modal Load Participation Ratios

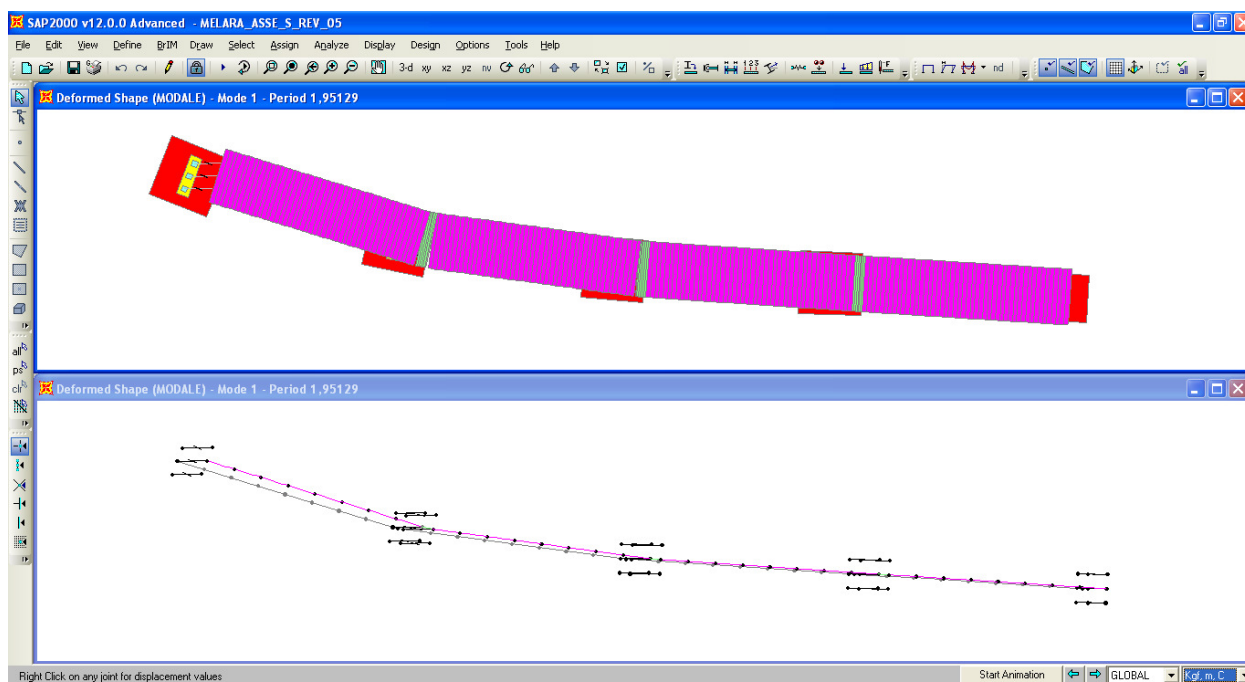
OutputCase	ItemType	Item	Static	Dynamic
Text	Text	Text	Percent	Percent
MODALE	Acceleration	UX	100	99
MODALE	Acceleration	UY	100	99
MODALE	Acceleration	UZ	100	96

TABLE: Modal Periods And Frequencies

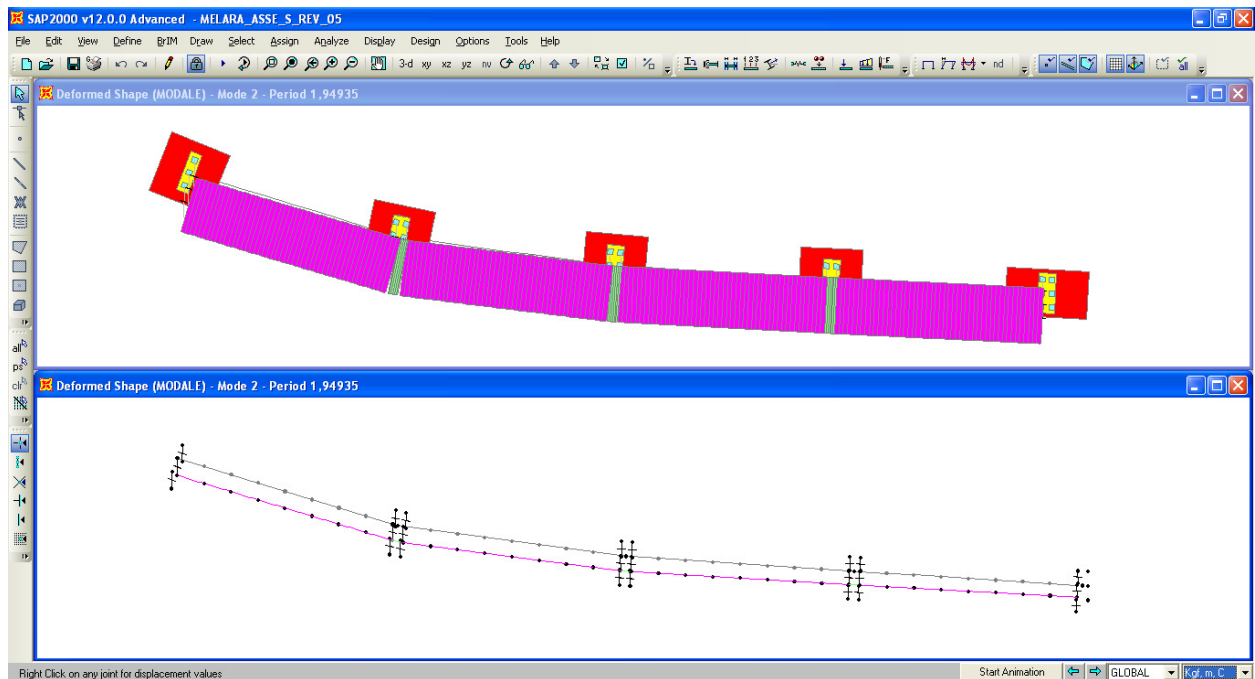
OutputCase	StepType	StepNum	Period	Frequency	CircFreq	Eigenvalue
Text	Text	Unitless	Sec	Cyc/sec	rad/sec	rad2/sec2
MODALE	Mode	1	1,951	0,51248	3,22	10,369
MODALE	Mode	2	1,949	0,51299	3,2232	10,389
MODALE	Mode	3	1,849	0,54073	3,3975	11,543
MODALE	Mode	4	0,643	1,5561	9,777	95,591
MODALE	Mode	5	0,311	3,2187	20,224	408,99
MODALE	Mode	6	0,298	3,3527	21,066	443,77
MODALE	Mode	7	0,289	3,457	21,721	471,81
MODALE	Mode	8	0,282	3,5447	22,272	496,04
MODALE	Mode	9	0,276	3,6198	22,744	517,28
MODALE	Mode	10	0,252	3,969	24,938	621,9
MODALE	Mode	11	0,250	3,9969	25,113	630,67
MODALE	Mode	12	0,244	4,1042	25,788	665,01
MODALE	Mode	13	0,243	4,1078	25,81	666,15
MODALE	Mode	14	0,242	4,1319	25,962	674
MODALE	Mode	15	0,231	4,3366	27,248	742,43
MODALE	Mode	16	0,207	4,8216	30,295	917,79
MODALE	Mode	17	0,191	5,2329	32,879	1081
MODALE	Mode	18	0,186	5,3877	33,852	1146
MODALE	Mode	19	0,169	5,9053	37,104	1376,7
MODALE	Mode	20	0,168	5,9524	37,4	1398,8
MODALE	Mode	21	0,166	6,0323	37,902	1436,5
MODALE	Mode	22	0,164	6,1073	38,374	1472,5
MODALE	Mode	23	0,156	6,406	40,25	1620,1
MODALE	Mode	24	0,154	6,4811	40,722	1658,3
MODALE	Mode	25	0,148	6,7495	42,408	1798,4
MODALE	Mode	26	0,135	7,4264	46,661	2177,3
MODALE	Mode	27	0,134	7,4355	46,719	2182,6
MODALE	Mode	28	0,134	7,4458	46,783	2188,7
MODALE	Mode	29	0,131	7,6251	47,91	2295,4
MODALE	Mode	30	0,128	7,8391	49,254	2426
MODALE	Mode	31	0,126	7,9465	49,929	2492,9

MODALE	Mode	32	0,120	8,3577	52,513	2757,6
MODALE	Mode	33	0,115	8,6733	54,496	2969,8
MODALE	Mode	34	0,105	9,54	59,941	3593
MODALE	Mode	35	0,089	11,271	70,815	5014,8
MODALE	Mode	36	0,083	12,071	75,844	5752,3
MODALE	Mode	37	0,081	12,342	77,547	6013,5
MODALE	Mode	38	0,075	13,411	84,266	7100,8
MODALE	Mode	39	0,074	13,541	85,08	7238,7
MODALE	Mode	40	0,069	14,459	90,846	8253
MODALE	Mode	41	0,066	15,178	95,363	9094,1
MODALE	Mode	42	0,064	15,548	97,694	9544,1
MODALE	Mode	43	0,064	15,559	97,762	9557,5
MODALE	Mode	44	0,064	15,582	97,903	9585
MODALE	Mode	45	0,064	15,665	98,426	9687,7
MODALE	Mode	46	0,063	15,971	100,35	10070
MODALE	Mode	47	0,062	16,105	101,19	10240
MODALE	Mode	48	0,061	16,305	102,45	10496
MODALE	Mode	49	0,060	16,534	103,89	10793
MODALE	Mode	50	0,059	16,851	105,88	11210
MODALE	Mode	51	0,058	17,116	107,54	11566
MODALE	Mode	52	0,057	17,532	110,15	12134
MODALE	Mode	53	0,056	17,721	111,34	12397
MODALE	Mode	54	0,055	18,184	114,25	13054
MODALE	Mode	55	0,055	18,198	114,34	13073
MODALE	Mode	56	0,053	18,743	117,77	13869
MODALE	Mode	57	0,050	20,037	125,89	15849
MODALE	Mode	58	0,046	21,672	136,17	18542
MODALE	Mode	59	0,043	23,346	146,69	21517
MODALE	Mode	60	0,042	24,025	150,95	22786
MODALE	Mode	61	0,042	24,056	151,15	22846
MODALE	Mode	62	0,040	24,752	155,52	24187
MODALE	Mode	63	0,038	26,155	164,34	27006
MODALE	Mode	64	0,037	27,068	170,07	28925
MODALE	Mode	65	0,035	28,177	177,04	31344
MODALE	Mode	66	0,035	28,2	177,18	31394
MODALE	Mode	67	0,034	29,25	183,79	33777
MODALE	Mode	68	0,034	29,377	184,58	34069
MODALE	Mode	69	0,034	29,736	186,84	34909
MODALE	Mode	70	0,033	30,461	191,39	36631
MODALE	Mode	71	0,032	31,192	195,99	38411
MODALE	Mode	72	0,032	31,379	197,16	38872
MODALE	Mode	73	0,031	32,068	201,49	40599
MODALE	Mode	74	0,031	32,115	201,78	40716
MODALE	Mode	75	0,031	32,275	202,79	41124
MODALE	Mode	76	0,030	32,842	206,35	42580
MODALE	Mode	77	0,030	33,604	211,14	44580
MODALE	Mode	78	0,029	34,947	219,58	48215
MODALE	Mode	79	0,028	36,206	227,49	51750
MODALE	Mode	80	0,027	36,436	228,93	52410
MODALE	Mode	81	0,027	36,84	231,47	53579
MODALE	Mode	82	0,027	37,004	232,5	54057
MODALE	Mode	83	0,027	37,129	233,29	54425
MODALE	Mode	84	0,025	39,558	248,55	61778
MODALE	Mode	85	0,025	40,63	255,29	65172

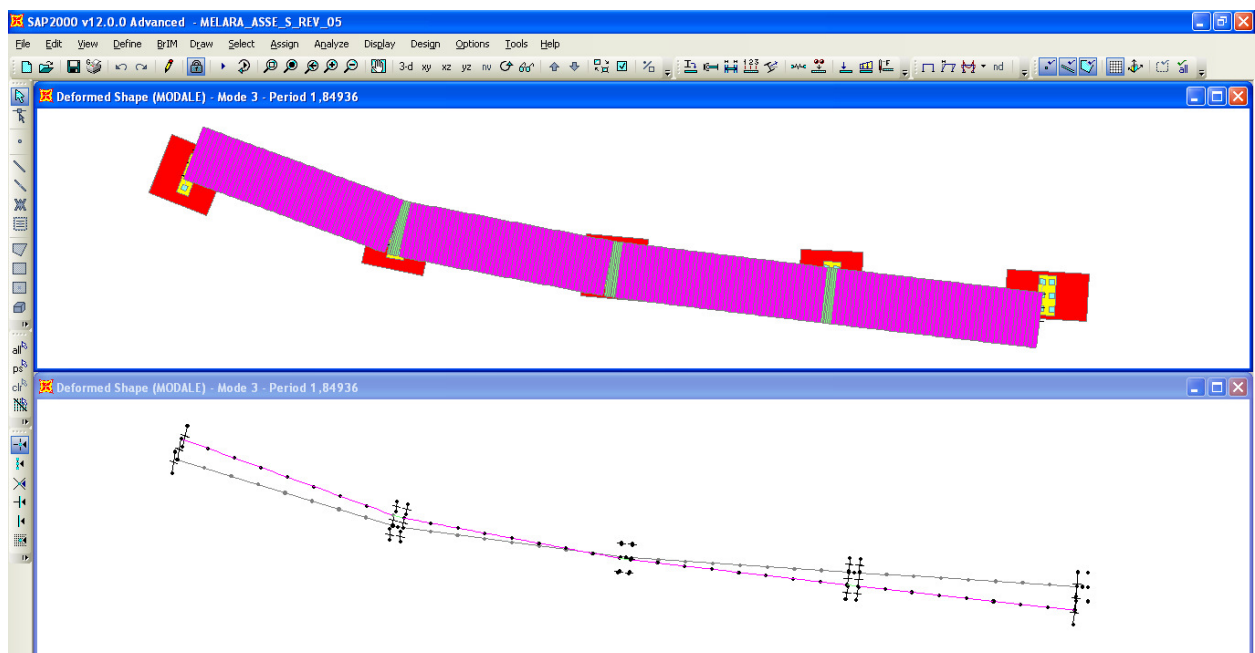
MODALE	Mode	86	0,024	41,443	260,39	67805
MODALE	Mode	87	0,023	42,651	267,98	71815
MODALE	Mode	88	0,023	43,574	273,78	74957
MODALE	Mode	89	0,023	43,681	274,46	75327
MODALE	Mode	90	0,023	43,7	274,58	75393
MODALE	Mode	91	0,022	44,758	281,22	79085
MODALE	Mode	92	0,022	45,053	283,08	80133
MODALE	Mode	93	0,022	46,126	289,82	83996
MODALE	Mode	94	0,021	46,601	292,8	85733
MODALE	Mode	95	0,021	46,726	293,59	86195
MODALE	Mode	96	0,021	48,387	304,02	92430
MODALE	Mode	97	0,021	48,531	304,93	92983
MODALE	Mode	98	0,020	49,663	312,04	97369
MODALE	Mode	99	0,020	49,72	312,4	97592
MODALE	Mode	100	0,020	50,096	314,76	99074



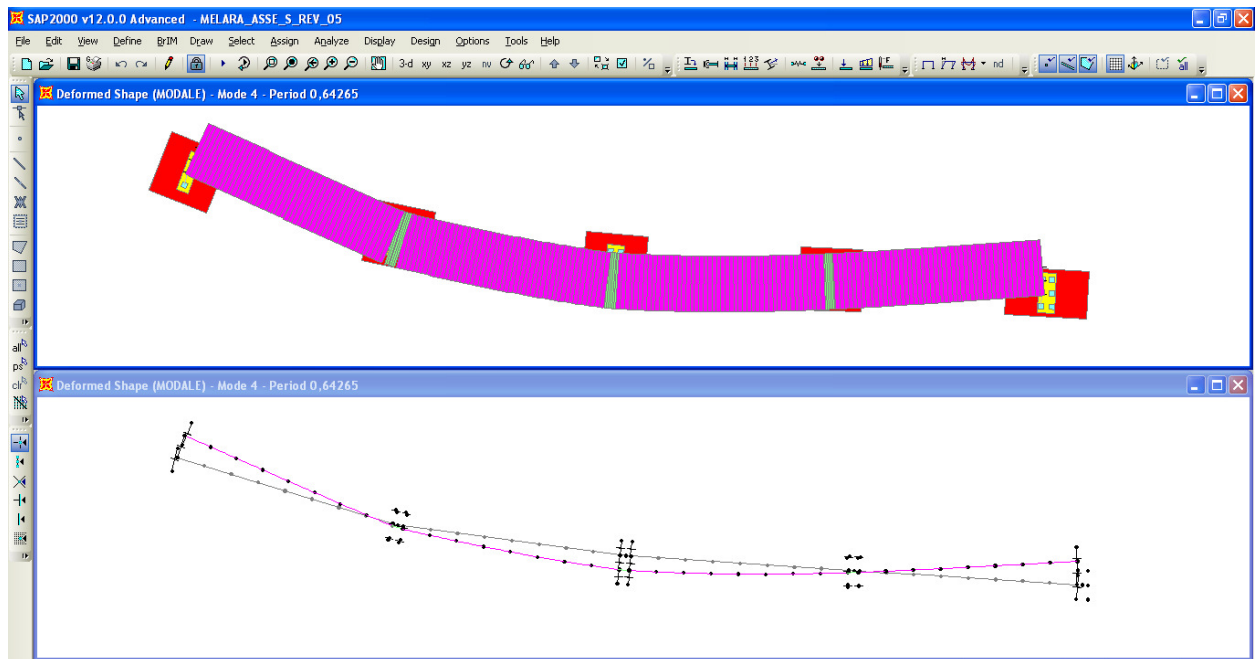
F 15. Forma modale 1 - tratto continuo - pianta



F 16. Forma modale 2 - tratto continuo - pianta



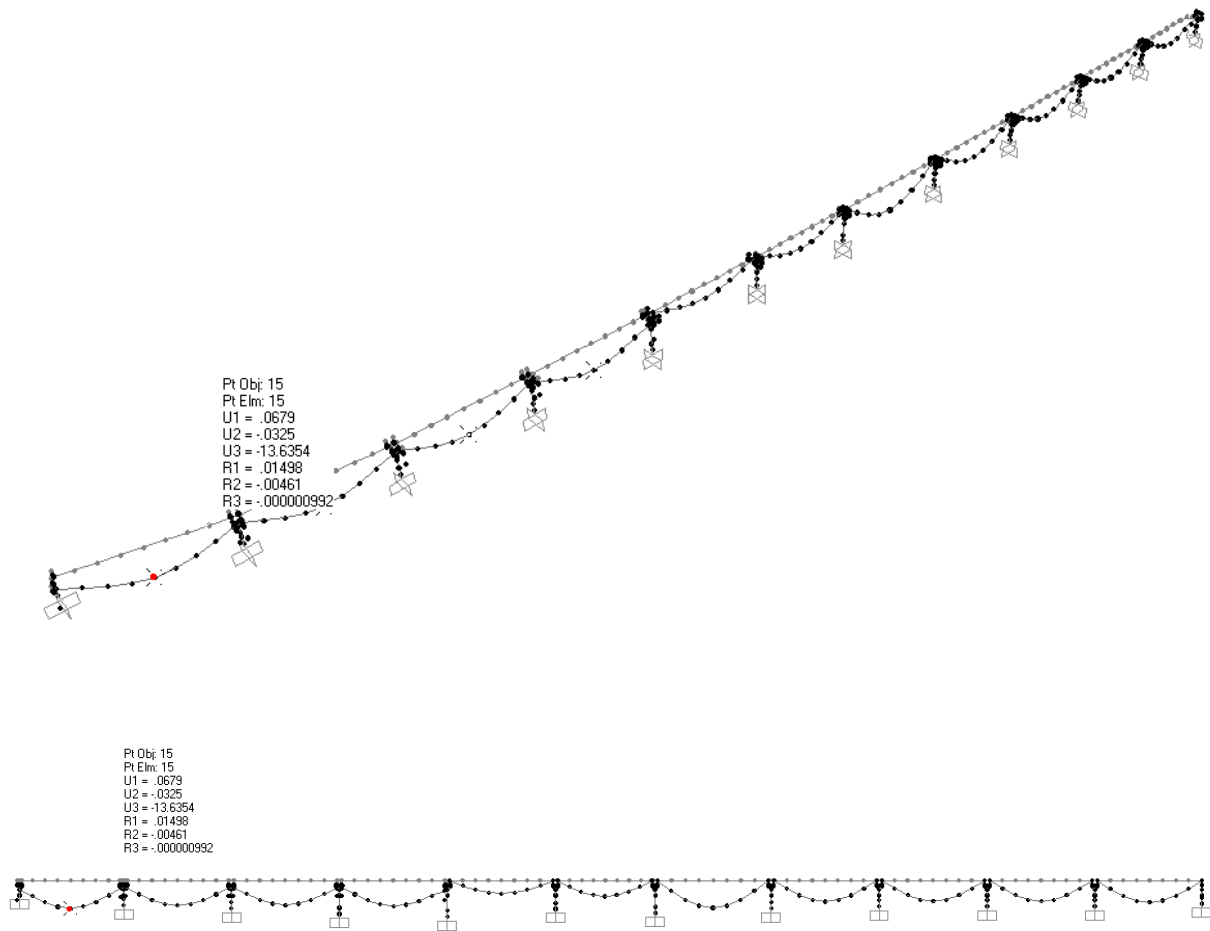
F 17. Forma modale 3 - tratto continuo – pianta



F 18. Forma modale 4 - tratto continuo - pianta

8. ANALISI ELASTICA (VERIFICA A DEFORMAZIONE)

La verifica di deformabilità dell'impalcato viene effettuata considerando l'impalcato soggetto alle stese di carico mobile, al carico da folla sul marciapiede (carichi disposti trasversalmente in modo da massimizzare gli effetti flessionali), e ad un gradiente termico differenziale di 10° lungo l'altezza della sezione.

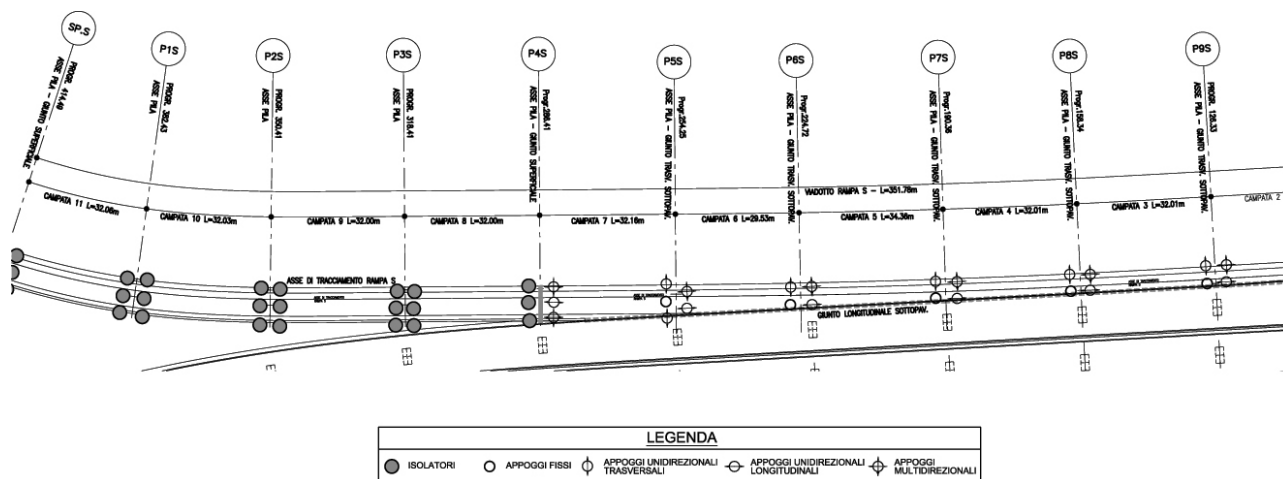


F 19. *Inviluppo abbassamenti impalcato in esercizio*

L'abbassamento massimo nella prima campata vale 13.63 mm. $\delta_{max} = 1/700 \times 31530 = 45.04\text{mm}$. Con tali valori massimi le verifiche si ritengono soddisfatte.

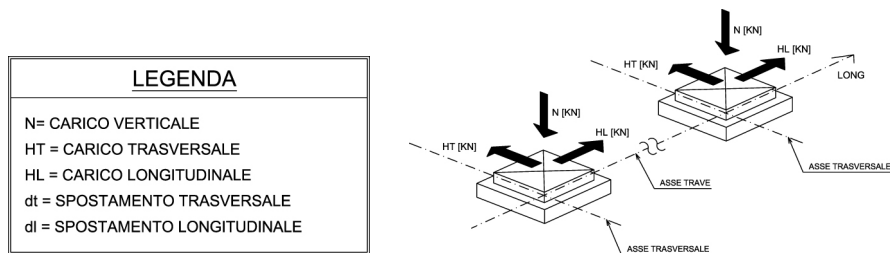
9. AZIONI SUGLI APPOGGI

Nella figura seguente si rappresenta lo schema dei vincoli dell'impacato:



9.1. TRATTO IN AFFIANCAMENTO

Si evidenziano, di seguito, le massime azioni sui dispositivi di appoggio.



ASSE S	TIPO	NUMERO	SLU		
			N (kN)	HI (kN)	Ht (kN)
PILA 4	APPOGGIO MOBILE UNIDIREZIONALE LONGITUDIALE	1	1.916	-	902
	APPOGGIO MOBILE MULTIDIREZIONALE	2	3.086	-	-
PILA 5	APPOGGIO FISSO	1	1.511	681	913
	APPOGGIO MOBILE UNIDIREZIONALE LONGITUDIALE	1	2.868	-	544
	APPOGGIO MOBILE UNIDIREZIONALE TRASVERSALE	2	2.230	719	-
	APPOGGIO MOBILE MULTIDIREZIONALE	1	1.024	-	-
PILA 6	APPOGGIO FISSO	1	2.930	740	604
	APPOGGIO MOBILE UNIDIREZIONALE LONGITUDIALE	1	3.112	-	700
	APPOGGIO MOBILE UNIDIREZIONALE TRASVERSALE	1	1.022	723	-
	APPOGGIO MOBILE MULTIDIREZIONALE	1	1.200	-	-
PILA 7	APPOGGIO FISSO	1	3.081	890	751
	APPOGGIO MOBILE UNIDIREZIONALE LONGITUDIALE	1	2.806	-	544
	APPOGGIO MOBILE UNIDIREZIONALE TRASVERSALE	1	1.198	885	-
	APPOGGIO MOBILE MULTIDIREZIONALE	1	1.113	-	-
PILA 8	APPOGGIO FISSO	1	2.735	780	590
	APPOGGIO MOBILE UNIDIREZIONALE LONGITUDIALE	1	2.783	-	580
	APPOGGIO MOBILE UNIDIREZIONALE TRASVERSALE	1	1.112	779	-
	APPOGGIO MOBILE MULTIDIREZIONALE	1	1.113	-	-
PILA 9	APPOGGIO FISSO	1	2.744	789	618
	APPOGGIO MOBILE UNIDIREZIONALE LONGITUDIALE	1	2.669	-	571
	APPOGGIO MOBILE UNIDIREZIONALE TRASVERSALE	1	1.113	789	-
	APPOGGIO MOBILE MULTIDIREZIONALE	1	1.110	-	-
PILA 10	APPOGGIO FISSO	1	2.603	776	618
	APPOGGIO MOBILE UNIDIREZIONALE LONGITUDIALE	1	2.618	-	589
	APPOGGIO MOBILE UNIDIREZIONALE TRASVERSALE	1	1.109	787	-
	APPOGGIO MOBILE MULTIDIREZIONALE	1	1.129	-	-
PILA 11	APPOGGIO FISSO	1	2.467	742	626
	APPOGGIO MOBILE UNIDIREZIONALE LONGITUDIALE	1	1.129	-	-

Di seguito il dettaglio analitico delle azioni sui vincoli nelle varie combinazioni di carico elementari, in cui:

P = azione verticale

V2 = azione orizzontale longitudinale

V3 = azione orizzontale trasversale

TABLE: Element Forces - Frames							
Frame	Station	OutputCase	CaseType	StepType	P	V2	V3
Text	m	Text	Text	Text	KN	KN	KN
A4_1	0	SLU_P	Combination		-1.070	0	0
A4_1	0	SLU_VS	Combination		-1.070	0	0
A4_1	0	SLU_VC	Combination	Max	-1.169	0	0
A4_1	0	SLU_VC	Combination	Min	-2.441	0	0
A4_1	0	SLU_1.1	Combination	Max	-1.103	0	0
A4_1	0	SLU_1.1	Combination	Min	-3.086	0	0
A4_1	0	SLU_1.2	Combination		-1.129	0	0
A4_1	0	SLU_2a	Combination	Max	-1.129	0	0
A4_1	0	SLU_2a	Combination	Min	-2.401	0	0
A4_1	0	SLU_2b	Combination	Max	-1.129	0	0
A4_1	0	SLU_2b	Combination	Min	-2.401	0	0
A4_1	0	SISMA_SLV_L_AF	Combination	Max	-741	0	0
A4_1	0	SISMA_SLV_L_AF	Combination	Min	-844	0	0
A4_1	0	SISMA_SLV_T_AF	Combination	Max	-760	0	0
A4_1	0	SISMA_SLV_T_AF	Combination	Min	-825	0	0
A4_1	0	SISMA_SLV_V_AF	Combination	Max	-711	0	0
A4_1	0	SISMA_SLV_V_AF	Combination	Min	-875	0	0
A4_3	0	SLU_P	Combination		-1.068	0	0
A4_3	0	SLU_VS	Combination		-1.068	0	-132
A4_3	0	SLU_VC	Combination	Max	-1.068	0	-280
A4_3	0	SLU_VC	Combination	Min	-1.617	0	-281
A4_3	0	SLU_1.1	Combination	Max	-1.068	0	-167
A4_3	0	SLU_1.1	Combination	Min	-1.916	0	-169
A4_3	0	SLU_1.2	Combination		-1.068	0	-169
A4_3	0	SLU_2a	Combination	Max	-1.068	0	-168
A4_3	0	SLU_2a	Combination	Min	-1.617	0	-169
A4_3	0	SLU_2b	Combination	Max	-1.068	0	-168
A4_3	0	SLU_2b	Combination	Min	-1.617	0	-169
A4_3	0	SISMA_SLV_L_AF	Combination	Max	-739	0	318
A4_3	0	SISMA_SLV_L_AF	Combination	Min	-842	0	-318
A4_3	0	SISMA_SLV_T_AF	Combination	Max	-759	0	902
A4_3	0	SISMA_SLV_T_AF	Combination	Min	-823	0	-902
A4_3	0	SISMA_SLV_V_AF	Combination	Max	-709	0	282
A4_3	0	SISMA_SLV_V_AF	Combination	Min	-873	0	-282
A4_5	0	SLU_P	Combination		-1.065	0	0
A4_5	0	SLU_VS	Combination		-1.065	0	0
A4_5	0	SLU_VC	Combination	Max	-649	0	0
A4_5	0	SLU_VC	Combination	Min	-1.115	0	0
A4_5	0	SLU_1.1	Combination	Max	-514	0	0
A4_5	0	SLU_1.1	Combination	Min	-1.271	0	0
A4_5	0	SLU_1.2	Combination		-1.006	0	0

A4_5	0	SLU_2a	Combination	Max	-688	0	0
A4_5	0	SLU_2a	Combination	Min	-1.154	0	0
A4_5	0	SLU_2b	Combination	Max	-689	0	0
A4_5	0	SLU_2b	Combination	Min	-1.154	0	0
A4_5	0	SISMA_SLV_L_AF	Combination	Max	-738	0	0
A4_5	0	SISMA_SLV_L_AF	Combination	Min	-840	0	0
A4_5	0	SISMA_SLV_T_AF	Combination	Max	-757	0	0
A4_5	0	SISMA_SLV_T_AF	Combination	Min	-821	0	0
A4_5	0	SISMA_SLV_V_AF	Combination	Max	-707	0	0
A4_5	0	SISMA_SLV_V_AF	Combination	Min	-871	0	0
A5_1	0	SLU_P	Combination		-1.065	0	0
A5_1	0	SLU_VS	Combination		-1.065	24	0
A5_1	0	SLU_VC	Combination	Max	-1.163	61	0
A5_1	0	SLU_VC	Combination	Min	-1.818	51	0
A5_1	0	SLU_1.1	Combination	Max	-1.102	44	0
A5_1	0	SLU_1.1	Combination	Min	-2.230	27	0
A5_1	0	SLU_1.2	Combination		-1.124	32	0
A5_1	0	SLU_2a	Combination	Max	-1.124	228	0
A5_1	0	SLU_2a	Combination	Min	-1.779	219	0
A5_1	0	SLU_2b	Combination	Max	-1.124	39	0
A5_1	0	SLU_2b	Combination	Min	-1.779	29	0
A5_1	0	SISMA_SLV_L_AF	Combination	Max	-742	718	0
A5_1	0	SISMA_SLV_L_AF	Combination	Min	-835	-719	0
A5_1	0	SISMA_SLV_T_AF	Combination	Max	-759	358	0
A5_1	0	SISMA_SLV_T_AF	Combination	Min	-819	-360	0
A5_1	0	SISMA_SLV_V_AF	Combination	Max	-709	254	0
A5_1	0	SISMA_SLV_V_AF	Combination	Min	-869	-256	0
A5_2	0	SLU_P	Combination		-1.022	0	0
A5_2	0	SLU_VS	Combination		-1.022	-2	-120
A5_2	0	SLU_VC	Combination	Max	-1.189	-4	-255
A5_2	0	SLU_VC	Combination	Min	-2.238	-4	-256
A5_2	0	SLU_1.1	Combination	Max	-1.087	-3	-153
A5_2	0	SLU_1.1	Combination	Min	-2.868	-3	-154
A5_2	0	SLU_1.2	Combination		-1.122	-3	-153
A5_2	0	SLU_2a	Combination	Max	-1.122	-3	-153
A5_2	0	SLU_2a	Combination	Min	-2.171	-3	-154
A5_2	0	SLU_2b	Combination	Max	-1.122	-3	-153
A5_2	0	SLU_2b	Combination	Min	-2.171	-3	-154
A5_2	0	SISMA_SLV_L_AF	Combination	Max	-678	3	196
A5_2	0	SISMA_SLV_L_AF	Combination	Min	-835	-3	-196
A5_2	0	SISMA_SLV_T_AF	Combination	Max	-713	9	544
A5_2	0	SISMA_SLV_T_AF	Combination	Min	-800	-9	-544
A5_2	0	SISMA_SLV_V_AF	Combination	Max	-661	3	171
A5_2	0	SISMA_SLV_V_AF	Combination	Min	-853	-3	-172
A5_3	0	SLU_P	Combination		-1.068	0	0
A5_3	0	SLU_VS	Combination		-1.068	1	-138
A5_3	0	SLU_VC	Combination	Max	-1.067	2	-294
A5_3	0	SLU_VC	Combination	Min	-1.321	2	-295
A5_3	0	SLU_1.1	Combination	Max	-1.067	1	-176
A5_3	0	SLU_1.1	Combination	Min	-1.511	1	-178
A5_3	0	SLU_1.2	Combination		-1.067	1	-177
A5_3	0	SLU_2a	Combination	Max	-1.067	190	-171
A5_3	0	SLU_2a	Combination	Min	-1.321	190	-173
A5_3	0	SLU_2b	Combination	Max	-1.067	1	-176

A5_3	0	SLU_2b	Combination	Min	-1.321	1	-178
A5_3	0	SISMA_SLV_L_AF	Combination	Max	-744	681	324
A5_3	0	SISMA_SLV_L_AF	Combination	Min	-837	-681	-324
A5_3	0	SISMA_SLV_T_AF	Combination	Max	-760	241	913
A5_3	0	SISMA_SLV_T_AF	Combination	Min	-821	-241	-912
A5_3	0	SISMA_SLV_V_AF	Combination	Max	-710	219	285
A5_3	0	SISMA_SLV_V_AF	Combination	Min	-871	-219	-285
A5_4	0	SLU_P	Combination		-1.024	0	0
A5_4	0	SLU_VS	Combination		-1.024	0	0
A5_4	0	SLU_VC	Combination	Max	-554	0	0
A5_4	0	SLU_VC	Combination	Min	-857	0	0
A5_4	0	SLU_1.1	Combination	Max	-421	0	0
A5_4	0	SLU_1.1	Combination	Min	-1.008	0	0
A5_4	0	SLU_1.2	Combination		-924	0	0
A5_4	0	SLU_2a	Combination	Max	-622	0	0
A5_4	0	SLU_2a	Combination	Min	-924	0	0
A5_4	0	SLU_2b	Combination	Max	-622	0	0
A5_4	0	SLU_2b	Combination	Min	-924	0	0
A5_4	0	SISMA_SLV_L_AF	Combination	Max	-680	0	0
A5_4	0	SISMA_SLV_L_AF	Combination	Min	-837	0	0
A5_4	0	SISMA_SLV_T_AF	Combination	Max	-715	0	0
A5_4	0	SISMA_SLV_T_AF	Combination	Min	-802	0	0
A5_4	0	SISMA_SLV_V_AF	Combination	Max	-662	0	0
A5_4	0	SISMA_SLV_V_AF	Combination	Min	-855	0	0
A5_5	0	SLU_P	Combination		-1.070	0	0
A5_5	0	SLU_VS	Combination		-1.070	-23	0
A5_5	0	SLU_VC	Combination	Max	-823	-47	0
A5_5	0	SLU_VC	Combination	Min	-971	-57	0
A5_5	0	SLU_1.1	Combination	Max	-756	-25	0
A5_5	0	SLU_1.1	Combination	Min	-1.068	-42	0
A5_5	0	SLU_1.2	Combination		-1.011	-30	0
A5_5	0	SLU_2a	Combination	Max	-863	161	0
A5_5	0	SLU_2a	Combination	Min	-1.011	151	0
A5_5	0	SLU_2b	Combination	Max	-863	-27	0
A5_5	0	SLU_2b	Combination	Min	-1.011	-37	0
A5_5	0	SISMA_SLV_L_AF	Combination	Max	-746	710	0
A5_5	0	SISMA_SLV_L_AF	Combination	Min	-839	-708	0
A5_5	0	SISMA_SLV_T_AF	Combination	Max	-762	343	0
A5_5	0	SISMA_SLV_T_AF	Combination	Min	-823	-341	0
A5_5	0	SISMA_SLV_V_AF	Combination	Max	-712	250	0
A5_5	0	SISMA_SLV_V_AF	Combination	Min	-873	-248	0
A6_1	0	SLU_P	Combination		-1.198	0	0
A6_1	0	SLU_VS	Combination		-1.198	-2	-140
A6_1	0	SLU_VC	Combination	Max	-1.393	-5	-297
A6_1	0	SLU_VC	Combination	Min	-2.457	-5	-297
A6_1	0	SLU_1.1	Combination	Max	-1.287	-3	-178
A6_1	0	SLU_1.1	Combination	Min	-3.112	-3	-179
A6_1	0	SLU_1.2	Combination		-1.315	-3	-178
A6_1	0	SLU_2a	Combination	Max	-1.315	-3	-178
A6_1	0	SLU_2a	Combination	Min	-2.379	-3	-178
A6_1	0	SLU_2b	Combination	Max	-1.315	-3	-178
A6_1	0	SLU_2b	Combination	Min	-2.379	-3	-178
A6_1	0	SISMA_SLV_L_AF	Combination	Max	-853	4	231
A6_1	0	SISMA_SLV_L_AF	Combination	Min	-922	-4	-231

A6_1	0	SISMA_SLV_T_AF	Combination	Max	-862	12	700
A6_1	0	SISMA_SLV_T_AF	Combination	Min	-912	-12	-700
A6_1	0	SISMA_SLV_V_AF	Combination	Max	-815	4	216
A6_1	0	SISMA_SLV_V_AF	Combination	Min	-959	-4	-216
A6_2	0	SLU_P	Combination		-1.024	0	0
A6_2	0	SLU_VS	Combination		-1.024	45	-128
A6_2	0	SLU_VC	Combination	Max	-1.190	96	-271
A6_2	0	SLU_VC	Combination	Min	-2.273	90	-272
A6_2	0	SLU_1.1	Combination	Max	-1.094	59	-162
A6_2	0	SLU_1.1	Combination	Min	-2.930	47	-163
A6_2	0	SLU_1.2	Combination		-1.124	56	-163
A6_2	0	SLU_2a	Combination	Max	-1.124	318	-157
A6_2	0	SLU_2a	Combination	Min	-2.206	312	-158
A6_2	0	SLU_2b	Combination	Max	-1.124	58	-163
A6_2	0	SLU_2b	Combination	Min	-2.206	51	-163
A6_2	0	SISMA_SLV_L_AF	Combination	Max	-687	738	216
A6_2	0	SISMA_SLV_L_AF	Combination	Min	-831	-740	-216
A6_2	0	SISMA_SLV_T_AF	Combination	Max	-718	433	604
A6_2	0	SISMA_SLV_T_AF	Combination	Min	-800	-435	-604
A6_2	0	SISMA_SLV_V_AF	Combination	Max	-664	298	189
A6_2	0	SISMA_SLV_V_AF	Combination	Min	-853	-300	-189
A6_3	0	SLU_P	Combination		-1.200	0	0
A6_3	0	SLU_VS	Combination		-1.200	0	0
A6_3	0	SLU_VC	Combination	Max	-704	0	0
A6_3	0	SLU_VC	Combination	Min	-1.005	0	0
A6_3	0	SLU_1.1	Combination	Max	-578	0	0
A6_3	0	SLU_1.1	Combination	Min	-1.169	0	0
A6_3	0	SLU_1.2	Combination		-1.083	0	0
A6_3	0	SLU_2a	Combination	Max	-783	0	0
A6_3	0	SLU_2a	Combination	Min	-1.083	0	0
A6_3	0	SLU_2b	Combination	Max	-783	0	0
A6_3	0	SLU_2b	Combination	Min	-1.083	0	0
A6_3	0	SISMA_SLV_L_AF	Combination	Max	-855	0	0
A6_3	0	SISMA_SLV_L_AF	Combination	Min	-924	0	0
A6_3	0	SISMA_SLV_T_AF	Combination	Max	-864	0	0
A6_3	0	SISMA_SLV_T_AF	Combination	Min	-914	0	0
A6_3	0	SISMA_SLV_V_AF	Combination	Max	-817	0	0
A6_3	0	SISMA_SLV_V_AF	Combination	Min	-961	0	0
A6_4	0	SLU_P	Combination		-1.022	0	0
A6_4	0	SLU_VS	Combination		-1.022	-42	1
A6_4	0	SLU_VC	Combination	Max	-547	-84	2
A6_4	0	SLU_VC	Combination	Min	-856	-91	1
A6_4	0	SLU_1.1	Combination	Max	-407	-44	1
A6_4	0	SLU_1.1	Combination	Min	-1.000	-56	1
A6_4	0	SLU_1.2	Combination		-922	-53	1
A6_4	0	SLU_2a	Combination	Max	-613	209	-4
A6_4	0	SLU_2a	Combination	Min	-922	203	-4
A6_4	0	SLU_2b	Combination	Max	-613	-48	1
A6_4	0	SLU_2b	Combination	Min	-922	-54	1
A6_4	0	SISMA_SLV_L_AF	Combination	Max	-685	723	13
A6_4	0	SISMA_SLV_L_AF	Combination	Min	-828	-721	-13
A6_4	0	SISMA_SLV_T_AF	Combination	Max	-716	424	7
A6_4	0	SISMA_SLV_T_AF	Combination	Min	-797	-422	-7
A6_4	0	SISMA_SLV_V_AF	Combination	Max	-663	293	5

A6_4	0	SISMA_SLV_V_AF	Combination	Min	-851	-291	-5
A7_1	0	SLU_P	Combination		-1.112	0	0
A7_1	0	SLU_VS	Combination		-1.112	0	-130
A7_1	0	SLU_VC	Combination	Max	-1.294	0	-276
A7_1	0	SLU_VC	Combination	Min	-2.241	0	-276
A7_1	0	SLU_1.1	Combination	Max	-1.204	0	-165
A7_1	0	SLU_1.1	Combination	Min	-2.806	0	-166
A7_1	0	SLU_1.2	Combination		-1.221	0	-166
A7_1	0	SLU_2a	Combination	Max	-1.221	0	-166
A7_1	0	SLU_2a	Combination	Min	-2.169	0	-166
A7_1	0	SLU_2b	Combination	Max	-1.221	0	-166
A7_1	0	SLU_2b	Combination	Min	-2.169	0	-166
A7_1	0	SISMA_SLV_L_AF	Combination	Max	-789	0	172
A7_1	0	SISMA_SLV_L_AF	Combination	Min	-859	0	-172
A7_1	0	SISMA_SLV_T_AF	Combination	Max	-798	0	544
A7_1	0	SISMA_SLV_T_AF	Combination	Min	-850	0	-544
A7_1	0	SISMA_SLV_V_AF	Combination	Max	-748	0	165
A7_1	0	SISMA_SLV_V_AF	Combination	Min	-900	0	-165
A7_2	0	SLU_P	Combination		-1.200	0	0
A7_2	0	SLU_VS	Combination		-1.200	81	-150
A7_2	0	SLU_VC	Combination	Max	-1.396	180	-319
A7_2	0	SLU_VC	Combination	Min	-2.430	173	-320
A7_2	0	SLU_1.1	Combination	Max	-1.294	112	-191
A7_2	0	SLU_1.1	Combination	Min	-3.081	100	-192
A7_2	0	SLU_1.2	Combination		-1.318	105	-192
A7_2	0	SLU_2a	Combination	Max	-1.318	413	-188
A7_2	0	SLU_2a	Combination	Min	-2.352	406	-188
A7_2	0	SLU_2b	Combination	Max	-1.318	109	-191
A7_2	0	SLU_2b	Combination	Min	-2.352	102	-192
A7_2	0	SISMA_SLV_L_AF	Combination	Max	-848	888	255
A7_2	0	SISMA_SLV_L_AF	Combination	Min	-930	-890	-255
A7_2	0	SISMA_SLV_T_AF	Combination	Max	-861	698	751
A7_2	0	SISMA_SLV_T_AF	Combination	Min	-917	-700	-751
A7_2	0	SISMA_SLV_V_AF	Combination	Max	-815	370	233
A7_2	0	SISMA_SLV_V_AF	Combination	Min	-963	-373	-233
A7_3	0	SLU_P	Combination		-1.113	0	0
A7_3	0	SLU_VS	Combination		-1.113	0	0
A7_3	0	SLU_VC	Combination	Max	-751	0	0
A7_3	0	SLU_VC	Combination	Min	-932	0	0
A7_3	0	SLU_1.1	Combination	Max	-705	0	0
A7_3	0	SLU_1.1	Combination	Min	-1.074	0	0
A7_3	0	SLU_1.2	Combination		-1.005	0	0
A7_3	0	SLU_2a	Combination	Max	-823	0	0
A7_3	0	SLU_2a	Combination	Min	-1.005	0	0
A7_3	0	SLU_2b	Combination	Max	-823	0	0
A7_3	0	SLU_2b	Combination	Min	-1.005	0	0
A7_3	0	SISMA_SLV_L_AF	Combination	Max	-790	0	0
A7_3	0	SISMA_SLV_L_AF	Combination	Min	-860	0	0
A7_3	0	SISMA_SLV_T_AF	Combination	Max	-799	0	0
A7_3	0	SISMA_SLV_T_AF	Combination	Min	-851	0	0
A7_3	0	SISMA_SLV_V_AF	Combination	Max	-749	0	0
A7_3	0	SISMA_SLV_V_AF	Combination	Min	-901	0	0
A7_4	0	SLU_P	Combination		-1.198	0	0
A7_4	0	SLU_VS	Combination		-1.198	-77	0

A7_4	0	SLU_VC	Combination	Max	-765	-164	0
A7_4	0	SLU_VC	Combination	Min	-1.002	-170	0
A7_4	0	SLU_1.1	Combination	Max	-669	-95	0
A7_4	0	SLU_1.1	Combination	Min	-1.161	-107	0
A7_4	0	SLU_1.2	Combination		-1.080	-99	0
A7_4	0	SLU_2a	Combination	Max	-843	206	0
A7_4	0	SLU_2a	Combination	Min	-1.081	200	0
A7_4	0	SLU_2b	Combination	Max	-843	-97	0
A7_4	0	SLU_2b	Combination	Min	-1.081	-103	0
A7_4	0	SISMA_SLV_L_AF	Combination	Max	-846	885	0
A7_4	0	SISMA_SLV_L_AF	Combination	Min	-928	-883	0
A7_4	0	SISMA_SLV_T_AF	Combination	Max	-860	649	0
A7_4	0	SISMA_SLV_T_AF	Combination	Min	-915	-647	0
A7_4	0	SISMA_SLV_V_AF	Combination	Max	-813	360	0
A7_4	0	SISMA_SLV_V_AF	Combination	Min	-961	-357	0
A8_1	0	SLU_P	Combination		-1.113	0	0
A8_1	0	SLU_VS	Combination		-1.113	2	-130
A8_1	0	SLU_VC	Combination	Max	-1.294	5	-276
A8_1	0	SLU_VC	Combination	Min	-2.228	5	-276
A8_1	0	SLU_1.1	Combination	Max	-1.208	3	-165
A8_1	0	SLU_1.1	Combination	Min	-2.783	3	-166
A8_1	0	SLU_1.2	Combination		-1.221	3	-166
A8_1	0	SLU_2a	Combination	Max	-1.221	3	-166
A8_1	0	SLU_2a	Combination	Min	-2.156	3	-166
A8_1	0	SLU_2b	Combination	Max	-1.221	3	-166
A8_1	0	SLU_2b	Combination	Min	-2.156	3	-166
A8_1	0	SISMA_SLV_L_AF	Combination	Max	-786	3	185
A8_1	0	SISMA_SLV_L_AF	Combination	Min	-863	-3	-185
A8_1	0	SISMA_SLV_T_AF	Combination	Max	-797	10	580
A8_1	0	SISMA_SLV_T_AF	Combination	Min	-851	-10	-580
A8_1	0	SISMA_SLV_V_AF	Combination	Max	-747	3	177
A8_1	0	SISMA_SLV_V_AF	Combination	Min	-901	-3	-177
A8_2	0	SLU_P	Combination		-1.113	0	0
A8_2	0	SLU_VS	Combination		-1.113	68	-138
A8_2	0	SLU_VC	Combination	Max	-1.295	148	-293
A8_2	0	SLU_VC	Combination	Min	-2.200	143	-294
A8_2	0	SLU_1.1	Combination	Max	-1.207	92	-176
A8_2	0	SLU_1.1	Combination	Min	-2.735	83	-176
A8_2	0	SLU_1.2	Combination		-1.222	87	-176
A8_2	0	SLU_2a	Combination	Max	-1.222	371	-174
A8_2	0	SLU_2a	Combination	Min	-2.128	367	-174
A8_2	0	SLU_2b	Combination	Max	-1.222	89	-176
A8_2	0	SLU_2b	Combination	Min	-2.128	85	-176
A8_2	0	SISMA_SLV_L_AF	Combination	Max	-785	779	193
A8_2	0	SISMA_SLV_L_AF	Combination	Min	-865	-780	-193
A8_2	0	SISMA_SLV_T_AF	Combination	Max	-797	547	590
A8_2	0	SISMA_SLV_T_AF	Combination	Min	-852	-548	-590
A8_2	0	SISMA_SLV_V_AF	Combination	Max	-747	306	181
A8_2	0	SISMA_SLV_V_AF	Combination	Min	-902	-307	-181
A8_3	0	SLU_P	Combination		-1.113	0	0
A8_3	0	SLU_VS	Combination		-1.113	0	0
A8_3	0	SLU_VC	Combination	Max	-816	0	0
A8_3	0	SLU_VC	Combination	Min	-932	0	0
A8_3	0	SLU_1.1	Combination	Max	-812	0	0

A8_3	0	SLU_1.1	Combination	Min	-1.070	0	0
A8_3	0	SLU_1.2	Combination		-1.004	0	0
A8_3	0	SLU_2a	Combination	Max	-889	0	0
A8_3	0	SLU_2a	Combination	Min	-1.004	0	0
A8_3	0	SLU_2b	Combination	Max	-889	0	0
A8_3	0	SLU_2b	Combination	Min	-1.004	0	0
A8_3	0	SISMA_SLV_L_AF	Combination	Max	-786	0	0
A8_3	0	SISMA_SLV_L_AF	Combination	Min	-863	0	0
A8_3	0	SISMA_SLV_T_AF	Combination	Max	-797	0	0
A8_3	0	SISMA_SLV_T_AF	Combination	Min	-851	0	0
A8_3	0	SISMA_SLV_V_AF	Combination	Max	-747	0	0
A8_3	0	SISMA_SLV_V_AF	Combination	Min	-901	0	0
A8_4	0	SLU_P	Combination		-1.112	0	0
A8_4	0	SLU_VS	Combination		-1.112	-64	-1
A8_4	0	SLU_VC	Combination	Max	-805	-136	-2
A8_4	0	SLU_VC	Combination	Min	-931	-140	-2
A8_4	0	SLU_1.1	Combination	Max	-788	-79	-1
A8_4	0	SLU_1.1	Combination	Min	-1.072	-87	-2
A8_4	0	SLU_1.2	Combination		-1.004	-82	-1
A8_4	0	SLU_2a	Combination	Max	-878	201	4
A8_4	0	SLU_2a	Combination	Min	-1.004	197	3
A8_4	0	SLU_2b	Combination	Max	-878	-81	-1
A8_4	0	SLU_2b	Combination	Min	-1.004	-85	-1
A8_4	0	SISMA_SLV_L_AF	Combination	Max	-784	779	14
A8_4	0	SISMA_SLV_L_AF	Combination	Min	-864	-778	-14
A8_4	0	SISMA_SLV_T_AF	Combination	Max	-796	508	9
A8_4	0	SISMA_SLV_T_AF	Combination	Min	-852	-506	-9
A8_4	0	SISMA_SLV_V_AF	Combination	Max	-746	297	5
A8_4	0	SISMA_SLV_V_AF	Combination	Min	-902	-296	-5
A9_1	0	SLU_P	Combination		-1.109	0	0
A9_1	0	SLU_VS	Combination		-1.109	5	-129
A9_1	0	SLU_VC	Combination	Max	-1.290	10	-275
A9_1	0	SLU_VC	Combination	Min	-2.162	10	-275
A9_1	0	SLU_1.1	Combination	Max	-1.205	6	-165
A9_1	0	SLU_1.1	Combination	Min	-2.669	6	-165
A9_1	0	SLU_1.2	Combination		-1.218	6	-165
A9_1	0	SLU_2a	Combination	Max	-1.218	6	-165
A9_1	0	SLU_2a	Combination	Min	-2.090	6	-165
A9_1	0	SLU_2b	Combination	Max	-1.218	6	-165
A9_1	0	SLU_2b	Combination	Min	-2.090	6	-165
A9_1	0	SISMA_SLV_L_AF	Combination	Max	-783	6	183
A9_1	0	SISMA_SLV_L_AF	Combination	Min	-860	-6	-183
A9_1	0	SISMA_SLV_T_AF	Combination	Max	-795	20	571
A9_1	0	SISMA_SLV_T_AF	Combination	Min	-849	-20	-570
A9_1	0	SISMA_SLV_V_AF	Combination	Max	-744	6	174
A9_1	0	SISMA_SLV_V_AF	Combination	Min	-899	-6	-174
A9_2	0	SLU_P	Combination		-1.113	0	0
A9_2	0	SLU_VS	Combination		-1.113	69	-137
A9_2	0	SLU_VC	Combination	Max	-1.294	148	-291
A9_2	0	SLU_VC	Combination	Min	-2.205	144	-291
A9_2	0	SLU_1.1	Combination	Max	-1.209	91	-174
A9_2	0	SLU_1.1	Combination	Min	-2.744	84	-175
A9_2	0	SLU_1.2	Combination		-1.222	88	-175
A9_2	0	SLU_2a	Combination	Max	-1.222	371	-173

A9_2	0	SLU_2a	Combination	Min	-2.132	367	-174
A9_2	0	SLU_2b	Combination	Max	-1.222	89	-175
A9_2	0	SLU_2b	Combination	Min	-2.132	86	-175
A9_2	0	SISMA_SLV_L_AF	Combination	Max	-786	788	199
A9_2	0	SISMA_SLV_L_AF	Combination	Min	-863	-789	-199
A9_2	0	SISMA_SLV_T_AF	Combination	Max	-797	573	618
A9_2	0	SISMA_SLV_T_AF	Combination	Min	-851	-573	-618
A9_2	0	SISMA_SLV_V_AF	Combination	Max	-747	314	189
A9_2	0	SISMA_SLV_V_AF	Combination	Min	-901	-315	-189
A9_3	0	SLU_P	Combination		-1.110	0	0
A9_3	0	SLU_VS	Combination		-1.110	0	0
A9_3	0	SLU_VC	Combination	Max	-844	0	0
A9_3	0	SLU_VC	Combination	Min	-929	0	0
A9_3	0	SLU_1.1	Combination	Max	-862	0	0
A9_3	0	SLU_1.1	Combination	Min	-1.067	0	0
A9_3	0	SLU_1.2	Combination		-1.001	0	0
A9_3	0	SLU_2a	Combination	Max	-916	0	0
A9_3	0	SLU_2a	Combination	Min	-1.001	0	0
A9_3	0	SLU_2b	Combination	Max	-916	0	0
A9_3	0	SLU_2b	Combination	Min	-1.001	0	0
A9_3	0	SISMA_SLV_L_AF	Combination	Max	-783	0	0
A9_3	0	SISMA_SLV_L_AF	Combination	Min	-860	0	0
A9_3	0	SISMA_SLV_T_AF	Combination	Max	-795	0	0
A9_3	0	SISMA_SLV_T_AF	Combination	Min	-849	0	0
A9_3	0	SISMA_SLV_V_AF	Combination	Max	-745	0	0
A9_3	0	SISMA_SLV_V_AF	Combination	Min	-899	0	0
A9_4	0	SLU_P	Combination		-1.113	0	0
A9_4	0	SLU_VS	Combination		-1.113	-66	-2
A9_4	0	SLU_VC	Combination	Max	-830	-138	-5
A9_4	0	SLU_VC	Combination	Min	-931	-141	-5
A9_4	0	SLU_1.1	Combination	Max	-833	-81	-3
A9_4	0	SLU_1.1	Combination	Min	-1.070	-87	-3
A9_4	0	SLU_1.2	Combination		-1.004	-84	-3
A9_4	0	SLU_2a	Combination	Max	-903	200	7
A9_4	0	SLU_2a	Combination	Min	-1.004	196	7
A9_4	0	SLU_2b	Combination	Max	-903	-82	-3
A9_4	0	SLU_2b	Combination	Min	-1.004	-86	-3
A9_4	0	SISMA_SLV_L_AF	Combination	Max	-786	789	28
A9_4	0	SISMA_SLV_L_AF	Combination	Min	-863	-789	-28
A9_4	0	SISMA_SLV_T_AF	Combination	Max	-797	530	19
A9_4	0	SISMA_SLV_T_AF	Combination	Min	-851	-530	-19
A9_4	0	SISMA_SLV_V_AF	Combination	Max	-747	305	11
A9_4	0	SISMA_SLV_V_AF	Combination	Min	-901	-305	-11
A10_1	0	SLU_P	Combination		-1.129	0	0
A10_1	0	SLU_VS	Combination		-1.129	0	-132
A10_1	0	SLU_VC	Combination	Max	-1.312	0	-279
A10_1	0	SLU_VC	Combination	Min	-2.134	0	-280
A10_1	0	SLU_1.1	Combination	Max	-1.227	0	-167
A10_1	0	SLU_1.1	Combination	Min	-2.618	0	-168
A10_1	0	SLU_1.2	Combination		-1.239	0	-168
A10_1	0	SLU_2a	Combination	Max	-1.239	0	-168
A10_1	0	SLU_2a	Combination	Min	-2.060	0	-168
A10_1	0	SLU_2b	Combination	Max	-1.239	0	-168
A10_1	0	SLU_2b	Combination	Min	-2.060	0	-168

A10_1	0	SISMA_SLV_L_AF	Combination	Max	-803	0	186
A10_1	0	SISMA_SLV_L_AF	Combination	Min	-869	0	-186
A10_1	0	SISMA_SLV_T_AF	Combination	Max	-811	0	589
A10_1	0	SISMA_SLV_T_AF	Combination	Min	-861	0	-589
A10_1	0	SISMA_SLV_V_AF	Combination	Max	-761	0	179
A10_1	0	SISMA_SLV_V_AF	Combination	Min	-911	0	-179
A10_2	0	SLU_P	Combination		-1.110	0	0
A10_2	0	SLU_VS	Combination		-1.110	64	-139
A10_2	0	SLU_VC	Combination	Max	-1.290	137	-295
A10_2	0	SLU_VC	Combination	Min	-2.115	133	-295
A10_2	0	SLU_1.1	Combination	Max	-1.206	84	-177
A10_2	0	SLU_1.1	Combination	Min	-2.603	78	-177
A10_2	0	SLU_1.2	Combination		-1.218	81	-177
A10_2	0	SLU_2a	Combination	Max	-1.218	364	-183
A10_2	0	SLU_2a	Combination	Min	-2.043	360	-183
A10_2	0	SLU_2b	Combination	Max	-1.218	83	-177
A10_2	0	SLU_2b	Combination	Min	-2.043	80	-177
A10_2	0	SISMA_SLV_L_AF	Combination	Max	-783	776	193
A10_2	0	SISMA_SLV_L_AF	Combination	Min	-861	-775	-193
A10_2	0	SISMA_SLV_T_AF	Combination	Max	-795	537	618
A10_2	0	SISMA_SLV_T_AF	Combination	Min	-849	-536	-618
A10_2	0	SISMA_SLV_V_AF	Combination	Max	-745	305	187
A10_2	0	SISMA_SLV_V_AF	Combination	Min	-899	-304	-187
A10_3	0	SLU_P	Combination		-1.129	0	0
A10_3	0	SLU_VS	Combination		-1.129	0	0
A10_3	0	SLU_VC	Combination	Max	-896	0	0
A10_3	0	SLU_VC	Combination	Min	-945	0	0
A10_3	0	SLU_1.1	Combination	Max	-937	0	0
A10_3	0	SLU_1.1	Combination	Min	-1.084	0	0
A10_3	0	SLU_1.2	Combination		-1.018	0	0
A10_3	0	SLU_2a	Combination	Max	-970	0	0
A10_3	0	SLU_2a	Combination	Min	-1.019	0	0
A10_3	0	SLU_2b	Combination	Max	-970	0	0
A10_3	0	SLU_2b	Combination	Min	-1.019	0	0
A10_3	0	SISMA_SLV_L_AF	Combination	Max	-803	0	0
A10_3	0	SISMA_SLV_L_AF	Combination	Min	-869	0	0
A10_3	0	SISMA_SLV_T_AF	Combination	Max	-811	0	0
A10_3	0	SISMA_SLV_T_AF	Combination	Min	-861	0	0
A10_3	0	SISMA_SLV_V_AF	Combination	Max	-761	0	0
A10_3	0	SISMA_SLV_V_AF	Combination	Min	-911	0	0
A10_4	0	SLU_P	Combination		-1.109	0	0
A10_4	0	SLU_VS	Combination		-1.109	-67	0
A10_4	0	SLU_VC	Combination	Max	-869	-139	0
A10_4	0	SLU_VC	Combination	Min	-928	-142	0
A10_4	0	SLU_1.1	Combination	Max	-899	-82	0
A10_4	0	SLU_1.1	Combination	Min	-1.066	-88	0
A10_4	0	SLU_1.2	Combination		-1.001	-85	0
A10_4	0	SLU_2a	Combination	Max	-941	198	0
A10_4	0	SLU_2a	Combination	Min	-1.001	195	0
A10_4	0	SLU_2b	Combination	Max	-941	-83	0
A10_4	0	SLU_2b	Combination	Min	-1.001	-86	0
A10_4	0	SISMA_SLV_L_AF	Combination	Max	-783	786	0
A10_4	0	SISMA_SLV_L_AF	Combination	Min	-860	-787	0
A10_4	0	SISMA_SLV_T_AF	Combination	Max	-794	530	0

A10_4	0	SISMA_SLV_T_AF	Combination	Min	-849	-531	0
A10_4	0	SISMA_SLV_V_AF	Combination	Max	-744	305	0
A10_4	0	SISMA_SLV_V_AF	Combination	Min	-899	-306	0
A11_1	0	SLU_P	Combination		-1.129	0	0
A11_1	0	SLU_VS	Combination		-1.129	72	-142
A11_1	0	SLU_VC	Combination	Max	-1.313	154	-301
A11_1	0	SLU_VC	Combination	Min	-2.064	152	-301
A11_1	0	SLU_1.1	Combination	Max	-1.228	95	-180
A11_1	0	SLU_1.1	Combination	Min	-2.467	91	-181
A11_1	0	SLU_1.2	Combination		-1.239	92	-180
A11_1	0	SLU_2a	Combination	Max	-1.239	380	-180
A11_1	0	SLU_2a	Combination	Min	-1.990	377	-180
A11_1	0	SLU_2b	Combination	Max	-1.239	93	-180
A11_1	0	SLU_2b	Combination	Min	-1.990	91	-181
A11_1	0	SISMA_SLV_L_AF	Combination	Max	-804	742	200
A11_1	0	SISMA_SLV_L_AF	Combination	Min	-869	-742	-200
A11_1	0	SISMA_SLV_T_AF	Combination	Max	-811	557	626
A11_1	0	SISMA_SLV_T_AF	Combination	Min	-861	-557	-626
A11_1	0	SISMA_SLV_V_AF	Combination	Max	-761	300	191
A11_1	0	SISMA_SLV_V_AF	Combination	Min	-911	-300	-191
A11_2	0	SLU_P	Combination		-1.129	0	0
A11_2	0	SLU_VS	Combination		-1.129	-72	0
A11_2	0	SLU_VC	Combination	Max	-907	-152	0
A11_2	0	SLU_VC	Combination	Min	-944	-154	0
A11_2	0	SLU_1.1	Combination	Max	-956	-91	0
A11_2	0	SLU_1.1	Combination	Min	-1.081	-95	0
A11_2	0	SLU_1.2	Combination		-1.018	-92	0
A11_2	0	SLU_2a	Combination	Max	-980	194	0
A11_2	0	SLU_2a	Combination	Min	-1.018	192	0
A11_2	0	SLU_2b	Combination	Max	-980	-91	0
A11_2	0	SLU_2b	Combination	Min	-1.018	-93	0
A11_2	0	SISMA_SLV_L_AF	Combination	Max	-803	744	0
A11_2	0	SISMA_SLV_L_AF	Combination	Min	-869	-744	0
A11_2	0	SISMA_SLV_T_AF	Combination	Max	-811	557	0
A11_2	0	SISMA_SLV_T_AF	Combination	Min	-862	-557	0
A11_2	0	SISMA_SLV_V_AF	Combination	Max	-761	300	0
A11_2	0	SISMA_SLV_V_AF	Combination	Min	-911	-300	0

9.2. TRATTO CONTINUO CON ISOLATORI

Si evidenziano, di seguito, le massime azioni sugli isolatori, dove:

V_{max} = massimo sforzo normale

H_{Lmax} = massima azione orizzontale longitudinale

H_{Tmax} = massima azione orizzontale trasversale

ASSE S: ISOLATORI IN GOMMA SPALLA S	
N. ISOLATORI	3
V_{max} SLC sismico (kN)	1.040
V_{min} SLC sismico (kN)	815
V_{max} SLU statico (kN)	2.602
H_{Lmax} SLU statico (kN)	45
H_{Tmax} SLU statico (kN)	94
spostamento massimo sismico SLC (+/- mm)	110
ASSE S: ISOLATORI IN GOMMA PILA 1	
N. ISOLATORI	6
V_{max} SLC sismico (kN)	1.088
V_{min} SLC sismico (kN)	803
V_{max} SLU statico (kN)	2.361
H_{Lmax} SLU statico (kN)	43
H_{Tmax} SLU statico (kN)	97
spostamento massimo sismico SLC (+/- mm)	108
ASSE S: ISOLATORI IN GOMMA PILA 2	
N. ISOLATORI	6
V_{max} SLC sismico (kN)	1.038
V_{min} SLC sismico (kN)	797
V_{max} SLU statico (kN)	2.275
H_{Lmax} SLU statico (kN)	35
H_{Tmax} SLU statico (kN)	97
spostamento massimo sismico SLC (+/- mm)	107
ASSE S: ISOLATORI IN GOMMA PILA 3	
N. ISOLATORI	6
V_{max} SLC sismico (kN)	1.036
V_{min} SLC sismico (kN)	806
V_{max} SLU statico (kN)	2.308
H_{Lmax} SLU statico (kN)	37
H_{Tmax} SLU statico (kN)	96
spostamento massimo sismico SLC (+/- mm)	108
ASSE S: ISOLATORI IN GOMMA PILA 4	
N. ISOLATORI	3
V_{max} SLC sismico (kN)	1.007
V_{min} SLC sismico (kN)	787
V_{max} SLU statico (kN)	2.526
H_{Lmax} SLU statico (kN)	37
H_{Tmax} SLU statico (kN)	93
spostamento massimo sismico SLC (+/- mm)	110

Si riporta di seguito il dettaglio analitico delle azioni sui vincoli nelle varie combinazioni di carico elementari, in cui:

P = azione verticale

V2 = azione orizzontale longitudinale

V3 = azione orizzontale trasversale

TABLE: Element Forces - Frames							
Frame	Station	OutputCase	CaseType	StepType	P	V2	V3
Text	m	Text	Text	Text	KN	KN	KN
A1_1	0	SLU_P	Combination		-1.217	0	0
A1_1	0	SLU_VS	Combination		-1.217	3	-46
A1_1	0	SLU_VC	Combination	Max	-1.310	10	-97
A1_1	0	SLU_VC	Combination	Min	-1.877	10	-97
A1_1	0	SLU_1.1	Combination	Max	-1.239	5	-58
A1_1	0	SLU_1.1	Combination	Min	-2.285	5	-58
A1_1	0	SLU_1.2	Combination		-1.276	5	-58
A1_1	0	SLU_2a	Combination	Max	-1.269	43	-56
A1_1	0	SLU_2a	Combination	Min	-1.835	43	-56
A1_1	0	SLU_2b	Combination	Max	-1.271	6	-63
A1_1	0	SLU_2b	Combination	Min	-1.837	6	-63
A1_2	0	SLU_P	Combination		-1.239	0	0
A1_2	0	SLU_VS	Combination		-1.239	3	-46
A1_2	0	SLU_VC	Combination	Max	-1.335	10	-96
A1_2	0	SLU_VC	Combination	Min	-1.930	10	-97
A1_2	0	SLU_1.1	Combination	Max	-1.265	5	-58
A1_2	0	SLU_1.1	Combination	Min	-2.361	5	-58
A1_2	0	SLU_1.2	Combination		-1.300	5	-58
A1_2	0	SLU_2a	Combination	Max	-1.296	43	-56
A1_2	0	SLU_2a	Combination	Min	-1.892	43	-56
A1_2	0	SLU_2b	Combination	Max	-1.295	6	-63
A1_2	0	SLU_2b	Combination	Min	-1.890	6	-63
A1_3	0	SLU_P	Combination		-1.256	0	0
A1_3	0	SLU_VS	Combination		-1.255	3	-46
A1_3	0	SLU_VC	Combination	Max	-1.253	10	-97
A1_3	0	SLU_VC	Combination	Min	-1.531	10	-97
A1_3	0	SLU_1.1	Combination	Max	-1.251	5	-58
A1_3	0	SLU_1.1	Combination	Min	-1.763	5	-58
A1_3	0	SLU_1.2	Combination		-1.255	5	-58
A1_3	0	SLU_2a	Combination	Max	-1.251	43	-56
A1_3	0	SLU_2a	Combination	Min	-1.530	42	-56
A1_3	0	SLU_2b	Combination	Max	-1.253	6	-63
A1_3	0	SLU_2b	Combination	Min	-1.531	6	-63
A1_4	0	SLU_P	Combination		-1.280	0	0
A1_4	0	SLU_VS	Combination		-1.280	3	-46
A1_4	0	SLU_VC	Combination	Max	-1.277	10	-96
A1_4	0	SLU_VC	Combination	Min	-1.561	10	-97
A1_4	0	SLU_1.1	Combination	Max	-1.274	5	-58
A1_4	0	SLU_1.1	Combination	Min	-1.797	5	-58
A1_4	0	SLU_1.2	Combination		-1.280	5	-58
A1_4	0	SLU_2a	Combination	Max	-1.278	43	-56

A1_4	0	SLU_2a	Combination	Min	-1.563	42	-56
A1_4	0	SLU_2b	Combination	Max	-1.277	6	-63
A1_4	0	SLU_2b	Combination	Min	-1.561	6	-63
A1_5	0	SLU_P	Combination		-1.294	0	0
A1_5	0	SLU_VS	Combination		-1.294	3	-46
A1_5	0	SLU_VC	Combination	Max	-1.043	10	-97
A1_5	0	SLU_VC	Combination	Min	-1.349	10	-97
A1_5	0	SLU_1.1	Combination	Max	-967	5	-58
A1_5	0	SLU_1.1	Combination	Min	-1.552	5	-58
A1_5	0	SLU_1.2	Combination		-1.235	5	-58
A1_5	0	SLU_2a	Combination	Max	-1.081	42	-56
A1_5	0	SLU_2a	Combination	Min	-1.387	42	-56
A1_5	0	SLU_2b	Combination	Max	-1.083	6	-63
A1_5	0	SLU_2b	Combination	Min	-1.389	6	-63
A1_6	0	SLU_P	Combination		-1.321	0	0
A1_6	0	SLU_VS	Combination		-1.321	3	-46
A1_6	0	SLU_VC	Combination	Max	-1.054	10	-96
A1_6	0	SLU_VC	Combination	Min	-1.369	10	-97
A1_6	0	SLU_1.1	Combination	Max	-966	5	-58
A1_6	0	SLU_1.1	Combination	Min	-1.566	5	-58
A1_6	0	SLU_1.2	Combination		-1.261	5	-58
A1_6	0	SLU_2a	Combination	Max	-1.095	42	-56
A1_6	0	SLU_2a	Combination	Min	-1.411	42	-56
A1_6	0	SLU_2b	Combination	Max	-1.094	6	-63
A1_6	0	SLU_2b	Combination	Min	-1.409	6	-63
A2_1	0	SLU_P	Combination		-1.220	0	0
A2_1	0	SLU_VS	Combination		-1.221	-2	-46
A2_1	0	SLU_VC	Combination	Max	-1.313	-5	-97
A2_1	0	SLU_VC	Combination	Min	-1.875	-5	-97
A2_1	0	SLU_1.1	Combination	Max	-1.242	-3	-58
A2_1	0	SLU_1.1	Combination	Min	-2.275	-3	-58
A2_1	0	SLU_1.2	Combination		-1.279	-3	-58
A2_1	0	SLU_2a	Combination	Max	-1.271	35	-60
A2_1	0	SLU_2a	Combination	Min	-1.833	34	-60
A2_1	0	SLU_2b	Combination	Max	-1.274	-3	-63
A2_1	0	SLU_2b	Combination	Min	-1.836	-3	-63
A2_2	0	SLU_P	Combination		-1.217	0	0
A2_2	0	SLU_VS	Combination		-1.217	-2	-46
A2_2	0	SLU_VC	Combination	Max	-1.310	-5	-97
A2_2	0	SLU_VC	Combination	Min	-1.873	-5	-97
A2_2	0	SLU_1.1	Combination	Max	-1.238	-3	-58
A2_2	0	SLU_1.1	Combination	Min	-2.273	-3	-58
A2_2	0	SLU_1.2	Combination		-1.276	-3	-58
A2_2	0	SLU_2a	Combination	Max	-1.273	35	-60
A2_2	0	SLU_2a	Combination	Min	-1.836	34	-60
A2_2	0	SLU_2b	Combination	Max	-1.271	-3	-63
A2_2	0	SLU_2b	Combination	Min	-1.834	-3	-63
A2_3	0	SLU_P	Combination		-1.234	0	0
A2_3	0	SLU_VS	Combination		-1.234	-2	-46
A2_3	0	SLU_VC	Combination	Max	-1.229	-5	-97
A2_3	0	SLU_VC	Combination	Min	-1.507	-5	-97
A2_3	0	SLU_1.1	Combination	Max	-1.225	-3	-58
A2_3	0	SLU_1.1	Combination	Min	-1.736	-3	-58
A2_3	0	SLU_1.2	Combination		-1.234	-3	-58

A2_3	0	SLU_2a	Combination	Max	-1.226	34	-60
A2_3	0	SLU_2a	Combination	Min	-1.504	34	-60
A2_3	0	SLU_2b	Combination	Max	-1.229	-3	-63
A2_3	0	SLU_2b	Combination	Min	-1.507	-3	-63
A2_4	0	SLU_P	Combination		-1.236	0	0
A2_4	0	SLU_VS	Combination		-1.236	-2	-46
A2_4	0	SLU_VC	Combination	Max	-1.232	-5	-97
A2_4	0	SLU_VC	Combination	Min	-1.513	-5	-97
A2_4	0	SLU_1.1	Combination	Max	-1.228	-3	-58
A2_4	0	SLU_1.1	Combination	Min	-1.744	-3	-58
A2_4	0	SLU_1.2	Combination		-1.237	-3	-58
A2_4	0	SLU_2a	Combination	Max	-1.235	34	-60
A2_4	0	SLU_2a	Combination	Min	-1.515	34	-60
A2_4	0	SLU_2b	Combination	Max	-1.232	-3	-63
A2_4	0	SLU_2b	Combination	Min	-1.513	-3	-63
A2_5	0	SLU_P	Combination		-1.247	0	0
A2_5	0	SLU_VS	Combination		-1.247	-2	-46
A2_5	0	SLU_VC	Combination	Max	-991	-5	-97
A2_5	0	SLU_VC	Combination	Min	-1.301	-5	-97
A2_5	0	SLU_1.1	Combination	Max	-914	-3	-58
A2_5	0	SLU_1.1	Combination	Min	-1.504	-3	-58
A2_5	0	SLU_1.2	Combination		-1.188	-3	-58
A2_5	0	SLU_2a	Combination	Max	-1.028	34	-60
A2_5	0	SLU_2a	Combination	Min	-1.338	34	-60
A2_5	0	SLU_2b	Combination	Max	-1.031	-3	-63
A2_5	0	SLU_2b	Combination	Min	-1.340	-3	-63
A2_6	0	SLU_P	Combination		-1.256	0	0
A2_6	0	SLU_VS	Combination		-1.256	-2	-46
A2_6	0	SLU_VC	Combination	Max	-1.006	-5	-97
A2_6	0	SLU_VC	Combination	Min	-1.312	-5	-97
A2_6	0	SLU_1.1	Combination	Max	-934	-3	-58
A2_6	0	SLU_1.1	Combination	Min	-1.515	-3	-58
A2_6	0	SLU_1.2	Combination		-1.197	-3	-58
A2_6	0	SLU_2a	Combination	Max	-1.048	34	-60
A2_6	0	SLU_2a	Combination	Min	-1.354	34	-60
A2_6	0	SLU_2b	Combination	Max	-1.045	-3	-63
A2_6	0	SLU_2b	Combination	Min	-1.351	-3	-63
A3_1	0	SLU_P	Combination		-1.245	0	0
A3_1	0	SLU_VS	Combination		-1.245	0	-45
A3_1	0	SLU_VC	Combination	Max	-1.339	-3	-95
A3_1	0	SLU_VC	Combination	Min	-1.905	-3	-95
A3_1	0	SLU_1.1	Combination	Max	-1.268	-1	-57
A3_1	0	SLU_1.1	Combination	Min	-2.308	-1	-57
A3_1	0	SLU_1.2	Combination		-1.304	-1	-57
A3_1	0	SLU_2a	Combination	Max	-1.295	37	-57
A3_1	0	SLU_2a	Combination	Min	-1.861	36	-57
A3_1	0	SLU_2b	Combination	Max	-1.300	-1	-62
A3_1	0	SLU_2b	Combination	Min	-1.865	-1	-63
A3_2	0	SLU_P	Combination		-1.238	0	0
A3_2	0	SLU_VS	Combination		-1.238	0	-45
A3_2	0	SLU_VC	Combination	Max	-1.331	-3	-95
A3_2	0	SLU_VC	Combination	Min	-1.896	-3	-96
A3_2	0	SLU_1.1	Combination	Max	-1.261	-1	-57
A3_2	0	SLU_1.1	Combination	Min	-2.299	-1	-57

A3_2	0	SLU_1.2	Combination		-1.297	-1	-57
A3_2	0	SLU_2a	Combination	Max	-1.297	37	-57
A3_2	0	SLU_2a	Combination	Min	-1.862	36	-57
A3_2	0	SLU_2b	Combination	Max	-1.292	-1	-63
A3_2	0	SLU_2b	Combination	Min	-1.857	-1	-63
A3_3	0	SLU_P	Combination		-1.246	0	0
A3_3	0	SLU_VS	Combination		-1.246	0	-45
A3_3	0	SLU_VC	Combination	Max	-1.243	-3	-95
A3_3	0	SLU_VC	Combination	Min	-1.521	-3	-95
A3_3	0	SLU_1.1	Combination	Max	-1.240	-1	-57
A3_3	0	SLU_1.1	Combination	Min	-1.750	-1	-57
A3_3	0	SLU_1.2	Combination		-1.246	-1	-57
A3_3	0	SLU_2a	Combination	Max	-1.238	36	-57
A3_3	0	SLU_2a	Combination	Min	-1.516	36	-57
A3_3	0	SLU_2b	Combination	Max	-1.243	-1	-62
A3_3	0	SLU_2b	Combination	Min	-1.520	-1	-63
A3_4	0	SLU_P	Combination		-1.240	0	0
A3_4	0	SLU_VS	Combination		-1.239	0	-45
A3_4	0	SLU_VC	Combination	Max	-1.236	-3	-95
A3_4	0	SLU_VC	Combination	Min	-1.512	-3	-96
A3_4	0	SLU_1.1	Combination	Max	-1.235	-1	-57
A3_4	0	SLU_1.1	Combination	Min	-1.741	-1	-57
A3_4	0	SLU_1.2	Combination		-1.239	-1	-57
A3_4	0	SLU_2a	Combination	Max	-1.241	36	-57
A3_4	0	SLU_2a	Combination	Min	-1.517	36	-57
A3_4	0	SLU_2b	Combination	Max	-1.237	-1	-63
A3_4	0	SLU_2b	Combination	Min	-1.512	-1	-63
A3_5	0	SLU_P	Combination		-1.246	0	0
A3_5	0	SLU_VS	Combination		-1.246	0	-45
A3_5	0	SLU_VC	Combination	Max	-991	-3	-95
A3_5	0	SLU_VC	Combination	Min	-1.301	-3	-95
A3_5	0	SLU_1.1	Combination	Max	-914	-1	-57
A3_5	0	SLU_1.1	Combination	Min	-1.502	-1	-57
A3_5	0	SLU_1.2	Combination		-1.188	-1	-57
A3_5	0	SLU_2a	Combination	Max	-1.026	36	-57
A3_5	0	SLU_2a	Combination	Min	-1.335	36	-57
A3_5	0	SLU_2b	Combination	Max	-1.030	-1	-63
A3_5	0	SLU_2b	Combination	Min	-1.340	-1	-63
A3_6	0	SLU_P	Combination		-1.241	0	0
A3_6	0	SLU_VS	Combination		-1.241	0	-45
A3_6	0	SLU_VC	Combination	Max	-985	-3	-95
A3_6	0	SLU_VC	Combination	Min	-1.294	-3	-96
A3_6	0	SLU_1.1	Combination	Max	-908	-1	-57
A3_6	0	SLU_1.1	Combination	Min	-1.495	-1	-57
A3_6	0	SLU_1.2	Combination		-1.182	-1	-57
A3_6	0	SLU_2a	Combination	Max	-1.029	36	-57
A3_6	0	SLU_2a	Combination	Min	-1.338	36	-57
A3_6	0	SLU_2b	Combination	Max	-1.024	-1	-63
A3_6	0	SLU_2b	Combination	Min	-1.333	-1	-63
A4_2	0	SLU_P	Combination		-1.211	0	0
A4_2	0	SLU_VS	Combination		-1.211	0	-44
A4_2	0	SLU_VC	Combination	Max	-1.303	-4	-93
A4_2	0	SLU_VC	Combination	Min	-2.069	-5	-93
A4_2	0	SLU_1.1	Combination	Max	-1.232	-1	-56

A4_2	0	SLU_1.1	Combination	Min	-2.526	-2	-56
A4_2	0	SLU_1.2	Combination		-1.270	-1	-56
A4_2	0	SLU_2a	Combination	Max	-1.263	37	-54
A4_2	0	SLU_2a	Combination	Min	-2.030	36	-54
A4_2	0	SLU_2b	Combination	Max	-1.263	-1	-61
A4_2	0	SLU_2b	Combination	Min	-2.029	-2	-61
A4_4	0	SLU_P	Combination		-1.211	0	0
A4_4	0	SLU_VS	Combination		-1.211	0	-44
A4_4	0	SLU_VC	Combination	Max	-1.205	-4	-93
A4_4	0	SLU_VC	Combination	Min	-1.612	-5	-93
A4_4	0	SLU_1.1	Combination	Max	-1.201	-1	-56
A4_4	0	SLU_1.1	Combination	Min	-1.875	-2	-56
A4_4	0	SLU_1.2	Combination		-1.211	-1	-56
A4_4	0	SLU_2a	Combination	Max	-1.205	36	-54
A4_4	0	SLU_2a	Combination	Min	-1.612	36	-54
A4_4	0	SLU_2b	Combination	Max	-1.205	-1	-61
A4_4	0	SLU_2b	Combination	Min	-1.612	-2	-61
A4_6	0	SLU_P	Combination		-1.211	0	0
A4_6	0	SLU_VS	Combination		-1.211	0	-44
A4_6	0	SLU_VC	Combination	Max	-938	-4	-93
A4_6	0	SLU_VC	Combination	Min	-1.330	-5	-93
A4_6	0	SLU_1.1	Combination	Max	-854	-1	-56
A4_6	0	SLU_1.1	Combination	Min	-1.545	-2	-56
A4_6	0	SLU_1.2	Combination		-1.152	-1	-56
A4_6	0	SLU_2a	Combination	Max	-977	36	-54
A4_6	0	SLU_2a	Combination	Min	-1.369	36	-54
A4_6	0	SLU_2b	Combination	Max	-977	-1	-61
A4_6	0	SLU_2b	Combination	Min	-1.369	-2	-61
ASP_1	0	SLU_P	Combination		-1.250	0	0
ASP_1	0	SLU_VS	Combination		-1.250	5	-45
ASP_1	0	SLU_VC	Combination	Max	-1.346	16	-94
ASP_1	0	SLU_VC	Combination	Min	-2.136	16	-94
ASP_1	0	SLU_1.1	Combination	Max	-1.279	8	-57
ASP_1	0	SLU_1.1	Combination	Min	-2.602	8	-57
ASP_1	0	SLU_1.2	Combination		-1.311	8	-57
ASP_1	0	SLU_2a	Combination	Max	-1.305	45	-54
ASP_1	0	SLU_2a	Combination	Min	-2.095	45	-54
ASP_1	0	SLU_2b	Combination	Max	-1.305	9	-62
ASP_1	0	SLU_2b	Combination	Min	-2.095	9	-62
ASP_2	0	SLU_P	Combination		-1.252	0	0
ASP_2	0	SLU_VS	Combination		-1.252	-5	-45
ASP_2	0	SLU_VC	Combination	Max	-1.246	-16	-94
ASP_2	0	SLU_VC	Combination	Min	-1.649	-16	-94
ASP_2	0	SLU_1.1	Combination	Max	-1.242	-8	-57
ASP_2	0	SLU_1.1	Combination	Min	-1.902	-8	-57
ASP_2	0	SLU_1.2	Combination		-1.252	-8	-57
ASP_2	0	SLU_2a	Combination	Max	-1.246	-45	-54
ASP_2	0	SLU_2a	Combination	Min	-1.649	-45	-54
ASP_2	0	SLU_2b	Combination	Max	-1.246	-9	-62
ASP_2	0	SLU_2b	Combination	Min	-1.649	-9	-62
ASP_3	0	SLU_P	Combination		-1.254	0	0
ASP_3	0	SLU_VS	Combination		-1.254	5	-45
ASP_3	0	SLU_VC	Combination	Max	-938	16	-94
ASP_3	0	SLU_VC	Combination	Min	-1.378	16	-94

ASP_3	0	SLU_1.1	Combination	Max	-827	8	-57
ASP_3	0	SLU_1.1	Combination	Min	-1.591	8	-57
ASP_3	0	SLU_1.2	Combination		-1.193	8	-57
ASP_3	0	SLU_2a	Combination	Max	-979	45	-54
ASP_3	0	SLU_2a	Combination	Min	-1.419	45	-54
ASP_3	0	SLU_2b	Combination	Max	-979	9	-62
ASP_3	0	SLU_2b	Combination	Min	-1.419	9	-62

TABLE: Element Forces - Frames							
Frame	Station	OutputCase	CaseType	StepType	P	V2	V3
Text	m	Text	Text	Text	KN	KN	KN
A1_1	0	SISMA_SLC_L_CO	Combination	Max	-867	107	58
A1_1	0	SISMA_SLC_L_CO	Combination	Min	-936	-110	-58
A1_1	0	SISMA_SLC_T_CO	Combination	Max	-870	56	111
A1_1	0	SISMA_SLC_T_CO	Combination	Min	-933	-59	-111
A1_1	0	SISMA_SLC_V_CO	Combination	Max	-803	37	39
A1_1	0	SISMA_SLC_V_CO	Combination	Min	-1.000	-40	-39
A1_2	0	SISMA_SLC_L_CO	Combination	Max	-882	107	58
A1_2	0	SISMA_SLC_L_CO	Combination	Min	-953	-110	-58
A1_2	0	SISMA_SLC_T_CO	Combination	Max	-885	56	111
A1_2	0	SISMA_SLC_T_CO	Combination	Min	-951	-59	-111
A1_2	0	SISMA_SLC_V_CO	Combination	Max	-815	37	39
A1_2	0	SISMA_SLC_V_CO	Combination	Min	-1.021	-40	-39
A1_3	0	SISMA_SLC_L_CO	Combination	Max	-894	107	58
A1_3	0	SISMA_SLC_L_CO	Combination	Min	-966	-110	-58
A1_3	0	SISMA_SLC_T_CO	Combination	Max	-897	56	111
A1_3	0	SISMA_SLC_T_CO	Combination	Min	-963	-59	-111
A1_3	0	SISMA_SLC_V_CO	Combination	Max	-828	37	39
A1_3	0	SISMA_SLC_V_CO	Combination	Min	-1.032	-40	-39
A1_4	0	SISMA_SLC_L_CO	Combination	Max	-911	107	58
A1_4	0	SISMA_SLC_L_CO	Combination	Min	-985	-110	-58
A1_4	0	SISMA_SLC_T_CO	Combination	Max	-914	56	111
A1_4	0	SISMA_SLC_T_CO	Combination	Min	-982	-59	-111
A1_4	0	SISMA_SLC_V_CO	Combination	Max	-841	37	39
A1_4	0	SISMA_SLC_V_CO	Combination	Min	-1.054	-40	-39
A1_5	0	SISMA_SLC_L_CO	Combination	Max	-922	107	58
A1_5	0	SISMA_SLC_L_CO	Combination	Min	-995	-110	-58
A1_5	0	SISMA_SLC_T_CO	Combination	Max	-925	56	111
A1_5	0	SISMA_SLC_T_CO	Combination	Min	-993	-59	-111
A1_5	0	SISMA_SLC_V_CO	Combination	Max	-853	37	39
A1_5	0	SISMA_SLC_V_CO	Combination	Min	-1.064	-40	-39
A1_6	0	SISMA_SLC_L_CO	Combination	Max	-940	107	58
A1_6	0	SISMA_SLC_L_CO	Combination	Min	-1.016	-110	-59
A1_6	0	SISMA_SLC_T_CO	Combination	Max	-943	56	111
A1_6	0	SISMA_SLC_T_CO	Combination	Min	-1.013	-59	-111
A1_6	0	SISMA_SLC_V_CO	Combination	Max	-868	37	39
A1_6	0	SISMA_SLC_V_CO	Combination	Min	-1.088	-40	-39
A2_1	0	SISMA_SLC_L_CO	Combination	Max	-865	106	40
A2_1	0	SISMA_SLC_L_CO	Combination	Min	-943	-106	-41
A2_1	0	SISMA_SLC_T_CO	Combination	Max	-870	40	107
A2_1	0	SISMA_SLC_T_CO	Combination	Min	-938	-40	-107
A2_1	0	SISMA_SLC_V_CO	Combination	Max	-798	34	34

A2_1	0	SISMA_SLC_V_CO	Combination	Min	-1.010	-34	-34
A2_2	0	SISMA_SLC_L_CO	Combination	Max	-863	106	40
A2_2	0	SISMA_SLC_L_CO	Combination	Min	-939	-106	-41
A2_2	0	SISMA_SLC_T_CO	Combination	Max	-868	40	107
A2_2	0	SISMA_SLC_T_CO	Combination	Min	-935	-40	-107
A2_2	0	SISMA_SLC_V_CO	Combination	Max	-797	34	34
A2_2	0	SISMA_SLC_V_CO	Combination	Min	-1.005	-34	-34
A2_3	0	SISMA_SLC_L_CO	Combination	Max	-875	106	40
A2_3	0	SISMA_SLC_L_CO	Combination	Min	-953	-106	-41
A2_3	0	SISMA_SLC_T_CO	Combination	Max	-880	40	107
A2_3	0	SISMA_SLC_T_CO	Combination	Min	-948	-40	-107
A2_3	0	SISMA_SLC_V_CO	Combination	Max	-807	34	34
A2_3	0	SISMA_SLC_V_CO	Combination	Min	-1.021	-34	-34
A2_4	0	SISMA_SLC_L_CO	Combination	Max	-877	106	40
A2_4	0	SISMA_SLC_L_CO	Combination	Min	-955	-106	-41
A2_4	0	SISMA_SLC_T_CO	Combination	Max	-882	40	107
A2_4	0	SISMA_SLC_T_CO	Combination	Min	-950	-40	-107
A2_4	0	SISMA_SLC_V_CO	Combination	Max	-810	34	34
A2_4	0	SISMA_SLC_V_CO	Combination	Min	-1.022	-34	-34
A2_5	0	SISMA_SLC_L_CO	Combination	Max	-884	106	40
A2_5	0	SISMA_SLC_L_CO	Combination	Min	-963	-106	-41
A2_5	0	SISMA_SLC_T_CO	Combination	Max	-889	40	107
A2_5	0	SISMA_SLC_T_CO	Combination	Min	-958	-40	-107
A2_5	0	SISMA_SLC_V_CO	Combination	Max	-816	34	34
A2_5	0	SISMA_SLC_V_CO	Combination	Min	-1.032	-34	-34
A2_6	0	SISMA_SLC_L_CO	Combination	Max	-891	106	40
A2_6	0	SISMA_SLC_L_CO	Combination	Min	-970	-106	-41
A2_6	0	SISMA_SLC_T_CO	Combination	Max	-896	40	107
A2_6	0	SISMA_SLC_T_CO	Combination	Min	-965	-40	-107
A2_6	0	SISMA_SLC_V_CO	Combination	Max	-823	34	34
A2_6	0	SISMA_SLC_V_CO	Combination	Min	-1.038	-34	-34
A3_1	0	SISMA_SLC_L_CO	Combination	Max	-876	107	39
A3_1	0	SISMA_SLC_L_CO	Combination	Min	-968	-104	-39
A3_1	0	SISMA_SLC_T_CO	Combination	Max	-885	42	104
A3_1	0	SISMA_SLC_T_CO	Combination	Min	-960	-39	-104
A3_1	0	SISMA_SLC_V_CO	Combination	Max	-809	35	33
A3_1	0	SISMA_SLC_V_CO	Combination	Min	-1.036	-32	-33
A3_2	0	SISMA_SLC_L_CO	Combination	Max	-872	107	39
A3_2	0	SISMA_SLC_L_CO	Combination	Min	-963	-104	-39
A3_2	0	SISMA_SLC_T_CO	Combination	Max	-881	42	104
A3_2	0	SISMA_SLC_T_CO	Combination	Min	-954	-39	-104
A3_2	0	SISMA_SLC_V_CO	Combination	Max	-806	35	33
A3_2	0	SISMA_SLC_V_CO	Combination	Min	-1.029	-32	-33
A3_3	0	SISMA_SLC_L_CO	Combination	Max	-876	107	39
A3_3	0	SISMA_SLC_L_CO	Combination	Min	-969	-104	-39
A3_3	0	SISMA_SLC_T_CO	Combination	Max	-885	41	104
A3_3	0	SISMA_SLC_T_CO	Combination	Min	-960	-38	-104
A3_3	0	SISMA_SLC_V_CO	Combination	Max	-809	35	33
A3_3	0	SISMA_SLC_V_CO	Combination	Min	-1.036	-32	-33
A3_4	0	SISMA_SLC_L_CO	Combination	Max	-872	107	39
A3_4	0	SISMA_SLC_L_CO	Combination	Min	-964	-104	-39
A3_4	0	SISMA_SLC_T_CO	Combination	Max	-881	41	104
A3_4	0	SISMA_SLC_T_CO	Combination	Min	-955	-38	-104
A3_4	0	SISMA_SLC_V_CO	Combination	Max	-806	35	33

A3_4	0	SISMA_SLC_V_CO	Combination	Min	-1.030	-32	-33
A3_5	0	SISMA_SLC_L_CO	Combination	Max	-877	107	39
A3_5	0	SISMA_SLC_L_CO	Combination	Min	-969	-104	-39
A3_5	0	SISMA_SLC_T_CO	Combination	Max	-886	41	104
A3_5	0	SISMA_SLC_T_CO	Combination	Min	-960	-38	-104
A3_5	0	SISMA_SLC_V_CO	Combination	Max	-810	35	33
A3_5	0	SISMA_SLC_V_CO	Combination	Min	-1.036	-32	-33
A3_6	0	SISMA_SLC_L_CO	Combination	Max	-873	107	39
A3_6	0	SISMA_SLC_L_CO	Combination	Min	-965	-104	-39
A3_6	0	SISMA_SLC_T_CO	Combination	Max	-882	41	104
A3_6	0	SISMA_SLC_T_CO	Combination	Min	-956	-38	-104
A3_6	0	SISMA_SLC_V_CO	Combination	Max	-807	35	33
A3_6	0	SISMA_SLC_V_CO	Combination	Min	-1.031	-32	-33
A4_2	0	SISMA_SLC_L_CO	Combination	Max	-857	108	34
A4_2	0	SISMA_SLC_L_CO	Combination	Min	-937	-102	-34
A4_2	0	SISMA_SLC_T_CO	Combination	Max	-862	40	99
A4_2	0	SISMA_SLC_T_CO	Combination	Min	-932	-34	-99
A4_2	0	SISMA_SLC_V_CO	Combination	Max	-787	36	31
A4_2	0	SISMA_SLC_V_CO	Combination	Min	-1.007	-30	-31
A4_4	0	SISMA_SLC_L_CO	Combination	Max	-857	108	34
A4_4	0	SISMA_SLC_L_CO	Combination	Min	-937	-102	-34
A4_4	0	SISMA_SLC_T_CO	Combination	Max	-862	40	99
A4_4	0	SISMA_SLC_T_CO	Combination	Min	-932	-34	-99
A4_4	0	SISMA_SLC_V_CO	Combination	Max	-787	36	31
A4_4	0	SISMA_SLC_V_CO	Combination	Min	-1.007	-30	-31
A4_6	0	SISMA_SLC_L_CO	Combination	Max	-857	108	34
A4_6	0	SISMA_SLC_L_CO	Combination	Min	-937	-102	-34
A4_6	0	SISMA_SLC_T_CO	Combination	Max	-862	39	99
A4_6	0	SISMA_SLC_T_CO	Combination	Min	-932	-33	-99
A4_6	0	SISMA_SLC_V_CO	Combination	Max	-787	36	31
A4_6	0	SISMA_SLC_V_CO	Combination	Min	-1.007	-30	-31
ASP_1	0	SISMA_SLC_L_CO	Combination	Max	-890	106	66
ASP_1	0	SISMA_SLC_L_CO	Combination	Min	-962	-112	-67
ASP_1	0	SISMA_SLC_T_CO	Combination	Max	-892	63	111
ASP_1	0	SISMA_SLC_T_CO	Combination	Min	-960	-69	-112
ASP_1	0	SISMA_SLC_V_CO	Combination	Max	-815	37	40
ASP_1	0	SISMA_SLC_V_CO	Combination	Min	-1.036	-43	-41
ASP_2	0	SISMA_SLC_L_CO	Combination	Max	-892	112	66
ASP_2	0	SISMA_SLC_L_CO	Combination	Min	-963	-106	-67
ASP_2	0	SISMA_SLC_T_CO	Combination	Max	-894	69	111
ASP_2	0	SISMA_SLC_T_CO	Combination	Min	-961	-63	-112
ASP_2	0	SISMA_SLC_V_CO	Combination	Max	-817	43	40
ASP_2	0	SISMA_SLC_V_CO	Combination	Min	-1.038	-37	-41
ASP_3	0	SISMA_SLC_L_CO	Combination	Max	-893	106	66
ASP_3	0	SISMA_SLC_L_CO	Combination	Min	-965	-112	-67
ASP_3	0	SISMA_SLC_T_CO	Combination	Max	-895	63	111
ASP_3	0	SISMA_SLC_T_CO	Combination	Min	-963	-69	-112
ASP_3	0	SISMA_SLC_V_CO	Combination	Max	-818	37	40
ASP_3	0	SISMA_SLC_V_CO	Combination	Min	-1.040	-43	-41

10. SPOSTAMENTI MASSIMI

Si riportano di seguito gli spostamenti longitudinali (U1) e trasversali (U2) di impalcato, valutati per i seguenti stati limite di progetto:

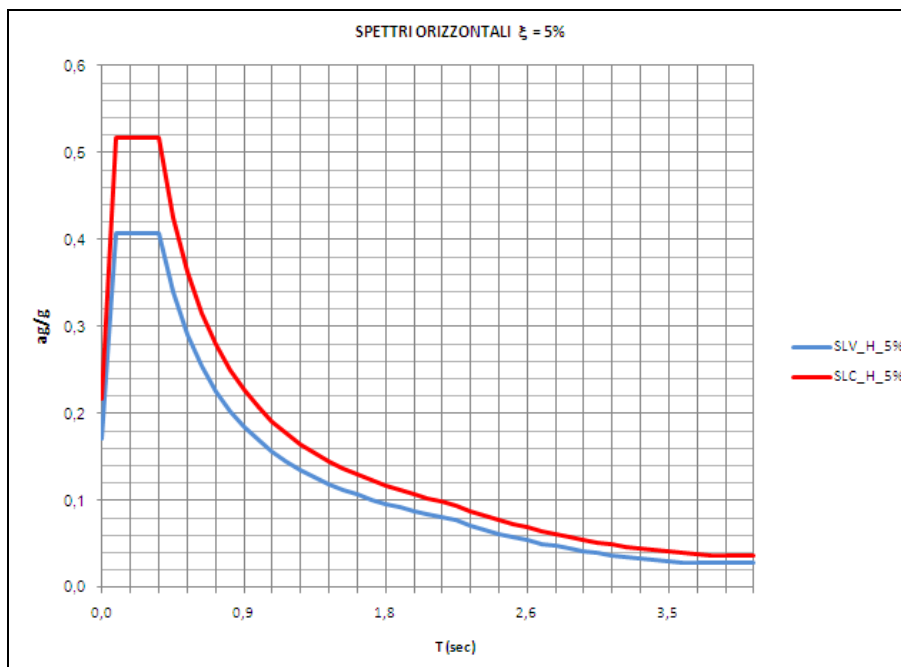
- Stati limite di esercizio (SLE)
- Stati limite ultimi (SLU)

Con riferimento alle azioni sismiche gli stati limite ultimi considerati sono:

- Stato limite di salvaguardia della vita (SLV)
- Stato limite di prevenzione del collasso (SLC)

Si riportano, inoltre, i parametri sismici, utili alla definizione dello spettro di progetto e già esposti al paragrafo §6.10:

- Accelerazione al suolo $a_g/g = 0.142$
- Classe d'uso III ($C_u=1.5$)
- Categoria di suolo B
- Categoria Topografica T1
- Fattore di struttura $q = 1$ (spettro elastico)



10.1. SPOSTAMENTI MASSIMI – TRATTO IN AFFIANCAMENTO

TABLE: Joint Displacements - AFFIANCAMENTO - SLE					
Joint	OutputCase	CaseType	StepType	U1	U2
Text	Text	Text	Text	mm	mm
126	SLE_P	Combination		-0,1	0,0
126	SLE_R_VS	Combination		-1,8	0,0
126	SLE_R_VC	Combination	Max	-1,8	-0,2
126	SLE_R_VC	Combination	Min	-1,9	-0,3
126	SLE_R_1.1	Combination	Max	-1,7	0,0
126	SLE_R_1.1	Combination	Min	-2,0	-0,2
126	SLE_R_1.2	Combination		-1,8	-0,1
126	SLE_R_2.a	Combination	Max	-1,2	-0,1
126	SLE_R_2.a	Combination	Min	-1,4	-0,2
126	SLE_R_2b	Combination	Max	-1,8	-0,1
126	SLE_R_2b	Combination	Min	-1,9	-0,2
126	SLE_F_VS	Combination		-1,5	0,1
126	SLE_F_VC	Combination	Max	-1,5	0,0
126	SLE_F_VC	Combination	Min	-1,6	-0,1
126	SLE_F_1	Combination	Max	-1,5	0,1
126	SLE_F_1	Combination	Min	-1,6	0,0
130	SLE_P	Combination		-0,1	0,0
130	SLE_R_VS	Combination		-1,6	-0,1
130	SLE_R_VC	Combination	Max	-1,6	-0,2
130	SLE_R_VC	Combination	Min	-1,7	-0,3
130	SLE_R_1.1	Combination	Max	-1,5	-0,1
130	SLE_R_1.1	Combination	Min	-1,7	-0,3
130	SLE_R_1.2	Combination		-1,6	-0,1
130	SLE_R_2.a	Combination	Max	-1,0	-0,1
130	SLE_R_2.a	Combination	Min	-1,2	-0,2
130	SLE_R_2b	Combination	Max	-1,6	-0,1
130	SLE_R_2b	Combination	Min	-1,7	-0,2
130	SLE_F_VS	Combination		-1,4	0,0
130	SLE_F_VC	Combination	Max	-1,3	0,0
130	SLE_F_VC	Combination	Min	-1,4	-0,1
130	SLE_F_1	Combination	Max	-1,3	0,1
130	SLE_F_1	Combination	Min	-1,4	0,0
131	SLE_P	Combination		-0,1	0,0
131	SLE_R_VS	Combination		-1,4	-0,1
131	SLE_R_VC	Combination	Max	-1,3	-0,3
131	SLE_R_VC	Combination	Min	-1,5	-0,4
131	SLE_R_1.1	Combination	Max	-1,3	-0,1
131	SLE_R_1.1	Combination	Min	-1,5	-0,3
131	SLE_R_1.2	Combination		-1,4	-0,2
131	SLE_R_2.a	Combination	Max	-0,8	-0,2
131	SLE_R_2.a	Combination	Min	-0,9	-0,3
131	SLE_R_2b	Combination	Max	-1,3	-0,2
131	SLE_R_2b	Combination	Min	-1,5	-0,2
131	SLE_F_VS	Combination		-1,2	0,0
131	SLE_F_VC	Combination	Max	-1,1	0,0
131	SLE_F_VC	Combination	Min	-1,2	-0,1
131	SLE_F_1	Combination	Max	-1,1	0,1

131	SLE_F_1	Combination	Min	-1,2	0,0
132	SLE_P	Combination		-0,1	0,0
132	SLE_R_VS	Combination		-1,2	-0,1
132	SLE_R_VC	Combination	Max	-1,1	-0,4
132	SLE_R_VC	Combination	Min	-1,2	-0,4
132	SLE_R_1.1	Combination	Max	-1,1	-0,2
132	SLE_R_1.1	Combination	Min	-1,3	-0,3
132	SLE_R_1.2	Combination		-1,2	-0,2
132	SLE_R_2.a	Combination	Max	-0,6	-0,2
132	SLE_R_2.a	Combination	Min	-0,7	-0,3
132	SLE_R_2b	Combination	Max	-1,1	-0,2
132	SLE_R_2b	Combination	Min	-1,2	-0,3
132	SLE_F_VS	Combination		-1,0	0,0
132	SLE_F_VC	Combination	Max	-0,9	0,0
132	SLE_F_VC	Combination	Min	-1,0	-0,1
132	SLE_F_1	Combination	Max	-0,9	0,1
132	SLE_F_1	Combination	Min	-1,0	0,0
133	SLE_P	Combination		-0,1	0,0
133	SLE_R_VS	Combination		-0,9	-0,1
133	SLE_R_VC	Combination	Max	-0,9	-0,4
133	SLE_R_VC	Combination	Min	-1,0	-0,4
133	SLE_R_1.1	Combination	Max	-0,8	-0,2
133	SLE_R_1.1	Combination	Min	-1,1	-0,3
133	SLE_R_1.2	Combination		-0,9	-0,2
133	SLE_R_2.a	Combination	Max	-0,3	-0,2
133	SLE_R_2.a	Combination	Min	-0,5	-0,3
133	SLE_R_2b	Combination	Max	-0,9	-0,2
133	SLE_R_2b	Combination	Min	-1,0	-0,3
133	SLE_F_VS	Combination		-0,8	0,0
133	SLE_F_VC	Combination	Max	-0,7	0,0
133	SLE_F_VC	Combination	Min	-0,9	-0,1
133	SLE_F_1	Combination	Max	-0,7	0,0
133	SLE_F_1	Combination	Min	-0,8	0,0
134	SLE_P	Combination		-0,1	0,0
134	SLE_R_VS	Combination		-0,7	-0,1
134	SLE_R_VC	Combination	Max	-0,7	-0,4
134	SLE_R_VC	Combination	Min	-0,8	-0,4
134	SLE_R_1.1	Combination	Max	-0,6	-0,2
134	SLE_R_1.1	Combination	Min	-0,8	-0,3
134	SLE_R_1.2	Combination		-0,7	-0,2
134	SLE_R_2.a	Combination	Max	-0,1	-0,2
134	SLE_R_2.a	Combination	Min	-0,3	-0,3
134	SLE_R_2b	Combination	Max	-0,6	-0,2
134	SLE_R_2b	Combination	Min	-0,8	-0,3
134	SLE_F_VS	Combination		-0,6	0,0
134	SLE_F_VC	Combination	Max	-0,5	0,0
134	SLE_F_VC	Combination	Min	-0,7	-0,1
134	SLE_F_1	Combination	Max	-0,6	0,0
134	SLE_F_1	Combination	Min	-0,6	0,0
135	SLE_P	Combination		-0,1	0,0
135	SLE_R_VS	Combination		-0,5	-0,1
135	SLE_R_VC	Combination	Max	-0,4	-0,3
135	SLE_R_VC	Combination	Min	-0,6	-0,4
135	SLE_R_1.1	Combination	Max	-0,4	-0,2

135	SLE_R_1.1	Combination	Min	-0,6	-0,3
135	SLE_R_1.2	Combination		-0,5	-0,2
135	SLE_R_2.a	Combination	Max	0,1	-0,2
135	SLE_R_2.a	Combination	Min	0,0	-0,3
135	SLE_R_2b	Combination	Max	-0,4	-0,2
135	SLE_R_2b	Combination	Min	-0,6	-0,2
135	SLE_F_VS	Combination		-0,4	0,0
135	SLE_F_VC	Combination	Max	-0,3	0,0
135	SLE_F_VC	Combination	Min	-0,5	-0,1
135	SLE_F_1	Combination	Max	-0,4	0,0
135	SLE_F_1	Combination	Min	-0,4	0,0
136	SLE_P	Combination		-0,1	0,0
136	SLE_R_VS	Combination		-0,3	-0,1
136	SLE_R_VC	Combination	Max	-0,2	-0,3
136	SLE_R_VC	Combination	Min	-0,3	-0,3
136	SLE_R_1.1	Combination	Max	-0,1	-0,2
136	SLE_R_1.1	Combination	Min	-0,4	-0,2
136	SLE_R_1.2	Combination		-0,3	-0,2
136	SLE_R_2.a	Combination	Max	0,3	-0,2
136	SLE_R_2.a	Combination	Min	0,2	-0,2
136	SLE_R_2b	Combination	Max	-0,2	-0,2
136	SLE_R_2b	Combination	Min	-0,3	-0,2
136	SLE_F_VS	Combination		-0,2	0,0
136	SLE_F_VC	Combination	Max	-0,1	0,0
136	SLE_F_VC	Combination	Min	-0,3	-0,1
136	SLE_F_1	Combination	Max	-0,2	0,0
136	SLE_F_1	Combination	Min	-0,2	0,0
140	SLE_P	Combination		-0,1	0,0
140	SLE_R_VS	Combination		0,0	-0,1
140	SLE_R_VC	Combination	Max	0,0	-0,2
140	SLE_R_VC	Combination	Min	-0,1	-0,2
140	SLE_R_1.1	Combination	Max	0,1	-0,1
140	SLE_R_1.1	Combination	Min	-0,1	-0,2
140	SLE_R_1.2	Combination		0,0	-0,1
140	SLE_R_2.a	Combination	Max	0,5	-0,1
140	SLE_R_2.a	Combination	Min	0,4	-0,2
140	SLE_R_2b	Combination	Max	0,0	-0,1
140	SLE_R_2b	Combination	Min	-0,1	-0,2
140	SLE_F_VS	Combination		0,0	0,0
140	SLE_F_VC	Combination	Max	0,0	0,0
140	SLE_F_VC	Combination	Min	-0,1	-0,1
140	SLE_F_1	Combination	Max	0,0	0,0
140	SLE_F_1	Combination	Min	-0,1	0,0
152	SLE_P	Combination		0,1	0,0
152	SLE_R_VS	Combination		-1,4	0,0
152	SLE_R_VC	Combination	Max	-1,3	-0,1
152	SLE_R_VC	Combination	Min	-1,6	-0,1
152	SLE_R_1.1	Combination	Max	-1,2	0,0
152	SLE_R_1.1	Combination	Min	-1,7	-0,1
152	SLE_R_1.2	Combination		-1,4	0,0
152	SLE_R_2.a	Combination	Max	-0,2	-0,1
152	SLE_R_2.a	Combination	Min	-0,5	-0,1
152	SLE_R_2b	Combination	Max	-1,3	0,0
152	SLE_R_2b	Combination	Min	-1,6	-0,1

152	SLE_F_VS	Combination		-1,1	0,0
152	SLE_F_VC	Combination	Max	-1,0	0,0
152	SLE_F_VC	Combination	Min	-1,3	0,0
152	SLE_F_1	Combination	Max	-1,1	0,1
152	SLE_F_1	Combination	Min	-1,2	0,0
156	SLE_P	Combination		0,1	0,0
156	SLE_R_VS	Combination		-1,2	-0,1
156	SLE_R_VC	Combination	Max	-1,1	-0,4
156	SLE_R_VC	Combination	Min	-1,4	-0,4
156	SLE_R_1.1	Combination	Max	-1,0	-0,2
156	SLE_R_1.1	Combination	Min	-1,5	-0,3
156	SLE_R_1.2	Combination		-1,2	-0,2
156	SLE_R_2.a	Combination	Max	0,0	-0,3
156	SLE_R_2.a	Combination	Min	-0,3	-0,3
156	SLE_R_2b	Combination	Max	-1,1	-0,2
156	SLE_R_2b	Combination	Min	-1,4	-0,2
156	SLE_F_VS	Combination		-1,0	0,0
156	SLE_F_VC	Combination	Max	-0,8	0,0
156	SLE_F_VC	Combination	Min	-1,1	-0,1
156	SLE_F_1	Combination	Max	-0,9	0,1
156	SLE_F_1	Combination	Min	-1,1	0,0
157	SLE_P	Combination		0,1	0,0
157	SLE_R_VS	Combination		-1,0	-0,2
157	SLE_R_VC	Combination	Max	-0,9	-0,6
157	SLE_R_VC	Combination	Min	-1,2	-0,6
157	SLE_R_1.1	Combination	Max	-0,8	-0,3
157	SLE_R_1.1	Combination	Min	-1,3	-0,4
157	SLE_R_1.2	Combination		-1,0	-0,3
157	SLE_R_2.a	Combination	Max	0,2	-0,4
157	SLE_R_2.a	Combination	Min	-0,1	-0,4
157	SLE_R_2b	Combination	Max	-0,9	-0,3
157	SLE_R_2b	Combination	Min	-1,2	-0,4
157	SLE_F_VS	Combination		-0,8	0,0
157	SLE_F_VC	Combination	Max	-0,6	-0,1
157	SLE_F_VC	Combination	Min	-1,0	-0,1
157	SLE_F_1	Combination	Max	-0,7	0,0
157	SLE_F_1	Combination	Min	-0,9	0,0
158	SLE_P	Combination		0,1	0,0
158	SLE_R_VS	Combination		-0,8	-0,3
158	SLE_R_VC	Combination	Max	-0,7	-0,8
158	SLE_R_VC	Combination	Min	-1,0	-0,8
158	SLE_R_1.1	Combination	Max	-0,5	-0,4
158	SLE_R_1.1	Combination	Min	-1,1	-0,5
158	SLE_R_1.2	Combination		-0,8	-0,4
158	SLE_R_2.a	Combination	Max	0,4	-0,5
158	SLE_R_2.a	Combination	Min	0,1	-0,5
158	SLE_R_2b	Combination	Max	-0,7	-0,4
158	SLE_R_2b	Combination	Min	-1,0	-0,5
158	SLE_F_VS	Combination		-0,6	0,0
158	SLE_F_VC	Combination	Max	-0,5	-0,1
158	SLE_F_VC	Combination	Min	-0,8	-0,2
158	SLE_F_1	Combination	Max	-0,5	0,0
158	SLE_F_1	Combination	Min	-0,7	0,0
159	SLE_P	Combination		0,1	0,0

159	SLE_R_VS	Combination		-0,6	-0,4
159	SLE_R_VC	Combination	Max	-0,5	-0,8
159	SLE_R_VC	Combination	Min	-0,8	-0,9
159	SLE_R_1.1	Combination	Max	-0,3	-0,5
159	SLE_R_1.1	Combination	Min	-0,9	-0,6
159	SLE_R_1.2	Combination		-0,6	-0,5
159	SLE_R_2.a	Combination	Max	0,6	-0,5
159	SLE_R_2.a	Combination	Min	0,3	-0,6
159	SLE_R_2b	Combination	Max	-0,5	-0,5
159	SLE_R_2b	Combination	Min	-0,8	-0,6
159	SLE_F_VS	Combination		-0,5	-0,1
159	SLE_F_VC	Combination	Max	-0,3	-0,1
159	SLE_F_VC	Combination	Min	-0,6	-0,2
159	SLE_F_1	Combination	Max	-0,4	0,0
159	SLE_F_1	Combination	Min	-0,5	0,0
160	SLE_P	Combination		0,1	0,0
160	SLE_R_VS	Combination		-0,4	-0,4
160	SLE_R_VC	Combination	Max	-0,3	-0,8
160	SLE_R_VC	Combination	Min	-0,6	-0,9
160	SLE_R_1.1	Combination	Max	-0,1	-0,5
160	SLE_R_1.1	Combination	Min	-0,7	-0,6
160	SLE_R_1.2	Combination		-0,4	-0,5
160	SLE_R_2.a	Combination	Max	0,8	-0,5
160	SLE_R_2.a	Combination	Min	0,5	-0,6
160	SLE_R_2b	Combination	Max	-0,2	-0,5
160	SLE_R_2b	Combination	Min	-0,6	-0,6
160	SLE_F_VS	Combination		-0,3	-0,1
160	SLE_F_VC	Combination	Max	-0,1	-0,2
160	SLE_F_VC	Combination	Min	-0,4	-0,2
160	SLE_F_1	Combination	Max	-0,2	0,0
160	SLE_F_1	Combination	Min	-0,4	0,0
161	SLE_P	Combination		0,1	0,0
161	SLE_R_VS	Combination		-0,2	-0,3
161	SLE_R_VC	Combination	Max	0,0	-0,7
161	SLE_R_VC	Combination	Min	-0,4	-0,8
161	SLE_R_1.1	Combination	Max	0,1	-0,4
161	SLE_R_1.1	Combination	Min	-0,5	-0,6
161	SLE_R_1.2	Combination		-0,2	-0,4
161	SLE_R_2.a	Combination	Max	1,0	-0,5
161	SLE_R_2.a	Combination	Min	0,7	-0,6
161	SLE_R_2b	Combination	Max	0,0	-0,4
161	SLE_R_2b	Combination	Min	-0,4	-0,5
161	SLE_F_VS	Combination		-0,1	-0,1
161	SLE_F_VC	Combination	Max	0,0	-0,1
161	SLE_F_VC	Combination	Min	-0,3	-0,2
161	SLE_F_1	Combination	Max	0,0	0,0
161	SLE_F_1	Combination	Min	-0,2	0,0
162	SLE_P	Combination		0,1	0,0
162	SLE_R_VS	Combination		0,0	-0,3
162	SLE_R_VC	Combination	Max	0,2	-0,6
162	SLE_R_VC	Combination	Min	-0,1	-0,7
162	SLE_R_1.1	Combination	Max	0,3	-0,3
162	SLE_R_1.1	Combination	Min	-0,3	-0,5
162	SLE_R_1.2	Combination		0,0	-0,3

162	SLE_R_2.a	Combination	Max	1,2	-0,4
162	SLE_R_2.a	Combination	Min	0,9	-0,5
162	SLE_R_2b	Combination	Max	0,2	-0,3
162	SLE_R_2b	Combination	Min	-0,1	-0,4
162	SLE_F_VS	Combination		0,1	-0,1
162	SLE_F_VC	Combination	Max	0,2	-0,1
162	SLE_F_VC	Combination	Min	-0,1	-0,2
162	SLE_F_1	Combination	Max	0,1	0,0
162	SLE_F_1	Combination	Min	0,0	-0,1
166	SLE_P	Combination		0,1	0,0
166	SLE_R_VS	Combination		0,2	-0,2
166	SLE_R_VC	Combination	Max	0,4	-0,4
166	SLE_R_VC	Combination	Min	0,1	-0,5
166	SLE_R_1.1	Combination	Max	0,5	-0,2
166	SLE_R_1.1	Combination	Min	0,0	-0,4
166	SLE_R_1.2	Combination		0,2	-0,2
166	SLE_R_2.a	Combination	Max	1,4	-0,3
166	SLE_R_2.a	Combination	Min	1,1	-0,4
166	SLE_R_2b	Combination	Max	0,4	-0,2
166	SLE_R_2b	Combination	Min	0,1	-0,3
166	SLE_F_VS	Combination		0,2	0,0
166	SLE_F_VC	Combination	Max	0,4	-0,1
166	SLE_F_VC	Combination	Min	0,1	-0,2
166	SLE_F_1	Combination	Max	0,3	0,0
166	SLE_F_1	Combination	Min	0,2	-0,1
178	SLE_P	Combination		0,0	0,0
178	SLE_R_VS	Combination		-1,9	-0,1
178	SLE_R_VC	Combination	Max	-1,8	-0,3
178	SLE_R_VC	Combination	Min	-2,0	-0,4
178	SLE_R_1.1	Combination	Max	-1,7	-0,1
178	SLE_R_1.1	Combination	Min	-2,1	-0,3
178	SLE_R_1.2	Combination		-1,9	-0,1
178	SLE_R_2.a	Combination	Max	-1,0	-0,1
178	SLE_R_2.a	Combination	Min	-1,2	-0,3
178	SLE_R_2b	Combination	Max	-1,8	-0,1
178	SLE_R_2b	Combination	Min	-2,0	-0,2
178	SLE_F_VS	Combination		-1,6	0,1
178	SLE_F_VC	Combination	Max	-1,5	0,0
178	SLE_F_VC	Combination	Min	-1,7	-0,1
178	SLE_F_1	Combination	Max	-1,5	0,1
178	SLE_F_1	Combination	Min	-1,6	0,0
182	SLE_P	Combination		0,0	0,0
182	SLE_R_VS	Combination		-1,7	-0,3
182	SLE_R_VC	Combination	Max	-1,6	-0,7
182	SLE_R_VC	Combination	Min	-1,8	-0,8
182	SLE_R_1.1	Combination	Max	-1,5	-0,4
182	SLE_R_1.1	Combination	Min	-1,8	-0,6
182	SLE_R_1.2	Combination		-1,7	-0,4
182	SLE_R_2.a	Combination	Max	-0,8	-0,4
182	SLE_R_2.a	Combination	Min	-1,0	-0,5
182	SLE_R_2b	Combination	Max	-1,6	-0,4
182	SLE_R_2b	Combination	Min	-1,8	-0,5
182	SLE_F_VS	Combination		-1,4	0,0
182	SLE_F_VC	Combination	Max	-1,3	-0,1

182	SLE_F_VC	Combination	Min	-1,5	-0,2
182	SLE_F_1	Combination	Max	-1,3	0,1
182	SLE_F_1	Combination	Min	-1,4	0,0
183	SLE_P	Combination		0,0	0,0
183	SLE_R_VS	Combination		-1,4	-0,4
183	SLE_R_VC	Combination	Max	-1,3	-1,0
183	SLE_R_VC	Combination	Min	-1,5	-1,1
183	SLE_R_1.1	Combination	Max	-1,3	-0,6
183	SLE_R_1.1	Combination	Min	-1,6	-0,8
183	SLE_R_1.2	Combination		-1,4	-0,6
183	SLE_R_2.a	Combination	Max	-0,6	-0,6
183	SLE_R_2.a	Combination	Min	-0,8	-0,7
183	SLE_R_2b	Combination	Max	-1,3	-0,6
183	SLE_R_2b	Combination	Min	-1,5	-0,7
183	SLE_F_VS	Combination		-1,2	0,0
183	SLE_F_VC	Combination	Max	-1,1	-0,2
183	SLE_F_VC	Combination	Min	-1,3	-0,2
183	SLE_F_1	Combination	Max	-1,1	0,1
183	SLE_F_1	Combination	Min	-1,2	0,0
184	SLE_P	Combination		0,0	0,0
184	SLE_R_VS	Combination		-1,2	-0,6
184	SLE_R_VC	Combination	Max	-1,1	-1,3
184	SLE_R_VC	Combination	Min	-1,3	-1,3
184	SLE_R_1.1	Combination	Max	-1,0	-0,7
184	SLE_R_1.1	Combination	Min	-1,4	-0,9
184	SLE_R_1.2	Combination		-1,2	-0,7
184	SLE_R_2.a	Combination	Max	-0,3	-0,8
184	SLE_R_2.a	Combination	Min	-0,5	-0,8
184	SLE_R_2b	Combination	Max	-1,1	-0,7
184	SLE_R_2b	Combination	Min	-1,3	-0,8
184	SLE_F_VS	Combination		-1,0	-0,1
184	SLE_F_VC	Combination	Max	-0,9	-0,2
184	SLE_F_VC	Combination	Min	-1,1	-0,3
184	SLE_F_1	Combination	Max	-0,9	0,1
184	SLE_F_1	Combination	Min	-1,0	0,0
185	SLE_P	Combination		0,0	0,0
185	SLE_R_VS	Combination		-0,9	-0,6
185	SLE_R_VC	Combination	Max	-0,9	-1,3
185	SLE_R_VC	Combination	Min	-1,0	-1,4
185	SLE_R_1.1	Combination	Max	-0,8	-0,8
185	SLE_R_1.1	Combination	Min	-1,1	-0,9
185	SLE_R_1.2	Combination		-0,9	-0,8
185	SLE_R_2.a	Combination	Max	-0,1	-0,8
185	SLE_R_2.a	Combination	Min	-0,3	-0,9
185	SLE_R_2b	Combination	Max	-0,8	-0,8
185	SLE_R_2b	Combination	Min	-1,0	-0,9
185	SLE_F_VS	Combination		-0,8	-0,1
185	SLE_F_VC	Combination	Max	-0,7	-0,2
185	SLE_F_VC	Combination	Min	-0,9	-0,3
185	SLE_F_1	Combination	Max	-0,7	0,0
185	SLE_F_1	Combination	Min	-0,8	0,0
186	SLE_P	Combination		0,0	0,0
186	SLE_R_VS	Combination		-0,7	-0,6
186	SLE_R_VC	Combination	Max	-0,6	-1,3

186	SLE_R_VC	Combination	Min	-0,8	-1,3
186	SLE_R_1.1	Combination	Max	-0,5	-0,7
186	SLE_R_1.1	Combination	Min	-0,9	-0,9
186	SLE_R_1.2	Combination		-0,7	-0,7
186	SLE_R_2.a	Combination	Max	0,1	-0,8
186	SLE_R_2.a	Combination	Min	-0,1	-0,8
186	SLE_R_2b	Combination	Max	-0,6	-0,7
186	SLE_R_2b	Combination	Min	-0,8	-0,8
186	SLE_F_VS	Combination		-0,6	-0,1
186	SLE_F_VC	Combination	Max	-0,5	-0,2
186	SLE_F_VC	Combination	Min	-0,7	-0,3
186	SLE_F_1	Combination	Max	-0,5	0,0
186	SLE_F_1	Combination	Min	-0,6	0,0
187	SLE_P	Combination		0,0	0,0
187	SLE_R_VS	Combination		-0,4	-0,5
187	SLE_R_VC	Combination	Max	-0,4	-1,0
187	SLE_R_VC	Combination	Min	-0,6	-1,1
187	SLE_R_1.1	Combination	Max	-0,3	-0,6
187	SLE_R_1.1	Combination	Min	-0,6	-0,7
187	SLE_R_1.2	Combination		-0,4	-0,6
187	SLE_R_2.a	Combination	Max	0,4	-0,6
187	SLE_R_2.a	Combination	Min	0,2	-0,7
187	SLE_R_2b	Combination	Max	-0,3	-0,6
187	SLE_R_2b	Combination	Min	-0,5	-0,7
187	SLE_F_VS	Combination		-0,3	-0,1
187	SLE_F_VC	Combination	Max	-0,3	-0,2
187	SLE_F_VC	Combination	Min	-0,5	-0,3
187	SLE_F_1	Combination	Max	-0,3	0,0
187	SLE_F_1	Combination	Min	-0,4	0,0
188	SLE_P	Combination		0,0	0,0
188	SLE_R_VS	Combination		-0,2	-0,3
188	SLE_R_VC	Combination	Max	-0,1	-0,7
188	SLE_R_VC	Combination	Min	-0,3	-0,8
188	SLE_R_1.1	Combination	Max	0,0	-0,4
188	SLE_R_1.1	Combination	Min	-0,4	-0,5
188	SLE_R_1.2	Combination		-0,2	-0,4
188	SLE_R_2.a	Combination	Max	0,6	-0,4
188	SLE_R_2.a	Combination	Min	0,4	-0,5
188	SLE_R_2b	Combination	Max	-0,1	-0,4
188	SLE_R_2b	Combination	Min	-0,3	-0,5
188	SLE_F_VS	Combination		-0,1	-0,1
188	SLE_F_VC	Combination	Max	-0,1	-0,1
188	SLE_F_VC	Combination	Min	-0,2	-0,2
188	SLE_F_1	Combination	Max	-0,1	0,0
188	SLE_F_1	Combination	Min	-0,2	0,0
192	SLE_P	Combination		0,0	0,0
192	SLE_R_VS	Combination		0,1	-0,1
192	SLE_R_VC	Combination	Max	0,1	-0,3
192	SLE_R_VC	Combination	Min	0,0	-0,4
192	SLE_R_1.1	Combination	Max	0,2	-0,2
192	SLE_R_1.1	Combination	Min	-0,1	-0,3
192	SLE_R_1.2	Combination		0,1	-0,2
192	SLE_R_2.a	Combination	Max	0,8	-0,2
192	SLE_R_2.a	Combination	Min	0,6	-0,3

192	SLE_R_2b	Combination	Max	0,1	-0,2
192	SLE_R_2b	Combination	Min	0,0	-0,2
192	SLE_F_VS	Combination		0,1	0,0
192	SLE_F_VC	Combination	Max	0,2	-0,1
192	SLE_F_VC	Combination	Min	0,0	-0,1
192	SLE_F_1	Combination	Max	0,1	0,0
192	SLE_F_1	Combination	Min	0,0	0,0
204	SLE_P	Combination		0,0	0,0
204	SLE_R_VS	Combination		-1,8	-0,1
204	SLE_R_VC	Combination	Max	-1,7	-0,2
204	SLE_R_VC	Combination	Min	-1,8	-0,3
204	SLE_R_1.1	Combination	Max	-1,6	-0,1
204	SLE_R_1.1	Combination	Min	-1,9	-0,2
204	SLE_R_1.2	Combination		-1,8	-0,1
204	SLE_R_2.a	Combination	Max	-1,1	-0,1
204	SLE_R_2.a	Combination	Min	-1,2	-0,2
204	SLE_R_2b	Combination	Max	-1,7	-0,1
204	SLE_R_2b	Combination	Min	-1,8	-0,2
204	SLE_F_VS	Combination		-1,5	0,0
204	SLE_F_VC	Combination	Max	-1,4	0,0
204	SLE_F_VC	Combination	Min	-1,5	-0,1
204	SLE_F_1	Combination	Max	-1,4	0,1
204	SLE_F_1	Combination	Min	-1,5	0,0
208	SLE_P	Combination		0,0	0,0
208	SLE_R_VS	Combination		-1,5	-0,2
208	SLE_R_VC	Combination	Max	-1,4	-0,5
208	SLE_R_VC	Combination	Min	-1,6	-0,6
208	SLE_R_1.1	Combination	Max	-1,4	-0,3
208	SLE_R_1.1	Combination	Min	-1,7	-0,4
208	SLE_R_1.2	Combination		-1,5	-0,3
208	SLE_R_2.a	Combination	Max	-0,9	-0,3
208	SLE_R_2.a	Combination	Min	-1,0	-0,4
208	SLE_R_2b	Combination	Max	-1,4	-0,3
208	SLE_R_2b	Combination	Min	-1,6	-0,4
208	SLE_F_VS	Combination		-1,3	0,0
208	SLE_F_VC	Combination	Max	-1,2	-0,1
208	SLE_F_VC	Combination	Min	-1,3	-0,1
208	SLE_F_1	Combination	Max	-1,2	0,0
208	SLE_F_1	Combination	Min	-1,3	0,0
209	SLE_P	Combination		0,0	0,0
209	SLE_R_VS	Combination		-1,3	-0,3
209	SLE_R_VC	Combination	Max	-1,2	-0,8
209	SLE_R_VC	Combination	Min	-1,4	-0,8
209	SLE_R_1.1	Combination	Max	-1,2	-0,5
209	SLE_R_1.1	Combination	Min	-1,4	-0,6
209	SLE_R_1.2	Combination		-1,3	-0,5
209	SLE_R_2.a	Combination	Max	-0,6	-0,5
209	SLE_R_2.a	Combination	Min	-0,8	-0,5
209	SLE_R_2b	Combination	Max	-1,2	-0,5
209	SLE_R_2b	Combination	Min	-1,4	-0,5
209	SLE_F_VS	Combination		-1,1	0,0
209	SLE_F_VC	Combination	Max	-1,0	-0,1
209	SLE_F_VC	Combination	Min	-1,2	-0,2
209	SLE_F_1	Combination	Max	-1,0	0,0

209	SLE_F_1	Combination	Min	-1,1	0,0
210	SLE_P	Combination		0,0	0,0
210	SLE_R_VS	Combination		-1,1	-0,4
210	SLE_R_VC	Combination	Max	-1,0	-1,0
210	SLE_R_VC	Combination	Min	-1,2	-1,0
210	SLE_R_1.1	Combination	Max	-0,9	-0,6
210	SLE_R_1.1	Combination	Min	-1,2	-0,7
210	SLE_R_1.2	Combination		-1,1	-0,6
210	SLE_R_2.a	Combination	Max	-0,4	-0,6
210	SLE_R_2.a	Combination	Min	-0,6	-0,6
210	SLE_R_2b	Combination	Max	-1,0	-0,6
210	SLE_R_2b	Combination	Min	-1,2	-0,6
210	SLE_F_VS	Combination		-0,9	-0,1
210	SLE_F_VC	Combination	Max	-0,8	-0,2
210	SLE_F_VC	Combination	Min	-1,0	-0,2
210	SLE_F_1	Combination	Max	-0,8	0,0
210	SLE_F_1	Combination	Min	-0,9	0,0
211	SLE_P	Combination		0,0	0,0
211	SLE_R_VS	Combination		-0,9	-0,5
211	SLE_R_VC	Combination	Max	-0,8	-1,0
211	SLE_R_VC	Combination	Min	-0,9	-1,1
211	SLE_R_1.1	Combination	Max	-0,7	-0,6
211	SLE_R_1.1	Combination	Min	-1,0	-0,7
211	SLE_R_1.2	Combination		-0,9	-0,6
211	SLE_R_2.a	Combination	Max	-0,2	-0,6
211	SLE_R_2.a	Combination	Min	-0,4	-0,7
211	SLE_R_2b	Combination	Max	-0,8	-0,6
211	SLE_R_2b	Combination	Min	-0,9	-0,6
211	SLE_F_VS	Combination		-0,7	-0,1
211	SLE_F_VC	Combination	Max	-0,6	-0,2
211	SLE_F_VC	Combination	Min	-0,8	-0,2
211	SLE_F_1	Combination	Max	-0,7	0,0
211	SLE_F_1	Combination	Min	-0,7	0,0
212	SLE_P	Combination		0,0	0,0
212	SLE_R_VS	Combination		-0,6	-0,4
212	SLE_R_VC	Combination	Max	-0,6	-1,0
212	SLE_R_VC	Combination	Min	-0,7	-1,0
212	SLE_R_1.1	Combination	Max	-0,5	-0,6
212	SLE_R_1.1	Combination	Min	-0,8	-0,7
212	SLE_R_1.2	Combination		-0,6	-0,6
212	SLE_R_2.a	Combination	Max	0,0	-0,6
212	SLE_R_2.a	Combination	Min	-0,1	-0,6
212	SLE_R_2b	Combination	Max	-0,5	-0,6
212	SLE_R_2b	Combination	Min	-0,7	-0,6
212	SLE_F_VS	Combination		-0,5	-0,1
212	SLE_F_VC	Combination	Max	-0,4	-0,2
212	SLE_F_VC	Combination	Min	-0,6	-0,2
212	SLE_F_1	Combination	Max	-0,5	0,0
212	SLE_F_1	Combination	Min	-0,5	0,0
213	SLE_P	Combination		0,0	0,0
213	SLE_R_VS	Combination		-0,4	-0,4
213	SLE_R_VC	Combination	Max	-0,3	-0,8
213	SLE_R_VC	Combination	Min	-0,5	-0,8
213	SLE_R_1.1	Combination	Max	-0,3	-0,5

213	SLE_R_1.1	Combination	Min	-0,5	-0,6
213	SLE_R_1.2	Combination		-0,4	-0,5
213	SLE_R_2.a	Combination	Max	0,2	-0,5
213	SLE_R_2.a	Combination	Min	0,1	-0,5
213	SLE_R_2b	Combination	Max	-0,3	-0,5
213	SLE_R_2b	Combination	Min	-0,5	-0,5
213	SLE_F_VS	Combination		-0,3	-0,1
213	SLE_F_VC	Combination	Max	-0,2	-0,2
213	SLE_F_VC	Combination	Min	-0,4	-0,2
213	SLE_F_1	Combination	Max	-0,3	0,0
213	SLE_F_1	Combination	Min	-0,4	0,0
214	SLE_P	Combination		0,0	0,0
214	SLE_R_VS	Combination		-0,2	-0,2
214	SLE_R_VC	Combination	Max	-0,1	-0,6
214	SLE_R_VC	Combination	Min	-0,2	-0,6
214	SLE_R_1.1	Combination	Max	0,0	-0,3
214	SLE_R_1.1	Combination	Min	-0,3	-0,4
214	SLE_R_1.2	Combination		-0,2	-0,3
214	SLE_R_2.a	Combination	Max	0,4	-0,3
214	SLE_R_2.a	Combination	Min	0,3	-0,4
214	SLE_R_2b	Combination	Max	-0,1	-0,3
214	SLE_R_2b	Combination	Min	-0,2	-0,4
214	SLE_F_VS	Combination		-0,1	0,0
214	SLE_F_VC	Combination	Max	0,0	-0,1
214	SLE_F_VC	Combination	Min	-0,2	-0,2
214	SLE_F_1	Combination	Max	-0,1	0,0
214	SLE_F_1	Combination	Min	-0,2	0,0
218	SLE_P	Combination		0,0	0,0
218	SLE_R_VS	Combination		0,1	-0,1
218	SLE_R_VC	Combination	Max	0,1	-0,3
218	SLE_R_VC	Combination	Min	0,0	-0,3
218	SLE_R_1.1	Combination	Max	0,2	-0,2
218	SLE_R_1.1	Combination	Min	-0,1	-0,2
218	SLE_R_1.2	Combination		0,1	-0,2
218	SLE_R_2.a	Combination	Max	0,7	-0,2
218	SLE_R_2.a	Combination	Min	0,5	-0,2
218	SLE_R_2b	Combination	Max	0,1	-0,2
218	SLE_R_2b	Combination	Min	0,0	-0,2
218	SLE_F_VS	Combination		0,1	0,0
218	SLE_F_VC	Combination	Max	0,1	-0,1
218	SLE_F_VC	Combination	Min	0,0	-0,1
218	SLE_F_1	Combination	Max	0,1	0,0
218	SLE_F_1	Combination	Min	0,0	0,0
230	SLE_P	Combination		0,0	0,0
230	SLE_R_VS	Combination		-1,8	-0,1
230	SLE_R_VC	Combination	Max	-1,7	-0,2
230	SLE_R_VC	Combination	Min	-1,8	-0,3
230	SLE_R_1.1	Combination	Max	-1,6	-0,1
230	SLE_R_1.1	Combination	Min	-1,9	-0,2
230	SLE_R_1.2	Combination		-1,7	-0,1
230	SLE_R_2.a	Combination	Max	-1,1	-0,1
230	SLE_R_2.a	Combination	Min	-1,3	-0,2
230	SLE_R_2b	Combination	Max	-1,7	-0,1
230	SLE_R_2b	Combination	Min	-1,8	-0,2

230	SLE_F_VS	Combination		-1,5	0,0
230	SLE_F_VC	Combination	Max	-1,4	0,0
230	SLE_F_VC	Combination	Min	-1,5	-0,1
230	SLE_F_1	Combination	Max	-1,4	0,0
230	SLE_F_1	Combination	Min	-1,5	0,0
234	SLE_P	Combination		0,0	0,0
234	SLE_R_VS	Combination		-1,5	-0,2
234	SLE_R_VC	Combination	Max	-1,4	-0,5
234	SLE_R_VC	Combination	Min	-1,6	-0,6
234	SLE_R_1.1	Combination	Max	-1,4	-0,3
234	SLE_R_1.1	Combination	Min	-1,7	-0,4
234	SLE_R_1.2	Combination		-1,5	-0,3
234	SLE_R_2.a	Combination	Max	-0,9	-0,3
234	SLE_R_2.a	Combination	Min	-1,0	-0,4
234	SLE_R_2b	Combination	Max	-1,4	-0,3
234	SLE_R_2b	Combination	Min	-1,6	-0,3
234	SLE_F_VS	Combination		-1,3	0,0
234	SLE_F_VC	Combination	Max	-1,2	-0,1
234	SLE_F_VC	Combination	Min	-1,3	-0,1
234	SLE_F_1	Combination	Max	-1,2	0,0
234	SLE_F_1	Combination	Min	-1,3	0,0
235	SLE_P	Combination		0,0	0,0
235	SLE_R_VS	Combination		-1,3	-0,4
235	SLE_R_VC	Combination	Max	-1,2	-0,8
235	SLE_R_VC	Combination	Min	-1,4	-0,8
235	SLE_R_1.1	Combination	Max	-1,2	-0,5
235	SLE_R_1.1	Combination	Min	-1,4	-0,5
235	SLE_R_1.2	Combination		-1,3	-0,5
235	SLE_R_2.a	Combination	Max	-0,6	-0,5
235	SLE_R_2.a	Combination	Min	-0,8	-0,5
235	SLE_R_2b	Combination	Max	-1,2	-0,5
235	SLE_R_2b	Combination	Min	-1,4	-0,5
235	SLE_F_VS	Combination		-1,1	-0,1
235	SLE_F_VC	Combination	Max	-1,0	-0,1
235	SLE_F_VC	Combination	Min	-1,2	-0,2
235	SLE_F_1	Combination	Max	-1,0	0,0
235	SLE_F_1	Combination	Min	-1,1	0,0
236	SLE_P	Combination		0,0	0,0
236	SLE_R_VS	Combination		-1,1	-0,4
236	SLE_R_VC	Combination	Max	-1,0	-1,0
236	SLE_R_VC	Combination	Min	-1,2	-1,0
236	SLE_R_1.1	Combination	Max	-0,9	-0,6
236	SLE_R_1.1	Combination	Min	-1,2	-0,6
236	SLE_R_1.2	Combination		-1,1	-0,6
236	SLE_R_2.a	Combination	Max	-0,4	-0,6
236	SLE_R_2.a	Combination	Min	-0,6	-0,6
236	SLE_R_2b	Combination	Max	-1,0	-0,6
236	SLE_R_2b	Combination	Min	-1,2	-0,6
236	SLE_F_VS	Combination		-0,9	-0,1
236	SLE_F_VC	Combination	Max	-0,8	-0,2
236	SLE_F_VC	Combination	Min	-1,0	-0,2
236	SLE_F_1	Combination	Max	-0,8	0,0
236	SLE_F_1	Combination	Min	-0,9	0,0
237	SLE_P	Combination		0,0	0,0

237	SLE_R_VS	Combination		-0,9	-0,5
237	SLE_R_VC	Combination	Max	-0,8	-1,0
237	SLE_R_VC	Combination	Min	-0,9	-1,1
237	SLE_R_1.1	Combination	Max	-0,7	-0,6
237	SLE_R_1.1	Combination	Min	-1,0	-0,7
237	SLE_R_1.2	Combination		-0,9	-0,6
237	SLE_R_2.a	Combination	Max	-0,2	-0,6
237	SLE_R_2.a	Combination	Min	-0,4	-0,7
237	SLE_R_2b	Combination	Max	-0,8	-0,6
237	SLE_R_2b	Combination	Min	-0,9	-0,6
237	SLE_F_VS	Combination		-0,7	-0,1
237	SLE_F_VC	Combination	Max	-0,6	-0,2
237	SLE_F_VC	Combination	Min	-0,8	-0,2
237	SLE_F_1	Combination	Max	-0,7	0,0
237	SLE_F_1	Combination	Min	-0,7	0,0
238	SLE_P	Combination		0,0	0,0
238	SLE_R_VS	Combination		-0,6	-0,4
238	SLE_R_VC	Combination	Max	-0,5	-1,0
238	SLE_R_VC	Combination	Min	-0,7	-1,0
238	SLE_R_1.1	Combination	Max	-0,5	-0,6
238	SLE_R_1.1	Combination	Min	-0,8	-0,6
238	SLE_R_1.2	Combination		-0,6	-0,6
238	SLE_R_2.a	Combination	Max	0,0	-0,6
238	SLE_R_2.a	Combination	Min	-0,1	-0,6
238	SLE_R_2b	Combination	Max	-0,5	-0,6
238	SLE_R_2b	Combination	Min	-0,7	-0,6
238	SLE_F_VS	Combination		-0,5	-0,1
238	SLE_F_VC	Combination	Max	-0,4	-0,2
238	SLE_F_VC	Combination	Min	-0,6	-0,2
238	SLE_F_1	Combination	Max	-0,5	0,0
238	SLE_F_1	Combination	Min	-0,5	0,0
239	SLE_P	Combination		0,0	0,0
239	SLE_R_VS	Combination		-0,4	-0,4
239	SLE_R_VC	Combination	Max	-0,3	-0,8
239	SLE_R_VC	Combination	Min	-0,5	-0,8
239	SLE_R_1.1	Combination	Max	-0,3	-0,5
239	SLE_R_1.1	Combination	Min	-0,5	-0,6
239	SLE_R_1.2	Combination		-0,4	-0,5
239	SLE_R_2.a	Combination	Max	0,2	-0,5
239	SLE_R_2.a	Combination	Min	0,1	-0,5
239	SLE_R_2b	Combination	Max	-0,3	-0,5
239	SLE_R_2b	Combination	Min	-0,5	-0,5
239	SLE_F_VS	Combination		-0,3	-0,1
239	SLE_F_VC	Combination	Max	-0,2	-0,2
239	SLE_F_VC	Combination	Min	-0,4	-0,2
239	SLE_F_1	Combination	Max	-0,3	0,0
239	SLE_F_1	Combination	Min	-0,4	0,0
240	SLE_P	Combination		0,0	0,0
240	SLE_R_VS	Combination		-0,2	-0,3
240	SLE_R_VC	Combination	Max	-0,1	-0,6
240	SLE_R_VC	Combination	Min	-0,2	-0,6
240	SLE_R_1.1	Combination	Max	0,0	-0,3
240	SLE_R_1.1	Combination	Min	-0,3	-0,4
240	SLE_R_1.2	Combination		-0,2	-0,3

240	SLE_R_2.a	Combination	Max	0,4	-0,3
240	SLE_R_2.a	Combination	Min	0,3	-0,4
240	SLE_R_2b	Combination	Max	-0,1	-0,3
240	SLE_R_2b	Combination	Min	-0,2	-0,4
240	SLE_F_VS	Combination		-0,1	0,0
240	SLE_F_VC	Combination	Max	0,0	-0,1
240	SLE_F_VC	Combination	Min	-0,2	-0,1
240	SLE_F_1	Combination	Max	-0,1	0,0
240	SLE_F_1	Combination	Min	-0,2	0,0
244	SLE_P	Combination		0,0	0,0
244	SLE_R_VS	Combination		0,1	-0,1
244	SLE_R_VC	Combination	Max	0,1	-0,3
244	SLE_R_VC	Combination	Min	0,0	-0,3
244	SLE_R_1.1	Combination	Max	0,2	-0,2
244	SLE_R_1.1	Combination	Min	-0,1	-0,2
244	SLE_R_1.2	Combination		0,1	-0,2
244	SLE_R_2.a	Combination	Max	0,7	-0,2
244	SLE_R_2.a	Combination	Min	0,5	-0,2
244	SLE_R_2b	Combination	Max	0,1	-0,2
244	SLE_R_2b	Combination	Min	0,0	-0,2
244	SLE_F_VS	Combination		0,1	0,0
244	SLE_F_VC	Combination	Max	0,1	-0,1
244	SLE_F_VC	Combination	Min	0,0	-0,1
244	SLE_F_1	Combination	Max	0,1	0,0
244	SLE_F_1	Combination	Min	0,0	0,0
256	SLE_P	Combination		0,0	0,0
256	SLE_R_VS	Combination		-1,7	-0,1
256	SLE_R_VC	Combination	Max	-1,7	-0,2
256	SLE_R_VC	Combination	Min	-1,8	-0,3
256	SLE_R_1.1	Combination	Max	-1,6	-0,1
256	SLE_R_1.1	Combination	Min	-1,9	-0,2
256	SLE_R_1.2	Combination		-1,7	-0,1
256	SLE_R_2.a	Combination	Max	-1,1	-0,2
256	SLE_R_2.a	Combination	Min	-1,2	-0,2
256	SLE_R_2b	Combination	Max	-1,7	-0,1
256	SLE_R_2b	Combination	Min	-1,8	-0,2
256	SLE_F_VS	Combination		-1,4	0,0
256	SLE_F_VC	Combination	Max	-1,4	0,0
256	SLE_F_VC	Combination	Min	-1,5	-0,1
256	SLE_F_1	Combination	Max	-1,4	0,0
256	SLE_F_1	Combination	Min	-1,5	0,0
260	SLE_P	Combination		0,0	0,0
260	SLE_R_VS	Combination		-1,5	-0,3
260	SLE_R_VC	Combination	Max	-1,4	-0,6
260	SLE_R_VC	Combination	Min	-1,6	-0,6
260	SLE_R_1.1	Combination	Max	-1,4	-0,3
260	SLE_R_1.1	Combination	Min	-1,6	-0,4
260	SLE_R_1.2	Combination		-1,5	-0,3
260	SLE_R_2.a	Combination	Max	-0,9	-0,3
260	SLE_R_2.a	Combination	Min	-1,0	-0,4
260	SLE_R_2b	Combination	Max	-1,4	-0,3
260	SLE_R_2b	Combination	Min	-1,6	-0,4
260	SLE_F_VS	Combination		-1,3	-0,1
260	SLE_F_VC	Combination	Max	-1,2	-0,1

260	SLE_F_VC	Combination	Min	-1,3	-0,2
260	SLE_F_1	Combination	Max	-1,2	0,0
260	SLE_F_1	Combination	Min	-1,3	0,0
261	SLE_P	Combination		0,0	0,0
261	SLE_R_VS	Combination		-1,3	-0,4
261	SLE_R_VC	Combination	Max	-1,2	-0,8
261	SLE_R_VC	Combination	Min	-1,4	-0,8
261	SLE_R_1.1	Combination	Max	-1,2	-0,5
261	SLE_R_1.1	Combination	Min	-1,4	-0,6
261	SLE_R_1.2	Combination		-1,3	-0,5
261	SLE_R_2.a	Combination	Max	-0,6	-0,5
261	SLE_R_2.a	Combination	Min	-0,8	-0,5
261	SLE_R_2b	Combination	Max	-1,2	-0,5
261	SLE_R_2b	Combination	Min	-1,4	-0,5
261	SLE_F_VS	Combination		-1,1	-0,1
261	SLE_F_VC	Combination	Max	-1,0	-0,2
261	SLE_F_VC	Combination	Min	-1,1	-0,2
261	SLE_F_1	Combination	Max	-1,0	0,0
261	SLE_F_1	Combination	Min	-1,1	0,0
262	SLE_P	Combination		0,0	0,0
262	SLE_R_VS	Combination		-1,1	-0,5
262	SLE_R_VC	Combination	Max	-1,0	-1,0
262	SLE_R_VC	Combination	Min	-1,1	-1,0
262	SLE_R_1.1	Combination	Max	-0,9	-0,6
262	SLE_R_1.1	Combination	Min	-1,2	-0,7
262	SLE_R_1.2	Combination		-1,1	-0,6
262	SLE_R_2.a	Combination	Max	-0,4	-0,6
262	SLE_R_2.a	Combination	Min	-0,6	-0,6
262	SLE_R_2b	Combination	Max	-1,0	-0,6
262	SLE_R_2b	Combination	Min	-1,1	-0,6
262	SLE_F_VS	Combination		-0,9	-0,1
262	SLE_F_VC	Combination	Max	-0,8	-0,2
262	SLE_F_VC	Combination	Min	-0,9	-0,2
262	SLE_F_1	Combination	Max	-0,8	0,0
262	SLE_F_1	Combination	Min	-0,9	0,0
263	SLE_P	Combination		0,0	0,0
263	SLE_R_VS	Combination		-0,8	-0,5
263	SLE_R_VC	Combination	Max	-0,8	-1,0
263	SLE_R_VC	Combination	Min	-0,9	-1,1
263	SLE_R_1.1	Combination	Max	-0,7	-0,6
263	SLE_R_1.1	Combination	Min	-1,0	-0,7
263	SLE_R_1.2	Combination		-0,8	-0,6
263	SLE_R_2.a	Combination	Max	-0,2	-0,6
263	SLE_R_2.a	Combination	Min	-0,4	-0,7
263	SLE_R_2b	Combination	Max	-0,8	-0,6
263	SLE_R_2b	Combination	Min	-0,9	-0,7
263	SLE_F_VS	Combination		-0,7	-0,1
263	SLE_F_VC	Combination	Max	-0,6	-0,2
263	SLE_F_VC	Combination	Min	-0,8	-0,2
263	SLE_F_1	Combination	Max	-0,6	0,0
263	SLE_F_1	Combination	Min	-0,7	0,0
264	SLE_P	Combination		0,0	0,0
264	SLE_R_VS	Combination		-0,6	-0,5
264	SLE_R_VC	Combination	Max	-0,5	-1,0

264	SLE_R_VC	Combination	Min	-0,7	-1,0
264	SLE_R_1.1	Combination	Max	-0,5	-0,6
264	SLE_R_1.1	Combination	Min	-0,7	-0,6
264	SLE_R_1.2	Combination		-0,6	-0,6
264	SLE_R_2.a	Combination	Max	0,0	-0,6
264	SLE_R_2.a	Combination	Min	-0,1	-0,6
264	SLE_R_2b	Combination	Max	-0,5	-0,6
264	SLE_R_2b	Combination	Min	-0,7	-0,6
264	SLE_F_VS	Combination		-0,5	-0,1
264	SLE_F_VC	Combination	Max	-0,4	-0,2
264	SLE_F_VC	Combination	Min	-0,6	-0,2
264	SLE_F_1	Combination	Max	-0,5	0,0
264	SLE_F_1	Combination	Min	-0,5	0,0
265	SLE_P	Combination		0,0	0,0
265	SLE_R_VS	Combination		-0,4	-0,4
265	SLE_R_VC	Combination	Max	-0,3	-0,8
265	SLE_R_VC	Combination	Min	-0,5	-0,8
265	SLE_R_1.1	Combination	Max	-0,3	-0,5
265	SLE_R_1.1	Combination	Min	-0,5	-0,5
265	SLE_R_1.2	Combination		-0,4	-0,5
265	SLE_R_2.a	Combination	Max	0,2	-0,5
265	SLE_R_2.a	Combination	Min	0,1	-0,5
265	SLE_R_2b	Combination	Max	-0,3	-0,5
265	SLE_R_2b	Combination	Min	-0,5	-0,5
265	SLE_F_VS	Combination		-0,3	-0,1
265	SLE_F_VC	Combination	Max	-0,2	-0,2
265	SLE_F_VC	Combination	Min	-0,4	-0,2
265	SLE_F_1	Combination	Max	-0,3	0,0
265	SLE_F_1	Combination	Min	-0,3	0,0
266	SLE_P	Combination		0,0	0,0
266	SLE_R_VS	Combination		-0,2	-0,3
266	SLE_R_VC	Combination	Max	-0,1	-0,6
266	SLE_R_VC	Combination	Min	-0,2	-0,6
266	SLE_R_1.1	Combination	Max	0,0	-0,3
266	SLE_R_1.1	Combination	Min	-0,3	-0,4
266	SLE_R_1.2	Combination		-0,2	-0,3
266	SLE_R_2.a	Combination	Max	0,5	-0,3
266	SLE_R_2.a	Combination	Min	0,3	-0,4
266	SLE_R_2b	Combination	Max	-0,1	-0,3
266	SLE_R_2b	Combination	Min	-0,2	-0,4
266	SLE_F_VS	Combination		-0,1	-0,1
266	SLE_F_VC	Combination	Max	0,0	-0,1
266	SLE_F_VC	Combination	Min	-0,2	-0,1
266	SLE_F_1	Combination	Max	-0,1	0,0
266	SLE_F_1	Combination	Min	-0,2	0,0
270	SLE_P	Combination		0,0	0,0
270	SLE_R_VS	Combination		0,1	-0,1
270	SLE_R_VC	Combination	Max	0,1	-0,3
270	SLE_R_VC	Combination	Min	0,0	-0,3
270	SLE_R_1.1	Combination	Max	0,2	-0,2
270	SLE_R_1.1	Combination	Min	-0,1	-0,2
270	SLE_R_1.2	Combination		0,1	-0,2
270	SLE_R_2.a	Combination	Max	0,7	-0,2
270	SLE_R_2.a	Combination	Min	0,5	-0,2

270	SLE_R_2b	Combination	Max	0,1	-0,2
270	SLE_R_2b	Combination	Min	0,0	-0,2
270	SLE_F_VS	Combination		0,1	0,0
270	SLE_F_VC	Combination	Max	0,1	-0,1
270	SLE_F_VC	Combination	Min	0,0	-0,1
270	SLE_F_1	Combination	Max	0,1	0,0
270	SLE_F_1	Combination	Min	0,0	0,0
282	SLE_P	Combination		0,0	0,0
282	SLE_R_VS	Combination		-1,8	-0,1
282	SLE_R_VC	Combination	Max	-1,8	-0,2
282	SLE_R_VC	Combination	Min	-1,8	-0,3
282	SLE_R_1.1	Combination	Max	-1,8	-0,1
282	SLE_R_1.1	Combination	Min	-1,8	-0,2
282	SLE_R_1.2	Combination		-1,8	-0,1
282	SLE_R_2.a	Combination	Max	-1,4	-0,2
282	SLE_R_2.a	Combination	Min	-1,4	-0,2
282	SLE_R_2b	Combination	Max	-1,8	-0,1
282	SLE_R_2b	Combination	Min	-1,8	-0,2
282	SLE_F_VS	Combination		-1,5	0,0
282	SLE_F_VC	Combination	Max	-1,5	-0,1
282	SLE_F_VC	Combination	Min	-1,5	-0,1
282	SLE_F_1	Combination	Max	-1,5	0,0
282	SLE_F_1	Combination	Min	-1,5	0,0
286	SLE_P	Combination		0,0	0,0
286	SLE_R_VS	Combination		-1,6	-0,3
286	SLE_R_VC	Combination	Max	-1,6	-0,6
286	SLE_R_VC	Combination	Min	-1,6	-0,6
286	SLE_R_1.1	Combination	Max	-1,6	-0,3
286	SLE_R_1.1	Combination	Min	-1,6	-0,4
286	SLE_R_1.2	Combination		-1,6	-0,3
286	SLE_R_2.a	Combination	Max	-1,2	-0,4
286	SLE_R_2.a	Combination	Min	-1,2	-0,4
286	SLE_R_2b	Combination	Max	-1,6	-0,3
286	SLE_R_2b	Combination	Min	-1,6	-0,4
286	SLE_F_VS	Combination		-1,3	-0,1
286	SLE_F_VC	Combination	Max	-1,3	-0,1
286	SLE_F_VC	Combination	Min	-1,3	-0,1
286	SLE_F_1	Combination	Max	-1,3	0,0
286	SLE_F_1	Combination	Min	-1,3	0,0
287	SLE_P	Combination		0,0	0,0
287	SLE_R_VS	Combination		-1,4	-0,4
287	SLE_R_VC	Combination	Max	-1,4	-0,8
287	SLE_R_VC	Combination	Min	-1,4	-0,9
287	SLE_R_1.1	Combination	Max	-1,4	-0,5
287	SLE_R_1.1	Combination	Min	-1,4	-0,6
287	SLE_R_1.2	Combination		-1,4	-0,5
287	SLE_R_2.a	Combination	Max	-0,9	-0,5
287	SLE_R_2.a	Combination	Min	-0,9	-0,5
287	SLE_R_2b	Combination	Max	-1,4	-0,5
287	SLE_R_2b	Combination	Min	-1,4	-0,5
287	SLE_F_VS	Combination		-1,1	-0,1
287	SLE_F_VC	Combination	Max	-1,1	-0,2
287	SLE_F_VC	Combination	Min	-1,1	-0,2
287	SLE_F_1	Combination	Max	-1,1	0,0

287	SLE_F_1	Combination	Min	-1,1	0,0
288	SLE_P	Combination		0,0	0,0
288	SLE_R_VS	Combination		-1,1	-0,5
288	SLE_R_VC	Combination	Max	-1,1	-1,0
288	SLE_R_VC	Combination	Min	-1,1	-1,0
288	SLE_R_1.1	Combination	Max	-1,1	-0,6
288	SLE_R_1.1	Combination	Min	-1,1	-0,7
288	SLE_R_1.2	Combination		-1,1	-0,6
288	SLE_R_2.a	Combination	Max	-0,7	-0,6
288	SLE_R_2.a	Combination	Min	-0,7	-0,6
288	SLE_R_2b	Combination	Max	-1,1	-0,6
288	SLE_R_2b	Combination	Min	-1,1	-0,6
288	SLE_F_VS	Combination		-0,9	-0,1
288	SLE_F_VC	Combination	Max	-0,9	-0,2
288	SLE_F_VC	Combination	Min	-0,9	-0,2
288	SLE_F_1	Combination	Max	-0,9	0,0
288	SLE_F_1	Combination	Min	-0,9	0,0
289	SLE_P	Combination		0,0	0,0
289	SLE_R_VS	Combination		-0,9	-0,5
289	SLE_R_VC	Combination	Max	-0,9	-1,1
289	SLE_R_VC	Combination	Min	-0,9	-1,1
289	SLE_R_1.1	Combination	Max	-0,9	-0,6
289	SLE_R_1.1	Combination	Min	-0,9	-0,7
289	SLE_R_1.2	Combination		-0,9	-0,6
289	SLE_R_2.a	Combination	Max	-0,5	-0,6
289	SLE_R_2.a	Combination	Min	-0,5	-0,7
289	SLE_R_2b	Combination	Max	-0,9	-0,6
289	SLE_R_2b	Combination	Min	-0,9	-0,7
289	SLE_F_VS	Combination		-0,7	-0,1
289	SLE_F_VC	Combination	Max	-0,7	-0,2
289	SLE_F_VC	Combination	Min	-0,7	-0,2
289	SLE_F_1	Combination	Max	-0,7	0,0
289	SLE_F_1	Combination	Min	-0,7	0,0
290	SLE_P	Combination		0,0	0,0
290	SLE_R_VS	Combination		-0,7	-0,5
290	SLE_R_VC	Combination	Max	-0,7	-1,0
290	SLE_R_VC	Combination	Min	-0,7	-1,0
290	SLE_R_1.1	Combination	Max	-0,7	-0,6
290	SLE_R_1.1	Combination	Min	-0,7	-0,6
290	SLE_R_1.2	Combination		-0,7	-0,6
290	SLE_R_2.a	Combination	Max	-0,3	-0,6
290	SLE_R_2.a	Combination	Min	-0,3	-0,6
290	SLE_R_2b	Combination	Max	-0,7	-0,6
290	SLE_R_2b	Combination	Min	-0,7	-0,6
290	SLE_F_VS	Combination		-0,6	-0,1
290	SLE_F_VC	Combination	Max	-0,6	-0,2
290	SLE_F_VC	Combination	Min	-0,6	-0,2
290	SLE_F_1	Combination	Max	-0,6	0,0
290	SLE_F_1	Combination	Min	-0,6	0,0
291	SLE_P	Combination		0,0	0,0
291	SLE_R_VS	Combination		-0,4	-0,4
291	SLE_R_VC	Combination	Max	-0,4	-0,8
291	SLE_R_VC	Combination	Min	-0,4	-0,8
291	SLE_R_1.1	Combination	Max	-0,4	-0,5

291	SLE_R_1.1	Combination	Min	-0,4	-0,5
291	SLE_R_1.2	Combination		-0,4	-0,5
291	SLE_R_2.a	Combination	Max	0,0	-0,5
291	SLE_R_2.a	Combination	Min	0,0	-0,5
291	SLE_R_2b	Combination	Max	-0,4	-0,5
291	SLE_R_2b	Combination	Min	-0,4	-0,5
291	SLE_F_VS	Combination		-0,4	-0,1
291	SLE_F_VC	Combination	Max	-0,4	-0,2
291	SLE_F_VC	Combination	Min	-0,4	-0,2
291	SLE_F_1	Combination	Max	-0,4	0,0
291	SLE_F_1	Combination	Min	-0,4	0,0
292	SLE_P	Combination		0,0	0,0
292	SLE_R_VS	Combination		-0,2	-0,2
292	SLE_R_VC	Combination	Max	-0,2	-0,5
292	SLE_R_VC	Combination	Min	-0,2	-0,5
292	SLE_R_1.1	Combination	Max	-0,2	-0,3
292	SLE_R_1.1	Combination	Min	-0,2	-0,3
292	SLE_R_1.2	Combination		-0,2	-0,3
292	SLE_R_2.a	Combination	Max	0,2	-0,3
292	SLE_R_2.a	Combination	Min	0,2	-0,3
292	SLE_R_2b	Combination	Max	-0,2	-0,3
292	SLE_R_2b	Combination	Min	-0,2	-0,3
292	SLE_F_VS	Combination		-0,2	0,0
292	SLE_F_VC	Combination	Max	-0,2	-0,1
292	SLE_F_VC	Combination	Min	-0,2	-0,1
292	SLE_F_1	Combination	Max	-0,2	0,0
292	SLE_F_1	Combination	Min	-0,2	0,0
301	SLE_P	Combination		0,0	0,0
301	SLE_R_VS	Combination		0,0	-0,1
301	SLE_R_VC	Combination	Max	0,0	-0,2
301	SLE_R_VC	Combination	Min	0,0	-0,2
301	SLE_R_1.1	Combination	Max	0,0	-0,1
301	SLE_R_1.1	Combination	Min	0,0	-0,1
301	SLE_R_1.2	Combination		0,0	-0,1
301	SLE_R_2.a	Combination	Max	0,4	-0,1
301	SLE_R_2.a	Combination	Min	0,4	-0,1
301	SLE_R_2b	Combination	Max	0,0	-0,1
301	SLE_R_2b	Combination	Min	0,0	-0,1
301	SLE_F_VS	Combination		0,0	0,0
301	SLE_F_VC	Combination	Max	0,0	0,0
301	SLE_F_VC	Combination	Min	0,0	-0,1
301	SLE_F_1	Combination	Max	0,0	0,0
301	SLE_F_1	Combination	Min	0,0	0,0
			Max	1,4	0,1
			Min	-2,1	-1,4

TABLE: Joint Displacements - AFFIANCAMENTO - SLU					
Joint	OutputCase	CaseType	StepType	U1	U2
Text	Text	Text	Text	mm	mm
126	SLU_P	Combination		0,0	0,0
126	SLU_VS	Combination		-2,2	-0,1
126	SLU_VC	Combination	Max	-2,1	-0,3
126	SLU_VC	Combination	Min	-2,3	-0,4
126	SLU_1.1	Combination	Max	-2,0	-0,1
126	SLU_1.1	Combination	Min	-2,4	-0,4
126	SLU_1.2	Combination		-2,2	-0,1
126	SLU_2a	Combination	Max	-1,4	-0,2
126	SLU_2a	Combination	Min	-1,6	-0,3
126	SLU_2b	Combination	Max	-2,1	-0,1
126	SLU_2b	Combination	Min	-2,3	-0,3
130	SLU_P	Combination		0,0	0,0
130	SLU_VS	Combination		-1,9	-0,1
130	SLU_VC	Combination	Max	-1,9	-0,4
130	SLU_VC	Combination	Min	-2,0	-0,5
130	SLU_1.1	Combination	Max	-1,8	-0,2
130	SLU_1.1	Combination	Min	-2,1	-0,4
130	SLU_1.2	Combination		-1,9	-0,2
130	SLU_2a	Combination	Max	-1,1	-0,2
130	SLU_2a	Combination	Min	-1,3	-0,4
130	SLU_2b	Combination	Max	-1,8	-0,2
130	SLU_2b	Combination	Min	-2,0	-0,3
131	SLU_P	Combination		0,0	0,0
131	SLU_VS	Combination		-1,7	-0,2
131	SLU_VC	Combination	Max	-1,6	-0,5
131	SLU_VC	Combination	Min	-1,8	-0,6
131	SLU_1.1	Combination	Max	-1,5	-0,2
131	SLU_1.1	Combination	Min	-1,8	-0,4
131	SLU_1.2	Combination		-1,7	-0,3
131	SLU_2a	Combination	Max	-0,9	-0,3
131	SLU_2a	Combination	Min	-1,0	-0,4
131	SLU_2b	Combination	Max	-1,6	-0,3
131	SLU_2b	Combination	Min	-1,8	-0,4
132	SLU_P	Combination		0,0	0,0
132	SLU_VS	Combination		-1,4	-0,2
132	SLU_VC	Combination	Max	-1,3	-0,6
132	SLU_VC	Combination	Min	-1,5	-0,7
132	SLU_1.1	Combination	Max	-1,2	-0,3
132	SLU_1.1	Combination	Min	-1,6	-0,5
132	SLU_1.2	Combination		-1,4	-0,3
132	SLU_2a	Combination	Max	-0,6	-0,3
132	SLU_2a	Combination	Min	-0,8	-0,4
132	SLU_2b	Combination	Max	-1,3	-0,3
132	SLU_2b	Combination	Min	-1,5	-0,4
133	SLU_P	Combination		0,0	0,0
133	SLU_VS	Combination		-1,1	-0,2
133	SLU_VC	Combination	Max	-1,0	-0,6
133	SLU_VC	Combination	Min	-1,2	-0,7
133	SLU_1.1	Combination	Max	-1,0	-0,3

133	SLU_1.1	Combination	Min	-1,3	-0,5
133	SLU_1.2	Combination		-1,1	-0,3
133	SLU_2a	Combination	Max	-0,3	-0,4
133	SLU_2a	Combination	Min	-0,5	-0,4
133	SLU_2b	Combination	Max	-1,0	-0,3
133	SLU_2b	Combination	Min	-1,2	-0,4
134	SLU_P	Combination		0,0	0,0
134	SLU_VS	Combination		-0,9	-0,2
134	SLU_VC	Combination	Max	-0,8	-0,6
134	SLU_VC	Combination	Min	-0,9	-0,6
134	SLU_1.1	Combination	Max	-0,7	-0,3
134	SLU_1.1	Combination	Min	-1,0	-0,4
134	SLU_1.2	Combination		-0,9	-0,3
134	SLU_2a	Combination	Max	-0,1	-0,4
134	SLU_2a	Combination	Min	-0,2	-0,4
134	SLU_2b	Combination	Max	-0,8	-0,3
134	SLU_2b	Combination	Min	-0,9	-0,4
135	SLU_P	Combination		0,0	0,0
135	SLU_VS	Combination		-0,6	-0,2
135	SLU_VC	Combination	Max	-0,5	-0,5
135	SLU_VC	Combination	Min	-0,7	-0,6
135	SLU_1.1	Combination	Max	-0,4	-0,3
135	SLU_1.1	Combination	Min	-0,7	-0,4
135	SLU_1.2	Combination		-0,6	-0,3
135	SLU_2a	Combination	Max	0,2	-0,3
135	SLU_2a	Combination	Min	0,0	-0,4
135	SLU_2b	Combination	Max	-0,5	-0,3
135	SLU_2b	Combination	Min	-0,7	-0,4
136	SLU_P	Combination		0,0	0,0
136	SLU_VS	Combination		-0,3	-0,2
136	SLU_VC	Combination	Max	-0,2	-0,4
136	SLU_VC	Combination	Min	-0,4	-0,5
136	SLU_1.1	Combination	Max	-0,1	-0,2
136	SLU_1.1	Combination	Min	-0,5	-0,3
136	SLU_1.2	Combination		-0,3	-0,2
136	SLU_2a	Combination	Max	0,5	-0,3
136	SLU_2a	Combination	Min	0,3	-0,3
136	SLU_2b	Combination	Max	-0,2	-0,2
136	SLU_2b	Combination	Min	-0,4	-0,3
140	SLU_P	Combination		0,0	0,0
140	SLU_VS	Combination		0,0	-0,1
140	SLU_VC	Combination	Max	0,1	-0,3
140	SLU_VC	Combination	Min	-0,1	-0,4
140	SLU_1.1	Combination	Max	0,1	-0,2
140	SLU_1.1	Combination	Min	-0,2	-0,3
140	SLU_1.2	Combination		0,0	-0,2
140	SLU_2a	Combination	Max	0,7	-0,2
140	SLU_2a	Combination	Min	0,6	-0,3
140	SLU_2b	Combination	Max	0,1	-0,2
140	SLU_2b	Combination	Min	-0,1	-0,2
152	SLU_P	Combination		0,4	0,0
152	SLU_VS	Combination		-1,6	0,0
152	SLU_VC	Combination	Max	-1,4	-0,2
152	SLU_VC	Combination	Min	-1,9	-0,2

152	SLU_1.1	Combination	Max	-1,3	-0,1
152	SLU_1.1	Combination	Min	-2,0	-0,2
152	SLU_1.2	Combination		-1,6	-0,1
152	SLU_2a	Combination	Max	0,0	-0,1
152	SLU_2a	Combination	Min	-0,4	-0,2
152	SLU_2b	Combination	Max	-1,4	-0,1
152	SLU_2b	Combination	Min	-1,9	-0,1
156	SLU_P	Combination		0,4	0,0
156	SLU_VS	Combination		-1,4	-0,2
156	SLU_VC	Combination	Max	-1,2	-0,6
156	SLU_VC	Combination	Min	-1,6	-0,6
156	SLU_1.1	Combination	Max	-1,0	-0,3
156	SLU_1.1	Combination	Min	-1,8	-0,4
156	SLU_1.2	Combination		-1,4	-0,3
156	SLU_2a	Combination	Max	0,2	-0,4
156	SLU_2a	Combination	Min	-0,2	-0,4
156	SLU_2b	Combination	Max	-1,2	-0,3
156	SLU_2b	Combination	Min	-1,6	-0,4
157	SLU_P	Combination		0,4	0,0
157	SLU_VS	Combination		-1,2	-0,4
157	SLU_VC	Combination	Max	-1,0	-0,9
157	SLU_VC	Combination	Min	-1,4	-1,0
157	SLU_1.1	Combination	Max	-0,8	-0,5
157	SLU_1.1	Combination	Min	-1,5	-0,6
157	SLU_1.2	Combination		-1,2	-0,5
157	SLU_2a	Combination	Max	0,5	-0,6
157	SLU_2a	Combination	Min	0,0	-0,7
157	SLU_2b	Combination	Max	-1,0	-0,5
157	SLU_2b	Combination	Min	-1,4	-0,6
158	SLU_P	Combination		0,4	0,0
158	SLU_VS	Combination		-0,9	-0,5
158	SLU_VC	Combination	Max	-0,7	-1,1
158	SLU_VC	Combination	Min	-1,2	-1,2
158	SLU_1.1	Combination	Max	-0,6	-0,7
158	SLU_1.1	Combination	Min	-1,3	-0,8
158	SLU_1.2	Combination		-0,9	-0,7
158	SLU_2a	Combination	Max	0,7	-0,7
158	SLU_2a	Combination	Min	0,3	-0,8
158	SLU_2b	Combination	Max	-0,7	-0,7
158	SLU_2b	Combination	Min	-1,1	-0,7
159	SLU_P	Combination		0,4	0,0
159	SLU_VS	Combination		-0,7	-0,6
159	SLU_VC	Combination	Max	-0,5	-1,3
159	SLU_VC	Combination	Min	-0,9	-1,3
159	SLU_1.1	Combination	Max	-0,3	-0,7
159	SLU_1.1	Combination	Min	-1,0	-0,9
159	SLU_1.2	Combination		-0,7	-0,7
159	SLU_2a	Combination	Max	0,9	-0,8
159	SLU_2a	Combination	Min	0,5	-0,9
159	SLU_2b	Combination	Max	-0,5	-0,7
159	SLU_2b	Combination	Min	-0,9	-0,8
160	SLU_P	Combination		0,4	0,0
160	SLU_VS	Combination		-0,4	-0,5
160	SLU_VC	Combination	Max	-0,2	-1,2

160	SLU_VC	Combination	Min	-0,7	-1,3
160	SLU_1.1	Combination	Max	-0,1	-0,7
160	SLU_1.1	Combination	Min	-0,8	-0,9
160	SLU_1.2	Combination		-0,4	-0,7
160	SLU_2a	Combination	Max	1,2	-0,8
160	SLU_2a	Combination	Min	0,8	-0,9
160	SLU_2b	Combination	Max	-0,2	-0,7
160	SLU_2b	Combination	Min	-0,6	-0,8
161	SLU_P	Combination		0,4	0,0
161	SLU_VS	Combination		-0,2	-0,5
161	SLU_VC	Combination	Max	0,0	-1,1
161	SLU_VC	Combination	Min	-0,4	-1,2
161	SLU_1.1	Combination	Max	0,2	-0,6
161	SLU_1.1	Combination	Min	-0,5	-0,9
161	SLU_1.2	Combination		-0,2	-0,7
161	SLU_2a	Combination	Max	1,4	-0,7
161	SLU_2a	Combination	Min	1,0	-0,8
161	SLU_2b	Combination	Max	0,0	-0,6
161	SLU_2b	Combination	Min	-0,4	-0,8
162	SLU_P	Combination		0,4	0,0
162	SLU_VS	Combination		0,1	-0,4
162	SLU_VC	Combination	Max	0,3	-0,9
162	SLU_VC	Combination	Min	-0,1	-1,0
162	SLU_1.1	Combination	Max	0,4	-0,5
162	SLU_1.1	Combination	Min	-0,3	-0,8
162	SLU_1.2	Combination		0,1	-0,5
162	SLU_2a	Combination	Max	1,7	-0,6
162	SLU_2a	Combination	Min	1,2	-0,7
162	SLU_2b	Combination	Max	0,3	-0,5
162	SLU_2b	Combination	Min	-0,1	-0,6
166	SLU_P	Combination		0,4	0,0
166	SLU_VS	Combination		0,3	-0,2
166	SLU_VC	Combination	Max	0,5	-0,6
166	SLU_VC	Combination	Min	0,1	-0,7
166	SLU_1.1	Combination	Max	0,7	-0,3
166	SLU_1.1	Combination	Min	0,0	-0,6
166	SLU_1.2	Combination		0,3	-0,3
166	SLU_2a	Combination	Max	1,9	-0,4
166	SLU_2a	Combination	Min	1,5	-0,5
166	SLU_2b	Combination	Max	0,5	-0,3
166	SLU_2b	Combination	Min	0,1	-0,5
178	SLU_P	Combination		0,1	0,0
178	SLU_VS	Combination		-2,2	-0,1
178	SLU_VC	Combination	Max	-2,1	-0,4
178	SLU_VC	Combination	Min	-2,4	-0,6
178	SLU_1.1	Combination	Max	-2,0	-0,2
178	SLU_1.1	Combination	Min	-2,5	-0,5
178	SLU_1.2	Combination		-2,3	-0,2
178	SLU_2a	Combination	Max	-1,1	-0,3
178	SLU_2a	Combination	Min	-1,4	-0,4
178	SLU_2b	Combination	Max	-2,1	-0,2
178	SLU_2b	Combination	Min	-2,4	-0,4
182	SLU_P	Combination		0,1	0,0
182	SLU_VS	Combination		-2,0	-0,4

182	SLU_VC	Combination	Max	-1,9	-1,1
182	SLU_VC	Combination	Min	-2,1	-1,2
182	SLU_1.1	Combination	Max	-1,8	-0,6
182	SLU_1.1	Combination	Min	-2,2	-0,8
182	SLU_1.2	Combination		-2,0	-0,6
182	SLU_2a	Combination	Max	-0,8	-0,6
182	SLU_2a	Combination	Min	-1,1	-0,8
182	SLU_2b	Combination	Max	-1,8	-0,6
182	SLU_2b	Combination	Min	-2,1	-0,7
183	SLU_P	Combination		0,1	0,0
183	SLU_VS	Combination		-1,7	-0,7
183	SLU_VC	Combination	Max	-1,6	-1,6
183	SLU_VC	Combination	Min	-1,8	-1,7
183	SLU_1.1	Combination	Max	-1,5	-0,9
183	SLU_1.1	Combination	Min	-1,9	-1,1
183	SLU_1.2	Combination		-1,7	-0,9
183	SLU_2a	Combination	Max	-0,5	-1,0
183	SLU_2a	Combination	Min	-0,8	-1,1
183	SLU_2b	Combination	Max	-1,6	-0,9
183	SLU_2b	Combination	Min	-1,8	-1,0
184	SLU_P	Combination		0,1	0,0
184	SLU_VS	Combination		-1,4	-0,8
184	SLU_VC	Combination	Max	-1,3	-1,9
184	SLU_VC	Combination	Min	-1,6	-2,0
184	SLU_1.1	Combination	Max	-1,2	-1,1
184	SLU_1.1	Combination	Min	-1,6	-1,3
184	SLU_1.2	Combination		-1,4	-1,1
184	SLU_2a	Combination	Max	-0,3	-1,2
184	SLU_2a	Combination	Min	-0,5	-1,3
184	SLU_2b	Combination	Max	-1,3	-1,1
184	SLU_2b	Combination	Min	-1,5	-1,2
185	SLU_P	Combination		0,1	0,0
185	SLU_VS	Combination		-1,1	-0,9
185	SLU_VC	Combination	Max	-1,0	-2,0
185	SLU_VC	Combination	Min	-1,3	-2,1
185	SLU_1.1	Combination	Max	-0,9	-1,2
185	SLU_1.1	Combination	Min	-1,3	-1,4
185	SLU_1.2	Combination		-1,1	-1,2
185	SLU_2a	Combination	Max	0,0	-1,2
185	SLU_2a	Combination	Min	-0,2	-1,3
185	SLU_2b	Combination	Max	-1,0	-1,2
185	SLU_2b	Combination	Min	-1,2	-1,3
186	SLU_P	Combination		0,1	0,0
186	SLU_VS	Combination		-0,8	-0,9
186	SLU_VC	Combination	Max	-0,7	-1,9
186	SLU_VC	Combination	Min	-1,0	-2,0
186	SLU_1.1	Combination	Max	-0,6	-1,1
186	SLU_1.1	Combination	Min	-1,0	-1,3
186	SLU_1.2	Combination		-0,8	-1,1
186	SLU_2a	Combination	Max	0,3	-1,2
186	SLU_2a	Combination	Min	0,0	-1,2
186	SLU_2b	Combination	Max	-0,7	-1,1
186	SLU_2b	Combination	Min	-0,9	-1,2
187	SLU_P	Combination		0,1	0,0

187	SLU_VS	Combination		-0,5	-0,7
187	SLU_VC	Combination	Max	-0,4	-1,6
187	SLU_VC	Combination	Min	-0,7	-1,6
187	SLU_1.1	Combination	Max	-0,3	-0,9
187	SLU_1.1	Combination	Min	-0,7	-1,1
187	SLU_1.2	Combination		-0,5	-0,9
187	SLU_2a	Combination	Max	0,6	-1,0
187	SLU_2a	Combination	Min	0,3	-1,0
187	SLU_2b	Combination	Max	-0,4	-0,9
187	SLU_2b	Combination	Min	-0,6	-1,0
188	SLU_P	Combination		0,1	0,0
188	SLU_VS	Combination		-0,2	-0,5
188	SLU_VC	Combination	Max	-0,1	-1,1
188	SLU_VC	Combination	Min	-0,4	-1,1
188	SLU_1.1	Combination	Max	0,0	-0,6
188	SLU_1.1	Combination	Min	-0,4	-0,8
188	SLU_1.2	Combination		-0,2	-0,6
188	SLU_2a	Combination	Max	0,9	-0,7
188	SLU_2a	Combination	Min	0,6	-0,7
188	SLU_2b	Combination	Max	-0,1	-0,6
188	SLU_2b	Combination	Min	-0,3	-0,7
192	SLU_P	Combination		0,1	0,0
192	SLU_VS	Combination		0,1	-0,2
192	SLU_VC	Combination	Max	0,2	-0,5
192	SLU_VC	Combination	Min	0,0	-0,5
192	SLU_1.1	Combination	Max	0,3	-0,3
192	SLU_1.1	Combination	Min	-0,1	-0,4
192	SLU_1.2	Combination		0,1	-0,3
192	SLU_2a	Combination	Max	1,1	-0,3
192	SLU_2a	Combination	Min	0,9	-0,4
192	SLU_2b	Combination	Max	0,2	-0,3
192	SLU_2b	Combination	Min	0,0	-0,4
204	SLU_P	Combination		0,1	0,0
204	SLU_VS	Combination		-2,1	-0,1
204	SLU_VC	Combination	Max	-2,0	-0,3
204	SLU_VC	Combination	Min	-2,2	-0,4
204	SLU_1.1	Combination	Max	-1,9	-0,2
204	SLU_1.1	Combination	Min	-2,3	-0,3
204	SLU_1.2	Combination		-2,1	-0,2
204	SLU_2a	Combination	Max	-1,2	-0,2
204	SLU_2a	Combination	Min	-1,4	-0,3
204	SLU_2b	Combination	Max	-2,0	-0,2
204	SLU_2b	Combination	Min	-2,2	-0,2
208	SLU_P	Combination		0,1	0,0
208	SLU_VS	Combination		-1,8	-0,3
208	SLU_VC	Combination	Max	-1,7	-0,8
208	SLU_VC	Combination	Min	-1,9	-0,9
208	SLU_1.1	Combination	Max	-1,6	-0,5
208	SLU_1.1	Combination	Min	-2,0	-0,6
208	SLU_1.2	Combination		-1,8	-0,5
208	SLU_2a	Combination	Max	-0,9	-0,5
208	SLU_2a	Combination	Min	-1,1	-0,6
208	SLU_2b	Combination	Max	-1,7	-0,5
208	SLU_2b	Combination	Min	-1,9	-0,5

209	SLU_P	Combination		0,1	0,0
209	SLU_VS	Combination		-1,5	-0,5
209	SLU_VC	Combination	Max	-1,4	-1,2
209	SLU_VC	Combination	Min	-1,7	-1,3
209	SLU_1.1	Combination	Max	-1,4	-0,7
209	SLU_1.1	Combination	Min	-1,7	-0,8
209	SLU_1.2	Combination		-1,6	-0,7
209	SLU_2a	Combination	Max	-0,7	-0,7
209	SLU_2a	Combination	Min	-0,9	-0,8
209	SLU_2b	Combination	Max	-1,4	-0,7
209	SLU_2b	Combination	Min	-1,7	-0,8
210	SLU_P	Combination		0,1	0,0
210	SLU_VS	Combination		-1,3	-0,7
210	SLU_VC	Combination	Max	-1,2	-1,5
210	SLU_VC	Combination	Min	-1,4	-1,5
210	SLU_1.1	Combination	Max	-1,1	-0,9
210	SLU_1.1	Combination	Min	-1,5	-1,0
210	SLU_1.2	Combination		-1,3	-0,9
210	SLU_2a	Combination	Max	-0,4	-0,9
210	SLU_2a	Combination	Min	-0,6	-0,9
210	SLU_2b	Combination	Max	-1,2	-0,9
210	SLU_2b	Combination	Min	-1,4	-0,9
211	SLU_P	Combination		0,1	0,0
211	SLU_VS	Combination		-1,0	-0,7
211	SLU_VC	Combination	Max	-0,9	-1,6
211	SLU_VC	Combination	Min	-1,1	-1,6
211	SLU_1.1	Combination	Max	-0,8	-0,9
211	SLU_1.1	Combination	Min	-1,2	-1,0
211	SLU_1.2	Combination		-1,0	-0,9
211	SLU_2a	Combination	Max	-0,1	-0,9
211	SLU_2a	Combination	Min	-0,4	-1,0
211	SLU_2b	Combination	Max	-0,9	-0,9
211	SLU_2b	Combination	Min	-1,1	-1,0
212	SLU_P	Combination		0,1	0,0
212	SLU_VS	Combination		-0,7	-0,7
212	SLU_VC	Combination	Max	-0,6	-1,5
212	SLU_VC	Combination	Min	-0,9	-1,5
212	SLU_1.1	Combination	Max	-0,5	-0,9
212	SLU_1.1	Combination	Min	-0,9	-1,0
212	SLU_1.2	Combination		-0,7	-0,9
212	SLU_2a	Combination	Max	0,1	-0,9
212	SLU_2a	Combination	Min	-0,1	-0,9
212	SLU_2b	Combination	Max	-0,6	-0,9
212	SLU_2b	Combination	Min	-0,8	-0,9
213	SLU_P	Combination		0,1	0,0
213	SLU_VS	Combination		-0,5	-0,5
213	SLU_VC	Combination	Max	-0,4	-1,2
213	SLU_VC	Combination	Min	-0,6	-1,3
213	SLU_1.1	Combination	Max	-0,3	-0,7
213	SLU_1.1	Combination	Min	-0,6	-0,8
213	SLU_1.2	Combination		-0,5	-0,7
213	SLU_2a	Combination	Max	0,4	-0,7
213	SLU_2a	Combination	Min	0,2	-0,8
213	SLU_2b	Combination	Max	-0,4	-0,7

213	SLU_2b	Combination	Min	-0,6	-0,8
214	SLU_P	Combination		0,1	0,0
214	SLU_VS	Combination		-0,2	-0,4
214	SLU_VC	Combination	Max	-0,1	-0,8
214	SLU_VC	Combination	Min	-0,3	-0,9
214	SLU_1.1	Combination	Max	0,0	-0,5
214	SLU_1.1	Combination	Min	-0,4	-0,6
214	SLU_1.2	Combination		-0,2	-0,5
214	SLU_2a	Combination	Max	0,6	-0,5
214	SLU_2a	Combination	Min	0,4	-0,6
214	SLU_2b	Combination	Max	-0,1	-0,5
214	SLU_2b	Combination	Min	-0,3	-0,6
218	SLU_P	Combination		0,1	0,0
218	SLU_VS	Combination		0,1	-0,2
218	SLU_VC	Combination	Max	0,2	-0,4
218	SLU_VC	Combination	Min	0,0	-0,5
218	SLU_1.1	Combination	Max	0,3	-0,2
218	SLU_1.1	Combination	Min	-0,1	-0,3
218	SLU_1.2	Combination		0,1	-0,2
218	SLU_2a	Combination	Max	0,9	-0,3
218	SLU_2a	Combination	Min	0,7	-0,3
218	SLU_2b	Combination	Max	0,2	-0,2
218	SLU_2b	Combination	Min	0,0	-0,3
230	SLU_P	Combination		0,1	0,0
230	SLU_VS	Combination		-2,1	-0,1
230	SLU_VC	Combination	Max	-2,0	-0,3
230	SLU_VC	Combination	Min	-2,2	-0,4
230	SLU_1.1	Combination	Max	-1,9	-0,2
230	SLU_1.1	Combination	Min	-2,3	-0,3
230	SLU_1.2	Combination		-2,1	-0,2
230	SLU_2a	Combination	Max	-1,2	-0,2
230	SLU_2a	Combination	Min	-1,4	-0,3
230	SLU_2b	Combination	Max	-2,0	-0,2
230	SLU_2b	Combination	Min	-2,2	-0,2
234	SLU_P	Combination		0,1	0,0
234	SLU_VS	Combination		-1,8	-0,3
234	SLU_VC	Combination	Max	-1,7	-0,8
234	SLU_VC	Combination	Min	-1,9	-0,9
234	SLU_1.1	Combination	Max	-1,6	-0,5
234	SLU_1.1	Combination	Min	-2,0	-0,6
234	SLU_1.2	Combination		-1,8	-0,5
234	SLU_2a	Combination	Max	-0,9	-0,5
234	SLU_2a	Combination	Min	-1,1	-0,5
234	SLU_2b	Combination	Max	-1,7	-0,5
234	SLU_2b	Combination	Min	-1,9	-0,5
235	SLU_P	Combination		0,1	0,0
235	SLU_VS	Combination		-1,5	-0,5
235	SLU_VC	Combination	Max	-1,4	-1,2
235	SLU_VC	Combination	Min	-1,7	-1,3
235	SLU_1.1	Combination	Max	-1,4	-0,7
235	SLU_1.1	Combination	Min	-1,7	-0,8
235	SLU_1.2	Combination		-1,5	-0,7
235	SLU_2a	Combination	Max	-0,7	-0,7
235	SLU_2a	Combination	Min	-0,9	-0,8

235	SLU_2b	Combination	Max	-1,4	-0,7
235	SLU_2b	Combination	Min	-1,7	-0,8
236	SLU_P	Combination		0,1	0,0
236	SLU_VS	Combination		-1,3	-0,7
236	SLU_VC	Combination	Max	-1,2	-1,5
236	SLU_VC	Combination	Min	-1,4	-1,5
236	SLU_1.1	Combination	Max	-1,1	-0,9
236	SLU_1.1	Combination	Min	-1,5	-1,0
236	SLU_1.2	Combination		-1,3	-0,9
236	SLU_2a	Combination	Max	-0,4	-0,9
236	SLU_2a	Combination	Min	-0,6	-0,9
236	SLU_2b	Combination	Max	-1,2	-0,9
236	SLU_2b	Combination	Min	-1,4	-0,9
237	SLU_P	Combination		0,1	0,0
237	SLU_VS	Combination		-1,0	-0,7
237	SLU_VC	Combination	Max	-0,9	-1,6
237	SLU_VC	Combination	Min	-1,1	-1,6
237	SLU_1.1	Combination	Max	-0,8	-0,9
237	SLU_1.1	Combination	Min	-1,2	-1,0
237	SLU_1.2	Combination		-1,0	-0,9
237	SLU_2a	Combination	Max	-0,1	-0,9
237	SLU_2a	Combination	Min	-0,3	-1,0
237	SLU_2b	Combination	Max	-0,9	-0,9
237	SLU_2b	Combination	Min	-1,1	-1,0
238	SLU_P	Combination		0,1	0,0
238	SLU_VS	Combination		-0,7	-0,7
238	SLU_VC	Combination	Max	-0,6	-1,5
238	SLU_VC	Combination	Min	-0,8	-1,5
238	SLU_1.1	Combination	Max	-0,5	-0,9
238	SLU_1.1	Combination	Min	-0,9	-1,0
238	SLU_1.2	Combination		-0,7	-0,9
238	SLU_2a	Combination	Max	0,1	-0,9
238	SLU_2a	Combination	Min	-0,1	-0,9
238	SLU_2b	Combination	Max	-0,6	-0,9
238	SLU_2b	Combination	Min	-0,8	-0,9
239	SLU_P	Combination		0,1	0,0
239	SLU_VS	Combination		-0,5	-0,6
239	SLU_VC	Combination	Max	-0,4	-1,2
239	SLU_VC	Combination	Min	-0,6	-1,3
239	SLU_1.1	Combination	Max	-0,3	-0,7
239	SLU_1.1	Combination	Min	-0,6	-0,8
239	SLU_1.2	Combination		-0,5	-0,7
239	SLU_2a	Combination	Max	0,4	-0,7
239	SLU_2a	Combination	Min	0,2	-0,8
239	SLU_2b	Combination	Max	-0,3	-0,7
239	SLU_2b	Combination	Min	-0,6	-0,8
240	SLU_P	Combination		0,1	0,0
240	SLU_VS	Combination		-0,2	-0,4
240	SLU_VC	Combination	Max	-0,1	-0,8
240	SLU_VC	Combination	Min	-0,3	-0,9
240	SLU_1.1	Combination	Max	0,0	-0,5
240	SLU_1.1	Combination	Min	-0,4	-0,6
240	SLU_1.2	Combination		-0,2	-0,5
240	SLU_2a	Combination	Max	0,6	-0,5

240	SLU_2a	Combination	Min	0,4	-0,6
240	SLU_2b	Combination	Max	-0,1	-0,5
240	SLU_2b	Combination	Min	-0,3	-0,6
244	SLU_P	Combination		0,1	0,0
244	SLU_VS	Combination		0,1	-0,2
244	SLU_VC	Combination	Max	0,2	-0,4
244	SLU_VC	Combination	Min	0,0	-0,4
244	SLU_1.1	Combination	Max	0,3	-0,2
244	SLU_1.1	Combination	Min	-0,1	-0,3
244	SLU_1.2	Combination		0,1	-0,2
244	SLU_2a	Combination	Max	0,9	-0,3
244	SLU_2a	Combination	Min	0,7	-0,3
244	SLU_2b	Combination	Max	0,2	-0,2
244	SLU_2b	Combination	Min	0,0	-0,3
256	SLU_P	Combination		0,1	0,0
256	SLU_VS	Combination		-2,1	-0,2
256	SLU_VC	Combination	Max	-2,0	-0,4
256	SLU_VC	Combination	Min	-2,2	-0,4
256	SLU_1.1	Combination	Max	-1,9	-0,2
256	SLU_1.1	Combination	Min	-2,2	-0,3
256	SLU_1.2	Combination		-2,1	-0,2
256	SLU_2a	Combination	Max	-1,2	-0,2
256	SLU_2a	Combination	Min	-1,4	-0,3
256	SLU_2b	Combination	Max	-2,0	-0,2
256	SLU_2b	Combination	Min	-2,2	-0,3
260	SLU_P	Combination		0,1	0,0
260	SLU_VS	Combination		-1,8	-0,4
260	SLU_VC	Combination	Max	-1,7	-0,8
260	SLU_VC	Combination	Min	-1,9	-0,9
260	SLU_1.1	Combination	Max	-1,6	-0,5
260	SLU_1.1	Combination	Min	-2,0	-0,6
260	SLU_1.2	Combination		-1,8	-0,5
260	SLU_2a	Combination	Max	-0,9	-0,5
260	SLU_2a	Combination	Min	-1,1	-0,6
260	SLU_2b	Combination	Max	-1,7	-0,5
260	SLU_2b	Combination	Min	-1,9	-0,6
261	SLU_P	Combination		0,1	0,0
261	SLU_VS	Combination		-1,5	-0,6
261	SLU_VC	Combination	Max	-1,4	-1,2
261	SLU_VC	Combination	Min	-1,6	-1,3
261	SLU_1.1	Combination	Max	-1,3	-0,7
261	SLU_1.1	Combination	Min	-1,7	-0,8
261	SLU_1.2	Combination		-1,5	-0,7
261	SLU_2a	Combination	Max	-0,7	-0,7
261	SLU_2a	Combination	Min	-0,9	-0,8
261	SLU_2b	Combination	Max	-1,4	-0,7
261	SLU_2b	Combination	Min	-1,6	-0,8
262	SLU_P	Combination		0,1	0,0
262	SLU_VS	Combination		-1,3	-0,7
262	SLU_VC	Combination	Max	-1,2	-1,5
262	SLU_VC	Combination	Min	-1,4	-1,5
262	SLU_1.1	Combination	Max	-1,1	-0,9
262	SLU_1.1	Combination	Min	-1,4	-1,0
262	SLU_1.2	Combination		-1,3	-0,9

262	SLU_2a	Combination	Max	-0,4	-0,9
262	SLU_2a	Combination	Min	-0,6	-0,9
262	SLU_2b	Combination	Max	-1,2	-0,9
262	SLU_2b	Combination	Min	-1,4	-0,9
263	SLU_P	Combination		0,1	0,0
263	SLU_VS	Combination		-1,0	-0,7
263	SLU_VC	Combination	Max	-0,9	-1,6
263	SLU_VC	Combination	Min	-1,1	-1,6
263	SLU_1.1	Combination	Max	-0,8	-0,9
263	SLU_1.1	Combination	Min	-1,2	-1,0
263	SLU_1.2	Combination		-1,0	-0,9
263	SLU_2a	Combination	Max	-0,1	-1,0
263	SLU_2a	Combination	Min	-0,3	-1,0
263	SLU_2b	Combination	Max	-0,9	-0,9
263	SLU_2b	Combination	Min	-1,1	-1,0
264	SLU_P	Combination		0,1	0,0
264	SLU_VS	Combination		-0,7	-0,7
264	SLU_VC	Combination	Max	-0,6	-1,5
264	SLU_VC	Combination	Min	-0,8	-1,5
264	SLU_1.1	Combination	Max	-0,5	-0,9
264	SLU_1.1	Combination	Min	-0,9	-1,0
264	SLU_1.2	Combination		-0,7	-0,9
264	SLU_2a	Combination	Max	0,1	-0,9
264	SLU_2a	Combination	Min	-0,1	-0,9
264	SLU_2b	Combination	Max	-0,6	-0,9
264	SLU_2b	Combination	Min	-0,8	-0,9
265	SLU_P	Combination		0,1	0,0
265	SLU_VS	Combination		-0,4	-0,6
265	SLU_VC	Combination	Max	-0,3	-1,2
265	SLU_VC	Combination	Min	-0,5	-1,3
265	SLU_1.1	Combination	Max	-0,3	-0,7
265	SLU_1.1	Combination	Min	-0,6	-0,8
265	SLU_1.2	Combination		-0,4	-0,7
265	SLU_2a	Combination	Max	0,4	-0,7
265	SLU_2a	Combination	Min	0,2	-0,8
265	SLU_2b	Combination	Max	-0,3	-0,7
265	SLU_2b	Combination	Min	-0,5	-0,8
266	SLU_P	Combination		0,1	0,0
266	SLU_VS	Combination		-0,2	-0,4
266	SLU_VC	Combination	Max	-0,1	-0,8
266	SLU_VC	Combination	Min	-0,3	-0,9
266	SLU_1.1	Combination	Max	0,0	-0,5
266	SLU_1.1	Combination	Min	-0,3	-0,6
266	SLU_1.2	Combination		-0,2	-0,5
266	SLU_2a	Combination	Max	0,7	-0,5
266	SLU_2a	Combination	Min	0,4	-0,6
266	SLU_2b	Combination	Max	-0,1	-0,5
266	SLU_2b	Combination	Min	-0,3	-0,5
270	SLU_P	Combination		0,1	0,0
270	SLU_VS	Combination		0,1	-0,2
270	SLU_VC	Combination	Max	0,2	-0,4
270	SLU_VC	Combination	Min	0,0	-0,4
270	SLU_1.1	Combination	Max	0,3	-0,2
270	SLU_1.1	Combination	Min	-0,1	-0,3

270	SLU_1.2	Combination		0,1	-0,2
270	SLU_2a	Combination	Max	0,9	-0,3
270	SLU_2a	Combination	Min	0,7	-0,3
270	SLU_2b	Combination	Max	0,2	-0,2
270	SLU_2b	Combination	Min	0,0	-0,3
282	SLU_P	Combination		0,0	0,0
282	SLU_VS	Combination		-2,2	-0,2
282	SLU_VC	Combination	Max	-2,2	-0,4
282	SLU_VC	Combination	Min	-2,2	-0,4
282	SLU_1.1	Combination	Max	-2,2	-0,2
282	SLU_1.1	Combination	Min	-2,2	-0,3
282	SLU_1.2	Combination		-2,2	-0,2
282	SLU_2a	Combination	Max	-1,6	-0,2
282	SLU_2a	Combination	Min	-1,6	-0,3
282	SLU_2b	Combination	Max	-2,2	-0,2
282	SLU_2b	Combination	Min	-2,2	-0,3
286	SLU_P	Combination		0,0	0,0
286	SLU_VS	Combination		-1,9	-0,4
286	SLU_VC	Combination	Max	-1,9	-0,9
286	SLU_VC	Combination	Min	-1,9	-0,9
286	SLU_1.1	Combination	Max	-1,9	-0,5
286	SLU_1.1	Combination	Min	-1,9	-0,6
286	SLU_1.2	Combination		-1,9	-0,5
286	SLU_2a	Combination	Max	-1,3	-0,5
286	SLU_2a	Combination	Min	-1,3	-0,6
286	SLU_2b	Combination	Max	-1,9	-0,5
286	SLU_2b	Combination	Min	-1,9	-0,6
287	SLU_P	Combination		0,0	0,0
287	SLU_VS	Combination		-1,6	-0,6
287	SLU_VC	Combination	Max	-1,6	-1,3
287	SLU_VC	Combination	Min	-1,6	-1,3
287	SLU_1.1	Combination	Max	-1,6	-0,7
287	SLU_1.1	Combination	Min	-1,6	-0,8
287	SLU_1.2	Combination		-1,6	-0,8
287	SLU_2a	Combination	Max	-1,0	-0,8
287	SLU_2a	Combination	Min	-1,0	-0,8
287	SLU_2b	Combination	Max	-1,6	-0,8
287	SLU_2b	Combination	Min	-1,6	-0,8
288	SLU_P	Combination		0,0	0,0
288	SLU_VS	Combination		-1,4	-0,7
288	SLU_VC	Combination	Max	-1,4	-1,5
288	SLU_VC	Combination	Min	-1,4	-1,5
288	SLU_1.1	Combination	Max	-1,4	-0,9
288	SLU_1.1	Combination	Min	-1,4	-1,0
288	SLU_1.2	Combination		-1,4	-0,9
288	SLU_2a	Combination	Max	-0,8	-0,9
288	SLU_2a	Combination	Min	-0,8	-0,9
288	SLU_2b	Combination	Max	-1,4	-0,9
288	SLU_2b	Combination	Min	-1,4	-0,9
289	SLU_P	Combination		0,0	0,0
289	SLU_VS	Combination		-1,1	-0,7
289	SLU_VC	Combination	Max	-1,1	-1,6
289	SLU_VC	Combination	Min	-1,1	-1,6
289	SLU_1.1	Combination	Max	-1,1	-0,9

289	SLU_1.1	Combination	Min	-1,1	-1,0
289	SLU_1.2	Combination		-1,1	-1,0
289	SLU_2a	Combination	Max	-0,5	-1,0
289	SLU_2a	Combination	Min	-0,5	-1,0
289	SLU_2b	Combination	Max	-1,1	-1,0
289	SLU_2b	Combination	Min	-1,1	-1,0
290	SLU_P	Combination		0,0	0,0
290	SLU_VS	Combination		-0,8	-0,7
290	SLU_VC	Combination	Max	-0,8	-1,5
290	SLU_VC	Combination	Min	-0,8	-1,5
290	SLU_1.1	Combination	Max	-0,8	-0,9
290	SLU_1.1	Combination	Min	-0,8	-0,9
290	SLU_1.2	Combination		-0,8	-0,9
290	SLU_2a	Combination	Max	-0,2	-0,9
290	SLU_2a	Combination	Min	-0,2	-0,9
290	SLU_2b	Combination	Max	-0,8	-0,9
290	SLU_2b	Combination	Min	-0,8	-0,9
291	SLU_P	Combination		0,0	0,0
291	SLU_VS	Combination		-0,5	-0,6
291	SLU_VC	Combination	Max	-0,5	-1,2
291	SLU_VC	Combination	Min	-0,5	-1,2
291	SLU_1.1	Combination	Max	-0,5	-0,7
291	SLU_1.1	Combination	Min	-0,5	-0,8
291	SLU_1.2	Combination		-0,5	-0,7
291	SLU_2a	Combination	Max	0,0	-0,7
291	SLU_2a	Combination	Min	0,0	-0,7
291	SLU_2b	Combination	Max	-0,5	-0,7
291	SLU_2b	Combination	Min	-0,5	-0,7
292	SLU_P	Combination		0,0	0,0
292	SLU_VS	Combination		-0,3	-0,4
292	SLU_VC	Combination	Max	-0,2	-0,8
292	SLU_VC	Combination	Min	-0,3	-0,8
292	SLU_1.1	Combination	Max	-0,2	-0,5
292	SLU_1.1	Combination	Min	-0,3	-0,5
292	SLU_1.2	Combination		-0,3	-0,5
292	SLU_2a	Combination	Max	0,3	-0,5
292	SLU_2a	Combination	Min	0,3	-0,5
292	SLU_2b	Combination	Max	-0,2	-0,5
292	SLU_2b	Combination	Min	-0,3	-0,5
301	SLU_P	Combination		0,0	0,0
301	SLU_VS	Combination		0,0	-0,1
301	SLU_VC	Combination	Max	0,0	-0,3
301	SLU_VC	Combination	Min	0,0	-0,3
301	SLU_1.1	Combination	Max	0,0	-0,2
301	SLU_1.1	Combination	Min	0,0	-0,2
301	SLU_1.2	Combination		0,0	-0,2
301	SLU_2a	Combination	Max	0,5	-0,2
301	SLU_2a	Combination	Min	0,5	-0,2
301	SLU_2b	Combination	Max	0,0	-0,2
301	SLU_2b	Combination	Min	0,0	-0,2
			Max	1,9	0,0
			Min	-2,5	-2,1

TABLE: Joint Displacements - AFFIANCAMENTO - SLV					
Joint	OutputCase	CaseType	StepType	U1	U2
Text	Text	Text	Text	mm	mm
126	SISMA_SLV_L_AF	Combination	Max	1,0	0,5
126	SISMA_SLV_L_AF	Combination	Min	-4,3	-0,4
126	SISMA_SLV_T_AF	Combination	Max	-0,7	1,1
126	SISMA_SLV_T_AF	Combination	Min	-2,6	-0,9
126	SISMA_SLV_V_AF	Combination	Max	-0,7	0,4
126	SISMA_SLV_V_AF	Combination	Min	-2,5	-0,3
130	SISMA_SLV_L_AF	Combination	Max	1,2	0,6
130	SISMA_SLV_L_AF	Combination	Min	-4,1	-0,5
130	SISMA_SLV_T_AF	Combination	Max	-0,5	1,5
130	SISMA_SLV_T_AF	Combination	Min	-2,4	-1,3
130	SISMA_SLV_V_AF	Combination	Max	-0,6	0,5
130	SISMA_SLV_V_AF	Combination	Min	-2,3	-0,4
131	SISMA_SLV_L_AF	Combination	Max	1,4	0,7
131	SISMA_SLV_L_AF	Combination	Min	-3,9	-0,6
131	SISMA_SLV_T_AF	Combination	Max	-0,3	1,8
131	SISMA_SLV_T_AF	Combination	Min	-2,2	-1,6
131	SISMA_SLV_V_AF	Combination	Max	-0,4	0,6
131	SISMA_SLV_V_AF	Combination	Min	-2,1	-0,5
132	SISMA_SLV_L_AF	Combination	Max	1,6	0,8
132	SISMA_SLV_L_AF	Combination	Min	-3,7	-0,7
132	SISMA_SLV_T_AF	Combination	Max	-0,1	1,9
132	SISMA_SLV_T_AF	Combination	Min	-2,0	-1,8
132	SISMA_SLV_V_AF	Combination	Max	-0,2	0,7
132	SISMA_SLV_V_AF	Combination	Min	-1,9	-0,5
133	SISMA_SLV_L_AF	Combination	Max	1,8	0,8
133	SISMA_SLV_L_AF	Combination	Min	-3,5	-0,7
133	SISMA_SLV_T_AF	Combination	Max	0,1	2,0
133	SISMA_SLV_T_AF	Combination	Min	-1,8	-1,9
133	SISMA_SLV_V_AF	Combination	Max	0,0	0,7
133	SISMA_SLV_V_AF	Combination	Min	-1,7	-0,6
134	SISMA_SLV_L_AF	Combination	Max	1,9	0,7
134	SISMA_SLV_L_AF	Combination	Min	-3,3	-0,7
134	SISMA_SLV_T_AF	Combination	Max	0,3	1,9
134	SISMA_SLV_T_AF	Combination	Min	-1,6	-1,8
134	SISMA_SLV_V_AF	Combination	Max	0,2	0,6
134	SISMA_SLV_V_AF	Combination	Min	-1,5	-0,6
135	SISMA_SLV_L_AF	Combination	Max	2,1	0,6
135	SISMA_SLV_L_AF	Combination	Min	-3,1	-0,6
135	SISMA_SLV_T_AF	Combination	Max	0,4	1,6
135	SISMA_SLV_T_AF	Combination	Min	-1,4	-1,6
135	SISMA_SLV_V_AF	Combination	Max	0,4	0,5
135	SISMA_SLV_V_AF	Combination	Min	-1,3	-0,5
136	SISMA_SLV_L_AF	Combination	Max	2,2	0,5
136	SISMA_SLV_L_AF	Combination	Min	-2,8	-0,5
136	SISMA_SLV_T_AF	Combination	Max	0,6	1,3
136	SISMA_SLV_T_AF	Combination	Min	-1,2	-1,3
136	SISMA_SLV_V_AF	Combination	Max	0,5	0,4
136	SISMA_SLV_V_AF	Combination	Min	-1,1	-0,4
140	SISMA_SLV_L_AF	Combination	Max	2,4	0,4
140	SISMA_SLV_L_AF	Combination	Min	-2,6	-0,4
140	SISMA_SLV_T_AF	Combination	Max	0,8	0,9

140	SISMA_SLV_T_AF	Combination	Min	-1,0	-0,9
140	SISMA_SLV_V_AF	Combination	Max	0,7	0,3
140	SISMA_SLV_V_AF	Combination	Min	-0,9	-0,3
152	SISMA_SLV_L_AF	Combination	Max	2,6	0,4
152	SISMA_SLV_L_AF	Combination	Min	-5,2	-0,3
152	SISMA_SLV_T_AF	Combination	Max	0,1	0,7
152	SISMA_SLV_T_AF	Combination	Min	-2,8	-0,5
152	SISMA_SLV_V_AF	Combination	Max	0,1	0,3
152	SISMA_SLV_V_AF	Combination	Min	-2,7	-0,2
156	SISMA_SLV_L_AF	Combination	Max	2,8	0,7
156	SISMA_SLV_L_AF	Combination	Min	-5,0	-0,6
156	SISMA_SLV_T_AF	Combination	Max	0,3	1,5
156	SISMA_SLV_T_AF	Combination	Min	-2,6	-1,4
156	SISMA_SLV_V_AF	Combination	Max	0,3	0,6
156	SISMA_SLV_V_AF	Combination	Min	-2,6	-0,4
157	SISMA_SLV_L_AF	Combination	Max	2,9	1,0
157	SISMA_SLV_L_AF	Combination	Min	-4,9	-0,9
157	SISMA_SLV_T_AF	Combination	Max	0,5	2,3
157	SISMA_SLV_T_AF	Combination	Min	-2,4	-2,2
157	SISMA_SLV_V_AF	Combination	Max	0,5	0,8
157	SISMA_SLV_V_AF	Combination	Min	-2,4	-0,7
158	SISMA_SLV_L_AF	Combination	Max	3,1	1,1
158	SISMA_SLV_L_AF	Combination	Min	-4,7	-1,0
158	SISMA_SLV_T_AF	Combination	Max	0,7	2,8
158	SISMA_SLV_T_AF	Combination	Min	-2,2	-2,7
158	SISMA_SLV_V_AF	Combination	Max	0,6	0,9
158	SISMA_SLV_V_AF	Combination	Min	-2,2	-0,9
159	SISMA_SLV_L_AF	Combination	Max	3,2	1,2
159	SISMA_SLV_L_AF	Combination	Min	-4,5	-1,1
159	SISMA_SLV_T_AF	Combination	Max	0,8	3,0
159	SISMA_SLV_T_AF	Combination	Min	-2,1	-2,9
159	SISMA_SLV_V_AF	Combination	Max	0,8	1,0
159	SISMA_SLV_V_AF	Combination	Min	-2,0	-0,9
160	SISMA_SLV_L_AF	Combination	Max	3,4	1,1
160	SISMA_SLV_L_AF	Combination	Min	-4,3	-1,1
160	SISMA_SLV_T_AF	Combination	Max	1,0	2,8
160	SISMA_SLV_T_AF	Combination	Min	-1,9	-2,8
160	SISMA_SLV_V_AF	Combination	Max	1,0	0,9
160	SISMA_SLV_V_AF	Combination	Min	-1,8	-0,9
161	SISMA_SLV_L_AF	Combination	Max	3,5	0,9
161	SISMA_SLV_L_AF	Combination	Min	-4,1	-0,9
161	SISMA_SLV_T_AF	Combination	Max	1,1	2,4
161	SISMA_SLV_T_AF	Combination	Min	-1,7	-2,4
161	SISMA_SLV_V_AF	Combination	Max	1,1	0,8
161	SISMA_SLV_V_AF	Combination	Min	-1,7	-0,8
162	SISMA_SLV_L_AF	Combination	Max	3,7	0,7
162	SISMA_SLV_L_AF	Combination	Min	-3,9	-0,7
162	SISMA_SLV_T_AF	Combination	Max	1,3	1,7
162	SISMA_SLV_T_AF	Combination	Min	-1,5	-1,7
162	SISMA_SLV_V_AF	Combination	Max	1,3	0,6
162	SISMA_SLV_V_AF	Combination	Min	-1,5	-0,6
166	SISMA_SLV_L_AF	Combination	Max	3,8	0,4
166	SISMA_SLV_L_AF	Combination	Min	-3,7	-0,4
166	SISMA_SLV_T_AF	Combination	Max	1,4	0,9

166	SISMA_SLV_T_AF	Combination	Min	-1,3	-1,0
166	SISMA_SLV_V_AF	Combination	Max	1,4	0,3
166	SISMA_SLV_V_AF	Combination	Min	-1,3	-0,3
178	SISMA_SLV_L_AF	Combination	Max	1,0	0,5
178	SISMA_SLV_L_AF	Combination	Min	-4,3	-0,3
178	SISMA_SLV_T_AF	Combination	Max	-0,8	1,1
178	SISMA_SLV_T_AF	Combination	Min	-2,5	-0,9
178	SISMA_SLV_V_AF	Combination	Max	-0,8	0,4
178	SISMA_SLV_V_AF	Combination	Min	-2,5	-0,2
182	SISMA_SLV_L_AF	Combination	Max	1,2	1,0
182	SISMA_SLV_L_AF	Combination	Min	-4,0	-0,8
182	SISMA_SLV_T_AF	Combination	Max	-0,6	2,8
182	SISMA_SLV_T_AF	Combination	Min	-2,3	-2,6
182	SISMA_SLV_V_AF	Combination	Max	-0,6	0,9
182	SISMA_SLV_V_AF	Combination	Min	-2,3	-0,8
183	SISMA_SLV_L_AF	Combination	Max	1,3	1,4
183	SISMA_SLV_L_AF	Combination	Min	-3,8	-1,3
183	SISMA_SLV_T_AF	Combination	Max	-0,4	4,2
183	SISMA_SLV_T_AF	Combination	Min	-2,1	-4,0
183	SISMA_SLV_V_AF	Combination	Max	-0,4	1,3
183	SISMA_SLV_V_AF	Combination	Min	-2,1	-1,2
184	SISMA_SLV_L_AF	Combination	Max	1,5	1,7
184	SISMA_SLV_L_AF	Combination	Min	-3,6	-1,6
184	SISMA_SLV_T_AF	Combination	Max	-0,2	5,1
184	SISMA_SLV_T_AF	Combination	Min	-1,9	-5,0
184	SISMA_SLV_V_AF	Combination	Max	-0,2	1,6
184	SISMA_SLV_V_AF	Combination	Min	-1,9	-1,5
185	SISMA_SLV_L_AF	Combination	Max	1,7	1,8
185	SISMA_SLV_L_AF	Combination	Min	-3,4	-1,7
185	SISMA_SLV_T_AF	Combination	Max	0,0	5,4
185	SISMA_SLV_T_AF	Combination	Min	-1,7	-5,3
185	SISMA_SLV_V_AF	Combination	Max	0,0	1,7
185	SISMA_SLV_V_AF	Combination	Min	-1,7	-1,6
186	SISMA_SLV_L_AF	Combination	Max	1,9	1,7
186	SISMA_SLV_L_AF	Combination	Min	-3,2	-1,6
186	SISMA_SLV_T_AF	Combination	Max	0,2	5,0
186	SISMA_SLV_T_AF	Combination	Min	-1,5	-4,9
186	SISMA_SLV_V_AF	Combination	Max	0,2	1,6
186	SISMA_SLV_V_AF	Combination	Min	-1,4	-1,5
187	SISMA_SLV_L_AF	Combination	Max	2,0	1,3
187	SISMA_SLV_L_AF	Combination	Min	-2,9	-1,3
187	SISMA_SLV_T_AF	Combination	Max	0,4	4,0
187	SISMA_SLV_T_AF	Combination	Min	-1,2	-3,9
187	SISMA_SLV_V_AF	Combination	Max	0,4	1,2
187	SISMA_SLV_V_AF	Combination	Min	-1,2	-1,2
188	SISMA_SLV_L_AF	Combination	Max	2,2	0,8
188	SISMA_SLV_L_AF	Combination	Min	-2,7	-0,8
188	SISMA_SLV_T_AF	Combination	Max	0,5	2,5
188	SISMA_SLV_T_AF	Combination	Min	-1,0	-2,5
188	SISMA_SLV_V_AF	Combination	Max	0,5	0,8
188	SISMA_SLV_V_AF	Combination	Min	-1,0	-0,8
192	SISMA_SLV_L_AF	Combination	Max	2,4	0,3
192	SISMA_SLV_L_AF	Combination	Min	-2,4	-0,3
192	SISMA_SLV_T_AF	Combination	Max	0,8	0,9

192	SISMA_SLV_T_AF	Combination	Min	-0,8	-0,9
192	SISMA_SLV_V_AF	Combination	Max	0,7	0,3
192	SISMA_SLV_V_AF	Combination	Min	-0,8	-0,3
204	SISMA_SLV_L_AF	Combination	Max	0,4	0,3
204	SISMA_SLV_L_AF	Combination	Min	-3,5	-0,2
204	SISMA_SLV_T_AF	Combination	Max	-0,9	0,7
204	SISMA_SLV_T_AF	Combination	Min	-2,1	-0,6
204	SISMA_SLV_V_AF	Combination	Max	-0,9	0,3
204	SISMA_SLV_V_AF	Combination	Min	-2,1	-0,2
208	SISMA_SLV_L_AF	Combination	Max	0,6	0,6
208	SISMA_SLV_L_AF	Combination	Min	-3,3	-0,5
208	SISMA_SLV_T_AF	Combination	Max	-0,7	1,8
208	SISMA_SLV_T_AF	Combination	Min	-1,9	-1,7
208	SISMA_SLV_V_AF	Combination	Max	-0,7	0,6
208	SISMA_SLV_V_AF	Combination	Min	-1,9	-0,5
209	SISMA_SLV_L_AF	Combination	Max	0,8	0,9
209	SISMA_SLV_L_AF	Combination	Min	-3,1	-0,8
209	SISMA_SLV_T_AF	Combination	Max	-0,5	2,7
209	SISMA_SLV_T_AF	Combination	Min	-1,7	-2,6
209	SISMA_SLV_V_AF	Combination	Max	-0,6	0,8
209	SISMA_SLV_V_AF	Combination	Min	-1,7	-0,8
210	SISMA_SLV_L_AF	Combination	Max	1,0	1,0
210	SISMA_SLV_L_AF	Combination	Min	-2,8	-1,0
210	SISMA_SLV_T_AF	Combination	Max	-0,4	3,3
210	SISMA_SLV_T_AF	Combination	Min	-1,5	-3,2
210	SISMA_SLV_V_AF	Combination	Max	-0,4	1,0
210	SISMA_SLV_V_AF	Combination	Min	-1,5	-1,0
211	SISMA_SLV_L_AF	Combination	Max	1,1	1,1
211	SISMA_SLV_L_AF	Combination	Min	-2,6	-1,0
211	SISMA_SLV_T_AF	Combination	Max	-0,2	3,5
211	SISMA_SLV_T_AF	Combination	Min	-1,3	-3,5
211	SISMA_SLV_V_AF	Combination	Max	-0,2	1,1
211	SISMA_SLV_V_AF	Combination	Min	-1,3	-1,0
212	SISMA_SLV_L_AF	Combination	Max	1,3	1,0
212	SISMA_SLV_L_AF	Combination	Min	-2,4	-1,0
212	SISMA_SLV_T_AF	Combination	Max	0,0	3,3
212	SISMA_SLV_T_AF	Combination	Min	-1,1	-3,2
212	SISMA_SLV_V_AF	Combination	Max	0,0	1,0
212	SISMA_SLV_V_AF	Combination	Min	-1,1	-1,0
213	SISMA_SLV_L_AF	Combination	Max	1,4	0,8
213	SISMA_SLV_L_AF	Combination	Min	-2,2	-0,8
213	SISMA_SLV_T_AF	Combination	Max	0,2	2,7
213	SISMA_SLV_T_AF	Combination	Min	-0,9	-2,6
213	SISMA_SLV_V_AF	Combination	Max	0,2	0,8
213	SISMA_SLV_V_AF	Combination	Min	-0,9	-0,8
214	SISMA_SLV_L_AF	Combination	Max	1,6	0,6
214	SISMA_SLV_L_AF	Combination	Min	-2,0	-0,5
214	SISMA_SLV_T_AF	Combination	Max	0,4	1,8
214	SISMA_SLV_T_AF	Combination	Min	-0,7	-1,7
214	SISMA_SLV_V_AF	Combination	Max	0,4	0,5
214	SISMA_SLV_V_AF	Combination	Min	-0,7	-0,5
218	SISMA_SLV_L_AF	Combination	Max	1,8	0,3
218	SISMA_SLV_L_AF	Combination	Min	-1,8	-0,3
218	SISMA_SLV_T_AF	Combination	Max	0,6	0,7

218	SISMA_SLV_T_AF	Combination	Min	-0,6	-0,7
218	SISMA_SLV_V_AF	Combination	Max	0,5	0,2
218	SISMA_SLV_V_AF	Combination	Min	-0,5	-0,2
230	SISMA_SLV_L_AF	Combination	Max	0,4	0,3
230	SISMA_SLV_L_AF	Combination	Min	-3,5	-0,2
230	SISMA_SLV_T_AF	Combination	Max	-0,9	0,7
230	SISMA_SLV_T_AF	Combination	Min	-2,2	-0,7
230	SISMA_SLV_V_AF	Combination	Max	-0,9	0,2
230	SISMA_SLV_V_AF	Combination	Min	-2,1	-0,2
234	SISMA_SLV_L_AF	Combination	Max	0,6	0,6
234	SISMA_SLV_L_AF	Combination	Min	-3,3	-0,5
234	SISMA_SLV_T_AF	Combination	Max	-0,7	1,9
234	SISMA_SLV_T_AF	Combination	Min	-2,0	-1,8
234	SISMA_SLV_V_AF	Combination	Max	-0,7	0,6
234	SISMA_SLV_V_AF	Combination	Min	-1,9	-0,5
235	SISMA_SLV_L_AF	Combination	Max	0,8	0,9
235	SISMA_SLV_L_AF	Combination	Min	-3,1	-0,8
235	SISMA_SLV_T_AF	Combination	Max	-0,5	2,8
235	SISMA_SLV_T_AF	Combination	Min	-1,7	-2,8
235	SISMA_SLV_V_AF	Combination	Max	-0,5	0,9
235	SISMA_SLV_V_AF	Combination	Min	-1,7	-0,8
236	SISMA_SLV_L_AF	Combination	Max	1,0	1,1
236	SISMA_SLV_L_AF	Combination	Min	-2,9	-1,1
236	SISMA_SLV_T_AF	Combination	Max	-0,3	3,5
236	SISMA_SLV_T_AF	Combination	Min	-1,5	-3,5
236	SISMA_SLV_V_AF	Combination	Max	-0,4	1,1
236	SISMA_SLV_V_AF	Combination	Min	-1,5	-1,0
237	SISMA_SLV_L_AF	Combination	Max	1,1	1,2
237	SISMA_SLV_L_AF	Combination	Min	-2,7	-1,1
237	SISMA_SLV_T_AF	Combination	Max	-0,2	3,7
237	SISMA_SLV_T_AF	Combination	Min	-1,3	-3,7
237	SISMA_SLV_V_AF	Combination	Max	-0,2	1,1
237	SISMA_SLV_V_AF	Combination	Min	-1,3	-1,1
238	SISMA_SLV_L_AF	Combination	Max	1,3	1,1
238	SISMA_SLV_L_AF	Combination	Min	-2,4	-1,1
238	SISMA_SLV_T_AF	Combination	Max	0,0	3,5
238	SISMA_SLV_T_AF	Combination	Min	-1,2	-3,4
238	SISMA_SLV_V_AF	Combination	Max	0,0	1,1
238	SISMA_SLV_V_AF	Combination	Min	-1,1	-1,0
239	SISMA_SLV_L_AF	Combination	Max	1,5	0,9
239	SISMA_SLV_L_AF	Combination	Min	-2,2	-0,9
239	SISMA_SLV_T_AF	Combination	Max	0,2	2,8
239	SISMA_SLV_T_AF	Combination	Min	-1,0	-2,8
239	SISMA_SLV_V_AF	Combination	Max	0,2	0,9
239	SISMA_SLV_V_AF	Combination	Min	-0,9	-0,8
240	SISMA_SLV_L_AF	Combination	Max	1,6	0,6
240	SISMA_SLV_L_AF	Combination	Min	-2,0	-0,6
240	SISMA_SLV_T_AF	Combination	Max	0,4	1,9
240	SISMA_SLV_T_AF	Combination	Min	-0,8	-1,8
240	SISMA_SLV_V_AF	Combination	Max	0,4	0,6
240	SISMA_SLV_V_AF	Combination	Min	-0,7	-0,6
244	SISMA_SLV_L_AF	Combination	Max	1,8	0,3
244	SISMA_SLV_L_AF	Combination	Min	-1,8	-0,3
244	SISMA_SLV_T_AF	Combination	Max	0,6	0,8

244	SISMA_SLV_T_AF	Combination	Min	-0,6	-0,8
244	SISMA_SLV_V_AF	Combination	Max	0,5	0,2
244	SISMA_SLV_V_AF	Combination	Min	-0,5	-0,2
256	SISMA_SLV_L_AF	Combination	Max	0,4	0,2
256	SISMA_SLV_L_AF	Combination	Min	-3,4	-0,2
256	SISMA_SLV_T_AF	Combination	Max	-0,9	0,7
256	SISMA_SLV_T_AF	Combination	Min	-2,1	-0,7
256	SISMA_SLV_V_AF	Combination	Max	-0,9	0,2
256	SISMA_SLV_V_AF	Combination	Min	-2,1	-0,2
260	SISMA_SLV_L_AF	Combination	Max	0,6	0,6
260	SISMA_SLV_L_AF	Combination	Min	-3,2	-0,6
260	SISMA_SLV_T_AF	Combination	Max	-0,7	1,8
260	SISMA_SLV_T_AF	Combination	Min	-1,9	-1,8
260	SISMA_SLV_V_AF	Combination	Max	-0,7	0,5
260	SISMA_SLV_V_AF	Combination	Min	-1,9	-0,5
261	SISMA_SLV_L_AF	Combination	Max	0,8	0,9
261	SISMA_SLV_L_AF	Combination	Min	-3,0	-0,9
261	SISMA_SLV_T_AF	Combination	Max	-0,5	2,8
261	SISMA_SLV_T_AF	Combination	Min	-1,7	-2,8
261	SISMA_SLV_V_AF	Combination	Max	-0,5	0,8
261	SISMA_SLV_V_AF	Combination	Min	-1,7	-0,8
262	SISMA_SLV_L_AF	Combination	Max	1,0	1,1
262	SISMA_SLV_L_AF	Combination	Min	-2,8	-1,1
262	SISMA_SLV_T_AF	Combination	Max	-0,3	3,4
262	SISMA_SLV_T_AF	Combination	Min	-1,5	-3,4
262	SISMA_SLV_V_AF	Combination	Max	-0,3	1,0
262	SISMA_SLV_V_AF	Combination	Min	-1,5	-1,0
263	SISMA_SLV_L_AF	Combination	Max	1,1	1,1
263	SISMA_SLV_L_AF	Combination	Min	-2,6	-1,1
263	SISMA_SLV_T_AF	Combination	Max	-0,2	3,6
263	SISMA_SLV_T_AF	Combination	Min	-1,3	-3,6
263	SISMA_SLV_V_AF	Combination	Max	-0,2	1,1
263	SISMA_SLV_V_AF	Combination	Min	-1,3	-1,1
264	SISMA_SLV_L_AF	Combination	Max	1,3	1,1
264	SISMA_SLV_L_AF	Combination	Min	-2,4	-1,1
264	SISMA_SLV_T_AF	Combination	Max	0,0	3,4
264	SISMA_SLV_T_AF	Combination	Min	-1,1	-3,4
264	SISMA_SLV_V_AF	Combination	Max	0,0	1,0
264	SISMA_SLV_V_AF	Combination	Min	-1,1	-1,0
265	SISMA_SLV_L_AF	Combination	Max	1,5	0,9
265	SISMA_SLV_L_AF	Combination	Min	-2,2	-0,9
265	SISMA_SLV_T_AF	Combination	Max	0,2	2,7
265	SISMA_SLV_T_AF	Combination	Min	-0,9	-2,7
265	SISMA_SLV_V_AF	Combination	Max	0,2	0,8
265	SISMA_SLV_V_AF	Combination	Min	-0,9	-0,8
266	SISMA_SLV_L_AF	Combination	Max	1,6	0,6
266	SISMA_SLV_L_AF	Combination	Min	-2,0	-0,6
266	SISMA_SLV_T_AF	Combination	Max	0,4	1,8
266	SISMA_SLV_T_AF	Combination	Min	-0,8	-1,8
266	SISMA_SLV_V_AF	Combination	Max	0,4	0,6
266	SISMA_SLV_V_AF	Combination	Min	-0,7	-0,6
270	SISMA_SLV_L_AF	Combination	Max	1,8	0,3
270	SISMA_SLV_L_AF	Combination	Min	-1,7	-0,3
270	SISMA_SLV_T_AF	Combination	Max	0,6	0,8

270	SISMA_SLV_T_AF	Combination	Min	-0,6	-0,8
270	SISMA_SLV_V_AF	Combination	Max	0,6	0,2
270	SISMA_SLV_V_AF	Combination	Min	-0,5	-0,2
282	SISMA_SLV_L_AF	Combination	Max	-0,2	0,2
282	SISMA_SLV_L_AF	Combination	Min	-2,8	-0,2
282	SISMA_SLV_T_AF	Combination	Max	-1,1	0,7
282	SISMA_SLV_T_AF	Combination	Min	-1,9	-0,7
282	SISMA_SLV_V_AF	Combination	Max	-1,1	0,2
282	SISMA_SLV_V_AF	Combination	Min	-1,9	-0,2
286	SISMA_SLV_L_AF	Combination	Max	0,0	0,6
286	SISMA_SLV_L_AF	Combination	Min	-2,6	-0,6
286	SISMA_SLV_T_AF	Combination	Max	-0,9	1,9
286	SISMA_SLV_T_AF	Combination	Min	-1,7	-1,9
286	SISMA_SLV_V_AF	Combination	Max	-0,9	0,6
286	SISMA_SLV_V_AF	Combination	Min	-1,7	-0,6
287	SISMA_SLV_L_AF	Combination	Max	0,2	0,9
287	SISMA_SLV_L_AF	Combination	Min	-2,4	-0,9
287	SISMA_SLV_T_AF	Combination	Max	-0,8	2,9
287	SISMA_SLV_T_AF	Combination	Min	-1,5	-2,9
287	SISMA_SLV_V_AF	Combination	Max	-0,8	0,9
287	SISMA_SLV_V_AF	Combination	Min	-1,5	-0,9
288	SISMA_SLV_L_AF	Combination	Max	0,3	1,1
288	SISMA_SLV_L_AF	Combination	Min	-2,2	-1,1
288	SISMA_SLV_T_AF	Combination	Max	-0,6	3,6
288	SISMA_SLV_T_AF	Combination	Min	-1,3	-3,6
288	SISMA_SLV_V_AF	Combination	Max	-0,6	1,1
288	SISMA_SLV_V_AF	Combination	Min	-1,3	-1,1
289	SISMA_SLV_L_AF	Combination	Max	0,5	1,2
289	SISMA_SLV_L_AF	Combination	Min	-2,0	-1,2
289	SISMA_SLV_T_AF	Combination	Max	-0,4	3,8
289	SISMA_SLV_T_AF	Combination	Min	-1,1	-3,8
289	SISMA_SLV_V_AF	Combination	Max	-0,4	1,1
289	SISMA_SLV_V_AF	Combination	Min	-1,1	-1,1
290	SISMA_SLV_L_AF	Combination	Max	0,7	1,1
290	SISMA_SLV_L_AF	Combination	Min	-1,8	-1,1
290	SISMA_SLV_T_AF	Combination	Max	-0,2	3,5
290	SISMA_SLV_T_AF	Combination	Min	-0,9	-3,5
290	SISMA_SLV_V_AF	Combination	Max	-0,2	1,1
290	SISMA_SLV_V_AF	Combination	Min	-0,9	-1,1
291	SISMA_SLV_L_AF	Combination	Max	0,8	0,9
291	SISMA_SLV_L_AF	Combination	Min	-1,6	-0,9
291	SISMA_SLV_T_AF	Combination	Max	0,0	2,8
291	SISMA_SLV_T_AF	Combination	Min	-0,7	-2,8
291	SISMA_SLV_V_AF	Combination	Max	0,0	0,8
291	SISMA_SLV_V_AF	Combination	Min	-0,7	-0,8
292	SISMA_SLV_L_AF	Combination	Max	1,0	0,6
292	SISMA_SLV_L_AF	Combination	Min	-1,4	-0,6
292	SISMA_SLV_T_AF	Combination	Max	0,2	1,7
292	SISMA_SLV_T_AF	Combination	Min	-0,5	-1,7
292	SISMA_SLV_V_AF	Combination	Max	0,2	0,5
292	SISMA_SLV_V_AF	Combination	Min	-0,5	-0,5
301	SISMA_SLV_L_AF	Combination	Max	1,1	0,2
301	SISMA_SLV_L_AF	Combination	Min	-1,1	-0,2
301	SISMA_SLV_T_AF	Combination	Max	0,3	0,6

301	SISMA_SLV_T_AF	Combination	Min	-0,3	-0,6
301	SISMA_SLV_V_AF	Combination	Max	0,3	0,2
301	SISMA_SLV_V_AF	Combination	Min	-0,3	-0,2
			Max	3,8	5,4
			Min	-5,2	-5,3

TABLE: Joint Displacements - AFFIANCAMENTO - SLC

Joint	OutputCase	CaseType	StepType	U1	U2
Text	Text	Text	Text	mm	mm
126	SISMA_SLC_L_CO	Combination	Max	1,8	0,6
126	SISMA_SLC_L_CO	Combination	Min	-5,0	-0,5
126	SISMA_SLC_T_CO	Combination	Max	-0,4	1,4
126	SISMA_SLC_T_CO	Combination	Min	-2,8	-1,2
126	SISMA_SLC_V_CO	Combination	Max	-0,5	0,5
126	SISMA_SLC_V_CO	Combination	Min	-2,8	-0,3
130	SISMA_SLC_L_CO	Combination	Max	1,9	0,8
130	SISMA_SLC_L_CO	Combination	Min	-4,8	-0,6
130	SISMA_SLC_T_CO	Combination	Max	-0,2	1,8
130	SISMA_SLC_T_CO	Combination	Min	-2,7	-1,7
130	SISMA_SLC_V_CO	Combination	Max	-0,3	0,6
130	SISMA_SLC_V_CO	Combination	Min	-2,6	-0,5
131	SISMA_SLC_L_CO	Combination	Max	2,1	0,9
131	SISMA_SLC_L_CO	Combination	Min	-4,6	-0,8
131	SISMA_SLC_T_CO	Combination	Max	0,0	2,2
131	SISMA_SLC_T_CO	Combination	Min	-2,5	-2,1
131	SISMA_SLC_V_CO	Combination	Max	-0,1	0,7
131	SISMA_SLC_V_CO	Combination	Min	-2,4	-0,6
132	SISMA_SLC_L_CO	Combination	Max	2,3	1,0
132	SISMA_SLC_L_CO	Combination	Min	-4,4	-0,9
132	SISMA_SLC_T_CO	Combination	Max	0,1	2,4
132	SISMA_SLC_T_CO	Combination	Min	-2,3	-2,3
132	SISMA_SLC_V_CO	Combination	Max	0,1	0,8
132	SISMA_SLC_V_CO	Combination	Min	-2,2	-0,7
133	SISMA_SLC_L_CO	Combination	Max	2,5	1,0
133	SISMA_SLC_L_CO	Combination	Min	-4,2	-0,9
133	SISMA_SLC_T_CO	Combination	Max	0,3	2,5
133	SISMA_SLC_T_CO	Combination	Min	-2,1	-2,4
133	SISMA_SLC_V_CO	Combination	Max	0,2	0,8
133	SISMA_SLC_V_CO	Combination	Min	-2,0	-0,7
134	SISMA_SLC_L_CO	Combination	Max	2,6	0,9
134	SISMA_SLC_L_CO	Combination	Min	-4,0	-0,8
134	SISMA_SLC_T_CO	Combination	Max	0,5	2,3
134	SISMA_SLC_T_CO	Combination	Min	-1,9	-2,3
134	SISMA_SLC_V_CO	Combination	Max	0,4	0,8
134	SISMA_SLC_V_CO	Combination	Min	-1,8	-0,7
135	SISMA_SLC_L_CO	Combination	Max	2,8	0,8
135	SISMA_SLC_L_CO	Combination	Min	-3,8	-0,8
135	SISMA_SLC_T_CO	Combination	Max	0,7	2,0
135	SISMA_SLC_T_CO	Combination	Min	-1,7	-2,0
135	SISMA_SLC_V_CO	Combination	Max	0,6	0,7
135	SISMA_SLC_V_CO	Combination	Min	-1,6	-0,6
136	SISMA_SLC_L_CO	Combination	Max	2,9	0,7
136	SISMA_SLC_L_CO	Combination	Min	-3,5	-0,6

136	SISMA_SLC_T_CO	Combination	Max	0,8	1,6
136	SISMA_SLC_T_CO	Combination	Min	-1,5	-1,6
136	SISMA_SLC_V_CO	Combination	Max	0,8	0,5
136	SISMA_SLC_V_CO	Combination	Min	-1,4	-0,5
140	SISMA_SLC_L_CO	Combination	Max	3,1	0,5
140	SISMA_SLC_L_CO	Combination	Min	-3,3	-0,5
140	SISMA_SLC_T_CO	Combination	Max	1,0	1,1
140	SISMA_SLC_T_CO	Combination	Min	-1,2	-1,1
140	SISMA_SLC_V_CO	Combination	Max	0,9	0,4
140	SISMA_SLC_V_CO	Combination	Min	-1,2	-0,4
152	SISMA_SLC_L_CO	Combination	Max	3,6	0,5
152	SISMA_SLC_L_CO	Combination	Min	-6,3	-0,4
152	SISMA_SLC_T_CO	Combination	Max	0,5	0,8
152	SISMA_SLC_T_CO	Combination	Min	-3,1	-0,7
152	SISMA_SLC_V_CO	Combination	Max	0,5	0,4
152	SISMA_SLC_V_CO	Combination	Min	-3,2	-0,2
156	SISMA_SLC_L_CO	Combination	Max	3,8	0,9
156	SISMA_SLC_L_CO	Combination	Min	-6,1	-0,8
156	SISMA_SLC_T_CO	Combination	Max	0,7	1,9
156	SISMA_SLC_T_CO	Combination	Min	-3,0	-1,8
156	SISMA_SLC_V_CO	Combination	Max	0,7	0,7
156	SISMA_SLC_V_CO	Combination	Min	-3,0	-0,6
157	SISMA_SLC_L_CO	Combination	Max	4,0	1,2
157	SISMA_SLC_L_CO	Combination	Min	-5,9	-1,1
157	SISMA_SLC_T_CO	Combination	Max	0,9	2,9
157	SISMA_SLC_T_CO	Combination	Min	-2,8	-2,8
157	SISMA_SLC_V_CO	Combination	Max	0,9	1,0
157	SISMA_SLC_V_CO	Combination	Min	-2,8	-0,9
158	SISMA_SLC_L_CO	Combination	Max	4,1	1,4
158	SISMA_SLC_L_CO	Combination	Min	-5,7	-1,3
158	SISMA_SLC_T_CO	Combination	Max	1,0	3,5
158	SISMA_SLC_T_CO	Combination	Min	-2,6	-3,4
158	SISMA_SLC_V_CO	Combination	Max	1,0	1,2
158	SISMA_SLC_V_CO	Combination	Min	-2,6	-1,1
159	SISMA_SLC_L_CO	Combination	Max	4,3	1,5
159	SISMA_SLC_L_CO	Combination	Min	-5,5	-1,4
159	SISMA_SLC_T_CO	Combination	Max	1,2	3,8
159	SISMA_SLC_T_CO	Combination	Min	-2,5	-3,7
159	SISMA_SLC_V_CO	Combination	Max	1,2	1,2
159	SISMA_SLC_V_CO	Combination	Min	-2,4	-1,2
160	SISMA_SLC_L_CO	Combination	Max	4,4	1,4
160	SISMA_SLC_L_CO	Combination	Min	-5,3	-1,4
160	SISMA_SLC_T_CO	Combination	Max	1,4	3,6
160	SISMA_SLC_T_CO	Combination	Min	-2,3	-3,5
160	SISMA_SLC_V_CO	Combination	Max	1,4	1,2
160	SISMA_SLC_V_CO	Combination	Min	-2,3	-1,1
161	SISMA_SLC_L_CO	Combination	Max	4,6	1,2
161	SISMA_SLC_L_CO	Combination	Min	-5,1	-1,2
161	SISMA_SLC_T_CO	Combination	Max	1,5	3,0
161	SISMA_SLC_T_CO	Combination	Min	-2,1	-3,0
161	SISMA_SLC_V_CO	Combination	Max	1,5	1,0
161	SISMA_SLC_V_CO	Combination	Min	-2,1	-1,0
162	SISMA_SLC_L_CO	Combination	Max	4,7	0,9
162	SISMA_SLC_L_CO	Combination	Min	-4,9	-0,9

162	SISMA_SLC_T_CO	Combination	Max	1,7	2,2
162	SISMA_SLC_T_CO	Combination	Min	-1,9	-2,1
162	SISMA_SLC_V_CO	Combination	Max	1,7	0,7
162	SISMA_SLC_V_CO	Combination	Min	-1,9	-0,7
166	SISMA_SLC_L_CO	Combination	Max	4,8	0,5
166	SISMA_SLC_L_CO	Combination	Min	-4,7	-0,5
166	SISMA_SLC_T_CO	Combination	Max	1,8	1,2
166	SISMA_SLC_T_CO	Combination	Min	-1,7	-1,2
166	SISMA_SLC_V_CO	Combination	Max	1,8	0,4
166	SISMA_SLC_V_CO	Combination	Min	-1,7	-0,4
178	SISMA_SLC_L_CO	Combination	Max	1,7	0,6
178	SISMA_SLC_L_CO	Combination	Min	-5,0	-0,4
178	SISMA_SLC_T_CO	Combination	Max	-0,6	1,4
178	SISMA_SLC_T_CO	Combination	Min	-2,7	-1,2
178	SISMA_SLC_V_CO	Combination	Max	-0,6	0,5
178	SISMA_SLC_V_CO	Combination	Min	-2,7	-0,3
182	SISMA_SLC_L_CO	Combination	Max	1,8	1,2
182	SISMA_SLC_L_CO	Combination	Min	-4,7	-1,1
182	SISMA_SLC_T_CO	Combination	Max	-0,4	3,5
182	SISMA_SLC_T_CO	Combination	Min	-2,5	-3,3
182	SISMA_SLC_V_CO	Combination	Max	-0,4	1,1
182	SISMA_SLC_V_CO	Combination	Min	-2,5	-1,0
183	SISMA_SLC_L_CO	Combination	Max	2,0	1,8
183	SISMA_SLC_L_CO	Combination	Min	-4,5	-1,7
183	SISMA_SLC_T_CO	Combination	Max	-0,2	5,3
183	SISMA_SLC_T_CO	Combination	Min	-2,3	-5,1
183	SISMA_SLC_V_CO	Combination	Max	-0,2	1,7
183	SISMA_SLC_V_CO	Combination	Min	-2,3	-1,5
184	SISMA_SLC_L_CO	Combination	Max	2,2	2,2
184	SISMA_SLC_L_CO	Combination	Min	-4,3	-2,0
184	SISMA_SLC_T_CO	Combination	Max	0,0	6,4
184	SISMA_SLC_T_CO	Combination	Min	-2,1	-6,3
184	SISMA_SLC_V_CO	Combination	Max	0,0	2,0
184	SISMA_SLC_V_CO	Combination	Min	-2,1	-1,9
185	SISMA_SLC_L_CO	Combination	Max	2,4	2,3
185	SISMA_SLC_L_CO	Combination	Min	-4,1	-2,2
185	SISMA_SLC_T_CO	Combination	Max	0,2	6,8
185	SISMA_SLC_T_CO	Combination	Min	-1,9	-6,7
185	SISMA_SLC_V_CO	Combination	Max	0,2	2,1
185	SISMA_SLC_V_CO	Combination	Min	-1,9	-2,0
186	SISMA_SLC_L_CO	Combination	Max	2,6	2,1
186	SISMA_SLC_L_CO	Combination	Min	-3,8	-2,0
186	SISMA_SLC_T_CO	Combination	Max	0,4	6,3
186	SISMA_SLC_T_CO	Combination	Min	-1,7	-6,3
186	SISMA_SLC_V_CO	Combination	Max	0,4	2,0
186	SISMA_SLC_V_CO	Combination	Min	-1,7	-1,9
187	SISMA_SLC_L_CO	Combination	Max	2,7	1,7
187	SISMA_SLC_L_CO	Combination	Min	-3,6	-1,6
187	SISMA_SLC_T_CO	Combination	Max	0,6	5,0
187	SISMA_SLC_T_CO	Combination	Min	-1,4	-5,0
187	SISMA_SLC_V_CO	Combination	Max	0,6	1,6
187	SISMA_SLC_V_CO	Combination	Min	-1,4	-1,5
188	SISMA_SLC_L_CO	Combination	Max	2,9	1,1
188	SISMA_SLC_L_CO	Combination	Min	-3,3	-1,0

188	SISMA_SLC_T_CO	Combination	Max	0,7	3,2
188	SISMA_SLC_T_CO	Combination	Min	-1,2	-3,2
188	SISMA_SLC_V_CO	Combination	Max	0,8	1,0
188	SISMA_SLC_V_CO	Combination	Min	-1,2	-1,0
192	SISMA_SLC_L_CO	Combination	Max	3,0	0,4
192	SISMA_SLC_L_CO	Combination	Min	-3,0	-0,4
192	SISMA_SLC_T_CO	Combination	Max	1,0	1,1
192	SISMA_SLC_T_CO	Combination	Min	-1,0	-1,1
192	SISMA_SLC_V_CO	Combination	Max	1,0	0,4
192	SISMA_SLC_V_CO	Combination	Min	-1,0	-0,4
204	SISMA_SLC_L_CO	Combination	Max	0,9	0,4
204	SISMA_SLC_L_CO	Combination	Min	-3,9	-0,3
204	SISMA_SLC_T_CO	Combination	Max	-0,7	0,9
204	SISMA_SLC_T_CO	Combination	Min	-2,3	-0,8
204	SISMA_SLC_V_CO	Combination	Max	-0,8	0,3
204	SISMA_SLC_V_CO	Combination	Min	-2,3	-0,2
208	SISMA_SLC_L_CO	Combination	Max	1,1	0,8
208	SISMA_SLC_L_CO	Combination	Min	-3,7	-0,7
208	SISMA_SLC_T_CO	Combination	Max	-0,6	2,3
208	SISMA_SLC_T_CO	Combination	Min	-2,1	-2,2
208	SISMA_SLC_V_CO	Combination	Max	-0,6	0,7
208	SISMA_SLC_V_CO	Combination	Min	-2,1	-0,6
209	SISMA_SLC_L_CO	Combination	Max	1,3	1,1
209	SISMA_SLC_L_CO	Combination	Min	-3,5	-1,0
209	SISMA_SLC_T_CO	Combination	Max	-0,4	3,4
209	SISMA_SLC_T_CO	Combination	Min	-1,9	-3,3
209	SISMA_SLC_V_CO	Combination	Max	-0,4	1,1
209	SISMA_SLC_V_CO	Combination	Min	-1,9	-1,0
210	SISMA_SLC_L_CO	Combination	Max	1,4	1,3
210	SISMA_SLC_L_CO	Combination	Min	-3,3	-1,2
210	SISMA_SLC_T_CO	Combination	Max	-0,2	4,2
210	SISMA_SLC_T_CO	Combination	Min	-1,7	-4,1
210	SISMA_SLC_V_CO	Combination	Max	-0,2	1,3
210	SISMA_SLC_V_CO	Combination	Min	-1,7	-1,2
211	SISMA_SLC_L_CO	Combination	Max	1,6	1,4
211	SISMA_SLC_L_CO	Combination	Min	-3,1	-1,3
211	SISMA_SLC_T_CO	Combination	Max	0,0	4,4
211	SISMA_SLC_T_CO	Combination	Min	-1,5	-4,4
211	SISMA_SLC_V_CO	Combination	Max	0,0	1,4
211	SISMA_SLC_V_CO	Combination	Min	-1,5	-1,3
212	SISMA_SLC_L_CO	Combination	Max	1,8	1,3
212	SISMA_SLC_L_CO	Combination	Min	-2,9	-1,2
212	SISMA_SLC_T_CO	Combination	Max	0,1	4,1
212	SISMA_SLC_T_CO	Combination	Min	-1,3	-4,1
212	SISMA_SLC_V_CO	Combination	Max	0,1	1,3
212	SISMA_SLC_V_CO	Combination	Min	-1,3	-1,2
213	SISMA_SLC_L_CO	Combination	Max	1,9	1,0
213	SISMA_SLC_L_CO	Combination	Min	-2,7	-1,0
213	SISMA_SLC_T_CO	Combination	Max	0,3	3,4
213	SISMA_SLC_T_CO	Combination	Min	-1,1	-3,3
213	SISMA_SLC_V_CO	Combination	Max	0,3	1,0
213	SISMA_SLC_V_CO	Combination	Min	-1,1	-1,0
214	SISMA_SLC_L_CO	Combination	Max	2,1	0,7
214	SISMA_SLC_L_CO	Combination	Min	-2,4	-0,7

214	SISMA_SLC_T_CO	Combination	Max	0,5	2,2
214	SISMA_SLC_T_CO	Combination	Min	-0,9	-2,2
214	SISMA_SLC_V_CO	Combination	Max	0,5	0,7
214	SISMA_SLC_V_CO	Combination	Min	-0,9	-0,7
218	SISMA_SLC_L_CO	Combination	Max	2,2	0,3
218	SISMA_SLC_L_CO	Combination	Min	-2,2	-0,3
218	SISMA_SLC_T_CO	Combination	Max	0,7	0,9
218	SISMA_SLC_T_CO	Combination	Min	-0,7	-0,9
218	SISMA_SLC_V_CO	Combination	Max	0,7	0,3
218	SISMA_SLC_V_CO	Combination	Min	-0,7	-0,3
230	SISMA_SLC_L_CO	Combination	Max	0,9	0,3
230	SISMA_SLC_L_CO	Combination	Min	-4,0	-0,3
230	SISMA_SLC_T_CO	Combination	Max	-0,7	0,9
230	SISMA_SLC_T_CO	Combination	Min	-2,3	-0,8
230	SISMA_SLC_V_CO	Combination	Max	-0,8	0,3
230	SISMA_SLC_V_CO	Combination	Min	-2,3	-0,2
234	SISMA_SLC_L_CO	Combination	Max	1,1	0,7
234	SISMA_SLC_L_CO	Combination	Min	-3,8	-0,7
234	SISMA_SLC_T_CO	Combination	Max	-0,5	2,4
234	SISMA_SLC_T_CO	Combination	Min	-2,1	-2,3
234	SISMA_SLC_V_CO	Combination	Max	-0,6	0,7
234	SISMA_SLC_V_CO	Combination	Min	-2,1	-0,7
235	SISMA_SLC_L_CO	Combination	Max	1,3	1,1
235	SISMA_SLC_L_CO	Combination	Min	-3,6	-1,1
235	SISMA_SLC_T_CO	Combination	Max	-0,4	3,6
235	SISMA_SLC_T_CO	Combination	Min	-1,9	-3,6
235	SISMA_SLC_V_CO	Combination	Max	-0,4	1,1
235	SISMA_SLC_V_CO	Combination	Min	-1,9	-1,1
236	SISMA_SLC_L_CO	Combination	Max	1,5	1,4
236	SISMA_SLC_L_CO	Combination	Min	-3,3	-1,3
236	SISMA_SLC_T_CO	Combination	Max	-0,2	4,4
236	SISMA_SLC_T_CO	Combination	Min	-1,7	-4,4
236	SISMA_SLC_V_CO	Combination	Max	-0,2	1,3
236	SISMA_SLC_V_CO	Combination	Min	-1,7	-1,3
237	SISMA_SLC_L_CO	Combination	Max	1,6	1,5
237	SISMA_SLC_L_CO	Combination	Min	-3,1	-1,4
237	SISMA_SLC_T_CO	Combination	Max	0,0	4,7
237	SISMA_SLC_T_CO	Combination	Min	-1,5	-4,7
237	SISMA_SLC_V_CO	Combination	Max	0,0	1,4
237	SISMA_SLC_V_CO	Combination	Min	-1,5	-1,4
238	SISMA_SLC_L_CO	Combination	Max	1,8	1,4
238	SISMA_SLC_L_CO	Combination	Min	-2,9	-1,3
238	SISMA_SLC_T_CO	Combination	Max	0,2	4,4
238	SISMA_SLC_T_CO	Combination	Min	-1,3	-4,4
238	SISMA_SLC_V_CO	Combination	Max	0,1	1,3
238	SISMA_SLC_V_CO	Combination	Min	-1,3	-1,3
239	SISMA_SLC_L_CO	Combination	Max	1,9	1,1
239	SISMA_SLC_L_CO	Combination	Min	-2,7	-1,1
239	SISMA_SLC_T_CO	Combination	Max	0,4	3,6
239	SISMA_SLC_T_CO	Combination	Min	-1,1	-3,5
239	SISMA_SLC_V_CO	Combination	Max	0,3	1,1
239	SISMA_SLC_V_CO	Combination	Min	-1,1	-1,1
240	SISMA_SLC_L_CO	Combination	Max	2,1	0,7
240	SISMA_SLC_L_CO	Combination	Min	-2,4	-0,7

240	SISMA_SLC_T_CO	Combination	Max	0,5	2,3
240	SISMA_SLC_T_CO	Combination	Min	-0,9	-2,3
240	SISMA_SLC_V_CO	Combination	Max	0,5	0,7
240	SISMA_SLC_V_CO	Combination	Min	-0,9	-0,7
244	SISMA_SLC_L_CO	Combination	Max	2,2	0,3
244	SISMA_SLC_L_CO	Combination	Min	-2,2	-0,3
244	SISMA_SLC_T_CO	Combination	Max	0,7	1,0
244	SISMA_SLC_T_CO	Combination	Min	-0,7	-1,0
244	SISMA_SLC_V_CO	Combination	Max	0,7	0,3
244	SISMA_SLC_V_CO	Combination	Min	-0,7	-0,3
256	SISMA_SLC_L_CO	Combination	Max	0,9	0,3
256	SISMA_SLC_L_CO	Combination	Min	-3,9	-0,3
256	SISMA_SLC_T_CO	Combination	Max	-0,7	0,9
256	SISMA_SLC_T_CO	Combination	Min	-2,3	-0,9
256	SISMA_SLC_V_CO	Combination	Max	-0,7	0,3
256	SISMA_SLC_V_CO	Combination	Min	-2,3	-0,3
260	SISMA_SLC_L_CO	Combination	Max	1,1	0,7
260	SISMA_SLC_L_CO	Combination	Min	-3,7	-0,7
260	SISMA_SLC_T_CO	Combination	Max	-0,5	2,3
260	SISMA_SLC_T_CO	Combination	Min	-2,1	-2,3
260	SISMA_SLC_V_CO	Combination	Max	-0,6	0,7
260	SISMA_SLC_V_CO	Combination	Min	-2,1	-0,7
261	SISMA_SLC_L_CO	Combination	Max	1,3	1,1
261	SISMA_SLC_L_CO	Combination	Min	-3,5	-1,1
261	SISMA_SLC_T_CO	Combination	Max	-0,4	3,5
261	SISMA_SLC_T_CO	Combination	Min	-1,9	-3,5
261	SISMA_SLC_V_CO	Combination	Max	-0,4	1,1
261	SISMA_SLC_V_CO	Combination	Min	-1,9	-1,1
262	SISMA_SLC_L_CO	Combination	Max	1,5	1,4
262	SISMA_SLC_L_CO	Combination	Min	-3,3	-1,4
262	SISMA_SLC_T_CO	Combination	Max	-0,2	4,3
262	SISMA_SLC_T_CO	Combination	Min	-1,7	-4,3
262	SISMA_SLC_V_CO	Combination	Max	-0,2	1,3
262	SISMA_SLC_V_CO	Combination	Min	-1,7	-1,3
263	SISMA_SLC_L_CO	Combination	Max	1,6	1,4
263	SISMA_SLC_L_CO	Combination	Min	-3,1	-1,4
263	SISMA_SLC_T_CO	Combination	Max	0,0	4,6
263	SISMA_SLC_T_CO	Combination	Min	-1,5	-4,6
263	SISMA_SLC_V_CO	Combination	Max	0,0	1,4
263	SISMA_SLC_V_CO	Combination	Min	-1,5	-1,4
264	SISMA_SLC_L_CO	Combination	Max	1,8	1,3
264	SISMA_SLC_L_CO	Combination	Min	-2,9	-1,3
264	SISMA_SLC_T_CO	Combination	Max	0,2	4,3
264	SISMA_SLC_T_CO	Combination	Min	-1,3	-4,3
264	SISMA_SLC_V_CO	Combination	Max	0,2	1,3
264	SISMA_SLC_V_CO	Combination	Min	-1,3	-1,3
265	SISMA_SLC_L_CO	Combination	Max	1,9	1,1
265	SISMA_SLC_L_CO	Combination	Min	-2,7	-1,1
265	SISMA_SLC_T_CO	Combination	Max	0,3	3,5
265	SISMA_SLC_T_CO	Combination	Min	-1,1	-3,5
265	SISMA_SLC_V_CO	Combination	Max	0,3	1,1
265	SISMA_SLC_V_CO	Combination	Min	-1,1	-1,1
266	SISMA_SLC_L_CO	Combination	Max	2,1	0,7
266	SISMA_SLC_L_CO	Combination	Min	-2,4	-0,7

266	SISMA_SLC_T_CO	Combination	Max	0,5	2,3
266	SISMA_SLC_T_CO	Combination	Min	-0,9	-2,3
266	SISMA_SLC_V_CO	Combination	Max	0,5	0,7
266	SISMA_SLC_V_CO	Combination	Min	-0,9	-0,7
270	SISMA_SLC_L_CO	Combination	Max	2,2	0,3
270	SISMA_SLC_L_CO	Combination	Min	-2,2	-0,3
270	SISMA_SLC_T_CO	Combination	Max	0,7	1,0
270	SISMA_SLC_T_CO	Combination	Min	-0,7	-1,0
270	SISMA_SLC_V_CO	Combination	Max	0,7	0,3
270	SISMA_SLC_V_CO	Combination	Min	-0,7	-0,3
282	SISMA_SLC_L_CO	Combination	Max	0,1	0,3
282	SISMA_SLC_L_CO	Combination	Min	-3,2	-0,3
282	SISMA_SLC_T_CO	Combination	Max	-1,0	0,9
282	SISMA_SLC_T_CO	Combination	Min	-2,0	-0,9
282	SISMA_SLC_V_CO	Combination	Max	-1,0	0,3
282	SISMA_SLC_V_CO	Combination	Min	-2,0	-0,3
286	SISMA_SLC_L_CO	Combination	Max	0,3	0,8
286	SISMA_SLC_L_CO	Combination	Min	-3,0	-0,8
286	SISMA_SLC_T_CO	Combination	Max	-0,8	2,4
286	SISMA_SLC_T_CO	Combination	Min	-1,8	-2,4
286	SISMA_SLC_V_CO	Combination	Max	-0,8	0,7
286	SISMA_SLC_V_CO	Combination	Min	-1,8	-0,7
287	SISMA_SLC_L_CO	Combination	Max	0,5	1,2
287	SISMA_SLC_L_CO	Combination	Min	-2,8	-1,2
287	SISMA_SLC_T_CO	Combination	Max	-0,7	3,7
287	SISMA_SLC_T_CO	Combination	Min	-1,6	-3,7
287	SISMA_SLC_V_CO	Combination	Max	-0,7	1,1
287	SISMA_SLC_V_CO	Combination	Min	-1,6	-1,1
288	SISMA_SLC_L_CO	Combination	Max	0,7	1,4
288	SISMA_SLC_L_CO	Combination	Min	-2,6	-1,4
288	SISMA_SLC_T_CO	Combination	Max	-0,5	4,5
288	SISMA_SLC_T_CO	Combination	Min	-1,4	-4,5
288	SISMA_SLC_V_CO	Combination	Max	-0,5	1,4
288	SISMA_SLC_V_CO	Combination	Min	-1,4	-1,4
289	SISMA_SLC_L_CO	Combination	Max	0,8	1,5
289	SISMA_SLC_L_CO	Combination	Min	-2,4	-1,5
289	SISMA_SLC_T_CO	Combination	Max	-0,3	4,8
289	SISMA_SLC_T_CO	Combination	Min	-1,2	-4,8
289	SISMA_SLC_V_CO	Combination	Max	-0,3	1,4
289	SISMA_SLC_V_CO	Combination	Min	-1,2	-1,4
290	SISMA_SLC_L_CO	Combination	Max	1,0	1,4
290	SISMA_SLC_L_CO	Combination	Min	-2,1	-1,4
290	SISMA_SLC_T_CO	Combination	Max	-0,1	4,4
290	SISMA_SLC_T_CO	Combination	Min	-1,0	-4,4
290	SISMA_SLC_V_CO	Combination	Max	-0,1	1,3
290	SISMA_SLC_V_CO	Combination	Min	-1,0	-1,3
291	SISMA_SLC_L_CO	Combination	Max	1,1	1,1
291	SISMA_SLC_L_CO	Combination	Min	-1,9	-1,1
291	SISMA_SLC_T_CO	Combination	Max	0,1	3,5
291	SISMA_SLC_T_CO	Combination	Min	-0,8	-3,5
291	SISMA_SLC_V_CO	Combination	Max	0,1	1,1
291	SISMA_SLC_V_CO	Combination	Min	-0,8	-1,1
292	SISMA_SLC_L_CO	Combination	Max	1,3	0,7
292	SISMA_SLC_L_CO	Combination	Min	-1,7	-0,7

292	SISMA_SLC_T_CO	Combination	Max	0,2	2,2
292	SISMA_SLC_T_CO	Combination	Min	-0,6	-2,2
292	SISMA_SLC_V_CO	Combination	Max	0,2	0,7
292	SISMA_SLC_V_CO	Combination	Min	-0,6	-0,7
301	SISMA_SLC_L_CO	Combination	Max	1,4	0,2
301	SISMA_SLC_L_CO	Combination	Min	-1,4	-0,2
301	SISMA_SLC_T_CO	Combination	Max	0,4	0,7
301	SISMA_SLC_T_CO	Combination	Min	-0,4	-0,7
301	SISMA_SLC_V_CO	Combination	Max	0,4	0,2
301	SISMA_SLC_V_CO	Combination	Min	-0,4	-0,2
			Max	4,8	6,8
			Min	-6,3	-6,7

10.2. SPOSTAMENTI MASSIMI – TRATTO CONTINUO CON ISOLATORI

TABLE: Joint Displacements - PARTE CONTINUA - SLE					
Joint	OutputCase	CaseType	StepType	U1	U2
Text	Text	Text	Text	mm	mm
8	SLE_P	Combination		0,0	0,0
8	SLE_R_VS	Combination		-7,8	-29,6
8	SLE_R_VC	Combination	Max	-12,5	-63,7
8	SLE_R_VC	Combination	Min	-12,6	-63,7
8	SLE_R_1.1	Combination	Max	-8,9	-37,9
8	SLE_R_1.1	Combination	Min	-9,0	-38,0
8	SLE_R_1.2	Combination		-9,0	-37,9
8	SLE_R_2.a	Combination	Max	18,4	-45,7
8	SLE_R_2.a	Combination	Min	18,3	-45,8
8	SLE_R_2b	Combination	Max	-9,5	-41,9
8	SLE_R_2b	Combination	Min	-9,5	-41,9
8	SLE_F_VS	Combination		-3,8	-5,5
8	SLE_F_VC	Combination	Max	-4,7	-12,3
8	SLE_F_VC	Combination	Min	-4,8	-12,3
8	SLE_F_1	Combination	Max	-2,9	0,6
8	SLE_F_1	Combination	Min	-3,0	0,6
12	SLE_P	Combination		0,0	0,0
12	SLE_R_VS	Combination		-7,6	-29,8
12	SLE_R_VC	Combination	Max	-12,3	-64,0
12	SLE_R_VC	Combination	Min	-12,4	-64,0
12	SLE_R_1.1	Combination	Max	-8,7	-38,1
12	SLE_R_1.1	Combination	Min	-8,8	-38,2
12	SLE_R_1.2	Combination		-8,8	-38,1
12	SLE_R_2.a	Combination	Max	18,7	-45,7
12	SLE_R_2.a	Combination	Min	18,6	-45,7
12	SLE_R_2b	Combination	Max	-9,3	-42,1
12	SLE_R_2b	Combination	Min	-9,3	-42,1
12	SLE_F_VS	Combination		-3,6	-5,5
12	SLE_F_VC	Combination	Max	-4,5	-12,4
12	SLE_F_VC	Combination	Min	-4,6	-12,4
12	SLE_F_1	Combination	Max	-2,7	0,5
12	SLE_F_1	Combination	Min	-2,8	0,5
13	SLE_P	Combination		0,0	0,0

13	SLE_R_VS	Combination		-7,4	-29,9
13	SLE_R_VC	Combination	Max	-12,2	-64,2
13	SLE_R_VC	Combination	Min	-12,2	-64,2
13	SLE_R_1.1	Combination	Max	-8,5	-38,3
13	SLE_R_1.1	Combination	Min	-8,6	-38,3
13	SLE_R_1.2	Combination		-8,6	-38,3
13	SLE_R_2.a	Combination	Max	18,9	-45,6
13	SLE_R_2.a	Combination	Min	18,9	-45,6
13	SLE_R_2b	Combination	Max	-9,1	-42,2
13	SLE_R_2b	Combination	Min	-9,2	-42,3
13	SLE_F_VS	Combination		-3,4	-5,6
13	SLE_F_VC	Combination	Max	-4,4	-12,5
13	SLE_F_VC	Combination	Min	-4,4	-12,5
13	SLE_F_1	Combination	Max	-2,6	0,5
13	SLE_F_1	Combination	Min	-2,6	0,5
14	SLE_P	Combination		0,0	0,0
14	SLE_R_VS	Combination		-7,2	-30,1
14	SLE_R_VC	Combination	Max	-12,0	-64,4
14	SLE_R_VC	Combination	Min	-12,1	-64,4
14	SLE_R_1.1	Combination	Max	-8,3	-38,4
14	SLE_R_1.1	Combination	Min	-8,4	-38,5
14	SLE_R_1.2	Combination		-8,4	-38,5
14	SLE_R_2.a	Combination	Max	19,2	-45,5
14	SLE_R_2.a	Combination	Min	19,1	-45,5
14	SLE_R_2b	Combination	Max	-8,9	-42,4
14	SLE_R_2b	Combination	Min	-9,0	-42,4
14	SLE_F_VS	Combination		-3,3	-5,7
14	SLE_F_VC	Combination	Max	-4,2	-12,6
14	SLE_F_VC	Combination	Min	-4,3	-12,6
14	SLE_F_1	Combination	Max	-2,4	0,4
14	SLE_F_1	Combination	Min	-2,4	0,4
15	SLE_P	Combination		0,0	0,0
15	SLE_R_VS	Combination		-7,0	-30,2
15	SLE_R_VC	Combination	Max	-11,8	-64,6
15	SLE_R_VC	Combination	Min	-11,9	-64,6
15	SLE_R_1.1	Combination	Max	-8,1	-38,6
15	SLE_R_1.1	Combination	Min	-8,2	-38,6
15	SLE_R_1.2	Combination		-8,2	-38,6
15	SLE_R_2.a	Combination	Max	19,5	-45,4
15	SLE_R_2.a	Combination	Min	19,4	-45,4
15	SLE_R_2b	Combination	Max	-8,7	-42,6
15	SLE_R_2b	Combination	Min	-8,8	-42,6
15	SLE_F_VS	Combination		-3,1	-5,8
15	SLE_F_VC	Combination	Max	-4,0	-12,6
15	SLE_F_VC	Combination	Min	-4,1	-12,7
15	SLE_F_1	Combination	Max	-2,2	0,4
15	SLE_F_1	Combination	Min	-2,2	0,3
16	SLE_P	Combination		0,0	0,0
16	SLE_R_VS	Combination		-6,8	-30,3
16	SLE_R_VC	Combination	Max	-11,6	-64,8
16	SLE_R_VC	Combination	Min	-11,7	-64,8
16	SLE_R_1.1	Combination	Max	-7,9	-38,7
16	SLE_R_1.1	Combination	Min	-8,0	-38,8
16	SLE_R_1.2	Combination		-8,0	-38,7

16	SLE_R_2.a	Combination	Max	19,8	-45,3
16	SLE_R_2.a	Combination	Min	19,7	-45,3
16	SLE_R_2b	Combination	Max	-8,5	-42,7
16	SLE_R_2b	Combination	Min	-8,6	-42,7
16	SLE_F_VS	Combination		-2,9	-5,8
16	SLE_F_VC	Combination	Max	-3,8	-12,7
16	SLE_F_VC	Combination	Min	-3,9	-12,8
16	SLE_F_1	Combination	Max	-2,0	0,3
16	SLE_F_1	Combination	Min	-2,0	0,3
17	SLE_P	Combination		0,0	0,0
17	SLE_R_VS	Combination		-6,6	-30,4
17	SLE_R_VC	Combination	Max	-11,4	-64,9
17	SLE_R_VC	Combination	Min	-11,5	-64,9
17	SLE_R_1.1	Combination	Max	-7,7	-38,8
17	SLE_R_1.1	Combination	Min	-7,8	-38,9
17	SLE_R_1.2	Combination		-7,8	-38,8
17	SLE_R_2.a	Combination	Max	20,1	-45,2
17	SLE_R_2.a	Combination	Min	20,0	-45,2
17	SLE_R_2b	Combination	Max	-8,3	-42,8
17	SLE_R_2b	Combination	Min	-8,4	-42,8
17	SLE_F_VS	Combination		-2,7	-5,9
17	SLE_F_VC	Combination	Max	-3,6	-12,8
17	SLE_F_VC	Combination	Min	-3,7	-12,8
17	SLE_F_1	Combination	Max	-1,8	0,2
17	SLE_F_1	Combination	Min	-1,9	0,2
18	SLE_P	Combination		0,0	0,0
18	SLE_R_VS	Combination		-6,3	-30,5
18	SLE_R_VC	Combination	Max	-11,2	-65,0
18	SLE_R_VC	Combination	Min	-11,3	-65,0
18	SLE_R_1.1	Combination	Max	-7,5	-38,9
18	SLE_R_1.1	Combination	Min	-7,6	-39,0
18	SLE_R_1.2	Combination		-7,5	-38,9
18	SLE_R_2.a	Combination	Max	20,3	-45,0
18	SLE_R_2.a	Combination	Min	20,3	-45,1
18	SLE_R_2b	Combination	Max	-8,1	-42,9
18	SLE_R_2b	Combination	Min	-8,1	-42,9
18	SLE_F_VS	Combination		-2,5	-6,0
18	SLE_F_VC	Combination	Max	-3,5	-12,9
18	SLE_F_VC	Combination	Min	-3,5	-12,9
18	SLE_F_1	Combination	Max	-1,6	0,2
18	SLE_F_1	Combination	Min	-1,7	0,2
24	SLE_P	Combination		0,0	0,0
24	SLE_R_VS	Combination		-6,1	-30,6
24	SLE_R_VC	Combination	Max	-11,0	-65,1
24	SLE_R_VC	Combination	Min	-11,1	-65,2
24	SLE_R_1.1	Combination	Max	-7,3	-39,0
24	SLE_R_1.1	Combination	Min	-7,4	-39,1
24	SLE_R_1.2	Combination		-7,3	-39,0
24	SLE_R_2.a	Combination	Max	20,6	-44,9
24	SLE_R_2.a	Combination	Min	20,6	-44,9
24	SLE_R_2b	Combination	Max	-7,8	-43,0
24	SLE_R_2b	Combination	Min	-7,9	-43,0
24	SLE_F_VS	Combination		-2,3	-6,0
24	SLE_F_VC	Combination	Max	-3,3	-12,9

24	SLE_F_VC	Combination	Min	-3,4	-13,0
24	SLE_F_1	Combination	Max	-1,5	0,1
24	SLE_F_1	Combination	Min	-1,5	0,1
38	SLE_P	Combination		0,0	0,0
38	SLE_R_VS	Combination		-6,1	-30,6
38	SLE_R_VC	Combination	Max	-11,0	-65,1
38	SLE_R_VC	Combination	Min	-11,1	-65,2
38	SLE_R_1.1	Combination	Max	-7,3	-39,0
38	SLE_R_1.1	Combination	Min	-7,4	-39,1
38	SLE_R_1.2	Combination		-7,3	-39,0
38	SLE_R_2.a	Combination	Max	20,6	-44,8
38	SLE_R_2.a	Combination	Min	20,6	-44,8
38	SLE_R_2b	Combination	Max	-7,9	-43,0
38	SLE_R_2b	Combination	Min	-7,9	-43,1
38	SLE_F_VS	Combination		-2,3	-6,0
38	SLE_F_VC	Combination	Max	-3,3	-12,9
38	SLE_F_VC	Combination	Min	-3,4	-13,0
38	SLE_F_1	Combination	Max	-1,5	0,1
38	SLE_F_1	Combination	Min	-1,5	0,1
42	SLE_P	Combination		0,0	0,0
42	SLE_R_VS	Combination		-5,9	-30,6
42	SLE_R_VC	Combination	Max	-10,8	-65,2
42	SLE_R_VC	Combination	Min	-10,8	-65,3
42	SLE_R_1.1	Combination	Max	-7,0	-39,1
42	SLE_R_1.1	Combination	Min	-7,2	-39,1
42	SLE_R_1.2	Combination		-7,1	-39,1
42	SLE_R_2.a	Combination	Max	20,9	-44,6
42	SLE_R_2.a	Combination	Min	20,8	-44,6
42	SLE_R_2b	Combination	Max	-7,6	-43,1
42	SLE_R_2b	Combination	Min	-7,7	-43,1
42	SLE_F_VS	Combination		-2,2	-6,1
42	SLE_F_VC	Combination	Max	-3,1	-13,0
42	SLE_F_VC	Combination	Min	-3,2	-13,0
42	SLE_F_1	Combination	Max	-1,3	0,1
42	SLE_F_1	Combination	Min	-1,3	0,1
43	SLE_P	Combination		0,0	0,0
43	SLE_R_VS	Combination		-5,7	-30,7
43	SLE_R_VC	Combination	Max	-10,5	-65,3
43	SLE_R_VC	Combination	Min	-10,6	-65,3
43	SLE_R_1.1	Combination	Max	-6,8	-39,2
43	SLE_R_1.1	Combination	Min	-6,9	-39,2
43	SLE_R_1.2	Combination		-6,9	-39,2
43	SLE_R_2.a	Combination	Max	21,2	-44,4
43	SLE_R_2.a	Combination	Min	21,1	-44,5
43	SLE_R_2b	Combination	Max	-7,4	-43,2
43	SLE_R_2b	Combination	Min	-7,5	-43,2
43	SLE_F_VS	Combination		-2,0	-6,1
43	SLE_F_VC	Combination	Max	-2,9	-13,0
43	SLE_F_VC	Combination	Min	-3,0	-13,0
43	SLE_F_1	Combination	Max	-1,1	0,1
43	SLE_F_1	Combination	Min	-1,1	0,0
44	SLE_P	Combination		0,0	0,0
44	SLE_R_VS	Combination		-5,5	-30,8
44	SLE_R_VC	Combination	Max	-10,3	-65,4

44	SLE_R_VC	Combination	Min	-10,4	-65,4
44	SLE_R_1.1	Combination	Max	-6,6	-39,2
44	SLE_R_1.1	Combination	Min	-6,7	-39,3
44	SLE_R_1.2	Combination		-6,7	-39,2
44	SLE_R_2.a	Combination	Max	21,4	-44,3
44	SLE_R_2.a	Combination	Min	21,3	-44,3
44	SLE_R_2b	Combination	Max	-7,2	-43,2
44	SLE_R_2b	Combination	Min	-7,3	-43,2
44	SLE_F_VS	Combination		-1,8	-6,1
44	SLE_F_VC	Combination	Max	-2,7	-13,1
44	SLE_F_VC	Combination	Min	-2,8	-13,1
44	SLE_F_1	Combination	Max	-0,9	0,0
44	SLE_F_1	Combination	Min	-0,9	0,0
45	SLE_P	Combination		0,0	0,0
45	SLE_R_VS	Combination		-5,2	-30,8
45	SLE_R_VC	Combination	Max	-10,1	-65,4
45	SLE_R_VC	Combination	Min	-10,2	-65,4
45	SLE_R_1.1	Combination	Max	-6,4	-39,2
45	SLE_R_1.1	Combination	Min	-6,5	-39,3
45	SLE_R_1.2	Combination		-6,4	-39,3
45	SLE_R_2.a	Combination	Max	21,7	-44,1
45	SLE_R_2.a	Combination	Min	21,6	-44,1
45	SLE_R_2b	Combination	Max	-7,0	-43,3
45	SLE_R_2b	Combination	Min	-7,0	-43,3
45	SLE_F_VS	Combination		-1,6	-6,2
45	SLE_F_VC	Combination	Max	-2,5	-13,1
45	SLE_F_VC	Combination	Min	-2,6	-13,1
45	SLE_F_1	Combination	Max	-0,7	0,0
45	SLE_F_1	Combination	Min	-0,7	0,0
46	SLE_P	Combination		0,0	0,0
46	SLE_R_VS	Combination		-5,0	-30,8
46	SLE_R_VC	Combination	Max	-9,9	-65,4
46	SLE_R_VC	Combination	Min	-9,9	-65,5
46	SLE_R_1.1	Combination	Max	-6,1	-39,3
46	SLE_R_1.1	Combination	Min	-6,3	-39,3
46	SLE_R_1.2	Combination		-6,2	-39,3
46	SLE_R_2.a	Combination	Max	21,9	-43,8
46	SLE_R_2.a	Combination	Min	21,9	-43,9
46	SLE_R_2b	Combination	Max	-6,7	-43,3
46	SLE_R_2b	Combination	Min	-6,8	-43,3
46	SLE_F_VS	Combination		-1,4	-6,2
46	SLE_F_VC	Combination	Max	-2,3	-13,1
46	SLE_F_VC	Combination	Min	-2,4	-13,1
46	SLE_F_1	Combination	Max	-0,5	0,0
46	SLE_F_1	Combination	Min	-0,6	0,0
47	SLE_P	Combination		0,0	0,0
47	SLE_R_VS	Combination		-4,8	-30,8
47	SLE_R_VC	Combination	Max	-9,6	-65,4
47	SLE_R_VC	Combination	Min	-9,7	-65,5
47	SLE_R_1.1	Combination	Max	-5,9	-39,3
47	SLE_R_1.1	Combination	Min	-6,0	-39,3
47	SLE_R_1.2	Combination		-6,0	-39,3
47	SLE_R_2.a	Combination	Max	22,2	-43,6
47	SLE_R_2.a	Combination	Min	22,1	-43,7

47	SLE_R_2b	Combination	Max	-6,5	-43,3
47	SLE_R_2b	Combination	Min	-6,6	-43,3
47	SLE_F_VS	Combination		-1,2	-6,2
47	SLE_F_VC	Combination	Max	-2,2	-13,1
47	SLE_F_VC	Combination	Min	-2,2	-13,2
47	SLE_F_1	Combination	Max	-0,3	-0,1
47	SLE_F_1	Combination	Min	-0,4	-0,1
48	SLE_P	Combination		0,0	0,0
48	SLE_R_VS	Combination		-4,6	-30,8
48	SLE_R_VC	Combination	Max	-9,4	-65,4
48	SLE_R_VC	Combination	Min	-9,5	-65,4
48	SLE_R_1.1	Combination	Max	-5,7	-39,3
48	SLE_R_1.1	Combination	Min	-5,8	-39,3
48	SLE_R_1.2	Combination		-5,7	-39,3
48	SLE_R_2.a	Combination	Max	22,4	-43,4
48	SLE_R_2.a	Combination	Min	22,4	-43,4
48	SLE_R_2b	Combination	Max	-6,3	-43,3
48	SLE_R_2b	Combination	Min	-6,3	-43,3
48	SLE_F_VS	Combination		-1,0	-6,2
48	SLE_F_VC	Combination	Max	-2,0	-13,1
48	SLE_F_VC	Combination	Min	-2,0	-13,2
48	SLE_F_1	Combination	Max	-0,1	-0,1
48	SLE_F_1	Combination	Min	-0,2	-0,1
54	SLE_P	Combination		0,0	0,0
54	SLE_R_VS	Combination		-4,3	-30,8
54	SLE_R_VC	Combination	Max	-9,2	-65,4
54	SLE_R_VC	Combination	Min	-9,2	-65,4
54	SLE_R_1.1	Combination	Max	-5,5	-39,3
54	SLE_R_1.1	Combination	Min	-5,6	-39,3
54	SLE_R_1.2	Combination		-5,5	-39,3
54	SLE_R_2.a	Combination	Max	22,7	-43,2
54	SLE_R_2.a	Combination	Min	22,6	-43,2
54	SLE_R_2b	Combination	Max	-6,0	-43,3
54	SLE_R_2b	Combination	Min	-6,1	-43,3
54	SLE_F_VS	Combination		-0,8	-6,2
54	SLE_F_VC	Combination	Max	-1,8	-13,2
54	SLE_F_VC	Combination	Min	-1,9	-13,2
54	SLE_F_1	Combination	Max	0,0	-0,1
54	SLE_F_1	Combination	Min	0,0	-0,1
68	SLE_P	Combination		0,0	0,0
68	SLE_R_VS	Combination		-4,3	-30,8
68	SLE_R_VC	Combination	Max	-9,2	-65,4
68	SLE_R_VC	Combination	Min	-9,2	-65,4
68	SLE_R_1.1	Combination	Max	-5,5	-39,3
68	SLE_R_1.1	Combination	Min	-5,6	-39,3
68	SLE_R_1.2	Combination		-5,5	-39,3
68	SLE_R_2.a	Combination	Max	22,7	-43,1
68	SLE_R_2.a	Combination	Min	22,6	-43,1
68	SLE_R_2b	Combination	Max	-6,0	-43,3
68	SLE_R_2b	Combination	Min	-6,1	-43,3
68	SLE_F_VS	Combination		-0,8	-6,2
68	SLE_F_VC	Combination	Max	-1,8	-13,1
68	SLE_F_VC	Combination	Min	-1,9	-13,2
68	SLE_F_1	Combination	Max	0,0	-0,1

68	SLE_F_1	Combination	Min	0,0	-0,1
72	SLE_P	Combination		0,0	0,0
72	SLE_R_VS	Combination		-4,1	-30,8
72	SLE_R_VC	Combination	Max	-8,9	-65,3
72	SLE_R_VC	Combination	Min	-9,0	-65,4
72	SLE_R_1.1	Combination	Max	-5,2	-39,2
72	SLE_R_1.1	Combination	Min	-5,3	-39,3
72	SLE_R_1.2	Combination		-5,3	-39,3
72	SLE_R_2.a	Combination	Max	23,0	-42,8
72	SLE_R_2.a	Combination	Min	22,9	-42,9
72	SLE_R_2b	Combination	Max	-5,8	-43,2
72	SLE_R_2b	Combination	Min	-5,9	-43,3
72	SLE_F_VS	Combination		-0,7	-6,3
72	SLE_F_VC	Combination	Max	-1,6	-13,2
72	SLE_F_VC	Combination	Min	-1,7	-13,2
72	SLE_F_1	Combination	Max	0,2	-0,1
72	SLE_F_1	Combination	Min	0,2	-0,1
73	SLE_P	Combination		0,0	0,0
73	SLE_R_VS	Combination		-3,9	-30,8
73	SLE_R_VC	Combination	Max	-8,7	-65,3
73	SLE_R_VC	Combination	Min	-8,8	-65,3
73	SLE_R_1.1	Combination	Max	-5,0	-39,2
73	SLE_R_1.1	Combination	Min	-5,1	-39,3
73	SLE_R_1.2	Combination		-5,1	-39,2
73	SLE_R_2.a	Combination	Max	23,2	-42,6
73	SLE_R_2.a	Combination	Min	23,1	-42,6
73	SLE_R_2b	Combination	Max	-5,6	-43,2
73	SLE_R_2b	Combination	Min	-5,7	-43,3
73	SLE_F_VS	Combination		-0,5	-6,3
73	SLE_F_VC	Combination	Max	-1,4	-13,2
73	SLE_F_VC	Combination	Min	-1,5	-13,2
73	SLE_F_1	Combination	Max	0,4	-0,1
73	SLE_F_1	Combination	Min	0,4	-0,1
74	SLE_P	Combination		0,0	0,0
74	SLE_R_VS	Combination		-3,6	-30,8
74	SLE_R_VC	Combination	Max	-8,5	-65,3
74	SLE_R_VC	Combination	Min	-8,6	-65,3
74	SLE_R_1.1	Combination	Max	-4,8	-39,2
74	SLE_R_1.1	Combination	Min	-4,9	-39,3
74	SLE_R_1.2	Combination		-4,8	-39,2
74	SLE_R_2.a	Combination	Max	23,4	-42,4
74	SLE_R_2.a	Combination	Min	23,4	-42,4
74	SLE_R_2b	Combination	Max	-5,4	-43,2
74	SLE_R_2b	Combination	Min	-5,4	-43,2
74	SLE_F_VS	Combination		-0,3	-6,3
74	SLE_F_VC	Combination	Max	-1,2	-13,2
74	SLE_F_VC	Combination	Min	-1,3	-13,2
74	SLE_F_1	Combination	Max	0,6	-0,1
74	SLE_F_1	Combination	Min	0,6	-0,2
75	SLE_P	Combination		0,0	0,0
75	SLE_R_VS	Combination		-3,4	-30,8
75	SLE_R_VC	Combination	Max	-8,2	-65,2
75	SLE_R_VC	Combination	Min	-8,3	-65,2
75	SLE_R_1.1	Combination	Max	-4,5	-39,2

75	SLE_R_1.1	Combination	Min	-4,7	-39,3
75	SLE_R_1.2	Combination		-4,6	-39,2
75	SLE_R_2.a	Combination	Max	23,7	-42,1
75	SLE_R_2.a	Combination	Min	23,6	-42,2
75	SLE_R_2b	Combination	Max	-5,1	-43,2
75	SLE_R_2b	Combination	Min	-5,2	-43,2
75	SLE_F_VS	Combination		-0,1	-6,3
75	SLE_F_VC	Combination	Max	-1,0	-13,1
75	SLE_F_VC	Combination	Min	-1,1	-13,2
75	SLE_F_1	Combination	Max	0,8	-0,1
75	SLE_F_1	Combination	Min	0,8	-0,2
76	SLE_P	Combination		0,0	0,0
76	SLE_R_VS	Combination		-3,2	-30,7
76	SLE_R_VC	Combination	Max	-8,0	-65,1
76	SLE_R_VC	Combination	Min	-8,1	-65,1
76	SLE_R_1.1	Combination	Max	-4,3	-39,1
76	SLE_R_1.1	Combination	Min	-4,4	-39,2
76	SLE_R_1.2	Combination		-4,4	-39,1
76	SLE_R_2.a	Combination	Max	23,9	-41,9
76	SLE_R_2.a	Combination	Min	23,9	-41,9
76	SLE_R_2b	Combination	Max	-4,9	-43,1
76	SLE_R_2b	Combination	Min	-5,0	-43,1
76	SLE_F_VS	Combination		0,1	-6,3
76	SLE_F_VC	Combination	Max	-0,8	-13,1
76	SLE_F_VC	Combination	Min	-0,9	-13,2
76	SLE_F_1	Combination	Max	1,0	-0,2
76	SLE_F_1	Combination	Min	1,0	-0,2
77	SLE_P	Combination		0,0	0,0
77	SLE_R_VS	Combination		-2,9	-30,7
77	SLE_R_VC	Combination	Max	-7,8	-65,0
77	SLE_R_VC	Combination	Min	-7,9	-65,0
77	SLE_R_1.1	Combination	Max	-4,1	-39,1
77	SLE_R_1.1	Combination	Min	-4,2	-39,1
77	SLE_R_1.2	Combination		-4,1	-39,1
77	SLE_R_2.a	Combination	Max	24,2	-41,6
77	SLE_R_2.a	Combination	Min	24,1	-41,6
77	SLE_R_2b	Combination	Max	-4,7	-43,0
77	SLE_R_2b	Combination	Min	-4,7	-43,1
77	SLE_F_VS	Combination		0,3	-6,3
77	SLE_F_VC	Combination	Max	-0,6	-13,1
77	SLE_F_VC	Combination	Min	-0,7	-13,2
77	SLE_F_1	Combination	Max	1,2	-0,2
77	SLE_F_1	Combination	Min	1,1	-0,2
78	SLE_P	Combination		0,0	0,0
78	SLE_R_VS	Combination		-2,7	-30,6
78	SLE_R_VC	Combination	Max	-7,5	-64,8
78	SLE_R_VC	Combination	Min	-7,6	-64,9
78	SLE_R_1.1	Combination	Max	-3,8	-39,0
78	SLE_R_1.1	Combination	Min	-4,0	-39,1
78	SLE_R_1.2	Combination		-3,9	-39,0
78	SLE_R_2.a	Combination	Max	24,4	-41,3
78	SLE_R_2.a	Combination	Min	24,3	-41,4
78	SLE_R_2b	Combination	Max	-4,4	-42,9
78	SLE_R_2b	Combination	Min	-4,5	-43,0

78	SLE_F_VS	Combination		0,5	-6,3
78	SLE_F_VC	Combination	Max	-0,5	-13,1
78	SLE_F_VC	Combination	Min	-0,5	-13,1
78	SLE_F_1	Combination	Max	1,4	-0,2
78	SLE_F_1	Combination	Min	1,3	-0,2
84	SLE_P	Combination		0,0	0,0
84	SLE_R_VS	Combination		-2,5	-30,6
84	SLE_R_VC	Combination	Max	-7,3	-64,7
84	SLE_R_VC	Combination	Min	-7,4	-64,7
84	SLE_R_1.1	Combination	Max	-3,6	-38,9
84	SLE_R_1.1	Combination	Min	-3,7	-39,0
84	SLE_R_1.2	Combination		-3,7	-38,9
84	SLE_R_2.a	Combination	Max	24,7	-41,0
84	SLE_R_2.a	Combination	Min	24,6	-41,1
84	SLE_R_2b	Combination	Max	-4,2	-42,8
84	SLE_R_2b	Combination	Min	-4,3	-42,9
84	SLE_F_VS	Combination		0,7	-6,3
84	SLE_F_VC	Combination	Max	-0,3	-13,1
84	SLE_F_VC	Combination	Min	-0,3	-13,1
84	SLE_F_1	Combination	Max	1,6	-0,2
84	SLE_F_1	Combination	Min	1,5	-0,2
98	SLE_P	Combination		0,0	0,0
98	SLE_R_VS	Combination		-2,5	-30,5
98	SLE_R_VC	Combination	Max	-7,3	-64,6
98	SLE_R_VC	Combination	Min	-7,4	-64,7
98	SLE_R_1.1	Combination	Max	-3,6	-38,9
98	SLE_R_1.1	Combination	Min	-3,7	-39,0
98	SLE_R_1.2	Combination		-3,7	-38,9
98	SLE_R_2.a	Combination	Max	24,7	-40,9
98	SLE_R_2.a	Combination	Min	24,6	-41,0
98	SLE_R_2b	Combination	Max	-4,2	-42,8
98	SLE_R_2b	Combination	Min	-4,3	-42,9
98	SLE_F_VS	Combination		0,7	-6,2
98	SLE_F_VC	Combination	Max	-0,3	-13,1
98	SLE_F_VC	Combination	Min	-0,3	-13,1
98	SLE_F_1	Combination	Max	1,6	-0,2
98	SLE_F_1	Combination	Min	1,5	-0,2
102	SLE_P	Combination		0,0	0,0
102	SLE_R_VS	Combination		-2,3	-30,5
102	SLE_R_VC	Combination	Max	-7,1	-64,5
102	SLE_R_VC	Combination	Min	-7,1	-64,6
102	SLE_R_1.1	Combination	Max	-3,4	-38,8
102	SLE_R_1.1	Combination	Min	-3,5	-38,9
102	SLE_R_1.2	Combination		-3,4	-38,8
102	SLE_R_2.a	Combination	Max	24,9	-40,6
102	SLE_R_2.a	Combination	Min	24,8	-40,7
102	SLE_R_2b	Combination	Max	-4,0	-42,7
102	SLE_R_2b	Combination	Min	-4,0	-42,8
102	SLE_F_VS	Combination		0,9	-6,2
102	SLE_F_VC	Combination	Max	-0,1	-13,0
102	SLE_F_VC	Combination	Min	-0,1	-13,1
102	SLE_F_1	Combination	Max	1,7	-0,2
102	SLE_F_1	Combination	Min	1,7	-0,2
103	SLE_P	Combination		0,0	0,0

103	SLE_R_VS	Combination		-2,0	-30,4
103	SLE_R_VC	Combination	Max	-6,8	-64,4
103	SLE_R_VC	Combination	Min	-6,9	-64,4
103	SLE_R_1.1	Combination	Max	-3,1	-38,7
103	SLE_R_1.1	Combination	Min	-3,3	-38,8
103	SLE_R_1.2	Combination		-3,2	-38,7
103	SLE_R_2.a	Combination	Max	25,2	-40,4
103	SLE_R_2.a	Combination	Min	25,1	-40,4
103	SLE_R_2b	Combination	Max	-3,7	-42,6
103	SLE_R_2b	Combination	Min	-3,8	-42,7
103	SLE_F_VS	Combination		1,0	-6,2
103	SLE_F_VC	Combination	Max	0,1	-13,0
103	SLE_F_VC	Combination	Min	0,0	-13,1
103	SLE_F_1	Combination	Max	1,9	-0,2
103	SLE_F_1	Combination	Min	1,9	-0,2
104	SLE_P	Combination		0,0	0,0
104	SLE_R_VS	Combination		-1,8	-30,3
104	SLE_R_VC	Combination	Max	-6,6	-64,2
104	SLE_R_VC	Combination	Min	-6,7	-64,3
104	SLE_R_1.1	Combination	Max	-2,9	-38,6
104	SLE_R_1.1	Combination	Min	-3,0	-38,7
104	SLE_R_1.2	Combination		-3,0	-38,6
104	SLE_R_2.a	Combination	Max	25,4	-40,1
104	SLE_R_2.a	Combination	Min	25,3	-40,1
104	SLE_R_2b	Combination	Max	-3,5	-42,5
104	SLE_R_2b	Combination	Min	-3,6	-42,6
104	SLE_F_VS	Combination		1,2	-6,2
104	SLE_F_VC	Combination	Max	0,3	-13,0
104	SLE_F_VC	Combination	Min	0,2	-13,1
104	SLE_F_1	Combination	Max	2,1	-0,2
104	SLE_F_1	Combination	Min	2,1	-0,2
105	SLE_P	Combination		0,0	0,0
105	SLE_R_VS	Combination		-1,6	-30,3
105	SLE_R_VC	Combination	Max	-6,4	-64,0
105	SLE_R_VC	Combination	Min	-6,4	-64,1
105	SLE_R_1.1	Combination	Max	-2,7	-38,5
105	SLE_R_1.1	Combination	Min	-2,8	-38,6
105	SLE_R_1.2	Combination		-2,7	-38,5
105	SLE_R_2.a	Combination	Max	25,7	-39,8
105	SLE_R_2.a	Combination	Min	25,6	-39,8
105	SLE_R_2b	Combination	Max	-3,3	-42,4
105	SLE_R_2b	Combination	Min	-3,3	-42,5
105	SLE_F_VS	Combination		1,4	-6,2
105	SLE_F_VC	Combination	Max	0,5	-13,0
105	SLE_F_VC	Combination	Min	0,4	-13,0
105	SLE_F_1	Combination	Max	2,3	-0,2
105	SLE_F_1	Combination	Min	2,3	-0,2
106	SLE_P	Combination		0,0	0,0
106	SLE_R_VS	Combination		-1,3	-30,2
106	SLE_R_VC	Combination	Max	-6,1	-63,8
106	SLE_R_VC	Combination	Min	-6,2	-63,9
106	SLE_R_1.1	Combination	Max	-2,4	-38,4
106	SLE_R_1.1	Combination	Min	-2,6	-38,5
106	SLE_R_1.2	Combination		-2,5	-38,4

106	SLE_R_2.a	Combination	Max	25,9	-39,5
106	SLE_R_2.a	Combination	Min	25,8	-39,5
106	SLE_R_2b	Combination	Max	-3,0	-42,3
106	SLE_R_2b	Combination	Min	-3,1	-42,4
106	SLE_F_VS	Combination		1,6	-6,2
106	SLE_F_VC	Combination	Max	0,7	-12,9
106	SLE_F_VC	Combination	Min	0,6	-13,0
106	SLE_F_1	Combination	Max	2,5	-0,2
106	SLE_F_1	Combination	Min	2,5	-0,3
107	SLE_P	Combination		0,0	0,0
107	SLE_R_VS	Combination		-1,1	-30,1
107	SLE_R_VC	Combination	Max	-5,9	-63,6
107	SLE_R_VC	Combination	Min	-5,9	-63,7
107	SLE_R_1.1	Combination	Max	-2,2	-38,2
107	SLE_R_1.1	Combination	Min	-2,3	-38,4
107	SLE_R_1.2	Combination		-2,3	-38,3
107	SLE_R_2.a	Combination	Max	26,1	-39,1
107	SLE_R_2.a	Combination	Min	26,1	-39,2
107	SLE_R_2b	Combination	Max	-2,8	-42,1
107	SLE_R_2b	Combination	Min	-2,9	-42,2
107	SLE_F_VS	Combination		1,8	-6,2
107	SLE_F_VC	Combination	Max	0,9	-12,9
107	SLE_F_VC	Combination	Min	0,8	-13,0
107	SLE_F_1	Combination	Max	2,7	-0,2
107	SLE_F_1	Combination	Min	2,6	-0,3
108	SLE_P	Combination		0,0	0,0
108	SLE_R_VS	Combination		-0,9	-30,0
108	SLE_R_VC	Combination	Max	-5,6	-63,3
108	SLE_R_VC	Combination	Min	-5,7	-63,4
108	SLE_R_1.1	Combination	Max	-2,0	-38,1
108	SLE_R_1.1	Combination	Min	-2,1	-38,2
108	SLE_R_1.2	Combination		-2,0	-38,1
108	SLE_R_2.a	Combination	Max	26,4	-38,8
108	SLE_R_2.a	Combination	Min	26,3	-38,9
108	SLE_R_2b	Combination	Max	-2,6	-42,0
108	SLE_R_2b	Combination	Min	-2,6	-42,0
108	SLE_F_VS	Combination		2,0	-6,2
108	SLE_F_VC	Combination	Max	1,1	-12,8
108	SLE_F_VC	Combination	Min	1,0	-12,9
108	SLE_F_1	Combination	Max	2,9	-0,2
108	SLE_F_1	Combination	Min	2,8	-0,3
114	SLE_P	Combination		0,0	0,0
114	SLE_R_VS	Combination		-0,6	-29,8
114	SLE_R_VC	Combination	Max	-5,4	-63,1
114	SLE_R_VC	Combination	Min	-5,5	-63,1
114	SLE_R_1.1	Combination	Max	-1,7	-37,9
114	SLE_R_1.1	Combination	Min	-1,9	-38,1
114	SLE_R_1.2	Combination		-1,8	-38,0
114	SLE_R_2.a	Combination	Max	26,6	-38,4
114	SLE_R_2.a	Combination	Min	26,6	-38,5
114	SLE_R_2b	Combination	Max	-2,3	-41,8
114	SLE_R_2b	Combination	Min	-2,4	-41,9
114	SLE_F_VS	Combination		2,2	-6,2
114	SLE_F_VC	Combination	Max	1,3	-12,8

114	SLE_F_VC	Combination	Min	1,2	-12,9
114	SLE_F_1	Combination	Max	3,1	-0,2
114	SLE_F_1	Combination	Min	3,0	-0,3
			Max	27	1
			Min	-13	-65

TABLE: Joint Displacements - PARTE CONTINUA - SLU					
Joint	OutputCase	CaseType	StepType	U1	U2
Text	Text	Text	Text	mm	mm
8	SLU_P	Combination		0,0	0,0
8	SLU_VS	Combination		-10,6	-44,6
8	SLU_VC	Combination	Max	-17,7	-95,8
8	SLU_VC	Combination	Min	-17,8	-95,8
8	SLU_1.1	Combination	Max	-12,3	-57,1
8	SLU_1.1	Combination	Min	-12,4	-57,2
8	SLU_1.2	Combination		-12,4	-57,1
8	SLU_2a	Combination	Max	24,6	-67,6
8	SLU_2a	Combination	Min	24,5	-67,7
8	SLU_2b	Combination	Max	-13,0	-62,4
8	SLU_2b	Combination	Min	-13,1	-62,5
12	SLU_P	Combination		0,0	0,0
12	SLU_VS	Combination		-10,4	-44,8
12	SLU_VC	Combination	Max	-17,5	-96,1
12	SLU_VC	Combination	Min	-17,6	-96,2
12	SLU_1.1	Combination	Max	-12,0	-57,3
12	SLU_1.1	Combination	Min	-12,2	-57,4
12	SLU_1.2	Combination		-12,1	-57,4
12	SLU_2a	Combination	Max	24,9	-67,6
12	SLU_2a	Combination	Min	24,8	-67,6
12	SLU_2b	Combination	Max	-12,8	-62,7
12	SLU_2b	Combination	Min	-12,9	-62,7
13	SLU_P	Combination		0,0	0,0
13	SLU_VS	Combination		-10,1	-45,0
13	SLU_VC	Combination	Max	-17,3	-96,5
13	SLU_VC	Combination	Min	-17,4	-96,5
13	SLU_1.1	Combination	Max	-11,8	-57,6
13	SLU_1.1	Combination	Min	-12,0	-57,7
13	SLU_1.2	Combination		-11,9	-57,6
13	SLU_2a	Combination	Max	25,2	-67,5
13	SLU_2a	Combination	Min	25,1	-67,5
13	SLU_2b	Combination	Max	-12,6	-63,0
13	SLU_2b	Combination	Min	-12,7	-63,0
14	SLU_P	Combination		0,0	0,0
14	SLU_VS	Combination		-9,9	-45,2
14	SLU_VC	Combination	Max	-17,1	-96,8
14	SLU_VC	Combination	Min	-17,2	-96,8
14	SLU_1.1	Combination	Max	-11,6	-57,8
14	SLU_1.1	Combination	Min	-11,8	-57,9
14	SLU_1.2	Combination		-11,7	-57,8
14	SLU_2a	Combination	Max	25,6	-67,4
14	SLU_2a	Combination	Min	25,5	-67,4
14	SLU_2b	Combination	Max	-12,4	-63,2
14	SLU_2b	Combination	Min	-12,5	-63,2

15	SLU_P	Combination		0,0	0,0
15	SLU_VS	Combination		-9,7	-45,4
15	SLU_VC	Combination	Max	-16,9	-97,0
15	SLU_VC	Combination	Min	-17,0	-97,1
15	SLU_1.1	Combination	Max	-11,4	-58,0
15	SLU_1.1	Combination	Min	-11,5	-58,1
15	SLU_1.2	Combination		-11,5	-58,0
15	SLU_2a	Combination	Max	25,9	-67,2
15	SLU_2a	Combination	Min	25,8	-67,3
15	SLU_2b	Combination	Max	-12,2	-63,4
15	SLU_2b	Combination	Min	-12,2	-63,4
16	SLU_P	Combination		0,0	0,0
16	SLU_VS	Combination		-9,4	-45,6
16	SLU_VC	Combination	Max	-16,7	-97,3
16	SLU_VC	Combination	Min	-16,8	-97,3
16	SLU_1.1	Combination	Max	-11,1	-58,2
16	SLU_1.1	Combination	Min	-11,3	-58,2
16	SLU_1.2	Combination		-11,2	-58,2
16	SLU_2a	Combination	Max	26,2	-67,1
16	SLU_2a	Combination	Min	26,1	-67,1
16	SLU_2b	Combination	Max	-11,9	-63,6
16	SLU_2b	Combination	Min	-12,0	-63,6
17	SLU_P	Combination		0,0	0,0
17	SLU_VS	Combination		-9,2	-45,7
17	SLU_VC	Combination	Max	-16,4	-97,4
17	SLU_VC	Combination	Min	-16,5	-97,5
17	SLU_1.1	Combination	Max	-10,9	-58,3
17	SLU_1.1	Combination	Min	-11,0	-58,4
17	SLU_1.2	Combination		-11,0	-58,3
17	SLU_2a	Combination	Max	26,6	-66,9
17	SLU_2a	Combination	Min	26,5	-66,9
17	SLU_2b	Combination	Max	-11,7	-63,7
17	SLU_2b	Combination	Min	-11,8	-63,7
18	SLU_P	Combination		0,0	0,0
18	SLU_VS	Combination		-8,9	-45,8
18	SLU_VC	Combination	Max	-16,2	-97,6
18	SLU_VC	Combination	Min	-16,3	-97,6
18	SLU_1.1	Combination	Max	-10,6	-58,4
18	SLU_1.1	Combination	Min	-10,8	-58,5
18	SLU_1.2	Combination		-10,7	-58,5
18	SLU_2a	Combination	Max	26,9	-66,7
18	SLU_2a	Combination	Min	26,8	-66,7
18	SLU_2b	Combination	Max	-11,4	-63,8
18	SLU_2b	Combination	Min	-11,5	-63,9
24	SLU_P	Combination		0,0	0,0
24	SLU_VS	Combination		-8,6	-45,9
24	SLU_VC	Combination	Max	-15,9	-97,7
24	SLU_VC	Combination	Min	-16,0	-97,8
24	SLU_1.1	Combination	Max	-10,4	-58,6
24	SLU_1.1	Combination	Min	-10,5	-58,6
24	SLU_1.2	Combination		-10,4	-58,6
24	SLU_2a	Combination	Max	27,3	-66,5
24	SLU_2a	Combination	Min	27,2	-66,5
24	SLU_2b	Combination	Max	-11,2	-64,0

24	SLU_2b	Combination	Min	-11,2	-64,0
38	SLU_P	Combination		0,0	0,0
38	SLU_VS	Combination		-8,7	-45,9
38	SLU_VC	Combination	Max	-15,9	-97,8
38	SLU_VC	Combination	Min	-16,0	-97,8
38	SLU_1.1	Combination	Max	-10,4	-58,6
38	SLU_1.1	Combination	Min	-10,5	-58,6
38	SLU_1.2	Combination		-10,4	-58,6
38	SLU_2a	Combination	Max	27,3	-66,4
38	SLU_2a	Combination	Min	27,2	-66,4
38	SLU_2b	Combination	Max	-11,2	-64,0
38	SLU_2b	Combination	Min	-11,3	-64,0
42	SLU_P	Combination		0,0	0,0
42	SLU_VS	Combination		-8,4	-46,0
42	SLU_VC	Combination	Max	-15,7	-97,9
42	SLU_VC	Combination	Min	-15,8	-97,9
42	SLU_1.1	Combination	Max	-10,1	-58,7
42	SLU_1.1	Combination	Min	-10,3	-58,7
42	SLU_1.2	Combination		-10,2	-58,7
42	SLU_2a	Combination	Max	27,6	-66,1
42	SLU_2a	Combination	Min	27,5	-66,2
42	SLU_2b	Combination	Max	-10,9	-64,1
42	SLU_2b	Combination	Min	-11,0	-64,1
43	SLU_P	Combination		0,0	0,0
43	SLU_VS	Combination		-8,1	-46,1
43	SLU_VC	Combination	Max	-15,4	-98,0
43	SLU_VC	Combination	Min	-15,5	-98,0
43	SLU_1.1	Combination	Max	-9,8	-58,8
43	SLU_1.1	Combination	Min	-10,0	-58,8
43	SLU_1.2	Combination		-9,9	-58,8
43	SLU_2a	Combination	Max	27,9	-65,9
43	SLU_2a	Combination	Min	27,8	-65,9
43	SLU_2b	Combination	Max	-10,6	-64,2
43	SLU_2b	Combination	Min	-10,7	-64,2
44	SLU_P	Combination		0,0	0,0
44	SLU_VS	Combination		-7,9	-46,1
44	SLU_VC	Combination	Max	-15,2	-98,1
44	SLU_VC	Combination	Min	-15,3	-98,1
44	SLU_1.1	Combination	Max	-9,6	-58,8
44	SLU_1.1	Combination	Min	-9,7	-58,9
44	SLU_1.2	Combination		-9,7	-58,8
44	SLU_2a	Combination	Max	28,2	-65,6
44	SLU_2a	Combination	Min	28,1	-65,7
44	SLU_2b	Combination	Max	-10,4	-64,2
44	SLU_2b	Combination	Min	-10,5	-64,3
45	SLU_P	Combination		0,0	0,0
45	SLU_VS	Combination		-7,6	-46,2
45	SLU_VC	Combination	Max	-14,9	-98,1
45	SLU_VC	Combination	Min	-15,0	-98,2
45	SLU_1.1	Combination	Max	-9,3	-58,9
45	SLU_1.1	Combination	Min	-9,4	-58,9
45	SLU_1.2	Combination		-9,4	-58,9
45	SLU_2a	Combination	Max	28,6	-65,4
45	SLU_2a	Combination	Min	28,5	-65,4

45	SLU_2b	Combination	Max	-10,1	-64,3
45	SLU_2b	Combination	Min	-10,2	-64,3
46	SLU_P	Combination		0,0	0,0
46	SLU_VS	Combination		-7,3	-46,2
46	SLU_VC	Combination	Max	-14,6	-98,1
46	SLU_VC	Combination	Min	-14,7	-98,2
46	SLU_1.1	Combination	Max	-9,0	-58,9
46	SLU_1.1	Combination	Min	-9,2	-59,0
46	SLU_1.2	Combination		-9,1	-58,9
46	SLU_2a	Combination	Max	28,9	-65,1
46	SLU_2a	Combination	Min	28,8	-65,1
46	SLU_2b	Combination	Max	-9,8	-64,3
46	SLU_2b	Combination	Min	-9,9	-64,3
47	SLU_P	Combination		0,0	0,0
47	SLU_VS	Combination		-7,0	-46,2
47	SLU_VC	Combination	Max	-14,3	-98,1
47	SLU_VC	Combination	Min	-14,4	-98,2
47	SLU_1.1	Combination	Max	-8,7	-58,9
47	SLU_1.1	Combination	Min	-8,9	-59,0
47	SLU_1.2	Combination		-8,8	-58,9
47	SLU_2a	Combination	Max	29,2	-64,8
47	SLU_2a	Combination	Min	29,1	-64,8
47	SLU_2b	Combination	Max	-9,5	-64,3
47	SLU_2b	Combination	Min	-9,6	-64,3
48	SLU_P	Combination		0,0	0,0
48	SLU_VS	Combination		-6,8	-46,2
48	SLU_VC	Combination	Max	-14,0	-98,1
48	SLU_VC	Combination	Min	-14,1	-98,1
48	SLU_1.1	Combination	Max	-8,5	-58,9
48	SLU_1.1	Combination	Min	-8,6	-59,0
48	SLU_1.2	Combination		-8,6	-58,9
48	SLU_2a	Combination	Max	29,5	-64,4
48	SLU_2a	Combination	Min	29,4	-64,5
48	SLU_2b	Combination	Max	-9,3	-64,3
48	SLU_2b	Combination	Min	-9,4	-64,3
54	SLU_P	Combination		0,0	0,0
54	SLU_VS	Combination		-6,5	-46,2
54	SLU_VC	Combination	Max	-13,8	-98,0
54	SLU_VC	Combination	Min	-13,9	-98,1
54	SLU_1.1	Combination	Max	-8,2	-58,9
54	SLU_1.1	Combination	Min	-8,3	-59,0
54	SLU_1.2	Combination		-8,3	-58,9
54	SLU_2a	Combination	Max	29,8	-64,1
54	SLU_2a	Combination	Min	29,7	-64,2
54	SLU_2b	Combination	Max	-9,0	-64,3
54	SLU_2b	Combination	Min	-9,1	-64,3
68	SLU_P	Combination		0,0	0,0
68	SLU_VS	Combination		-6,5	-46,2
68	SLU_VC	Combination	Max	-13,8	-98,0
68	SLU_VC	Combination	Min	-13,9	-98,0
68	SLU_1.1	Combination	Max	-8,2	-58,8
68	SLU_1.1	Combination	Min	-8,3	-58,9
68	SLU_1.2	Combination		-8,3	-58,9
68	SLU_2a	Combination	Max	29,8	-64,0

68	SLU_2a	Combination	Min	29,7	-64,0
68	SLU_2b	Combination	Max	-9,0	-64,2
68	SLU_2b	Combination	Min	-9,1	-64,3
72	SLU_P	Combination		0,0	0,0
72	SLU_VS	Combination		-6,2	-46,2
72	SLU_VC	Combination	Max	-13,5	-98,0
72	SLU_VC	Combination	Min	-13,6	-98,0
72	SLU_1.1	Combination	Max	-7,9	-58,8
72	SLU_1.1	Combination	Min	-8,1	-58,9
72	SLU_1.2	Combination		-8,0	-58,8
72	SLU_2a	Combination	Max	30,1	-63,7
72	SLU_2a	Combination	Min	30,0	-63,7
72	SLU_2b	Combination	Max	-8,7	-64,2
72	SLU_2b	Combination	Min	-8,8	-64,3
73	SLU_P	Combination		0,0	0,0
73	SLU_VS	Combination		-5,9	-46,2
73	SLU_VC	Combination	Max	-13,2	-97,9
73	SLU_VC	Combination	Min	-13,3	-98,0
73	SLU_1.1	Combination	Max	-7,6	-58,8
73	SLU_1.1	Combination	Min	-7,8	-58,9
73	SLU_1.2	Combination		-7,7	-58,8
73	SLU_2a	Combination	Max	30,4	-63,4
73	SLU_2a	Combination	Min	30,3	-63,4
73	SLU_2b	Combination	Max	-8,4	-64,2
73	SLU_2b	Combination	Min	-8,5	-64,2
74	SLU_P	Combination		0,0	0,0
74	SLU_VS	Combination		-5,7	-46,1
74	SLU_VC	Combination	Max	-12,9	-97,8
74	SLU_VC	Combination	Min	-13,0	-97,9
74	SLU_1.1	Combination	Max	-7,4	-58,8
74	SLU_1.1	Combination	Min	-7,5	-58,9
74	SLU_1.2	Combination		-7,4	-58,8
74	SLU_2a	Combination	Max	30,7	-63,0
74	SLU_2a	Combination	Min	30,6	-63,1
74	SLU_2b	Combination	Max	-8,2	-64,2
74	SLU_2b	Combination	Min	-8,3	-64,2
75	SLU_P	Combination		0,0	0,0
75	SLU_VS	Combination		-5,4	-46,1
75	SLU_VC	Combination	Max	-12,6	-97,7
75	SLU_VC	Combination	Min	-12,7	-97,8
75	SLU_1.1	Combination	Max	-7,1	-58,7
75	SLU_1.1	Combination	Min	-7,2	-58,8
75	SLU_1.2	Combination		-7,2	-58,7
75	SLU_2a	Combination	Max	31,0	-62,7
75	SLU_2a	Combination	Min	30,9	-62,7
75	SLU_2b	Combination	Max	-7,9	-64,1
75	SLU_2b	Combination	Min	-8,0	-64,1
76	SLU_P	Combination		0,0	0,0
76	SLU_VS	Combination		-5,1	-46,0
76	SLU_VC	Combination	Max	-12,4	-97,6
76	SLU_VC	Combination	Min	-12,5	-97,6
76	SLU_1.1	Combination	Max	-6,8	-58,6
76	SLU_1.1	Combination	Min	-7,0	-58,7
76	SLU_1.2	Combination		-6,9	-58,6

76	SLU_2a	Combination	Max	31,3	-62,3
76	SLU_2a	Combination	Min	31,2	-62,4
76	SLU_2b	Combination	Max	-7,6	-64,0
76	SLU_2b	Combination	Min	-7,7	-64,1
77	SLU_P	Combination		0,0	0,0
77	SLU_VS	Combination		-4,8	-46,0
77	SLU_VC	Combination	Max	-12,1	-97,4
77	SLU_VC	Combination	Min	-12,2	-97,5
77	SLU_1.1	Combination	Max	-6,5	-58,5
77	SLU_1.1	Combination	Min	-6,7	-58,6
77	SLU_1.2	Combination		-6,6	-58,5
77	SLU_2a	Combination	Max	31,6	-61,9
77	SLU_2a	Combination	Min	31,5	-62,0
77	SLU_2b	Combination	Max	-7,3	-63,9
77	SLU_2b	Combination	Min	-7,4	-63,9
78	SLU_P	Combination		0,0	0,0
78	SLU_VS	Combination		-4,5	-45,9
78	SLU_VC	Combination	Max	-11,8	-97,2
78	SLU_VC	Combination	Min	-11,9	-97,3
78	SLU_1.1	Combination	Max	-6,2	-58,4
78	SLU_1.1	Combination	Min	-6,4	-58,5
78	SLU_1.2	Combination		-6,3	-58,4
78	SLU_2a	Combination	Max	31,9	-61,5
78	SLU_2a	Combination	Min	31,8	-61,6
78	SLU_2b	Combination	Max	-7,0	-63,8
78	SLU_2b	Combination	Min	-7,1	-63,8
84	SLU_P	Combination		0,0	0,0
84	SLU_VS	Combination		-4,3	-45,8
84	SLU_VC	Combination	Max	-11,5	-97,0
84	SLU_VC	Combination	Min	-11,6	-97,0
84	SLU_1.1	Combination	Max	-6,0	-58,3
84	SLU_1.1	Combination	Min	-6,1	-58,4
84	SLU_1.2	Combination		-6,1	-58,3
84	SLU_2a	Combination	Max	32,2	-61,1
84	SLU_2a	Combination	Min	32,1	-61,2
84	SLU_2b	Combination	Max	-6,8	-63,6
84	SLU_2b	Combination	Min	-6,9	-63,7
98	SLU_P	Combination		0,0	0,0
98	SLU_VS	Combination		-4,3	-45,7
98	SLU_VC	Combination	Max	-11,5	-96,9
98	SLU_VC	Combination	Min	-11,6	-97,0
98	SLU_1.1	Combination	Max	-6,0	-58,2
98	SLU_1.1	Combination	Min	-6,1	-58,4
98	SLU_1.2	Combination		-6,0	-58,2
98	SLU_2a	Combination	Max	32,2	-61,0
98	SLU_2a	Combination	Min	32,1	-61,1
98	SLU_2b	Combination	Max	-6,8	-63,6
98	SLU_2b	Combination	Min	-6,8	-63,6
102	SLU_P	Combination		0,0	0,0
102	SLU_VS	Combination		-4,0	-45,6
102	SLU_VC	Combination	Max	-11,2	-96,7
102	SLU_VC	Combination	Min	-11,3	-96,8
102	SLU_1.1	Combination	Max	-5,7	-58,1
102	SLU_1.1	Combination	Min	-5,8	-58,3

102	SLU_1.2	Combination		-5,8	-58,1
102	SLU_2a	Combination	Max	32,5	-60,6
102	SLU_2a	Combination	Min	32,4	-60,7
102	SLU_2b	Combination	Max	-6,5	-63,4
102	SLU_2b	Combination	Min	-6,6	-63,5
103	SLU_P	Combination		0,0	0,0
103	SLU_VS	Combination		-3,7	-45,6
103	SLU_VC	Combination	Max	-10,9	-96,5
103	SLU_VC	Combination	Min	-11,0	-96,6
103	SLU_1.1	Combination	Max	-5,4	-58,0
103	SLU_1.1	Combination	Min	-5,6	-58,1
103	SLU_1.2	Combination		-5,5	-58,0
103	SLU_2a	Combination	Max	32,8	-60,2
103	SLU_2a	Combination	Min	32,7	-60,3
103	SLU_2b	Combination	Max	-6,2	-63,3
103	SLU_2b	Combination	Min	-6,3	-63,4
104	SLU_P	Combination		0,0	0,0
104	SLU_VS	Combination		-3,4	-45,4
104	SLU_VC	Combination	Max	-10,6	-96,3
104	SLU_VC	Combination	Min	-10,7	-96,3
104	SLU_1.1	Combination	Max	-5,1	-57,9
104	SLU_1.1	Combination	Min	-5,3	-58,0
104	SLU_1.2	Combination		-5,2	-57,9
104	SLU_2a	Combination	Max	33,1	-59,8
104	SLU_2a	Combination	Min	33,0	-59,9
104	SLU_2b	Combination	Max	-5,9	-63,1
104	SLU_2b	Combination	Min	-6,0	-63,2
105	SLU_P	Combination		0,0	0,0
105	SLU_VS	Combination		-3,2	-45,3
105	SLU_VC	Combination	Max	-10,4	-96,0
105	SLU_VC	Combination	Min	-10,5	-96,1
105	SLU_1.1	Combination	Max	-4,8	-57,7
105	SLU_1.1	Combination	Min	-5,0	-57,9
105	SLU_1.2	Combination		-4,9	-57,7
105	SLU_2a	Combination	Max	33,4	-59,4
105	SLU_2a	Combination	Min	33,3	-59,5
105	SLU_2b	Combination	Max	-5,6	-63,0
105	SLU_2b	Combination	Min	-5,7	-63,1
106	SLU_P	Combination		0,0	0,0
106	SLU_VS	Combination		-2,9	-45,2
106	SLU_VC	Combination	Max	-10,1	-95,7
106	SLU_VC	Combination	Min	-10,2	-95,7
106	SLU_1.1	Combination	Max	-4,6	-57,5
106	SLU_1.1	Combination	Min	-4,7	-57,7
106	SLU_1.2	Combination		-4,6	-57,5
106	SLU_2a	Combination	Max	33,7	-59,0
106	SLU_2a	Combination	Min	33,6	-59,0
106	SLU_2b	Combination	Max	-5,3	-62,8
106	SLU_2b	Combination	Min	-5,4	-62,9
107	SLU_P	Combination		0,0	0,0
107	SLU_VS	Combination		-2,6	-45,0
107	SLU_VC	Combination	Max	-9,8	-95,3
107	SLU_VC	Combination	Min	-9,9	-95,4
107	SLU_1.1	Combination	Max	-4,3	-57,3

107	SLU_1.1	Combination	Min	-4,4	-57,5
107	SLU_1.2	Combination		-4,4	-57,3
107	SLU_2a	Combination	Max	34,0	-58,5
107	SLU_2a	Combination	Min	33,9	-58,6
107	SLU_2b	Combination	Max	-5,1	-62,5
107	SLU_2b	Combination	Min	-5,2	-62,6
108	SLU_P	Combination		0,0	0,0
108	SLU_VS	Combination		-2,3	-44,8
108	SLU_VC	Combination	Max	-9,5	-94,9
108	SLU_VC	Combination	Min	-9,6	-95,0
108	SLU_1.1	Combination	Max	-4,0	-57,1
108	SLU_1.1	Combination	Min	-4,1	-57,3
108	SLU_1.2	Combination		-4,1	-57,1
108	SLU_2a	Combination	Max	34,3	-58,0
108	SLU_2a	Combination	Min	34,2	-58,1
108	SLU_2b	Combination	Max	-4,8	-62,3
108	SLU_2b	Combination	Min	-4,9	-62,4
114	SLU_P	Combination		0,0	0,0
114	SLU_VS	Combination		-2,0	-44,7
114	SLU_VC	Combination	Max	-9,2	-94,5
114	SLU_VC	Combination	Min	-9,3	-94,6
114	SLU_1.1	Combination	Max	-3,7	-56,8
114	SLU_1.1	Combination	Min	-3,9	-57,0
114	SLU_1.2	Combination		-3,8	-56,9
114	SLU_2a	Combination	Max	34,6	-57,5
114	SLU_2a	Combination	Min	34,5	-57,6
114	SLU_2b	Combination	Max	-4,5	-62,0
114	SLU_2b	Combination	Min	-4,6	-62,1
			Max	35	0
			Min	-18	-98

TABLE: Joint Displacements - PARTE CONTINUA - SLV

Joint	OutputCase	CaseType	StepType	U1	U2
Text	Text	Text	Text	mm	mm
8	SISMA_SLV_L_CO	Combination	Max	55,8	19,3
8	SISMA_SLV_L_CO	Combination	Min	-61,8	-18,1
8	SISMA_SLV_T_CO	Combination	Max	15,6	60,6
8	SISMA_SLV_T_CO	Combination	Min	-21,6	-59,4
8	SISMA_SLV_V_CO	Combination	Max	14,9	18,8
8	SISMA_SLV_V_CO	Combination	Min	-20,9	-17,6
12	SISMA_SLV_L_CO	Combination	Max	56,0	19,2
12	SISMA_SLV_L_CO	Combination	Min	-61,6	-18,1
12	SISMA_SLV_T_CO	Combination	Max	15,7	60,6
12	SISMA_SLV_T_CO	Combination	Min	-21,3	-59,5
12	SISMA_SLV_V_CO	Combination	Max	15,0	18,7
12	SISMA_SLV_V_CO	Combination	Min	-20,6	-17,6
13	SISMA_SLV_L_CO	Combination	Max	56,2	19,1
13	SISMA_SLV_L_CO	Combination	Min	-61,4	-18,1
13	SISMA_SLV_T_CO	Combination	Max	15,8	60,6
13	SISMA_SLV_T_CO	Combination	Min	-21,0	-59,6
13	SISMA_SLV_V_CO	Combination	Max	15,2	18,7
13	SISMA_SLV_V_CO	Combination	Min	-20,4	-17,7
14	SISMA_SLV_L_CO	Combination	Max	56,3	19,0

14	SISMA_SLV_L_CO	Combination	Min	-61,2	-18,2
14	SISMA_SLV_T_CO	Combination	Max	15,9	60,5
14	SISMA_SLV_T_CO	Combination	Min	-20,7	-59,7
14	SISMA_SLV_V_CO	Combination	Max	15,4	18,6
14	SISMA_SLV_V_CO	Combination	Min	-20,2	-17,7
15	SISMA_SLV_L_CO	Combination	Max	56,5	18,9
15	SISMA_SLV_L_CO	Combination	Min	-61,0	-18,2
15	SISMA_SLV_T_CO	Combination	Max	16,0	60,5
15	SISMA_SLV_T_CO	Combination	Min	-20,5	-59,7
15	SISMA_SLV_V_CO	Combination	Max	15,5	18,5
15	SISMA_SLV_V_CO	Combination	Min	-20,0	-17,8
16	SISMA_SLV_L_CO	Combination	Max	56,6	18,8
16	SISMA_SLV_L_CO	Combination	Min	-60,8	-18,2
16	SISMA_SLV_T_CO	Combination	Max	16,0	60,4
16	SISMA_SLV_T_CO	Combination	Min	-20,2	-59,8
16	SISMA_SLV_V_CO	Combination	Max	15,7	18,4
16	SISMA_SLV_V_CO	Combination	Min	-19,8	-17,8
17	SISMA_SLV_L_CO	Combination	Max	56,8	18,7
17	SISMA_SLV_L_CO	Combination	Min	-60,6	-18,2
17	SISMA_SLV_T_CO	Combination	Max	16,1	60,2
17	SISMA_SLV_T_CO	Combination	Min	-19,9	-59,8
17	SISMA_SLV_V_CO	Combination	Max	15,8	18,3
17	SISMA_SLV_V_CO	Combination	Min	-19,6	-17,9
18	SISMA_SLV_L_CO	Combination	Max	56,9	18,6
18	SISMA_SLV_L_CO	Combination	Min	-60,3	-18,2
18	SISMA_SLV_T_CO	Combination	Max	16,2	60,1
18	SISMA_SLV_T_CO	Combination	Min	-19,6	-59,8
18	SISMA_SLV_V_CO	Combination	Max	16,0	18,2
18	SISMA_SLV_V_CO	Combination	Min	-19,4	-17,9
24	SISMA_SLV_L_CO	Combination	Max	57,1	18,4
24	SISMA_SLV_L_CO	Combination	Min	-60,1	-18,2
24	SISMA_SLV_T_CO	Combination	Max	16,3	60,0
24	SISMA_SLV_T_CO	Combination	Min	-19,3	-59,7
24	SISMA_SLV_V_CO	Combination	Max	16,1	18,2
24	SISMA_SLV_V_CO	Combination	Min	-19,1	-17,9
38	SISMA_SLV_L_CO	Combination	Max	57,1	18,4
38	SISMA_SLV_L_CO	Combination	Min	-60,1	-18,2
38	SISMA_SLV_T_CO	Combination	Max	16,2	59,9
38	SISMA_SLV_T_CO	Combination	Min	-19,3	-59,7
38	SISMA_SLV_V_CO	Combination	Max	16,1	18,1
38	SISMA_SLV_V_CO	Combination	Min	-19,1	-17,9
42	SISMA_SLV_L_CO	Combination	Max	57,3	18,3
42	SISMA_SLV_L_CO	Combination	Min	-59,9	-18,1
42	SISMA_SLV_T_CO	Combination	Max	16,4	59,8
42	SISMA_SLV_T_CO	Combination	Min	-19,0	-59,7
42	SISMA_SLV_V_CO	Combination	Max	16,3	18,1
42	SISMA_SLV_V_CO	Combination	Min	-18,9	-17,9
43	SISMA_SLV_L_CO	Combination	Max	57,4	18,2
43	SISMA_SLV_L_CO	Combination	Min	-59,7	-18,1
43	SISMA_SLV_T_CO	Combination	Max	16,5	59,7
43	SISMA_SLV_T_CO	Combination	Min	-18,8	-59,6
43	SISMA_SLV_V_CO	Combination	Max	16,5	18,0
43	SISMA_SLV_V_CO	Combination	Min	-18,7	-17,9
44	SISMA_SLV_L_CO	Combination	Max	57,6	18,1

44	SISMA_SLV_L_CO	Combination	Min	-59,5	-18,1
44	SISMA_SLV_T_CO	Combination	Max	16,7	59,6
44	SISMA_SLV_T_CO	Combination	Min	-18,6	-59,6
44	SISMA_SLV_V_CO	Combination	Max	16,6	18,0
44	SISMA_SLV_V_CO	Combination	Min	-18,5	-17,9
45	SISMA_SLV_L_CO	Combination	Max	57,8	18,0
45	SISMA_SLV_L_CO	Combination	Min	-59,3	-18,0
45	SISMA_SLV_T_CO	Combination	Max	16,9	59,5
45	SISMA_SLV_T_CO	Combination	Min	-18,4	-59,5
45	SISMA_SLV_V_CO	Combination	Max	16,8	17,9
45	SISMA_SLV_V_CO	Combination	Min	-18,3	-17,9
46	SISMA_SLV_L_CO	Combination	Max	58,0	17,9
46	SISMA_SLV_L_CO	Combination	Min	-59,1	-18,0
46	SISMA_SLV_T_CO	Combination	Max	17,1	59,3
46	SISMA_SLV_T_CO	Combination	Min	-18,2	-59,4
46	SISMA_SLV_V_CO	Combination	Max	17,0	17,8
46	SISMA_SLV_V_CO	Combination	Min	-18,2	-17,9
47	SISMA_SLV_L_CO	Combination	Max	58,2	17,8
47	SISMA_SLV_L_CO	Combination	Min	-58,9	-17,9
47	SISMA_SLV_T_CO	Combination	Max	17,3	59,2
47	SISMA_SLV_T_CO	Combination	Min	-18,1	-59,3
47	SISMA_SLV_V_CO	Combination	Max	17,2	17,7
47	SISMA_SLV_V_CO	Combination	Min	-18,0	-17,8
48	SISMA_SLV_L_CO	Combination	Max	58,4	17,7
48	SISMA_SLV_L_CO	Combination	Min	-58,8	-17,8
48	SISMA_SLV_T_CO	Combination	Max	17,5	59,0
48	SISMA_SLV_T_CO	Combination	Min	-17,9	-59,1
48	SISMA_SLV_V_CO	Combination	Max	17,4	17,6
48	SISMA_SLV_V_CO	Combination	Min	-17,8	-17,8
54	SISMA_SLV_L_CO	Combination	Max	58,6	17,6
54	SISMA_SLV_L_CO	Combination	Min	-58,6	-17,8
54	SISMA_SLV_T_CO	Combination	Max	17,8	58,8
54	SISMA_SLV_T_CO	Combination	Min	-17,8	-59,0
54	SISMA_SLV_V_CO	Combination	Max	17,6	17,6
54	SISMA_SLV_V_CO	Combination	Min	-17,6	-17,8
68	SISMA_SLV_L_CO	Combination	Max	58,6	17,6
68	SISMA_SLV_L_CO	Combination	Min	-58,6	-17,8
68	SISMA_SLV_T_CO	Combination	Max	17,8	58,7
68	SISMA_SLV_T_CO	Combination	Min	-17,8	-58,9
68	SISMA_SLV_V_CO	Combination	Max	17,6	17,6
68	SISMA_SLV_V_CO	Combination	Min	-17,6	-17,8
72	SISMA_SLV_L_CO	Combination	Max	58,8	17,6
72	SISMA_SLV_L_CO	Combination	Min	-58,4	-17,8
72	SISMA_SLV_T_CO	Combination	Max	18,0	58,6
72	SISMA_SLV_T_CO	Combination	Min	-17,6	-58,8
72	SISMA_SLV_V_CO	Combination	Max	17,8	17,5
72	SISMA_SLV_V_CO	Combination	Min	-17,5	-17,7
73	SISMA_SLV_L_CO	Combination	Max	59,0	17,6
73	SISMA_SLV_L_CO	Combination	Min	-58,2	-17,8
73	SISMA_SLV_T_CO	Combination	Max	18,2	58,4
73	SISMA_SLV_T_CO	Combination	Min	-17,5	-58,7
73	SISMA_SLV_V_CO	Combination	Max	18,0	17,5
73	SISMA_SLV_V_CO	Combination	Min	-17,3	-17,7
74	SISMA_SLV_L_CO	Combination	Max	59,2	17,6

74	SISMA_SLV_L_CO	Combination	Min	-58,0	-17,8
74	SISMA_SLV_T_CO	Combination	Max	18,4	58,3
74	SISMA_SLV_T_CO	Combination	Min	-17,3	-58,5
74	SISMA_SLV_V_CO	Combination	Max	18,2	17,4
74	SISMA_SLV_V_CO	Combination	Min	-17,1	-17,7
75	SISMA_SLV_L_CO	Combination	Max	59,3	17,6
75	SISMA_SLV_L_CO	Combination	Min	-57,9	-17,9
75	SISMA_SLV_T_CO	Combination	Max	18,6	58,1
75	SISMA_SLV_T_CO	Combination	Min	-17,1	-58,4
75	SISMA_SLV_V_CO	Combination	Max	18,4	17,4
75	SISMA_SLV_V_CO	Combination	Min	-16,9	-17,7
76	SISMA_SLV_L_CO	Combination	Max	59,5	17,5
76	SISMA_SLV_L_CO	Combination	Min	-57,7	-17,9
76	SISMA_SLV_T_CO	Combination	Max	18,8	57,9
76	SISMA_SLV_T_CO	Combination	Min	-17,0	-58,2
76	SISMA_SLV_V_CO	Combination	Max	18,6	17,3
76	SISMA_SLV_V_CO	Combination	Min	-16,7	-17,6
77	SISMA_SLV_L_CO	Combination	Max	59,7	17,5
77	SISMA_SLV_L_CO	Combination	Min	-57,5	-17,9
77	SISMA_SLV_T_CO	Combination	Max	19,0	57,7
77	SISMA_SLV_T_CO	Combination	Min	-16,8	-58,0
77	SISMA_SLV_V_CO	Combination	Max	18,8	17,3
77	SISMA_SLV_V_CO	Combination	Min	-16,5	-17,6
78	SISMA_SLV_L_CO	Combination	Max	59,9	17,5
78	SISMA_SLV_L_CO	Combination	Min	-57,3	-17,8
78	SISMA_SLV_T_CO	Combination	Max	19,3	57,5
78	SISMA_SLV_T_CO	Combination	Min	-16,6	-57,8
78	SISMA_SLV_V_CO	Combination	Max	19,0	17,2
78	SISMA_SLV_V_CO	Combination	Min	-16,4	-17,5
84	SISMA_SLV_L_CO	Combination	Max	60,1	17,5
84	SISMA_SLV_L_CO	Combination	Min	-57,1	-17,8
84	SISMA_SLV_T_CO	Combination	Max	19,5	57,2
84	SISMA_SLV_T_CO	Combination	Min	-16,5	-57,6
84	SISMA_SLV_V_CO	Combination	Max	19,2	17,1
84	SISMA_SLV_V_CO	Combination	Min	-16,2	-17,5
98	SISMA_SLV_L_CO	Combination	Max	60,1	17,5
98	SISMA_SLV_L_CO	Combination	Min	-57,1	-17,8
98	SISMA_SLV_T_CO	Combination	Max	19,5	57,1
98	SISMA_SLV_T_CO	Combination	Min	-16,5	-57,5
98	SISMA_SLV_V_CO	Combination	Max	19,2	17,1
98	SISMA_SLV_V_CO	Combination	Min	-16,2	-17,5
102	SISMA_SLV_L_CO	Combination	Max	60,3	17,4
102	SISMA_SLV_L_CO	Combination	Min	-56,9	-17,8
102	SISMA_SLV_T_CO	Combination	Max	19,7	56,9
102	SISMA_SLV_T_CO	Combination	Min	-16,3	-57,3
102	SISMA_SLV_V_CO	Combination	Max	19,4	17,1
102	SISMA_SLV_V_CO	Combination	Min	-16,0	-17,4
103	SISMA_SLV_L_CO	Combination	Max	60,5	17,4
103	SISMA_SLV_L_CO	Combination	Min	-56,8	-17,8
103	SISMA_SLV_T_CO	Combination	Max	19,9	56,7
103	SISMA_SLV_T_CO	Combination	Min	-16,2	-57,1
103	SISMA_SLV_V_CO	Combination	Max	19,6	17,0
103	SISMA_SLV_V_CO	Combination	Min	-15,8	-17,4
104	SISMA_SLV_L_CO	Combination	Max	60,7	17,4

104	SISMA_SLV_L_CO	Combination	Min	-56,6	-17,8
104	SISMA_SLV_T_CO	Combination	Max	20,1	56,4
104	SISMA_SLV_T_CO	Combination	Min	-16,0	-56,9
104	SISMA_SLV_V_CO	Combination	Max	19,8	16,9
104	SISMA_SLV_V_CO	Combination	Min	-15,6	-17,3
105	SISMA_SLV_L_CO	Combination	Max	60,9	17,3
105	SISMA_SLV_L_CO	Combination	Min	-56,4	-17,8
105	SISMA_SLV_T_CO	Combination	Max	20,3	56,2
105	SISMA_SLV_T_CO	Combination	Min	-15,8	-56,6
105	SISMA_SLV_V_CO	Combination	Max	20,0	16,9
105	SISMA_SLV_V_CO	Combination	Min	-15,5	-17,3
106	SISMA_SLV_L_CO	Combination	Max	61,1	17,3
106	SISMA_SLV_L_CO	Combination	Min	-56,2	-17,8
106	SISMA_SLV_T_CO	Combination	Max	20,5	55,9
106	SISMA_SLV_T_CO	Combination	Min	-15,7	-56,4
106	SISMA_SLV_V_CO	Combination	Max	20,2	16,8
106	SISMA_SLV_V_CO	Combination	Min	-15,3	-17,2
107	SISMA_SLV_L_CO	Combination	Max	61,3	17,3
107	SISMA_SLV_L_CO	Combination	Min	-56,0	-17,7
107	SISMA_SLV_T_CO	Combination	Max	20,8	55,6
107	SISMA_SLV_T_CO	Combination	Min	-15,5	-56,1
107	SISMA_SLV_V_CO	Combination	Max	20,3	16,7
107	SISMA_SLV_V_CO	Combination	Min	-15,1	-17,2
108	SISMA_SLV_L_CO	Combination	Max	61,5	17,2
108	SISMA_SLV_L_CO	Combination	Min	-55,9	-17,7
108	SISMA_SLV_T_CO	Combination	Max	21,0	55,3
108	SISMA_SLV_T_CO	Combination	Min	-15,4	-55,8
108	SISMA_SLV_V_CO	Combination	Max	20,5	16,6
108	SISMA_SLV_V_CO	Combination	Min	-14,9	-17,1
114	SISMA_SLV_L_CO	Combination	Max	61,7	17,2
114	SISMA_SLV_L_CO	Combination	Min	-55,7	-17,7
114	SISMA_SLV_T_CO	Combination	Max	21,2	55,0
114	SISMA_SLV_T_CO	Combination	Min	-15,2	-55,5
114	SISMA_SLV_V_CO	Combination	Max	20,7	16,5
114	SISMA_SLV_V_CO	Combination	Min	-14,7	-17,0
			Max	62	61
			Min	-62	-60

TABLE: Joint Displacements - PARTE CONTINUA - SLC					
Joint	OutputCase	CaseType	StepType	U1	U2
Text	Text	Text	Text	mm	mm
8	SISMA_SLC_L_CO	Combination	Max	104,1	34,6
8	SISMA_SLC_L_CO	Combination	Min	-110,1	-33,4
8	SISMA_SLC_T_CO	Combination	Max	30,9	110,0
8	SISMA_SLC_T_CO	Combination	Min	-36,9	-108,7
8	SISMA_SLC_V_CO	Combination	Max	29,5	33,7
8	SISMA_SLC_V_CO	Combination	Min	-35,5	-32,5
12	SISMA_SLC_L_CO	Combination	Max	104,3	34,5
12	SISMA_SLC_L_CO	Combination	Min	-109,9	-33,4
12	SISMA_SLC_T_CO	Combination	Max	30,9	110,0
12	SISMA_SLC_T_CO	Combination	Min	-36,5	-108,9
12	SISMA_SLC_V_CO	Combination	Max	29,7	33,6

12	SISMA_SLC_V_CO	Combination	Min	-35,3	-32,5
13	SISMA_SLC_L_CO	Combination	Max	104,4	34,4
13	SISMA_SLC_L_CO	Combination	Min	-109,7	-33,4
13	SISMA_SLC_T_CO	Combination	Max	30,9	110,0
13	SISMA_SLC_T_CO	Combination	Min	-36,1	-109,0
13	SISMA_SLC_V_CO	Combination	Max	29,8	33,6
13	SISMA_SLC_V_CO	Combination	Min	-35,1	-32,6
14	SISMA_SLC_L_CO	Combination	Max	104,6	34,3
14	SISMA_SLC_L_CO	Combination	Min	-109,4	-33,4
14	SISMA_SLC_T_CO	Combination	Max	30,9	109,9
14	SISMA_SLC_T_CO	Combination	Min	-35,8	-109,1
14	SISMA_SLC_V_CO	Combination	Max	29,9	33,5
14	SISMA_SLC_V_CO	Combination	Min	-34,8	-32,7
15	SISMA_SLC_L_CO	Combination	Max	104,7	34,1
15	SISMA_SLC_L_CO	Combination	Min	-109,2	-33,4
15	SISMA_SLC_T_CO	Combination	Max	30,9	109,8
15	SISMA_SLC_T_CO	Combination	Min	-35,4	-109,1
15	SISMA_SLC_V_CO	Combination	Max	30,1	33,4
15	SISMA_SLC_V_CO	Combination	Min	-34,6	-32,7
16	SISMA_SLC_L_CO	Combination	Max	104,8	34,0
16	SISMA_SLC_L_CO	Combination	Min	-109,0	-33,4
16	SISMA_SLC_T_CO	Combination	Max	30,9	109,7
16	SISMA_SLC_T_CO	Combination	Min	-35,0	-109,1
16	SISMA_SLC_V_CO	Combination	Max	30,2	33,3
16	SISMA_SLC_V_CO	Combination	Min	-34,3	-32,7
17	SISMA_SLC_L_CO	Combination	Max	105,0	33,8
17	SISMA_SLC_L_CO	Combination	Min	-108,7	-33,4
17	SISMA_SLC_T_CO	Combination	Max	30,9	109,5
17	SISMA_SLC_T_CO	Combination	Min	-34,7	-109,1
17	SISMA_SLC_V_CO	Combination	Max	30,3	33,2
17	SISMA_SLC_V_CO	Combination	Min	-34,1	-32,7
18	SISMA_SLC_L_CO	Combination	Max	105,1	33,7
18	SISMA_SLC_L_CO	Combination	Min	-108,5	-33,3
18	SISMA_SLC_T_CO	Combination	Max	30,9	109,3
18	SISMA_SLC_T_CO	Combination	Min	-34,3	-109,0
18	SISMA_SLC_V_CO	Combination	Max	30,5	33,1
18	SISMA_SLC_V_CO	Combination	Min	-33,9	-32,7
24	SISMA_SLC_L_CO	Combination	Max	105,2	33,5
24	SISMA_SLC_L_CO	Combination	Min	-108,2	-33,2
24	SISMA_SLC_T_CO	Combination	Max	30,9	109,1
24	SISMA_SLC_T_CO	Combination	Min	-33,9	-108,9
24	SISMA_SLC_V_CO	Combination	Max	30,6	33,0
24	SISMA_SLC_V_CO	Combination	Min	-33,6	-32,7
38	SISMA_SLC_L_CO	Combination	Max	105,2	33,4
38	SISMA_SLC_L_CO	Combination	Min	-108,2	-33,2
38	SISMA_SLC_T_CO	Combination	Max	30,8	109,1
38	SISMA_SLC_T_CO	Combination	Min	-33,8	-108,8
38	SISMA_SLC_V_CO	Combination	Max	30,6	32,9
38	SISMA_SLC_V_CO	Combination	Min	-33,6	-32,7
42	SISMA_SLC_L_CO	Combination	Max	105,3	33,3
42	SISMA_SLC_L_CO	Combination	Min	-108,0	-33,1
42	SISMA_SLC_T_CO	Combination	Max	30,9	108,9
42	SISMA_SLC_T_CO	Combination	Min	-33,6	-108,7
42	SISMA_SLC_V_CO	Combination	Max	30,7	32,9

42	SISMA_SLC_V_CO	Combination	Min	-33,4	-32,7
43	SISMA_SLC_L_CO	Combination	Max	105,5	33,1
43	SISMA_SLC_L_CO	Combination	Min	-107,8	-33,0
43	SISMA_SLC_T_CO	Combination	Max	31,0	108,7
43	SISMA_SLC_T_CO	Combination	Min	-33,3	-108,6
43	SISMA_SLC_V_CO	Combination	Max	30,9	32,8
43	SISMA_SLC_V_CO	Combination	Min	-33,2	-32,7
44	SISMA_SLC_L_CO	Combination	Max	105,7	33,0
44	SISMA_SLC_L_CO	Combination	Min	-107,6	-32,9
44	SISMA_SLC_T_CO	Combination	Max	31,2	108,5
44	SISMA_SLC_T_CO	Combination	Min	-33,1	-108,5
44	SISMA_SLC_V_CO	Combination	Max	31,1	32,7
44	SISMA_SLC_V_CO	Combination	Min	-33,0	-32,6
45	SISMA_SLC_L_CO	Combination	Max	105,8	32,8
45	SISMA_SLC_L_CO	Combination	Min	-107,4	-32,8
45	SISMA_SLC_T_CO	Combination	Max	31,3	108,3
45	SISMA_SLC_T_CO	Combination	Min	-32,9	-108,3
45	SISMA_SLC_V_CO	Combination	Max	31,2	32,6
45	SISMA_SLC_V_CO	Combination	Min	-32,8	-32,6
46	SISMA_SLC_L_CO	Combination	Max	106,0	32,6
46	SISMA_SLC_L_CO	Combination	Min	-107,2	-32,7
46	SISMA_SLC_T_CO	Combination	Max	31,5	108,0
46	SISMA_SLC_T_CO	Combination	Min	-32,7	-108,1
46	SISMA_SLC_V_CO	Combination	Max	31,4	32,4
46	SISMA_SLC_V_CO	Combination	Min	-32,6	-32,5
47	SISMA_SLC_L_CO	Combination	Max	106,2	32,4
47	SISMA_SLC_L_CO	Combination	Min	-107,0	-32,5
47	SISMA_SLC_T_CO	Combination	Max	31,8	107,7
47	SISMA_SLC_T_CO	Combination	Min	-32,6	-107,8
47	SISMA_SLC_V_CO	Combination	Max	31,6	32,3
47	SISMA_SLC_V_CO	Combination	Min	-32,4	-32,4
48	SISMA_SLC_L_CO	Combination	Max	106,4	32,3
48	SISMA_SLC_L_CO	Combination	Min	-106,8	-32,4
48	SISMA_SLC_T_CO	Combination	Max	32,1	107,4
48	SISMA_SLC_T_CO	Combination	Min	-32,5	-107,6
48	SISMA_SLC_V_CO	Combination	Max	31,9	32,2
48	SISMA_SLC_V_CO	Combination	Min	-32,3	-32,3
54	SISMA_SLC_L_CO	Combination	Max	106,6	32,1
54	SISMA_SLC_L_CO	Combination	Min	-106,7	-32,3
54	SISMA_SLC_T_CO	Combination	Max	32,3	107,1
54	SISMA_SLC_T_CO	Combination	Min	-32,4	-107,3
54	SISMA_SLC_V_CO	Combination	Max	32,1	32,1
54	SISMA_SLC_V_CO	Combination	Min	-32,1	-32,3
68	SISMA_SLC_L_CO	Combination	Max	106,6	32,1
68	SISMA_SLC_L_CO	Combination	Min	-106,7	-32,3
68	SISMA_SLC_T_CO	Combination	Max	32,4	107,0
68	SISMA_SLC_T_CO	Combination	Min	-32,4	-107,2
68	SISMA_SLC_V_CO	Combination	Max	32,1	32,0
68	SISMA_SLC_V_CO	Combination	Min	-32,1	-32,2
72	SISMA_SLC_L_CO	Combination	Max	106,8	32,1
72	SISMA_SLC_L_CO	Combination	Min	-106,5	-32,3
72	SISMA_SLC_T_CO	Combination	Max	32,6	106,7
72	SISMA_SLC_T_CO	Combination	Min	-32,2	-106,9
72	SISMA_SLC_V_CO	Combination	Max	32,3	32,0

72	SISMA_SLC_V_CO	Combination	Min	-31,9	-32,2
73	SISMA_SLC_L_CO	Combination	Max	107,1	32,1
73	SISMA_SLC_L_CO	Combination	Min	-106,3	-32,4
73	SISMA_SLC_T_CO	Combination	Max	32,8	106,5
73	SISMA_SLC_T_CO	Combination	Min	-32,1	-106,7
73	SISMA_SLC_V_CO	Combination	Max	32,5	31,9
73	SISMA_SLC_V_CO	Combination	Min	-31,7	-32,2
74	SISMA_SLC_L_CO	Combination	Max	107,3	32,1
74	SISMA_SLC_L_CO	Combination	Min	-106,1	-32,4
74	SISMA_SLC_T_CO	Combination	Max	33,0	106,2
74	SISMA_SLC_T_CO	Combination	Min	-31,9	-106,4
74	SISMA_SLC_V_CO	Combination	Max	32,7	31,8
74	SISMA_SLC_V_CO	Combination	Min	-31,6	-32,1
75	SISMA_SLC_L_CO	Combination	Max	107,5	32,1
75	SISMA_SLC_L_CO	Combination	Min	-106,0	-32,4
75	SISMA_SLC_T_CO	Combination	Max	33,3	105,9
75	SISMA_SLC_T_CO	Combination	Min	-31,8	-106,1
75	SISMA_SLC_V_CO	Combination	Max	32,9	31,8
75	SISMA_SLC_V_CO	Combination	Min	-31,4	-32,0
76	SISMA_SLC_L_CO	Combination	Max	107,6	32,1
76	SISMA_SLC_L_CO	Combination	Min	-105,8	-32,4
76	SISMA_SLC_T_CO	Combination	Max	33,5	105,5
76	SISMA_SLC_T_CO	Combination	Min	-31,7	-105,8
76	SISMA_SLC_V_CO	Combination	Max	33,1	31,7
76	SISMA_SLC_V_CO	Combination	Min	-31,2	-32,0
77	SISMA_SLC_L_CO	Combination	Max	107,8	32,0
77	SISMA_SLC_L_CO	Combination	Min	-105,6	-32,3
77	SISMA_SLC_T_CO	Combination	Max	33,7	105,1
77	SISMA_SLC_T_CO	Combination	Min	-31,5	-105,4
77	SISMA_SLC_V_CO	Combination	Max	33,3	31,6
77	SISMA_SLC_V_CO	Combination	Min	-31,0	-31,9
78	SISMA_SLC_L_CO	Combination	Max	108,0	32,0
78	SISMA_SLC_L_CO	Combination	Min	-105,4	-32,3
78	SISMA_SLC_T_CO	Combination	Max	34,0	104,7
78	SISMA_SLC_T_CO	Combination	Min	-31,4	-105,0
78	SISMA_SLC_V_CO	Combination	Max	33,5	31,4
78	SISMA_SLC_V_CO	Combination	Min	-30,9	-31,8
84	SISMA_SLC_L_CO	Combination	Max	108,2	31,9
84	SISMA_SLC_L_CO	Combination	Min	-105,2	-32,3
84	SISMA_SLC_T_CO	Combination	Max	34,2	104,3
84	SISMA_SLC_T_CO	Combination	Min	-31,2	-104,6
84	SISMA_SLC_V_CO	Combination	Max	33,7	31,3
84	SISMA_SLC_V_CO	Combination	Min	-30,7	-31,7
98	SISMA_SLC_L_CO	Combination	Max	108,2	31,9
98	SISMA_SLC_L_CO	Combination	Min	-105,2	-32,3
98	SISMA_SLC_T_CO	Combination	Max	34,2	104,1
98	SISMA_SLC_T_CO	Combination	Min	-31,2	-104,5
98	SISMA_SLC_V_CO	Combination	Max	33,7	31,3
98	SISMA_SLC_V_CO	Combination	Min	-30,7	-31,7
102	SISMA_SLC_L_CO	Combination	Max	108,4	31,9
102	SISMA_SLC_L_CO	Combination	Min	-105,1	-32,3
102	SISMA_SLC_T_CO	Combination	Max	34,5	103,7
102	SISMA_SLC_T_CO	Combination	Min	-31,1	-104,1
102	SISMA_SLC_V_CO	Combination	Max	33,9	31,2

102	SISMA_SLC_V_CO	Combination	Min	-30,5	-31,6
103	SISMA_SLC_L_CO	Combination	Max	108,6	31,8
103	SISMA_SLC_L_CO	Combination	Min	-104,9	-32,2
103	SISMA_SLC_T_CO	Combination	Max	34,7	103,3
103	SISMA_SLC_T_CO	Combination	Min	-31,0	-103,7
103	SISMA_SLC_V_CO	Combination	Max	34,1	31,1
103	SISMA_SLC_V_CO	Combination	Min	-30,3	-31,5
104	SISMA_SLC_L_CO	Combination	Max	108,8	31,8
104	SISMA_SLC_L_CO	Combination	Min	-104,7	-32,2
104	SISMA_SLC_T_CO	Combination	Max	34,9	102,9
104	SISMA_SLC_T_CO	Combination	Min	-30,8	-103,3
104	SISMA_SLC_V_CO	Combination	Max	34,3	31,0
104	SISMA_SLC_V_CO	Combination	Min	-30,2	-31,4
105	SISMA_SLC_L_CO	Combination	Max	109,0	31,7
105	SISMA_SLC_L_CO	Combination	Min	-104,6	-32,2
105	SISMA_SLC_T_CO	Combination	Max	35,2	102,4
105	SISMA_SLC_T_CO	Combination	Min	-30,7	-102,8
105	SISMA_SLC_V_CO	Combination	Max	34,5	30,8
105	SISMA_SLC_V_CO	Combination	Min	-30,0	-31,3
106	SISMA_SLC_L_CO	Combination	Max	109,2	31,7
106	SISMA_SLC_L_CO	Combination	Min	-104,4	-32,1
106	SISMA_SLC_T_CO	Combination	Max	35,4	101,9
106	SISMA_SLC_T_CO	Combination	Min	-30,5	-102,3
106	SISMA_SLC_V_CO	Combination	Max	34,7	30,7
106	SISMA_SLC_V_CO	Combination	Min	-29,8	-31,1
107	SISMA_SLC_L_CO	Combination	Max	109,4	31,6
107	SISMA_SLC_L_CO	Combination	Min	-104,2	-32,1
107	SISMA_SLC_T_CO	Combination	Max	35,6	101,3
107	SISMA_SLC_T_CO	Combination	Min	-30,4	-101,8
107	SISMA_SLC_V_CO	Combination	Max	34,9	30,5
107	SISMA_SLC_V_CO	Combination	Min	-29,6	-31,0
108	SISMA_SLC_L_CO	Combination	Max	109,6	31,5
108	SISMA_SLC_L_CO	Combination	Min	-104,0	-32,0
108	SISMA_SLC_T_CO	Combination	Max	35,9	100,8
108	SISMA_SLC_T_CO	Combination	Min	-30,3	-101,2
108	SISMA_SLC_V_CO	Combination	Max	35,1	30,4
108	SISMA_SLC_V_CO	Combination	Min	-29,5	-30,9
114	SISMA_SLC_L_CO	Combination	Max	109,8	31,4
114	SISMA_SLC_L_CO	Combination	Min	-103,8	-31,9
114	SISMA_SLC_T_CO	Combination	Max	36,1	100,2
114	SISMA_SLC_T_CO	Combination	Min	-30,1	-100,7
114	SISMA_SLC_V_CO	Combination	Max	35,3	30,2
114	SISMA_SLC_V_CO	Combination	Min	-29,3	-30,7
			Max	110	110
			Min	-110	-109

10.3. RIEPILOGO SPOSTAMENTI MASSIMI

Si riportano di seguito i massimi spostamenti trasversali e longitudinali in valore assoluto:

A.N.A.S. S.p.A.

Variante alla SS n. 1 Aurelia (Aurelia bis)

Viabilità di accesso all'hub portuale di La Spezia

Interconnessione tra i caselli della A-12 ed il Porto di La Spezia

Progetto esecutivo

Giugno 2011

Rev. B

V04VI14STRRE01_B

c.a.: C287.A

Rampe di progetto asse S

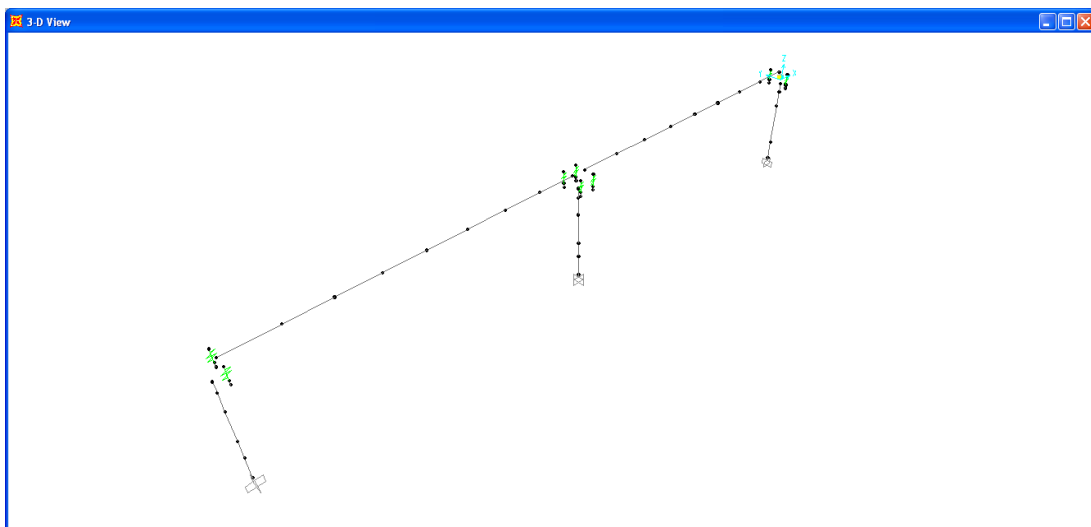
RAMPA S – TRATTO IN AFFIANCAMENTO				
	SLE	SLU	SISMA-SLV	SISMA - SLC
Spostamento longitudinale (mm)	2.1	2.5	5.2	6.3
Spostamento trasversale (mm)	1.4	2.1	5.4	6.8

RAMPA S – TRATTO CONTINUO CON ISOLATORI				
	SLE	SLU	SISMA-SLV	SISMA - SLC
Spostamento longitudinale (mm)	27	35	62	110
Spostamento trasversale (mm)	65	98	61	110

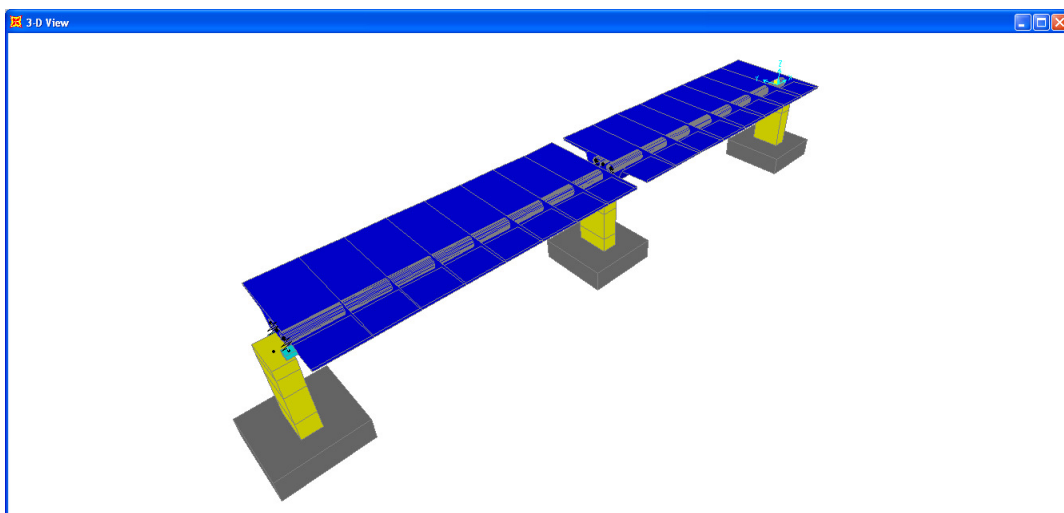
10.4. SPOSTAMENTI MASSIMI VIADOTTO ESISTENTE

Di seguito si riportano gli spostamenti trasversali (U2) dell'impalcato del viadotto esistente, valutati modellando, attraverso il programma SAP 2000, due campate in semplice appoggio e assegnando al *frame* le caratteristiche geometriche del viadotto esistente.

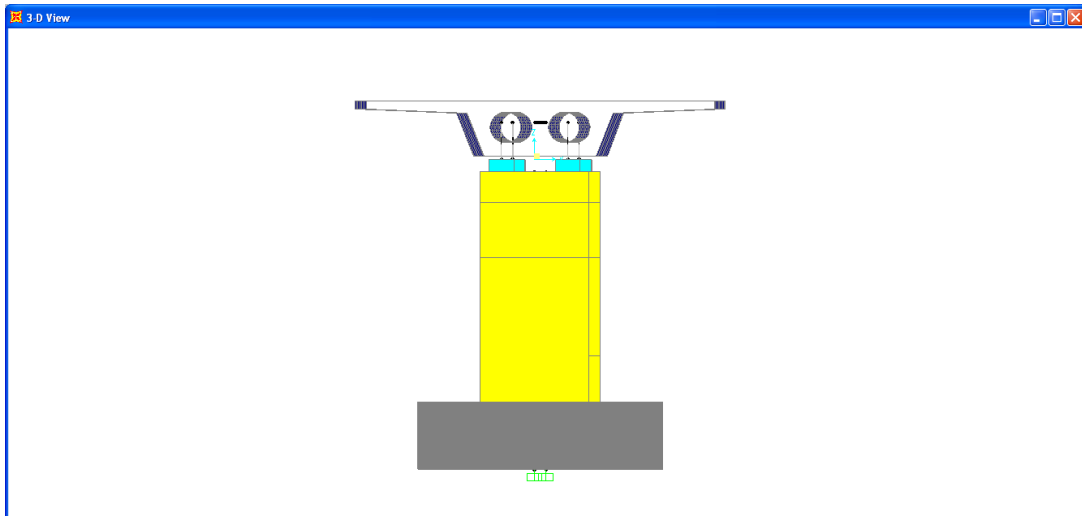
Gli spostamenti sono stati valutati con riferimento allo *Stato limite di prevenzione del collasso (SLC)*.



Schema unifilare SAP2000



Vista solida SAP2000



Vista solida SAP2000

TABLE: Joint Displacements					
Joint	OutputCase	CaseType	StepType	U2	
Text	Text	Text	Text	mm	
157	SISMA_SLC_L_CO	Combination	Max	1,2	
157	SISMA_SLC_L_CO	Combination	Min	-1,2	
157	SISMA_SLC_T_CO	Combination	Max	3,7	
157	SISMA_SLC_T_CO	Combination	Min	-3,7	
157	SISMA_SLC_V_CO	Combination	Max	1,1	
157	SISMA_SLC_V_CO	Combination	Min	-1,1	
158	SISMA_SLC_L_CO	Combination	Max	1,2	
158	SISMA_SLC_L_CO	Combination	Min	-1,1	
158	SISMA_SLC_T_CO	Combination	Max	3,7	
158	SISMA_SLC_T_CO	Combination	Min	-3,7	
158	SISMA_SLC_V_CO	Combination	Max	1,1	
158	SISMA_SLC_V_CO	Combination	Min	-1,1	
159	SISMA_SLC_L_CO	Combination	Max	1,2	
159	SISMA_SLC_L_CO	Combination	Min	-1,1	
159	SISMA_SLC_T_CO	Combination	Max	3,7	
159	SISMA_SLC_T_CO	Combination	Min	-3,7	
159	SISMA_SLC_V_CO	Combination	Max	1,1	
159	SISMA_SLC_V_CO	Combination	Min	-1,1	
160	SISMA_SLC_L_CO	Combination	Max	1,9	
160	SISMA_SLC_L_CO	Combination	Min	-1,9	
160	SISMA_SLC_T_CO	Combination	Max	6,3	
160	SISMA_SLC_T_CO	Combination	Min	-6,2	
160	SISMA_SLC_V_CO	Combination	Max	1,9	
160	SISMA_SLC_V_CO	Combination	Min	-1,9	
161	SISMA_SLC_L_CO	Combination	Max	1,9	
161	SISMA_SLC_L_CO	Combination	Min	-1,9	
161	SISMA_SLC_T_CO	Combination	Max	6,3	

161	SISMA_SLC_T_CO	Combination	Min	-6,2
161	SISMA_SLC_V_CO	Combination	Max	1,9
161	SISMA_SLC_V_CO	Combination	Min	-1,9
162	SISMA_SLC_L_CO	Combination	Max	1,9
162	SISMA_SLC_L_CO	Combination	Min	-1,9
162	SISMA_SLC_T_CO	Combination	Max	6,3
162	SISMA_SLC_T_CO	Combination	Min	-6,2
162	SISMA_SLC_V_CO	Combination	Max	1,9
162	SISMA_SLC_V_CO	Combination	Min	-1,9
163	SISMA_SLC_L_CO	Combination	Max	1,9
163	SISMA_SLC_L_CO	Combination	Min	-1,9
163	SISMA_SLC_T_CO	Combination	Max	6,3
163	SISMA_SLC_T_CO	Combination	Min	-6,2
163	SISMA_SLC_V_CO	Combination	Max	1,9
163	SISMA_SLC_V_CO	Combination	Min	-1,9
164	SISMA_SLC_L_CO	Combination	Max	1,9
164	SISMA_SLC_L_CO	Combination	Min	-1,9
164	SISMA_SLC_T_CO	Combination	Max	6,3
164	SISMA_SLC_T_CO	Combination	Min	-6,2
164	SISMA_SLC_V_CO	Combination	Max	1,9
164	SISMA_SLC_V_CO	Combination	Min	-1,9
165	SISMA_SLC_L_CO	Combination	Max	1,9
165	SISMA_SLC_L_CO	Combination	Min	-1,9
165	SISMA_SLC_T_CO	Combination	Max	6,3
165	SISMA_SLC_T_CO	Combination	Min	-6,2
165	SISMA_SLC_V_CO	Combination	Max	1,9
165	SISMA_SLC_V_CO	Combination	Min	-1,9
166	SISMA_SLC_L_CO	Combination	Max	1,1
166	SISMA_SLC_L_CO	Combination	Min	-1,1
166	SISMA_SLC_T_CO	Combination	Max	3,7
166	SISMA_SLC_T_CO	Combination	Min	-3,7
166	SISMA_SLC_V_CO	Combination	Max	1,1
166	SISMA_SLC_V_CO	Combination	Min	-1,1
167	SISMA_SLC_L_CO	Combination	Max	1,1
167	SISMA_SLC_L_CO	Combination	Min	-1,1
167	SISMA_SLC_T_CO	Combination	Max	3,7
167	SISMA_SLC_T_CO	Combination	Min	-3,7
167	SISMA_SLC_V_CO	Combination	Max	1,1
167	SISMA_SLC_V_CO	Combination	Min	-1,1
168	SISMA_SLC_L_CO	Combination	Max	1,1
168	SISMA_SLC_L_CO	Combination	Min	-1,1
168	SISMA_SLC_T_CO	Combination	Max	3,7
168	SISMA_SLC_T_CO	Combination	Min	-3,7
168	SISMA_SLC_V_CO	Combination	Max	1,1
168	SISMA_SLC_V_CO	Combination	Min	-1,1
320	SISMA_SLC_L_CO	Combination	Max	1,4
320	SISMA_SLC_L_CO	Combination	Min	-1,4
320	SISMA_SLC_T_CO	Combination	Max	4,5
320	SISMA_SLC_T_CO	Combination	Min	-4,5
320	SISMA_SLC_V_CO	Combination	Max	1,4
320	SISMA_SLC_V_CO	Combination	Min	-1,3
321	SISMA_SLC_L_CO	Combination	Max	1,6
321	SISMA_SLC_L_CO	Combination	Min	-1,6
321	SISMA_SLC_T_CO	Combination	Max	5,2

321	SISMA_SLC_T_CO	Combination	Min	-5,2
321	SISMA_SLC_V_CO	Combination	Max	1,6
321	SISMA_SLC_V_CO	Combination	Min	-1,6
322	SISMA_SLC_L_CO	Combination	Max	1,7
322	SISMA_SLC_L_CO	Combination	Min	-1,7
322	SISMA_SLC_T_CO	Combination	Max	5,8
322	SISMA_SLC_T_CO	Combination	Min	-5,8
322	SISMA_SLC_V_CO	Combination	Max	1,7
322	SISMA_SLC_V_CO	Combination	Min	-1,7
325	SISMA_SLC_L_CO	Combination	Max	1,9
325	SISMA_SLC_L_CO	Combination	Min	-1,8
325	SISMA_SLC_T_CO	Combination	Max	6,2
325	SISMA_SLC_T_CO	Combination	Min	-6,2
325	SISMA_SLC_V_CO	Combination	Max	1,9
325	SISMA_SLC_V_CO	Combination	Min	-1,8
327	SISMA_SLC_L_CO	Combination	Max	1,9
327	SISMA_SLC_L_CO	Combination	Min	-1,9
327	SISMA_SLC_T_CO	Combination	Max	6,4
327	SISMA_SLC_T_CO	Combination	Min	-6,4
327	SISMA_SLC_V_CO	Combination	Max	1,9
327	SISMA_SLC_V_CO	Combination	Min	-1,9
328	SISMA_SLC_L_CO	Combination	Max	2,0
328	SISMA_SLC_L_CO	Combination	Min	-2,0
328	SISMA_SLC_T_CO	Combination	Max	6,5
328	SISMA_SLC_T_CO	Combination	Min	-6,5
328	SISMA_SLC_V_CO	Combination	Max	2,0
328	SISMA_SLC_V_CO	Combination	Min	-1,9
329	SISMA_SLC_L_CO	Combination	Max	2,0
329	SISMA_SLC_L_CO	Combination	Min	-1,9
329	SISMA_SLC_T_CO	Combination	Max	6,4
329	SISMA_SLC_T_CO	Combination	Min	-6,4
329	SISMA_SLC_V_CO	Combination	Max	1,9
329	SISMA_SLC_V_CO	Combination	Min	-1,9
330	SISMA_SLC_L_CO	Combination	Max	1,9
330	SISMA_SLC_L_CO	Combination	Min	-1,9
330	SISMA_SLC_T_CO	Combination	Max	6,4
330	SISMA_SLC_T_CO	Combination	Min	-6,4
330	SISMA_SLC_V_CO	Combination	Max	1,9
330	SISMA_SLC_V_CO	Combination	Min	-1,9
331	SISMA_SLC_L_CO	Combination	Max	2,0
331	SISMA_SLC_L_CO	Combination	Min	-1,9
331	SISMA_SLC_T_CO	Combination	Max	6,5
331	SISMA_SLC_T_CO	Combination	Min	-6,5
331	SISMA_SLC_V_CO	Combination	Max	2,0
331	SISMA_SLC_V_CO	Combination	Min	-1,9
332	SISMA_SLC_L_CO	Combination	Max	1,9
332	SISMA_SLC_L_CO	Combination	Min	-1,9
332	SISMA_SLC_T_CO	Combination	Max	6,4
332	SISMA_SLC_T_CO	Combination	Min	-6,4
332	SISMA_SLC_V_CO	Combination	Max	1,9
332	SISMA_SLC_V_CO	Combination	Min	-1,9
335	SISMA_SLC_L_CO	Combination	Max	1,9
335	SISMA_SLC_L_CO	Combination	Min	-1,9
335	SISMA_SLC_T_CO	Combination	Max	6,2

335	SISMA_SLC_T_CO	Combination	Min	-6,2
335	SISMA_SLC_V_CO	Combination	Max	1,9
335	SISMA_SLC_V_CO	Combination	Min	-1,9
336	SISMA_SLC_L_CO	Combination	Max	1,8
336	SISMA_SLC_L_CO	Combination	Min	-1,8
336	SISMA_SLC_T_CO	Combination	Max	5,8
336	SISMA_SLC_T_CO	Combination	Min	-5,8
336	SISMA_SLC_V_CO	Combination	Max	1,7
336	SISMA_SLC_V_CO	Combination	Min	-1,7
337	SISMA_SLC_L_CO	Combination	Max	1,6
337	SISMA_SLC_L_CO	Combination	Min	-1,6
337	SISMA_SLC_T_CO	Combination	Max	5,2
337	SISMA_SLC_T_CO	Combination	Min	-5,2
337	SISMA_SLC_V_CO	Combination	Max	1,6
337	SISMA_SLC_V_CO	Combination	Min	-1,6
338	SISMA_SLC_L_CO	Combination	Max	1,4
338	SISMA_SLC_L_CO	Combination	Min	-1,4
338	SISMA_SLC_T_CO	Combination	Max	4,5
338	SISMA_SLC_T_CO	Combination	Min	-4,5
338	SISMA_SLC_V_CO	Combination	Max	1,4
338	SISMA_SLC_V_CO	Combination	Min	-1,4

Viadotto esistente

SPOSTAMENTO TRASVERSALE		
VIADOTTO ESISTENTE	6,5	mm